



საქართველოს ტექნიკური უნივერსიტეტის  
ჰიდრომეტეოროლოგიის ინსტიტუტის  
სამეცნიერო რეზერირებაზე შრომათა პრეპული

SCIENTIFIC REVIEWED PROCEEDINGS  
OF THE INSTITUTE OF HYDROMETEOROLOGY  
OF THE GEORGIAN TECHNICAL UNIVERSITY

НАУЧНЫЙ РЕФЕРИРУЕМЫЙ СБОРНИК ТРУДОВ  
ИНСТИТУТА ГИДРОМЕТЕОРОЛОГИИ  
ГРУЗИНСКОГО ТЕХНИЧЕСКОГО УНИВЕРСИТЕТА

№ 129



ჰიდრომეტეოროლოგიისა და ეკოლოგიის პრობლემები  
PRESSING PROBLEMS IN HYDROMETEOROLOGY AND ECOLOGY  
ПРОБЛЕМЫ ГИДРОМЕТЕОРОЛОГИИ И ЭКОЛОГИИ

თბილისი – TBILISI – ТБИЛИСИ  
2020

ISSN 1512 – 0902

საქართველოს ფედერალური უნივერსიტეტის  
ჰიდრომეტეოროლოგიის ინსტიტუტის  
სამეცნიერო რეზერვირებაზე შრომათა პრეპული  
ტომი № 129

ჰიდრომეტეოროლოგიისა და ეკოლოგიის აძლევალური  
კრობლებები

---

SCIENTIFIC REVIEWED PROCEEDINGS  
OF THE INSTITUTE OF HYDROMETEOROLOGY  
OF THE GEORGIAN TECHNICAL UNIVERSITY  
VOL.№129

PRESSING PROBLEMS IN HYDROMETEOROLOGY AND ECOLOGY

---

НАУЧНЫЙ РЕФЕРИРУЕМЫЙ СБОРНИК ТРУДОВ  
ИНСТИТУТА ГИДРОМЕТЕОРОЛОГИИ  
ГРУЗИНСКОГО ТЕХНИЧЕСКОГО УНИВЕРСИТЕТА  
ТОМ №129

АКТУАЛЬНЫЕ ПРОБЛЕМЫ ГИДРОМЕТЕОРОЛОГИИ И ЭКОЛОГИИ

---

ISSN 1512-0902

©	საქართველოს ფედერალური უნივერსიტეტის ჰიდრომეტეოროლოგიის ინსტიტუტი INSTITUTE OF HYDROMETEOROLOGY OF THE GEORGIAN TECHNICAL UNIVERSITY ИНСТИТУТ ГИДРОМЕТЕОРОЛОГИИ ГРУЗИНСКОГО ТЕХНИЧЕСКОГО УНИВЕРСИТЕТА	2020
---	--	------

თბილისი – TBILISI – ТБИЛИСИ

2020

გამოიცემა 1953 წლიდან  
Published since 1953  
Издается с 1953 года

**FOUNDERS:**

Georgian Technical University  
Institute of Hydrometeorology  
Georgian National Academy of Sciences  
Georgian Academy of Agricultural Sciences  
სარედაქციო კოლეგია

თ.ცინცაძე (მთ. რედაქტორი)  
მთ. რედაქტორის მოადგილები

გ.მელაძე

ს.გორგიჯანიძე

ე.ელიზარაშვილი

ლ.ინტსკირველი

მ.ტატიშვილი

მდ.0366ბბ0

ნ.კაპანაძე

ნ.არუშთინიანი

ყველები

გ.ალექსიძე

აბდ-ალლა გად (საფილ არაბეთი)

ც.ბასილაშვილი

ნ.ბეგლარაშვილი

ნ.ბუაჩიძე

გ.გრიგოლია

გ.გუნია

ხ.ეგამბერდიევი (უზბეკეთი)

ბ.ხოლმატუნოვი (უზბეკეთი)

ნ.დვალიშვილი

ჯ.ვაჩნაძე

კ.ლაშაური (კანადა)

შ.უნლინ ლიან (აშშ)

რ.მაჰმუდოვი (აზერბაიჯანი)

მ.მელაძე

ა.პარანინა (რუსეთი)

მ.სალუქვაძე

რ.სამუკაშვილი

ა.სურმავა

მ.ფიფია

სადპან კუმარ გოშ (ინდოეთი)

ლ.შავლიაშვილი

ლ.შენგელია

გ.ხერხეულიძე

ზ.ხევდელიძე

სარედაქციო საბჭო

გ.მელაძე (მთ. რედაქტორის მოადგილე)

ნ.ბეგლარაშვილი

გ.გრიგოლია

ჯ.ვაჩნაძე

მ.სალუქვაძე

ზ.ხევდელიძე

სარედაქციო კოლეგიის მისამართი: საქართველო, 0112, თბილისი, დ.აღმაშენებლის გამზ. 150-ბ.

პიდრომეტეოროლოგიის ინსტიტუტი. e-mail: ecohydmet@yahoo.com; ecohydmet@gtu.ge

**Adress of Editorial Board:** Institute of Hydrometeorology, 150-g, Davit Agmashenebeli Ave., 0112 Tbilisi, Georgia  
e-mail: ecohydmet@yahoo.com; ecohydmet@gtu.ge

**Адрес редакции:** Грузия, 0112, Тбилиси, пр. Д.Агмашенебели 150-г, Институт гидрометеорологии.

e-mail: ecohydmet@yahoo.com; [ecohydmet@gtu.ge](mailto:ecohydmet@gtu.ge)

**ელექტრონული ვერსია**

**Electronic version**

**Электронная версия**

**დამუშავებლები:**

საქართველოს ტექნიკური უნივერსიტეტი

პიდრომეტეოროლოგიის ინსტიტუტი

საქართველოს მეცნიერებათა ეროვნული აკადემია

საქართველოს სოფლის მეცნიერებათა აკადემია

**УЧРЕДИТЕЛИ:**

Грузинский технический университет

Институт гидрометеорологии

Национальная академия наук Грузии

Сельскохозяйственная академия наук Грузии

**РЕДКОЛЛЕГИЯ**

**EDITORIAL BOARD**

T.Tsintsadze (Editor-in-Chief)

DEPUTY EDITORS-IN-CHIEF

G.Meladze

S.Gorgijanidze

E.Elizbarashvili

L.Intskirveli

M.Tatishvili

**SECRETARIES**

N.Kapanadze

N.Arutiniani

**MEMBERS**

G.Aleksidze

Abd-Alla Gad (Saudi Arabia)

Ts.Basilashvili

N.Beglarashvili

N.Buachidze

G.Grigolia

G.Gunia

Kh.Egamberdiev (Uzbekistan)

B.Kholmatjanov (Uzbekistan)

N.Dvalishvili

J.Vachnadze

K.Lashauri (Canada)

Shunlin Liang (USA)

R.Mahmudov (Azerbaijan)

M.Meladze

A.Paranina (Russia)

M.Salukvadze

R.Samukashvili

A.Surmava

M.Pipa

Sadhan Kumar Ghosh (India)

L.Shavliashvili

L.Shengelia

G.Kherkheulidze

Z.Khvedelidze

**EDITORIAL COUNCIL**

G.Meladze (Deputy Editor-in-Chief)

N.Beglarashvili

G.Grigolia

J.Vachnadze

M.Salukvadze

Z.Khvedelidze

T.N.Cinciadze (Главный редактор)  
ЗАМ. ГЛАВНОГО РЕДАКТОРА

Г.Г.Меладзе

С.Н.Горгиджаниძე

Э.Ш.Элизбарашвили

Л.Н.Инцирвели

М.Р.Татишвили

**СЕКРЕТАРИ**

Н.И.Капанадзе

Н.Э.Арутюнян

**ЧЛЕНЫ**

Г.Н.Алексидзе  
Абд-Алла Гад (Саудовская Аравия)

Ц.З.Басилашвили

Н.Г.Бегларашвили

Н.С.Буачидзе

Г.Л.Григория

Г.С.Гуниა

Х.Т.Эгамбердиев (Узбекистан)

Б.М.Холматжанов (Узбекистан)

Н.Л.Двалишвили

Дж.И.Вачнадзе

К.Лашаури (Канада)

Шунлин Лиан (США)

Р.Н.Махмудов (Азербайджан)

М.Г.Меладзе

А.Н.Паранина (Россия)

М.П.Салуквадзе

Р.Д.Самукашвили

А.А.Сурмава

М.Г.Пипия

Садхан Кумар Гош (Индия)

Л.У.Шавлиашвили

Л.Д.Шенгелиა

Г.И.Херхеулидзе

З.В.Хведелиძე

**РЕДАКЦИОННЫЙ СОВЕТ**

Г.Г.Меладзе (Зам. гл. редактора)

Н.Г.Бегларашвили

Г.Л.Григория

Дж.И.Вачнадзе

М.П.Салуквадзе

З.В.Хведелиძე

**ს ა რ ჩ ე ვ ი O C O N T E N T S С О Д Е Р Ж А Н И Е**

1	თოვლის ზვავების დინამიკური მახასიათებლები. სალუქვაძე გ.	7
	Dynamic indicators of avalanche. Salukvadze M.	
	Динамические показатели лавин. Салуквадзе М.Е.	
2	მდინარე ნენსკრას ხეობის და მისი შენაკადების ზვავსაში შროება. სალუქვაძე გ., კობახიძე ნ.	11
	Avalanche hazard of the gorge of the Nenskra River and its tributaries. Salukvadze M., Kobakhidze N.	
	ლავиноопасность ущелья реки Ненскра и её притоков. Салуквадзе М.Е., Кобахидзе Н.И.	
3	იმერეთის რეგიონში ჩახერგილი უბნების გარღვევის შედეგად წარმოშობილი წყალმოვარდნების გეოგრაფია და მათი თავიდან აცილების გზები. გორგიაჯანიძე ს.	15
	Geography of Floodscaused by River Faultd in Imereti Region and Waysto Avoid Tham. Gorgijanidze S.	
	География наводнений, вызванных разломами рек в регионе Имеретии, и пути их предотвращения. Горгиджанидзе С. Н.	
4	საირიგაციო წყლის რესურსების მაფორმირებელი ფაქტორები და მათი დინამიკა შიგნით კაზხეთის რეგიონში. ბასილაშვილი ც.	21
	Formative factors of irrigation water resources and their dynamics in the region of Inner Kakheti. Basilashvili Ts.	
	Формирующие факторы ирригационных водных ресурсов и их динамика в регионе внутренней Кахетии. Басилашвили Ц.З.	
5	საქართველოში სარწყავად გამოყენებული ზოგიერთი მდინარის წყლის რესურსები ვეგეტაციის პერიოდში და მათი სტატისტიკური მახასიათებლები. შველიძე ო.	30
	Water resources of some rivers used for irrigation during vegetation period in Georgia and their statistic characteristics. Shvelidze O.	
	Водные ресурсы и статистические характеристики некоторых рек Грузии используемых для орошения в вегетационный период. Швелидзе О.Г.	
6	საქართველოს მყინვარული აუზების დეგრადაცია კლიმატის ცვლილების გამო. შენგელია ლ., კორდახია გ., თვარი გ., დაძამია გ.	34
	Degradation of Georgia's Glacial Basins Due to Current Climate Change. Shengelia L., Kordzakhia G., Tvauri G., Dzadzamia M.	
	Деградация ледниковых бассейнов Грузии в связи с текущим изменением климатаю. Шенгелия Л.Д., Кордзахия Г.И., Тваури Г.А., Дзадзамия М. ИШ.	
7	მდინარე ვერეს წყლისა მინდობის რეჟიმის ცვალებადობა და კვირვების მრავალწლიური პერიოდის ცალკეული ფაზების მიხედვით. ალავერდაშვილი მ., ცინცაძე ნ., ხუფენია ნ.	41
	Variability of the Vere River water content regime according to the individual phases of the multi-year observation period. Alaverdashvili M., Tsintsadze N., Khuphenia N.	
	Изменение водного режима р.Вера по отдельным фазам многолетних периодов наблюдений Алавердашвили М.Ш., Цинцадзе Н.Т., Хупения Н.Г.	
8	ყინვების გავლენა აგროკულტურებზე კლიმატის ცვლილების გათვალისწინებით. მელაძე გ., მელაძე გ.	45
	Impact of frosts on agricultural crops under climate change. Meladze G., Meladze M.	
	Влияние морозов на сельскохозяйственные культуры с учетом изменения климата. Меладзе Г.Г., Меладзе М.Г.	
9	კლიმატური პირობების გავლენა ზოგიერთი ვირუსული ინფექციის გავრცელებაზე საქართველოში. ფიფია გ. ბეგლარაშვილი ნ. დიასამიძე ც.	51
	The influence of climatic conditions on the spread of some viral infections in Georgia. Pipia M., Beglarashvili N., Diasamidze C.	
	Влияние климатических условий на распространение некоторых вирусных инфекций в Грузии. Пипия М.Г., Бегларашвили Н.Г., Диасамидзе Ц.О.	

	საქართველოს სამუნიციპალიტეტი დარაიონება კომპლექსური პარამეტრების გათვალისწინებით. ქართველი შვილი ლ.	56
10	Georgian Construction-Climate Zoning Considering Complex Options. Kartvelishvili L.	
	Строительно-климатическое зонирование Грузии с учетом сложных вариантов. Картвелишвили Л.Г.	59
11	ქ.თბილისის ატმოსფერული ჰაერის PM-ნაწილაკებით დაბინძურების გამოკვლევა. გიგაური ნ., მდივანი ს., კუხალაშვილი ვ., სურმავა ა., ინწკირველი ლ.	
	Investigation of Air Pollution in c. Tbilisi by PM-particles. Gigauri N., Mdivani S., Kukhalashvili G., Surmava A., Intskirveli L.	59
	Исследование загрязнения атмосферного воздуха г. Тбилиси PM-частицами. Гигаури Н.Г., Мдивани С.Г., Кухалашвили В.Г., Сурмава А.А., Инцкирвели Л.Н.	
12	ატმოსფერული მტვრის თავისებურებანი. გუნია გ.	67
	Features of atmospheric dust. Gunia G.	
	Особенности атмосферной пыли. Гуниа Г.С.	71
13	ატმოსფეროს ეკოლოგიური დატვირთვის მაჩვენებლის სივრცულ - დროითი განაწილების შეფასების საკითხისთვის. გუნია გ.	
	To the issues of assessing the spatio-temporal distribution of the indicator of the ecological load of the atmosphere. Gunia G.	
	К вопросам оценки пространственно-временного распределения показателя экологической нагрузки атмосферы. Гуниа Г.С.	77
14	ქ.თბილისის ატმოსფეროს მტვრით დაბინძურების ანალიზი მონიტორინგის ქსელის მონაცემების მიხედვით. კუხალაშვილი ვ., მდივანი ს., გიგაური ნ., სურმავა ა., ინწკირველი ლ.	
	Analysis of the Tbilisi Air Pollution with a Dust by Using the Data of the Monitoring Network. Kukhalashvili V., Mdivani S., Gigauri N., Surmava A., Intskirveli L.	
	Анализ загрязнения воздуха г.Тбилиси пылью по данным сети мониторинга. Кухалашвили В.Г., Мдивани С.Г., Гигаури Н.Г., Сурмава А.А., Инцкирвели Л.Н.	84
15	ამბროლაურის მუნიციპალიტეტის ნიადაგებში დარიშხების შემცველების ქიმიური კვლევა. შავლიაშვილი ლ., არაბიძე მ., ბაქრაძე ე., კუჭავა გ., ტაბათაძე გ.	
	Chemical study of arsenic in soils of the municipality of Ambrolauri. Shavliashvili L., Arabidze M., Bakradze E., Kuchava G., Tabatadze M.	
	Химическое исследование содержания мышьяка в почвах муниципалитета Амбролаури Шавлиашвили Л.У., Арабидзе М.А., Бакрадзе Е.М., Кучава Г.П., Табатадзе М.М.	91
16	მცხეთა-მთიანეთის რეგიონის მაღალმთიანი რეგიონურ ტერიტორიებზე არალეგალური ნაგავსაყრელების წარმოქმნის აღბათობის შესწავლა. დვალიშვილი ნ., ბუაჩიძე ნ.	
	Study of the Probability of the Formation of Illegal Landfills in the High Mountainous Rural Territories of Mtskheta-Mtianeti Region. Dvalishvili N., Buachidze N.	
	Исследование вероятности формирования незаконных свалок в высокогорных сельских районах Мцхета-Мтианетского региона. Двалишвили Н.Л., Буачидзе Н.С.	98
17	ნალექთა ხელოვნური რეგულირების სამუშაოთა ჩატარების სამართლებრივი ასპექტები. კაპანაძე ნ., ბერითაშვილი ბ., ცინცაძე თ.	
	The legislative aspects of precipitation artificial modification activities. Kapanadze N., Beritashvili B., Tsintsadze T.	
	Правовые аспекты проведения работ по искусственному регулированию осадков. Капанадзе Н.И., Бериташвили Б.Ш., Цицадзе Т.Н.	

18	ქ.თბილისის პარის ტემპერატურის ცვალებადობის ანალიზი. კაპანაძე ნ., მკურნალიძე ი.	103
	Analysis of air temperature variations in Tbilisi. Kapanadze N., Mkurnalidze I.	
19	ანალიზ ვარიაციების ტემპერატურის ცვალების მიხედვის და კლიმატის გვლევაში. ტატიშვილი, გ., სამხარაძე, ი., ფალავანდიშვილი ა.	109
	Use of geo-magnetic indices in weather and climate research. Tatishvili M., Khvedelidze Z., Samkharadze I., Palavandishvili A.	
	Использование геомагнитных индексов в исследованиях погоды и климата. Татишвили М.Р., Хведелидзе З.В., Самхарадзе И.Н., Палавандишивили А.М.	
20	ჰაერის ნაკადის მიკროცირკულაციური მოძრაობის დინამიკა და კლიმატური თავისებურებები სვანეთის რეგიონში სამხარაძე ი., ხვედელიძე ზ., ზოტიშვილი ნ.	114
	Dynamics of microcirculation movement of air flow and climatic peculiarities in Samegrelo-Zemo Svaneti region. Khvedelidze Z., Samkharadze I., Tatishvili M., Zotikishvili N.	
	Динамика движения микроциркуляции воздуха и климатические особенности региона Сагмурело-Земо Сванети. Хведелидзе З.В., Самхарадзе И.Н., Зотикишвили Н.Ш., Татишвили М.Р.	

წინამდებარე კრებულში შესულია პიდრომეტეოროლოგიის ინსტიტუტის 67-ე მაისის სამეცნიერო სესიაზე მოსმენილი მოხსენებები, მიღვნილი პიდრომეტეოროლოგიისა და ეკოლოგიის აქტუალური პრობლემებისადმი. შესაბამისი სტატიები მოცემულია შემდეგ სამეცნიერო მიმართულებათა მიხედვით: მეტეოროლოგია, კლიმატოლოგია, აგრომეტეოროლოგია, პიდროლოგია, კლიმატის ცვლილება, ბუნებრივი გარემოს დაბინძურება. კრებული განკუთვნილია გეოფიზიკურ, გეოგრაფიულ და ეკოლოგიურ მეცნიერებათა სხვადასხვა დარგში მომუშავე მეცნიერებისა და სპეციალისტებისათვის, მაგისტრანტებისა და დოკტორანტებისათვის.

In this issue texts of papers presented at the 67-th May scientific session of the Institute of Hydrometeorology are offered, dedicated to the pressing problems of Hydrometeorology and Ecology. Relevant papers are given according to the following scientific directions: Meteorology, Climatology, Agrometeorology, Hydrology, Climate Change, Environmental Pollution.

The volume is intended for experts working in different branches of geophysical, geographical and ecological sciences, magistrates and doctorates.

В настоящий сборник включены тексты докладов, заслушанных на 67-ой майской научной сессии Института Гидрометеорологии, посвященной актуальным проблемам гидрометеорологии и экологии. Соответствующие статьи даны по следующим научным направлениям: метеорология, климатология, агрометеорология, гидрология, изменение климата, загрязнение природной среды.

Сборник предназначен для ученых и специалистов, работающих в различных областях геофизических, географических и экологических наук, магистрантов и докторантов.

უაკ 551.578.46

## თოვლის ზვავების დინამიკური მახასიათებლები

გ. სალუქვაძე

საქართველოს ტექნიკური უნივერსიტეტის პიდრომების მინისტრის მინისტრი  
 საქართველო, თბილისი Salukvadze.manana@yahoo.com

ზვავსაშიში ტერიტორიის გამოვლენა მჭიდროდ არის დაკავშირებული ზვავშემკრებების მორფომეტრიულ (ზვავშემკრების სიგრძე, დასაწყისისა და დასასრულის აბსოლუტური სიმაღლე, ცალკეული მონაკვეთების აბსოლუტური და შეფარდებითი სიმაღლე, დახრის კუთხე, ზვავის კერის ფართობი) და ზვავების დინამიკურ (ზვავის სიჩქარე, დარტყმის ძალა, მოძრავი ზვავის სიმაღლე, კონუსის მოცულობა) მახასიათებლებზე.

საველე სამუშაოების დროს მოპოვებული მასალების, ზვავების ჩამოსვლის ადგილისა და დროის, მათი ჩამოსვლით გამოწვეული შედეგების შესახებ გამოქვეყნებული, ასევე საარქივო წყაროებში არსებული მონაცემების და მოსახლეობიდან მიღებული ინფორმაციით, ზვავის ადგილმდებარეობის დაზუსტება ხდება

ზვავსაწინააღმდეგო ღონისძიებების განსახორციელებლად აუცილებელია ზვავის მაქსიმალური სიჩქარისა და დარტყმის ძალის დადგენა. ზოგიერთი ზვავი, ზამთრის განმავლობაში, რამდენჯერმე ჩამოდის და ამ სიდიდეების დასადგენად მრავალწლიური მონაცემებია საჭირო. ზვავის მოძრაობის გასწვრივ რამდენიმე ადგილას, ზვავის დარტყმის ძალისა და სიჩქარის გასაზომი საინჟინრო ნაგებობა უნდა განთავსდეს ამ სიდიდეების გამზომი ხელსაწყოებით, რაც ჩვენს სინამდვილეში ფაქტობრივად შეუძლებელია, მით უფრო, რომ საქართველოს მთიანი რაიონების 338 დასახლებულ პუნქტს და საავტომობილო გზებს 1388 ზვავი უქმნის საფრთხეს [1]. ზვავის დინამიკური მახასიათებლების გამოსათვლელად ოეორიული მეორდები გამოიყენება. ზვავების მახასიათებლების გაანგარიშების მრავალი ფორმულის ანალიზის საფუძველზე, შედგენილია სპეციალური მითითება [2] და ინსტრუქცია [3] ზვავსაწინააღმდეგო დამცავი ნაგებობის დაპროექტებისა და მშენებლობის შესახებ. ზვავის გატყორცნის სიშორის, მოძრავი ზვავის სიმაღლის და კონუსის მოცულობის გამოთვლასაც ფორმულებით ვაწარმოებთ, რომლებიც არაერთხელ გადავამოწმეთ საველე კვლევების დროს მიღებული მასალებით. მოძრავი ზვავის სიჩქარე შემდეგი ფორმულებით გამოითვლება: (1-3)

$$v = \sqrt{\frac{as}{2}}, \quad a = 9,8(\sin \alpha - f \cos \alpha),$$

$$v = \sqrt{\frac{a(s_o + s)}{2} + \left( \frac{s_o}{s_o + s} \right)^3 \left( v_o^2 \cos^2 \Delta\alpha - \frac{as_o}{2} \right)}, \quad (1-3)$$

$$v = \sqrt{2gz}, \quad z = h - \frac{H-I}{L},$$

სადაც:  $v$  – ზვავის სიჩქარეა გზის მოცემულ წერტილში ( $\text{მ}/\text{წ}$ );  $\alpha$  – ფერდობის დახრის კუთხე, (გრად);  $s$  – ფერდობის სიგრძე ( $\text{მ}$ );  $s_o$  – ზვავის წინამონაკვეთების სიგრძეთა ჯამი;  $v_o$  – ზვავის სიჩქარეა განვლილი გზის მონაკვეთის ბოლოს;  $\Delta\alpha$  – წინა და მოცემული გზის მონაკვეთების დახრის კუთხეებს შორის სხვაობა (გრად);  $g$  – სიმძიმის ძალის აჩქარება ( $\text{მ}/\text{წ}$ );  $H$  – ზვავის მოწვევებისა და გაჩერების ადგილებს შორის სიმაღლეთა სხვაობა ( $\text{მ}$ );  $h$  – იგივე, ზვავის მოძრაობის გრძივი პროფილის იმ წერტილზე, სადაც განისაზღვრება  $V_{\text{ზ}}$ ;  $L$  – ზვავის მოძრაობის გზის პირველი პროექციის სიგრძე ( $\text{მ}$ );  $I$  – იგივე იმ წერტილამდე, სადაც განისაზღვრება  $V_{\text{ზ}}$ .

პირველი ფორმულით ზვავის საწყისი სიჩქარე გამოითვლება. გამარტივების მიზნით ა კოეფიციენტი სხვადასხვა დახრილობის ფერდობებისთვის წინასწარ გამოვთვალეთ (ცხრ.1). ზვავის დარტყმის ძალა უძრავ წინააღმდეგობაზე გამოითვლება ფორმულით:

$$p = \frac{\gamma_{b_3} \sin^2 \beta}{q} , \quad (4)$$

სადაც:  $p$  – ზვავის ზემოქმედება წინააღმდეგობაზე ( $\delta/\delta^2 \gamma_{\text{v}} = 0,45 \ \delta/\delta^2$ );  $\beta$  – კუთხის ზვავის მოძრაობის მიმართულებასა და ნაგებობის ზედაპირს შორის (გრად).

ცხრილი 1.აკოეფიციენტის მნიშვნელობა სხვადასხვა დახრილობის ფერდობებისთვის

$\alpha$	<b>a</b>	$\alpha$	<b>a</b>	$\alpha$	<b>a</b>	$\alpha$	<b>a</b>	$\alpha$	<b>a</b>								
<b>50</b>	6.0	<b>38</b>	4.1	<b>26</b>	2.1	<b>14</b>	-0,01	<b>2</b>	-2.1	<b>-10</b>	-4.1	<b>-22</b>	-59	<b>-34</b>	-7.5		
<b>49</b>	5,8	<b>37</b>	3.9	<b>25</b>	1.9	<b>13</b>	-0.2	<b>1</b>	-2.2	<b>-11</b>	-4.3	<b>-23</b>	-6.1	<b>-35</b>	-7.6		
<b>48</b>	5.6	<b>36</b>	3.8	<b>24</b>	1.8	<b>12</b>	-0.3	<b>0</b>	-2.4	<b>-12</b>	4.4	<b>-24</b>	6.3	<b>-36</b>	-7.7		
<b>47</b>	5.5	<b>35</b>	3.6	<b>23</b>	1.6	<b>11</b>	-0.5	<b>-1</b>	-2.5	<b>-13</b>	<b>-4.5</b>	<b>-25</b>	-6.4	<b>-37</b>	-7.8		
<b>46</b>	5.4	<b>34</b>	3.4	<b>22</b>	1.4	<b>10</b>	-0.7	<b>-2</b>	-2.7	<b>-14</b>	<b>-4.7</b>	<b>-26</b>	-6.5	<b>-38</b>	-7.9		
<b>45</b>	5.2	<b>33</b>	3.2	<b>21</b>	1.3	<b>9</b>	-0.9	<b>-3</b>	-2.9	<b>-15</b>	<b>-4.9</b>	<b>-27</b>	-6.6	<b>-39</b>	-8.0		
<b>44</b>	5.0	<b>32</b>	3.1	<b>20</b>	1.1	<b>8</b>	-1.1	<b>-4</b>	-3.1	<b>-16</b>	<b>-5.0</b>	<b>-28</b>	-6.8	<b>-40</b>	-8.1		
<b>43</b>	4.9	<b>31</b>	2.9	<b>19</b>	0.8	<b>7</b>	-1.3	<b>-5</b>	-3.3	<b>-17</b>	<b>-5.2</b>	<b>-29</b>	-6.9	<b>-41</b>	-8.3		
<b>42</b>	4.7	<b>30</b>	2.7	<b>18</b>	0.7	<b>6</b>	-1.5	<b>-6</b>	-3.5	<b>-18</b>	<b>-5.4</b>	<b>-30</b>	-7.0	<b>-42</b>	-8.4		
<b>41</b>	4.6	<b>29</b>	2.5	<b>17</b>	0.5	<b>5</b>	-1.6	<b>-7</b>	-3.6	<b>-19</b>	<b>-5.5</b>	<b>-31</b>	-7.1	<b>-43</b>	-8.5		
<b>40</b>	4.4	<b>28</b>	2.4	<b>16</b>	0.3	<b>4</b>	-1.8	<b>-8</b>	-3.8	<b>-20</b>	<b>-5.6</b>	<b>-32</b>	-7.2	<b>-44</b>	-8.6		
<b>39</b>	4.3	<b>27</b>	2.2	<b>15</b>	0.2	<b>3</b>	-2.0	<b>-9</b>	-4.0	<b>-21</b>	<b>-5.8</b>	<b>-33</b>	-7.3	<b>-45</b>	-8.7		

ზვავის დარტყმის ძალა დამოკიდებულია ზვავის მოძრაობის სიჩქარეზე და გამოოვლების გასამარტივებლად სხვადასხვა სიჩქარის ზვავისთვის გამოვთვალეთ ზვავის დარტყმის ძალა (ცხრ. 2).

ცხრილი 2. ზგავის სიჩქარე და დარტყმის ძალა

v	p	v	p	v	p	v	p	v	p	v	p	v	p	v	p
1	0.05	11	5.5	21	20.2	31	44.1	41	77.1	51	119.4	61	170.8		
2	0.2	12	6.6	22	22.2	32	47.0	42	80.1	52	124.2	62	176.5		
3	0.4	13	7.7	23	24.2	33	50.0	43	84.9	53	129.0	63	182.2		
4	0.7	14	9.0	24	26.4	34	53.0	44	88.9	54	133.9	64	188.0		
5	1.1	15	10.3	25	28.7	35	56.2	45	93.0	55	138.9	65	194.0		
6	1.6	16	11.7	26	31.0	36	59.5	46	97.1	56	144.0	66	206.1		
7	2.0	17	13.2	27	33.4	37	62.8	47	101.4	57	149.2	67	206.1		
8	2.9	18	14.8	28	36.0	38	66.3	48	105.8	58	154.5	68	212.8		
9	3.7	19	16.5	29	38.6	39	69.7	49	110.2	59	159.8	69	218.6		
10	4.6	20	18.3	30	41.3	40	73.5	50	114.8	60	165.3	70	225.0		

ზვავის მოცულობის გამოთვლაც ფორმულით არის შესაძლებელი:

$$W = 0,4F \cdot h, \quad (5)$$

სადაც:  $W$  – ზვავის მოცულობა ( $\theta^3$ );  $F$  – ზვავშემკრების ფართობი ( $\theta^2$ );  $h$  – ზვავშემკრებში თოვლის საფარის სიმაღლე.

ზვავის მიერ გამოტანილი ოვალის სიმაღლე გამოითვლება ფორმულით:

$$H_{\text{b3}} = 3 h_0 \quad (6),$$

ახალმოსული თოვლის ზეაგისთვის

$$H_{b3} = 5 h_0 \quad (7),$$

ძველი თოვლის ზვავისთვის;  $H_0$ -ზვავის მიზ გამოტანილი თოვლის სიმაღლეა ( $\theta$ )-ში;  $h_0$ -  
ფერდობის მოცემულ მონაკვეთზე თოვლის საფარის მაქსიმალური სიმაღლე ( $\theta$ );

ზვავსაშიშროების კვლევის მიზანი ეფუძნებული ზვავსაწინააღმდეგო ღონისძიებების შემუშავება, ამისათვის კი აუცილებელია ზვავშემკრებების მორფომეტრიული და ზვავების დინამიკური მახასიათებლების თავისებურებების დადგენა, შესაბამისი სიღილეების გამოყვალა.

ნიმუშად მოვიყვანო ერთ-ერთი ზვავშემკრების მორფომეტრიულ და ზვავის დინამიკური მახასიათებლებს.

ზვავშემკრებების მორფომეტრიული და ზვავების დინამიკური მახასიათებლების ცხრილში (ცხრ.3) მოცემულია მონაცემები ზვავშემკრებისა და მისი ცალკეული მონაკვეთების აბსოლუტური და შეფარდებითი სიმაღლის შესახებ, პორიზონტალურ და ფაქტიურ სიგრძეზე, ზედაპირის დახრილობაზე, ზვავის კერის ფართობზე. მაგალითისათვის მოყვანილია სოფ. ღურტას (აჭარა, ხულოს მუნიციპალიტეტი) ზვავი.

**ცხრილი 3 ზვავშემკრების მორფომეტრიული და ზვავის დინამიკური მახასიათებლები აჭარაში, ხულოს მუნიციპალიტეტის სოფ. ღურტა**

სიმაღლე, მ		სიგრძე, მ		ჯამური, მ		ზვავის							
აბსოლუტური	შეფარდებითი	პორიზონტალური	ფაქტიური	პორიზონტალური	ფაქტიური	გერის ფართობი, ჰა	დანორის გუთხე, გრად	სიჩქარე, მ/წ	დარტყმის პალა, ტ/გ <sup>2</sup>	კონკასია, მლცულობა,	სიმაღლე, მ	სიგრძე, მ	განერების სიმაღლე, მ
1260													
1220	40	53	65	53	65		27	11	6				
1205	15	38	40	91	105		22	10	5				
1170	35	53	65	144	170		33	16	12				
1090	80	112	135	256	303		35	23	24				
<b>1077</b>	<b>13</b>	<b>40</b>	<b>45</b>	<b>296</b>	<b>350</b>		<b>18</b>	<b>20</b>	<b>18</b>				
<b>1000</b>	<b>77</b>	<b>280</b>	<b>290</b>	<b>576</b>	<b>640</b>		<b>15</b>	<b>12</b>	<b>7</b>				
<b>910</b>	<b>90</b>	<b>500</b>	<b>510</b>	<b>1076</b>	<b>1150</b>		<b>10</b>	<b>0</b>	<b>0</b>	<b>7</b>	<b>12</b>	<b>1150</b>	<b>910</b>

გაივლის შენობებთან ზედა, შეა და ქვედა გზაზე

მრავალწლიური კვლევების შედეგად სხვადასხვა სიმაღლითი ზონიდან ჩამოსული ზვავის არაერთი სიჩქარე და დარტყმის ძალა გამოვთვალეთ. ცხრილში 4 წარმოგიდგენთ ფრაგმენტს ცხრილიდან, სადაც 3118 ზვავის გადაადგილების სიჩქარე და დარტყმის ძალაა გამოვლილი სხვადასხვა სიმაღლისა და ფერდობის დახრილობის მიხედვით.

**ცხრილი 4. ზვავის გადაადგილების სიჩქარე და დარტყმის ძალა სიმაღლითი ზონებისა და სხვადასხვა დახრილობის ფერდობებისთვის**

N <sup>o</sup>	სიმაღლე H, მ	ფერდობის დახრის კუთხე, ა გრად	ზვავის გადაადგილების სიჩქარე, V მ/წ	ზვავის დარტყმის ძალა. P ტ/გ <sup>2</sup>
3114	3710	35	43	85
3115	3720	36	46	97
3116	3785	40	47	101
3117	3800	40	54	134
3118	3995	40	52	124

ცხრილში მოყვანილი მონაცემები გვაძლევს შესაძლებლობას ანალოგიური დახრილობის ფერდობისა და ზვავის ჩამოსვლის სიმაღლის შემთხვევაში, მარტივად განისაზღვროს როგორც ზვავის გადაადგილების მაქსიმალური სიჩქარე, ისე მაქსიმალური დარტყმის ძალა. ეს ორი პარამეტრი მნიშვნელოვანი სიღილეა ინფრასტრუქტურული პროექტების განხორციელებისას.

## ლიტერატურა—REFERENCES—ЛИТЕРАТУРА

1. მ. სალუქვაძე. საქართველოს თოვლის ზვავების კადასტრი. საქართველოს ტექნიკური უნივერსიტეტის პიდრომეტეოროლოგიის ინსტიტუტი, თბილისი, 2018, 264 გვ. ISBN 978 9974-8-0843-2.
  2. მ.სალუქვაძე, ნ.კობახიძე, გ.ჯინჭარაძე. ზვავსაშიში დასახლებული პუნქტები საქართველოში. საქართველოს ტექნიკური უნივერსიტეტის დაარსებიდან 90 წლისადმი მიმღვნილი საერთაშორისო სამეცნიერო კონფერენციის შრომები, 2012, გვ. 58-52.
  3. Инструкция по проектированию и строительству противолавинных сооружений СН-517-80.М., 1980, 16 с.
  4. Указания по расчёту снеголавинной нагрузки при проектировании. М., 1973, 20 с.

353 551.578.46

ზვავების დინამიკური მახასიათებლები/მ.სალუქვაძე/.სტუ-ის ჰამი-ის სამეცნ. რეფ. შრ. კრებ. – 2020. - ტ.129. - გვ.7-10. - ქართ.; რეზ.: ქართ., ინგლ., რუს. ზვავების ტერიტორიალური განაწილება მჭიდროდ არის დაკავშირებული ზვავშემკრებების მორფომეტრიულ და ზვავების დინამიკურ მახასიათებლებთან. ზვავების დინამიკური მახასიათებლების გამოსათვლელად მრავალი ფორმულის ანალიზის საფუძველზე წარმოდგენილია არსებულ მითითებასა და ინსტრუქციაში შეტანილი სიდიდეების გამოთვლის გამარტივებული სქემა. შედგენილია სხვადასხვა სომაღლით ზონაში (200-3995 მ) და დახრილობის (12-52<sup>0</sup>) ფერდობებზე 3118 ზვავის გადაადგილების სიჩქარისა და დარტყმის ძალის სიდიდეები.

UDK 551.578.46

**Dynamic indicators of avalanche**/M.Salukvadze/.Scientific Reviewed Proceedings of the IHM, GTU. - 2020 - vol.129 - pp.7-10. Georg.; Abst.: Georg., Eng., Rus. The territorial distribution of avalanches is closely related to morphometric avalanche data and dynamic avalanche indicators. Based on the analysis of the formulas for calculating the dynamic indicators of avalanches in existing manuals and the instructions provide a simplified scheme of this data. The speed and force of impact for 3,118 avalanches converging in various high-altitude zones (200-3995 m) and slopes (12-520) has been collected.

**Динамические показатели лавин.** /Салуквадзе М.Е./Науч. Реф. Сб. Труд. ИГМ ГТУ –2020. вып. 129 - с.7-10. - Груз.; Рез.: Груз., Англ., Рус. Территориальное распределение лавин тесно связано с морфометрическими данными лавиносборов и динамическими показателями лавин. На основе анализа формул вычисления динамических показателей лавин в действующих руководстве и в инструкции представлена упрощённая схема этих данных. Составлена скорость движения и сила удара для 3118 лавин, сходящих в разных высотных зонах (200-3995 м) и уклонов склонов (12-52°).

၅၃ 551.578.46

მდინარე ნესკრას და მისი შენაკადების ზღაპრულობა

### **၃. စာလျှိုက်ဒာမျိုး၊ ၆. ဂုဏ်ပေါင်မျိုး**

საქართველოს გენერალური უნივერსიტეტის პიდრომეტეოროლოგიის ინსტიტუტი  
საქართველო, თბილისი Salukvadze.manana@yahoo.com

მდინარე ნენსკრას და მისი შენაგადების ზეავსაშიშროების შესწავლა დაკავშირებულია 2018 წლის 5-7 ივლისის წყალდიღობასთან, რომელმაც ძლიერ დაზიანა ჭუბერის თემის მოსახლეობა. წყალდიღობის გამომწვევი მიზეზი 4 ივლისის უხვი ნალექი და წინა პერიოდის ჰაერის ტემპერატურის მკვეთრი მატება იყო, რამაც მთაში თოვლის სწრაფი დონის გამოიწვია. მდინარე ნენსკრა, რომლის ფართობი არის 623 კმ, მყინვარული საზღვრობის მდინარეა. იწყება კავკასიონის სამხრეთ ფერდობებზე, ზღვის დონიდან 2588 მ-ის სიმაღლეზე და მდინარე ენგურს უერთდება 566 მ-ის სიმაღლეზე სოფ. ტობართან. მდინარის სიგრძე 42 კმ-ია, საავტომობილო გზების დეპარტამენტის ინფორმაციით, ძლიერი წვიმის შედეგად მთა ჩამოშალა, რამაც მდინარის დაგუბება გამოიწვია, ხოლო დაგუბებულმა წყალმა მეწყერისგან ჩაკეტილი კალაპოტი გაარღვია და მდინარის პირას არსებული სახლები წაიღო და დაანგრია რამდენიმე ხიდი, რამაც გარესამყაროს მოწყვიტა ჭუბერის თემის ათივე სოფელი.

მდინარის აუზში მყინვარებით დაფარულია მხოლოდ მთლიანი ფართობის 8% [1]. ერთ-ერთი მყინვარი მეტულია, რომელსაც „პოკრილის თავე“ უწოდებენ, მისი სიგრძე 1,9 კმ, ფართობი 1,22 კმ, იწყება 3606 მ-ის და მთავრდება 2579 მ სიმაღლეზე. მწვერვალების სიმაღლე 3700-4000 მ-ია, მათგან გამოიჩევა მწვერვალი ხარიხება (3711 მ ზღვის დონიდან), კვარმაში (3718 მ), შდავლერი (3995 მ).

მდინარე ნენსკრას 133-მდე პატარა მდინარე, ნაკადული უერთდება, მათგან 9 ძირითადი მდინარის სიგრძე აღემატება 10 კმ-ს. ადგილობრივი მოსახლეობა ამ შენაკადებს ასე უწოდებს: ჭუბრულა (სიგრძე 33 კმ), ორმელეთიშლიცი (30 კმ), ლახმაშლიცი (14 კმ), დალრიარლიცი (13 კმ), მემლურა (12 კმ), დანარჩენი მდინარეების სიგრძე ნაკლებია 10 კმ-ზე: თეთნაშურა, პოკრილაშლიცი, ტიტაშლიცი და მდ. მარდულას მარჯვენა შენაკადი გუაშლარარიშლიცი. (ლიცი სვანურად წყალს ნიშნავს).

წლების მანძილზე ჩატარებული ექსპედიციური სამუშაოს შედეგებით ამ ხეობაში არაერთი ზვავის ჩამოსვლა გვაქვს დაფიქსირებული, რომელთა კონუსი ხშირად იწვევდა მდინარის შეგუბებას, ამიტომ გადავწყვიტო დეტალურად შეგვესწავლა მდ. ნენსკრას ხეობისა და მისი შენაკადების ზვავსაში შროება. გამოგვეთვალა 494 ზვავშემკრების მორფომეტრიული და ზვავების დინამიკური მახასიათებლები, რომლებიც არა მხოლოდ დასახლებულ ადგილებში, არამედ მდინარის ძირითადი შენაკადების ფერდობებიდანაც ჩამოდის (ცხრ.1).

**ცხრილი 1.** მდინარე ნენსკრასა და მისი ძირითადი შენაკადების მარჯვენა და  
მარცხენა ფერდობებზე ზგავების რაოდენობა

№	მდინარის დასახელება	მარჯვენა ფერდ.	მარცხენა ფერდ.	სულ
1	ჭუბრულა	54	82	136
2	ორმელეთიშლიოცი	46	36	82
3	ლახმაშლიოცი	22	9	31
4	თეთნაშერა	13	7	20
5	პოკრილაშლიოცი	13	14	27
6	მემლურა	13	12	25
7	დალრიარლიოცი	16	29	45
8	ნენსკრა	39	32	71
9	ტიტაშლიოცი	19	12	31
10	გუაშლარარლიოცი (მდ.მარდულას მარჯვენა შენაკადი)	14	12	2
	სულ	249	245	494

ჭუბერის თემი ათივე სოფელი ზვაგსაში შროებით გამოირჩევა და ზვავებმა უხვოვლიან ზამთრებში არართი ადამიანის სიცოცხლე შეიწირა და დიდი მატერიალური ზიანი მიაყენა ადგილობრივ მოსახლეობას (ცხრ.2) [2, 3]. ზვავების შედეგად სხვადასხვა წლებში დაიწუპა

40 ადამიანი, დაინგრა და დაზიანდა საცხოვრებელი სახლები, დამხმარე ნაგებობები, განადგურდა ხეილის ბაღები, ტყე, დაიხოცა მსხვილფეხა და წვრილფეხა საქონელი.

**ცხრილი 2 ზგავების შედეგად გამოწვეული ზარალი ჭუბერის თვემის სოფლებში**

№	წელი, თვე, რიცხვი	დასახლებუ- ლი პუნქტი	ა- მ- ე- რ- ა- ზ	ნგრევა		განადგურდა		საქონელი	
				სახლი	ნაღები	კა- ბა- ზი	კა- ბე- ბე	მსხვილფეხა	წვრილფეხა
1	01. 1932	ლახამი	9	3	2	1	0,6	14	80
2	14.01. 1976	ლახამი	4	-	1	1	-	-	-
3	—”	ლეწვერი	3	3	-	0,9	0,5	15	23
4	—”	დევრა	3	-	-	2	0,3	-	-
5	—”	ზემო მარდი	8	2	-	6	0,3	9	40
6	—”	ქვემომარდი	2	-	4	2	0,4	-	-
7	—”	ლარილარი	2	2	2	-	0,4	-	-
8	17.01. 1976	ლეკალმახე	-	-	2	-	0,2	-	-
9	18.01. 1976.	ყარი	-	-	3	-	0,2	-	-
10	30.01. 1987.	ლეწვერი	4	3	2	2	0,3	8	6
11	—”	იდლიანი	3	2	-	-	0,3	10	8
12	—”	ლახამი	1	1	-	0,2	0,3	10	8
13	—”	დევრა	-	2	2	2	0,7	16	14
14	—”	ყარი	-	-	2	-	0,2	-	-
15	—”	ლარილარი	-	5	8	-	1,8	34	22
16	—”	ქვედა მარდი	1	6	5	5,2	1,0	27	28
17	—”	ლეკალმახი	-	-	2	-	0,2	-	-
<b>ს უ ლ</b>			<b>40</b>	<b>29</b>	<b>35</b>	<b>22,3</b>	<b>7,7</b>	<b>143</b>	<b>229</b>

ზვავშემკრებების უმეტესობა 1501-3000 მ-ის სიმაღლეზეა და 1000-2000 მ-მდე მთავრდება. ფართობის მიხედვით გვხვდება, როგორც 0,5 ჰა-ზე ნაკლები ფართობის მქონე, ისე 100 ჰა-ზე მეტი ფართობის მქონე ზვავები, რომელთა რიცხვი ერთ შემთხვევაში 173 (35%), ხოლო მეორე შემთხვევაში 28 (6%). 494 ზვავიდან 57 ზვავის სიგრძე 3000 მ-ზე მეტია, უმეტესად კი (379 ზვავი, ანუ 77%) 500-დან 2500 მ-ის სიგრძისაა. ამ ხეობაში არის როგორც 5000 მ³ ნაკლები მოცულობის, ასევე მაგალითად 34 ზვავის მოცულობა აღემატება 2500 ათას მ³ -ს, ძირითადად, 494 ზვავიდან 359-ის (73%) მოცულობა 5 ათასიდან 2500 ათასი მ³. მდ. ნენსკრას შენაკადების მიმდებარე ფერდობები, ძირითადად, 25-45° დახრილობისაა (91%), 494 ზვავიდან 25°-ზე ნაკლები დახრილობის მხოლოდ 21 (4%), ხოლო 45° მეტი დახრილობის 25 (5%) ფერდობია.

ნებისმიერი საინჟინრო პროექტისთვის, რომელიც მთიან რაიონებში განხორციელდება დიდი მნიშვნელობა აქვს ისეთ დინამიკურ მახასიათებლებს, როგორიცაა ზვავის სიჩქარე და ზვავის დარტყმის ძალა. 24 ზვავის (5%) სიჩქარე ნაკლებია 20 მ/წმ-ზე, ხოლო 11-ის (2%) მეტია 50 მ/წმ-ზე. ზვავების უმეტესობის (453 ზვავი, 93%) სიჩქარე 21-დან 50 მ/წმ-ია. 100 ტ/მ² დარტყმის ძალა 27 (5%) ზვავს აქვს, ასევე 25 ტ/მ² - 49 (10%) ზვავს, ხოლო 418 (85%) ზვავის დარტყმის ძალა 26-100 ტ/მ²-ია. კიდევ ერთი პარამეტრი – მოძრავი ზვავის სიმაღლეა, განსაკუთრებით დიდი 34 მ-ზე მეტი სიმაღლით 261 (53%) ზვავი გამოირჩევა, ხოლო დანარჩენი ზვავის სიმაღლე (47%) 16-21 მ-ია.

2018 წლის 5-7 ივნისის წყალდიდობა გამოწვეული იყო მდ. პოკრილაშლიცის სათავეში წყლის შეგუბებით, შემდეგ კი მისი გარდვევით, რაც სოფლების დატბორვის მიზეზი გახდა, პირდაპირ ეთერში ვუყურებდით ადიდებული მდინარის მიერ საცხოვრებელი სახლების ნგრევას, ნათესი ფართობების, ხეილის ბაღებისა და ეზოების მიტაცებას. მდინარე პოკრილაშლიცის ხეობაში ზვავების (25 ზვავი, მარჯვენა ფერდობიდან 13, ხოლო მარცხენა

ფერდობიდან 12 ზვავი (ჩამოდის) დინამიკურმა მახასიათებლებმა და განსაკუთრებით მდინარის სათავეში არსებული 5 ზვავის კონუსის მოცულობის მნიშვნელობაშ (ცხრ.3, გრაფა 9) მოგვცა შესაძლებლობა გამოგვეთქვა ვარაუდი, რომ ხომ არ იყო, თუნდაც მიწის ჩამოშლის მიზეზი, მაღალი ჰაერის ტემპერატურის გამო ზვავის კონუსების დნობა. ამ ზვავშემკრებების მორფომეტრიული და ზვავების დინამიკური მახასიათებლები ცხრილის სახით წარმოვადგინეთ (ცხრ.3).

**ცხრილი 3. მდინარე ნენსკრას და მისი ძირითადი 9 შენაკადის ხეობების ზვავშემკრებების მორფომეტრიული და ზვავების დინამიკური მახასიათებლები**

Nº	ზვავშემკრებების დინამიკური მდინარეები ადსოლუტური სიმაღლე	ზვავშემკრებების დინამიკური მდინარეები გართვა							
მდინარე ჰოკილაშვილიცის სათავე, მწვ. 3282 მ. ჩრდილო აღმოსავლეთით									
1	3150	1680	3520	110	27	28	36	3080	35
მდინარე ჰოკილაშვილიცის სათავე, მწვ. 3269 მ. ჩრდილო აღმოსავლეთით									
2	3400	1680	4910	205	30	31	44	5740	35
მდინარე ჰოკილაშვილიცის სათავე, მწვ. 3713 მ. ჩრდილო აღმოსავლეთით									
3	3713	1800	5260	225	30	43	85	6300	35
მდინარე ჰოკილაშვილიცის სათავე, მწვ. მაგუაშარსის (3853 მ) აღმოსავლეთით									
4	3800	1800	4380	105	48	54	134	2940	35
მდინარე ჰოკილაშვილიცის სათავე, მწვ. მაგუაშარსის (3853 მ) აღმოსავლეთით									
5	3852	1800	4585	125	26	52	124	3500	35

როგორც ცხრილიდან ჩანს, ამ ხუთი ზვავის კონუსის მოცულობა 2940-6300 ათას მ<sup>3</sup>-ია და საკმაოდ დიდი რაოდენობით თოვლის მასას ჩამოიტანდა ზამთარში. ცხადია, კონუსის ნაწილი დარჩენილი იქნებოდა მდინარის ხეობაში, რადგან, ხშირ შემთხვევაში, დიდი მოცულობის ზვავის კონუსები ვერ ასწრებს მომდევნო ზამთრამდე დადნობას. შესაძლებელია ჰაერის მაღალმდებარებული ტემპერატურამ, რაც წინ უსწრებდა წყალშეგუბებას და შემდგომ განვითარებულ მოვლენებს, ხელი შეუწყო აქ არსებული კონუსების სწრაფ დნობას და მიწის მასის ჩამოშლას.

**ლიტერატურა – REFERENCES – ЛИТЕРАТУРА**

- რ. გობეჯიშვილი, ვ. კოტლიაკოვი. გლაციოლოგია. ჯავახიშვილის სახელობის თსუ გეოგრაფია-გეომორფოლოგიია კათედრა, ვახუშტი ბაგრატიონის სახელობის გეოგრაფიის ინსტიტუტი, თბილისი, 2006.
- მ. სალუქვაძე. ზემო სვანეთის ზვავსაშიშროება. საქართველოს ტექნიკური უნივერსიტეტის პიდრომეტეოროლოგიის ინსტიტუტი, თბილისი. 2011. ISBN 978 9941-0-3652-1.
- მ. სალუქვაძე. საქართველოს თოვლის ზვავების კადასტრი.. საქართველოს ტექნიკური უნივერსიტეტის პიდრომეტეოროლოგიის ინსტიტუტი, თბილისი, 2018, 264 გვ. ISBN 978 9974-8-0843-2.

### უაკ 551.578.46

მდინარე ნენსკრას ხეობის და მისი შენაკადების ზვავსაშიშროება./მ.სალუქვაძე, ნ.კობახიძე/სტუს-ის პმი-ის სამეცნ. რევ. შრ. კრებ. - 2020. - ტ.129. - გვ.11-14. - ქართ.; რეზ.: ქართ., ინგლ., რუს. 2018 წლის 5-7 ივლისს, მესტიის მუნიციპალიტეტის ჭუბერის ოემში, მდინარე ნენსკრას აღიდებამ, დიდი მატერიალური ზარალი მიაყენა ხეობის მოსახლეობას. წყალდობობის გამომწვევი მიზეზების დასადგენად შევისწავლეთ მდინარე ნენსკრას და მისი 9 ძირითადი შენაკადის ზვავსაშიშროება. გამომვლილია 494 ზვავშემკრების მორფომეტრიული და ზვავების დინამიკური მახასიათებლები. გამომვლენილია ჭუბერის ოემის ის სოფლები, სადაც თოვლის ზვავების შედეგად, წლების მანძილზე 40 ადამიანი დაიღუპა და ათეულობით სახლი დაინგრა და დაზიანდა. წარმოდგენილია ასევე ვარაუდი, რომ მდინარის შეგუბების და ტბის წარმოქმნის მიზეზი იმ 5 ზვავის კონუსია, რომელიც მდ. ნენსკრას ერთერთი შენაკადის მდ. ჰოკრილაშლიცის სათავეში ჩამოდის.

### UDK 551.578.46

**Avalanche hazard of the gorge of the Nenskra river and its tributaries.**/M.Salukvadze, N.kobakhidze/  
Scientific Reviewed Proceedings of the IHM, GTU. - 2020 - vol.129 - pp.11-14. Georg.; Abst.: Georg., Eng.,  
Rus. The flood in the Nenskra river on July 5-7, 2018 caused great damage to the villages of the Chuber  
community of the Mestia municipality. To identify the causes of the flood, the avalanche hazard of the Nenskra  
River and its 9 main tributaries was studied. 494 morphometric data on avalanches and dynamic indicators of  
avalanches were calculated. The villages of the Chuber community were identified that were affected by  
avalanches in different years, 40 people died, dozens of residential buildings were destroyed and damaged. We  
assume that the cause of the damming of the river and the formation of the lake are the drift cones of the five  
avalanches that descend at the source of the Khokrilashlitsy river, one of the tributaries of the Nenskra river.

### УДК 551.578.46

**Лавиноопасность ущелья реки Ненскра и её притоков.**/Салуквадзе М.Е, Кобахидзе Н.Ш./Науч. Реф.  
Сб. Труд. ИГМ ГТУ - 2020. вып.129 - с.11-14. - Груз.; Рез.: Груз., Англ., Рус. Наводнение реки Ненскра,  
5-7 июля 2018 года, причинило огромный ущерб сёлям Чуберской общины Местийского  
муниципалитета. Для выявления причин наводнения изучили лавиноопасность реки Ненскра и её 9-ти  
основных притоков. Вычислены 494 морфометрических данных лавиносборов и динамические  
показатели лавин. Выявлены селения Чуберской общины, где из-за схода лавин в разные годы погибло  
40 человек, разрушены и повреждены десятки жилых домов. Предполагаем, что причиной затопления  
реки и образования озера являются конусы выноса тех пяти лавин, сходящих в истоках р.  
Хокрилашицы, одного из притоков р.Ненскра.

## უაგ 551. 481.1

### იმპრეტის რეგიონში მდინარის ჩახერგილი უბნების გარღვევის შედეგად ზარმოშობილი ფყალმოვარდნების გეოგრაფია და მათი თავიდან აცილების გზები

ს. გორგიჯანიძე

საქართველოს ტექნიკური უნივერსიტეტის პიდრომეტეოროლოგიის ინსტიტუტი

XX საუკუნის ბოლოს და XXI საუკუნის დასაწყისში, მეცნიერულ-ტექნიკური რევოლუციის ეპოქაში გახშირდა კატასტროფული სტიქიური მოვლენები. მათ ადგილი აქვთ დედამიწის მთელ რიგ რაიონებში, ამიტომ წარმოადგენენ გლობალური ხასიათის საშიშ მოვლენებს. ისინი დიდ ზარალს აყენებენ მსოფლიოს ეკონომიკას და ეს ზარალი ყოველწლიურად შეადგენს 30 მილიარდ ლოდარს.

საქართველოს პიდრომეტეოროლოგიის ინსტიტუტი აქტიურად იყო ჩაბმული სტიქიური მოვლენების პიდროლოგიური ბუნების შესწავლის საქმეში, რომელიც დღემდე საქართველოს და, საერთოდ, კავკასიისათვის ერთერთ მნიშვნელოვან მიზნად რჩება. საქართველოს მეცნიერებათა აკადემიის 1991 წლის 2 მაისის სპეციალურ გაფართოებულ სხდომაზე მიღებულ იქნა დაგენილება “საქართველოს მიწისძვრების მიზეზების შესწავლისა და კატასტროფის შედეგების ლიკვიდაციის დონისძიებების შესახებ”, სადაც ერთ-ერთ პუნქტად იყო აღნიშნული ნაზღვლევი წყალმოვარდნის წინააღმდეგ ბრძოლის კონცეფციის შემუშავება. შემდგომში წყალდიდობებისა და წყალმოვარდნების კატასტროფული ხასიათის გახშირებასთან და გაძლიერებასთან დაკაგშირებით გამახვილდა უურადღება მათი შესწავლის შესახებ. ამ მხრივ მნიშვნელოვანია 2008 წლის ჩატარებული საერთაშორისო კონფერენცია (სსიპ პიდრომეტეოროლოგიის ინსტიტუტი), რომელიც მიეძღვნა დედამიწის საერთაშორისო წელს და ეხებოდა სტიქიურ კატასტროფებს სამხრეთ კავკასიაში; ასევე ბუნებრივი კატასტორფების საფრთხეებსა და ქვეყნის მზად ყოფნას მათი თავიდან აცილებისათვის.

თავად მდინარეთა ხეობების ჩახერგილი უბნები ხასიათდებიან სხვადასხვა მორფომეტრიული პარამეტრებით. განსაკუთრებით გამოირჩევიან კლდე-ზვავებით, მეწყრებითა, მყინვარული გამონაგანით და ზვავებით ჩახერგილი უბნები. მათი სიგრძე აღწევს: 60-100 მ-დან 4,5 კმ. მცირე - (2-3 მ-დე) მდინარეული ყინულებით ჩახერგილი უბნები. ხოლო ნაზღვლევი წყალდიდობა და წყალმოვარდნა არის მდინარის წყლის რეჟიმის ერთ-ერთი სახე, რომელიც გამოვეულია მდინარის ხეობის ჩახერგვით, მისი დაგუბებითა და ჩახერგილი უბნის გარღვევით. თავისი ბუნებით ნაზღვლევი წყალდიდობა და წყალმოვარდნა მიეკუთვნება საშიშ კატასტროფულ მოვლენათა კატეგორიას. თავისი გენეზისით არ არის ერთგვაროვანი, რადგან თვით ეს პროცესი სხვადასხვაა და იგი დაკავშირებულია მიწისძვრასთან, მყინვარულ და ვულკანურ მოქმედებებთან, ეგზოგენურ პროცესებთან, ასევე, მდინარის ყინულოვან მოვლენებთან. მათი ზეგავლენით წარმოშობილი ნაზღვლევი წყალმოვარდნები და წყალდიდობები მკვეთრად განსხვავდებიან ერთმანეთისგან თავიანთი ხასიათით, სიძლიერით, გაანგარიშება – პროგნოზირებით, მასშტაბებით და ბრძოლის მეთოდებით.

ამ მოვლენებით არაა იმერეთი გამონაკლისი. აქ ხშირია მეწყრებითა და კლდე-ზვავებით გამოწვეული ჩახერგები. მნიშვნელოვანია აღინიშნოს 1989 წლის პიდრომეტეოროლოგიური პროცესების მკარი ხასიათი. როდესაც თავსხმა წვიმების დროს გამოიწვია მრავალ ადგილას მეწყრების და კლდე-ზვავების ჩამოსვლა. ამ პერიოდში 8-9 მარტს მეწყრები თოვლთან ერთად შეიჭრენ ზესტაფონის რაიონის სოფლებში: ქვალეთში, მლეთაში, შროშაში, სანახშირეში, სვირში, ილეთში, არგვეთში, ქვედა საქარასა და ბასლევაში, ხარაგაულის რაიონის სოფლებში: კიცხში, წყალსურეთში, ვარძიაში, მაქათუბანში, ჩხერში, სადაც დაზიანდა 600-ზე მეტი საცხოვრებელი სახლი. ასობით პეტრი მიწა დაიფარა ჩამოტანილი ქვალორდით და უვარგისი გახდა სასოფლო-სამეურნეო დამუშავებისათვის. შეწყდა მოძრაობა რკინიგზის ხარაგაული-მარელისი, ზესტაფონი-ჭიათურის მონაკვეთებზე; ყველაზე დიდი მეწყერი, რომელმაც მიიპყრო უურადღება, იყო მდ. ცხენისწყლის მარცხენა ფერდობიდან 15 მარტს ჩამოსული

=====  
მეწყერი, რომელმაც დააგუბა მდინარე. თბილისი-ფოთის მაგისტრალური სავტომობილო გზის 685/748-ჯ მონაკვეთზე ფერდობის მხარეზე, ყოველ 100-200 მეტრზე ჩამოსული იყო მეწყერები, რიკონის გვირაბის დასავლეთით კი ჩამოსული იყო ეგრეთ წოდებულ გრუნტული თოვლის ზვავებიც.

1989 წ 21 აპრილს მსგავსი მძლავრი მეწყერი ჩამოვიდა რიკოთულას გვირაბის აღმოსაფლეთ პორტალიდან 400-500 მ ქვემოთ მდ. სურამელას მარცხენა ფერდობიდან. მან დაფარა გზა 100-130 მ სიგრძით, 5-6 მ სისქით, შედეგად 2 დღით შეწყდა ტრანსპორტის მოძრაობა. ზაფხულში მდ. რიონის სათავეებში თავსხმა წვიმები გაგრძელდა 12-15 აგვისტოს ჩათვლით. თან ახლდა ძლიერი სეტყვაც, ადგილი ჰქონდა მდ. რიონის მარჯვენა მხარეს მისი შენაკადების მდ. საკაურასა და ლუხუმის წყლის სათავეების შესაყარში ჩახერგვას, თუცა მალევე გაირღვა ეს მასა, რასაც მოჰყვა დიდი წყალმოვარდნა, რომლის მაქსიმალურმა დონემ და წყლის ხარჯმა გაიარეს 11-14 საათებში. წყლის დონემ 140- 240 სმ გადააჭარბა წინა დღის წყლის დონეებს. იგი შეადგენდა 350 სმ (146 სმ) მდ. რიონი - ქ. ონთან და 375 სმ (202 სმ) მდ. რიონი - სოფ. ალპანასთან. კიდევ უფრო მეტი იყო წყლის მაქსიმალური დონეები მდ. საკაურასა და ლუხუმისწყალზე.

1991 წლის ძლიერმა მიწისძვრამ იმერეთის რეგიონში გამოიწვია დიდი ნგრევა და დიდი ზარალი მიაყენა იმ ტერიტორიას, სწორედ ამ დროს წარმოიშვა მდინარეთა ხეობებში 35-მდე ტბა. აქედან, დიდი იყო ფაწას, ხახიეთისა და ჯრუბულას ტბები, შესაბამისად 3,8, 2,1 და 0,375 მლნ მ წყლის მოცულობით. ამავე პერიოდში მრავალ ადგილას გაჩნდა ნაპრალები, სადაც ადგილი ჰქონდა ზედაპირული წყლის დაგროვებას, რის გამოც წყლით გაუდენტილი მასა ხელ-ხელა მოცოცავდა (მდ. სირხელებერტ დონი) და ხდებოდა განმეორებითი მეწყერების მოქმედებები.

მდინარეებისა და მყინვარების რეჟიმზე დიდ გავლენას ახდენს ხეობების ჩახერგვებით გამოწვეული პროცესები, რადგან ჩახერგვის ქვემოთ ადგილი აქვს მდინარეების თითქმის “დაშრობას”. ხოლო ზემოთ მდინარის დაგუბებას. ზოგ შემთხვევაში დაგუბებული წყლის დონე საშუალოდ შეადგენს 35-55 მ-ს, (5-10 მ-ზე ნაკლები არ ყოფილა). აღნიშნული სიღრმეები დამახასიათებელია, უმეტესად, ჩახერგილ კაშხალოთან ახლოს. ეს კაშხლები ერთ კვადრატულ მეტრზე 55 ტ წნევის ქვეშ იმყოფებიან. ისტორიაში ბევრი შემთხვევაა, როდესაც კლდუზვავებისა და მეწყერების გარცველების ზონაში იცვლება პიდროგრაფიული ქსელი. მაგალითად, 1991 წ ყვირილას სათავეში კლდე-ზვავის მოქმედებისას ერთდროულად ადგილი ჰქონდა მდ. ჯეჯორას მიერ მდ. ყვირილას ძველი სათავის მოტაცებას. ქვის ნაკადის წინ სვლამ მდ. სინაგურისწყლის ხეობაში მდ. დებურას შესართავი მოსწყვიტა მდ. ხახიეთისწყალს სოფ. ხახიეთთან და 4 კმ-ით ქვევით გადაიტანა. ამით შეიცვალა მდ. დებურას წყლის პიდროგრაფიული პარამეტრები.

დაგუბებული ტბების გარღვევის ადგილიდან წყალმოვარდნის ნაკადი გაივლის თვით მდინარეს, სადაც მოხდა მისი დაგუბება, შემდეგ კი მის გაგრძელებაზე სხვა მდინარეებს. მაგ: ხახიეთისწყლის დაგუბებული ტბის გარღვევის შედეგად წამოსულმა წყალმოვარდნის ნაკადმა გაიარა მდ. ხახიეთისწყალი, შემდეგ მის გაგრძელებაზე მდ. ყვირილა, შემდეგ კი მდ. რიონი. ყველა მოქმედ პიდროლოგიურ საგუშაგოზე მოხერხდა წყალმოვარდნის ნაკადის დონეების და გავლის დროის დაფიქსირება.

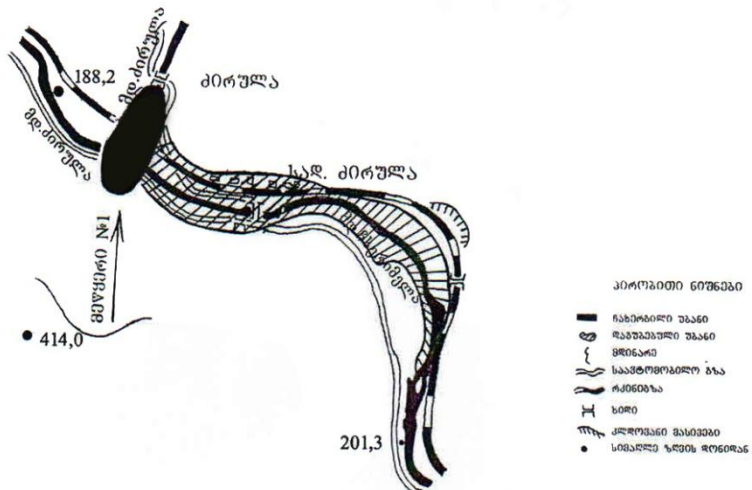
მდ. ყვირილაზე, 29, 30 აპრილს შეიმჩნეოდა წყლის დონეთა დაცემა წინა დღის დონეებთან შედარებით, რაც გამოწვეული იყო მდინარეების 30-35 ადგილას დაგუბებით, მიწისძვრის დროს ჩამოსული კლდე-ზვავების ჩახერგვით. 16, 17 მაისს, შესაბამისად, ქ. საჩხერესა და ზესტაფონში მოხდა წყლის დონეთა ინტენსიური მატება 86 და 56 სმ-ით, რაც გამოწვეული იყო ხახიეთის დაგუბებული ტბის გარღვევის შედეგად წამოსული წყალმოვარდნით. მაგრამ ეს დონეები, თავის მხრივ, გაძლიერებული და დეფორმირებული იყო წვიმებით გამოწვეული ზედაპირული ჩამონადენით. წყალმოვარდნის ტალღის გავლის შემდეგ წყლის დონეები ასევე

ინტენსიურად შემცირდა, რაც გაგრძელდა 1-1.5 დღე-დამეს, მაგრამ დონეების ისეთი სახით დაცემას ადგილი არ ჰქონია, როგორც ეს მოხდა მდ. მტკვარზე, ფაწას დაგუბებული ტბის გარღვევის შემდეგ. ეს აიხსნება მდ. ყვირილას ზემო წელში მოსული წვიმებით, რამაც გამოიწვია მდინარის წყლიანობის გაზრდა და შენარჩუნებულ იქნა წყლის მაღალი დონეები.

მსგავს პროცესებს ადგილი ქონდა 2001 წლის 31 მაისს ბადდათის რაიონში, მდ. ლუხუ-ტაზე. რამაც ასევე მნიშვნელოვნად დააზარალა სოფლები პირველი და მეორე ობება.

ასევე ჩახერგვებით გამორჩევა მდ. ჩხერიმელას აუზი. ამ შემთხვევაში ეს პროცესები გამოწვეულია მეწყრების ჩამოსვლით. აქ ხეობის გადაკეტვის შემთხვევებს ადგილი ქონდათ 1957, 1959, 1987, 1994, 1998, 2004, 2019 წლებში, ასევე 2020 წელს მაისში. ბოლო წლების განმავლობაში ამ რეგიონში დაახლოებით 50 მწყერი ჩამოვიდა. ასევე წელს მდ. ძირულაზე მოხდა წყალმოვარდნა.

მაგალითისთვის შეგვიძლია განვიხილოთ 1957 წლის 22 მარტს მარელისის მონაკვეთში, სადგურ მარელისთან ჩამოსული მეწყრის შედეგები, (მდ. ძირულასა და ჩხერიმელას შეერთუბა). შედეგად ჩხერგილი მასის ზემოთ დაგუბდა წყალი, ჩახერგილი მასა შეადგენდა 11.96, სიგანე 170 მ. წყლის დონემ ჰიდროლოგიურ კეთითან (გრაფიკის ნულიდან) მიაღწია 1196 სმ-ს, ხოლო წინა დღეს 21 მარტს 214 სმ-ს იყო. ტბა საშიში გახდა ადგილობრივი მოსახლეობისათვის 2 კმ-ს მანძილზე, დაიტბორა რკინიგზის სადგური, სავტომობილო გზაც და ხიდებიც.



ნახ. 1. მდ. ძირულასა და ჩხერიმელას შეერთების ადგილი, ჩახერგილი უბანი და დაგუბებული ტბა

ნორმალური მუშაობის აღდგენა შესაძლებელი გახდა 27 მარტს, როდესაც დაბობვის მეთოდით მოხდა ჩახერგილი მასალის „დაშლა“, შემდეგ კი ნაწილობრივი გარღვევის საშულებით დაგუბებული ტბის დაიცალა. 1959 წელს ისევ მარელისის მონაკვეთში ჩამოვიდა მეწყერი. ისევ დაგუბდა მდ. ჩხერიმელა. ამ შემთხვევაშიც დაგუბებული ტბის დაცლა მოხდა გარღვევამდე დაბობვის მეთოდით. თუმცა ვერ აიცილეს ნაზღვლევი წყლამოვარდანა. შედეგად დაიტბორა და დაზარალდა იქ არსებული მიმდებარე ტერიტორია. 1994 წელს განმეორდა მდ. ჩხერიმელაზე მეწყერის ჩამოსვლა, თუმცა სოფ. ბაბის ხიდთან გადაიკერა მდინარე. ამ შემთხვევას მხოლოდ ადგილობრივები გაუმჯდავდნენ, რადგან მაღავე დაიწყო მდინარემ ჩახერგილი მასის გადარეცხვა, როთაც ბუნებრივად მოხდა დაგუბებული ტბის დაცლა. აქ დაზიანადა მხოლოდ სოფლების დამაკავშირებელი შარა გზა და ბაბის ხიდი.

პრაქტიკისათვის მნიშვნელოვან საკითხის გადაჭრა ემყარება ვ. ცომაიას გამოთვლათა სისტემას [1], რომელიც გამოყენებულია მრავალჯერ და გამოყენებულიც არის. გამოთვლის სისტემა უზრუნველყოფს მდინარის კალაპოტის ჩახერგის დროიდან გავცემ პროგნოზი დაგუბებული უბნის წყლით გსების ხანგრძლივობაზე, დაგუბებული ტბის მოცულობაზე, მის

ფარგლებში დატბორვის სიგრძეზე, გარღვევის შემდეგ გარღვევის ადგილას და დინების ტრანზიტულ კვეთებზე ნაზღვლევი წყალმოვარდნის წყლის მაქსიმალურ ხარჯზე.

მდინარის დაგუბებული უბნის მორფომეტრიული პარამეტრების დადგენისათვის მსხვილ მასშტაბიან ტოპოგრაფიულ რუკაზე (1:25000-1:100000) ადგილზე დააქვთ ჩახერგილი კაშხლის თხემის მდებარეობა  $a-b$ ; იზოხაზების საშუალებით განსაზღვრავენ ჩახერგილი კაშხლის თხემის სიმაღლეს ( $h$ ), ასევე რუკის საშუალებით ჩახერგილი კაშხლის სიმაღლეზე გამოითვლება დაგუბების სიგრძე ( $l$ ) და სიგანე ( $B$ ) ჩახერგილი მასისი თხემზე. მიღებული მონაცემების საფუძველზე განსაზღვრავენ ჩახერგვის შედეგად წარმოშობილი ქვანულის მოცულობას ( $w$ ) ფორმულით:

$$w = \frac{l * B * h}{k}$$

სადაც  $k$  არის ტოპოგრაფიული კოეფიციენტი; იგი იცვლება 2,7-3,3-ის ფარგლებში [1]; გამოთვლებისათვის საშუალოდ ვიღებთ  $k=3,0$ .

მდინარის ხეობის ჩახერგვისას უნდა გაიზომოს მდინარისა და მისი შენაკადების წყლის ხარჯი ჩახერგვის ზემოთ პიდროლოგიაში ცნობილი მეთოდების გამოყენების საფუძველზე-თუ აგღნიშვნათ მდინარისა და მისი შენაკადების წყლის ჯამურ ხარჯს  $\Sigma Q^3/\tau$ , მაშინ ქვაბულის ვსების ხანგრძლივობა ( $T$ ) იქნება:

$$T = \frac{W}{\Sigma Q}$$

ამ შემთხვევაში  $T$ -გამოითვლება წამებში, შემდეგ გადაიყვანება ჩვეულებრივი წესით წუთებში, საათებში და დღე-დამეში.

მდინარის კალაპოტში ჩახერგილი მასა ქვაბულში დაგროვილი წყლის მასის დაწოლის შედეგად ირღვევა. გარღვევისას წარმოიშვება ტრაპეციოდალური ფორმის კალაპოტი, რომელსაც ამსგავსებენ პიდრომეტრიაში ცნობილ წყალსაშეს, რომლითაც ზომავენ წყლის ხარჯს. ამ მხრივ იყენებენ პიდრავლიკაში ცნობილ ფორმულას:

$$Q_\theta = 1.9 B * h^{2/3}$$

სადაც,  $Q_\theta$  – არის ნაზღვლევი წყალმოვარდნის წყლის მაქსიმალური ხარჯი გარღვევის ადგილას. ასევე ხდება ნაზღვლევი წყალმოვარდნის წყლის მაქსიმალური ხარჯის გამოთვლა მდინარის ტრანზიტულ უბნებზე. პროცესი წარმოიქმნება მაშინ როდესაც წყლის მაქსიმალური ხარჯი განიცდის ტრანსფორმაციას მისი „გაშხლართვის“ გავლენის გამო. ამისთვის კი უკეთეს შედეგს გვაძლევს დინების იზოქრონული თეორიის გამოყენება, რომლის თანახმად:

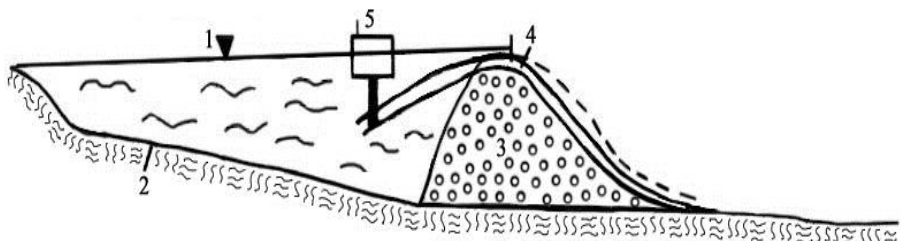
$$Q_\theta = \frac{l}{l+15} * Q_\square$$

სადაც  $Q_\theta$  – არის ნაზღვლევი წყალმოვარდნის წყლის მაქსიმალური ხარჯი ტრანზიტული უბნის მოცემულ კვეთში;  $l_\theta$  – არის მანძილი ჩახერგილი კაშხლიდან მდინარის ტრანზიტული უბნის მოცემულ კვეთამდე.

ასევე უნდა მოხდეს დაგუბებული ტბის უბანში, ჩახერგილ კაშხლში ჩამდინარე წყლის ხარჯის გამოთვლა, რომელიც ასევე გვაძლევს ინფორმაციას ჩახერგილ უნბნაში რა რაოდენობის წყალი გროვდება გარეკვეული დროის განმავლობაში.

ყოველივე აქედან გამომდინარე შეგვიძლია ვთქვათ, რომ ასეთი უბნები წარმოადგენენ საშიშ ობიექტებს, ამიტომ საჭიროა მათზე მუდმივი მეთვალყურეობა და დაკვირვება. ამისათვის კი აუცილებელია მდინარის ჩხერგვის უბანზე მოეწყოს დროებითი მეტეოროლოგიური საგუშაგო, სადაც გაიზმოება ატმოსფერული ნალექები და ჰაერის ტემპერატურა. ასევე მნიშვნელოვანია ჰაერიდან დაბობვა, თუმცა არც თუ ისე უსაფრთხო პროცესია. ასევე ჩახერგილი კაშხლის მასაში დაბობმვა. არსებობს სხვა პროექტი, რომელიც ითვალისწინებს მყინვარის სისქის შემცირებას, მათი ხელოვნურად დნობის გაძლიერების შედეგად. ეს საფუძვლიანი მეცნიერული მოსაზრებაა, მაგრამ პრაქტიკულად ძნელი განსახორციელებელია ად-

გილობრივი პირობებისა და სათანადო ტექნიკის უქონლობის გამო. ასევე არის ინჟინერული გადაწყვეტილებაც, რომელიც ითვალისწინებს ჩახერგილი კაშხლის ზემოთ დაგროვილი წყლის დაცლისთვის ხელოვნური არხის გაყვანას. ამით თავიდან ავიცილებთ ნაზღვლევ წყალმოვარდნას. შესაძლებელია ასევე ხელოვნური დვარცოფგადამგდების დამონტაჟება ჩახერგილი კაშხლის თხემზე. საყურადღებოა ე.წ. ხელოვნური სეფონური წყალამოღვრა (ნახ. 2). რომელიც დაგუბების უბნებში წყლის აღმოღვრისთავის გამოიყენება, იგი შეიძლება იყოს სტაციონალური და დროებითი; ჩახერგის უბნებში დროებით მონტაჟდება.



ნახ.2. ხეობის ჩახერგილი წყალდაგუბების უბანი და მისი საფონური წყალამოღვრის სქემა

მაგრამ ასეთი სახის ღონისძიება მოითხოვს მთელი რიგი დამატებითი სამუშაოების წინასწარ ჩატარებას, რომელთა შედეგებიც საფუძვლად დაედება ბრძოლის მეთოდების შერჩევას. ყველაზე მისაღები და ადვილად მისაწვდომი მეთოდია ნაზღვლევი წყალმოვარდნის ან წყალდიდობის საზღვრების დადგენა და დადგენილი ტერიტორიის საშიშ ზონად გამოცხადება, სადაც აიკრძალება ყოველგარი სამურნეო და საყოფაცხოვრებო საქმიანობა. მნიშვნელოვანია აგრეთვე დაკვირვებისა და გაზომვის მასალების დამუშავება და ანალიზი, რაც ყოველდღიურად უნდა მოხდეს - წყლისდონების, წყლის ხარჯებისა და ინფლიტრაციის ინტენსიური მატების შემთხვევების სათანადო შეფასების საფუძველზე; ყველა პიდროლოგიურ საგუშაგოზე, სადაც უნდა გაიაროს დაგუბებული ტბის გარღვევასთან დაკავშირებული ნაზღვლევი წყალმოვარდნის ტალღამ, ეწყობა დაკვირვება წყლისდონეზე, ყოველორ სათში, წყალმოვარდნის დაწყების, მაქსიმუმისა და დამთავრების დროის ჩვენებით.

ყოველივე აქედან გამომდინარე შეგვიძლია ვთქათ, რომ მდინარის ჩახერგის და მისი გარღვევის შემთხვევაში წარმოშობილი ნაზღვლევი წყალმოვარდნის შერბილების მეთოდებით შესაძლებელია მოსალოდნელი კატასტროფის თავიდან აცილება.

#### ლიტერატურა— REFERENCES—ЛИТЕРАТУРА

1. ვ.ცომაია, გ.გაჩეჩილაძე,ს. ს.გორგიჯანიძე, თ.ცინცაძე, მ.ფხაკაძე. ნაზღვლევი წყალდიდობები და წყალმოვარდნები საქართველოში., საქართველოს პიდრომეტეოროლოგიის ინსტიტუტი. თბილისი 2009. გვ. 155
2. „საქართველოს გეოგრაფია“ - საქართველოს მეცნიერებათა აკადემია. ვ. ბაგრატიონის სახ. გეოგრაფიის ინსტიტუტი. გვ. 270-277. 2000

უაგ 551. 481.1

იმერეთის რეგიონში მდინარის ჩახერგილი უბნების გარღვევის შედეგად წარმოშობილი წყალმოვარდნების გეოგრაფია და მათი თავიდან აცილების გზები/ს. გორგიჯანიძე/სტუ-ის - პმი-ის სამეცნ. რეფ. შრ. კრებ. – 2020. - ტ.129. - გვ.15-20. - ქართ.; რეზ.: ქართ., ინგლ., რუს. სტატიაში განხილულია იმერეთის რეგიონში მომხდარი მდინარის ხეობების ჩახერგები და მასთან დაკავშირებული წყალმოვარდნები. მოცემულია 1957 წლის მდ. ძირულასა და ჩხერი-მელას შეერთების ადგილას ჩახერგის შედეგად გამოწეული დაგუბებული ტბის გარღვევის შედეგები. გარღვევის შემთხვევაში მოცემულია მორფომეტრიული მახასიათებლები და წყალმოვარდნის აცილების გზები.

UDC 551. 481.1

**Geography of Floods Caused by River Faults in Imereti Region and Ways to Avoid Them.**/Gorgijanidze S./.Scientific Reviewed Proceedings of the IHM, GTU. - 2020 - vol.129 - pp.15-20. Georg.; Abst.: Georg., Eng., Rus. In the article is discussed blocking up of gorge of the river and loads of related floods. There is also shown the 1957 year results of dammed lake's break, which was caused by the merge of rivers called the Dzirula and the Chkerimela. If breaking happens, there are shown some morphometric characteristics and preventative ways of flooding.

УДК551. 481.1

**География наводнений, вызванных разломами рек в регионе Имеретии, и пути их предотвращения.**/Горгиджанидзе С. Н./.Науч. Реф. Сб. Труд. ИГМ ГТУ - 2020. вып.129 - с.15-20. - Груз.; Рез.: Груз., Англ., Рус. В статье рассматривается заваление повадки речных долин в Имеретинской регионе, скоторый связанны завальное наводнения. В статье дано пращество в 1957 г.в узлы р. Дзирула и Чхеримела. Где произашло подение завала и прарив заболоченный озери. В случае прорыва приводятся морфометрические характеристики и способы предотвращения заваление поводки..

უაკ 627.14.215.1.76

საირიბაციო წყლის რესურსების მაფორმირებელი ზაქტორები  
და მათი დინამიკა შიგნი კახეთის რეგიონი

ც. ბასილაშვილი

საქართველოს ტექნიკური უნივერსიტეტის ჰიდრომეტეოროლოგიის ინსტიტუტი  
თბილისი, საქართველო, jarjinio@mail.ru

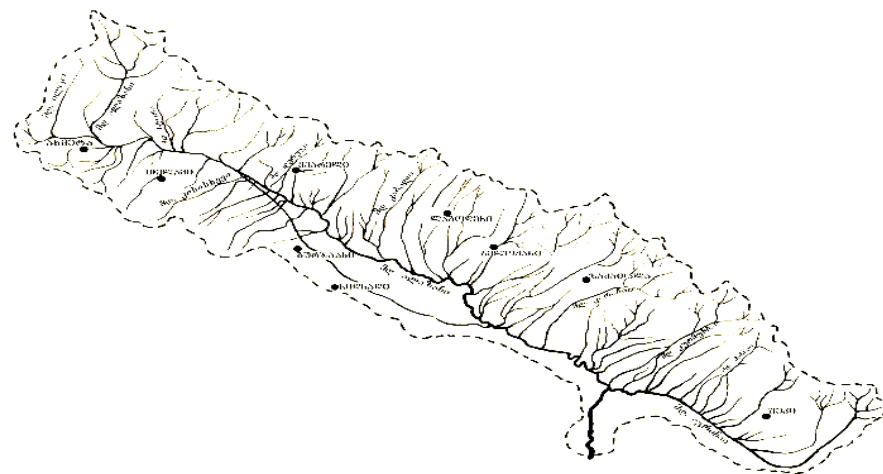
შიგნი კახეთის რეგიონი მდებარეობს საქართველოს უკიდურეს აღმოსავლეთით, რომელ-  
შიც შედის: ახმეტის, თელავის, გურჯაანის, ყვარლისა და ლაგოდების მუნიციპალიტეტები, აგრეთვე სიღნარისა და დედოფლისწყაროს მუნიციპალიტეტების აღმოსავლეთ ნაწილები. ამ ტერიტორიაზე არის ყველაზე ნაყოფიერი ნიადაგების ფართო ველები, სადაც არის ხელსაყ-  
რელი აგროკლიმატური რესურსები ისეთი მნიშვნელოვანი დარგების წარმოებისათვის, როგორიცაა: მემარცვლეობა, მევენახეობა, მეხილეობა, მებოსტეობა, მებადჩეობა, ზეთოვანი კულტურები და სხვა მრავალი. ამიტომ ის სასოფლო-სამეურნეო წარმოების მოცულობით, არა მარტო აღმოსავლეთ საქართველოში, არამედ მთელი საქართველოს მასშტაბით წამყვანი რეგიონია. მაგრამ თანამედროვე გლობალური დათბობის პირობებში აქ არსებული მშრალი კლიმატის გამო, განსაკუთრებით საგეგმებით პერიოდში უხვი მოსავლის მისაღებად აუცი-  
ლებელია ნიადაგის ხელოვნური რწყვა, რასაც აქ უძველესი დროიდან ახორციელებდნენ ჩვენი წინაპრები. ამას ადასტურებს 1937 წელს არქეოლოგიური გათხრების დროს აქ აღმოჩენილი თამარ მეფის (XII საუკუნის) დროინდელი 119 კმ სიგრძის სარწყავი არხი [1].

დღეისათვის მსოფლიოში COVID 19 ვირუსის პანდემიასთან დაკავშირებით გამოწვეული ეკონომიკური კრიზისისა და უმუშევრობის პირობებში საქართველოში სოფლის მოსახლეობა მხოლოდ საკუთარ ნაკვეთებზე მოწეული აგროკულტურების პროდუქციიდან მიღებული შემოსავლით ირჩენს თავს. ამიტომ მათ ნაკვეთებს შეუფერხებლად უნდა მიეწოდებოდეს სარწყავი წყალი, რაც გადამწყვეტი ფაქტორია მოსახლეობის სოციალურ-ეკონომიური მდგრამარეობის გასაუმჯობესებლად.

სარწყავი წყლით მომარაგების მთავარი არტერია შიგნი კახეთის ტერიტორიაზე არის საქართველოს ყველაზე გრძელი (407 კმ) მდინარე ალაზანი, რომელიც სათავეს იღებს კავკასიონის ქედის სამხრეთ ფერდობზე მთა ბორბალის მახლობლად 3000 მ სიმაღლეზე. მისი წყალშემკრები აუზის საერთო ფართობი 1180 კმ<sup>2</sup>, სადაც მას ერთვის 1803 შენაკადი, რომელთა საერთო სიგრძე 6851 კმ-ია, მათგან 1701 მდინარის სიგრძე 10 კმ-ზე ნაკლებია, დანარჩენი 64 მდინარის სიგრძე 10-დან 25 კმ-დან იცვლება, 33 მდინარის სიგრძე 25-50 კმ-დანარჩენი 3 მდინარისა კი 50-დან 100 კმ-დან უმუშავლოდ მდ. ალაზანს უერთდება 10 კმ-ზე მეტი სიგრძის 53 შენაკადი.

ადსანიშნავია, რომ აუზში ასეთი მრავალრიცხვანი შენაკადების არსებობა მეტად მნიშვნელოვანია, რადგან მათი წყლის რესურსები, ისევე როგორც თვით მდ. ალაზანისა, აქტიურად გამოიყენება მიმდებარე ტერიტორიებზე მცხოვრები მოსახლეობის მიერ საირიგაციო მიზნებისათვის, მათ მიერ მოწყობილი არასაინჟინრო ან ნახევრადსაინჟინრო არხების საშუალებით. თვით მდ. ალაზანზე კი აშენებულია საქართველოში ყველაზე დიდი 96 კმ სიგრძის ქვემო და 79 კმ სიგრძის ზემო ალაზანის მაგისტრალური არხები [2].

ნახ.1-დან ჩანს, რომ მდ. ალაზანის აუზს აქვს ასიმეტრიული ფორმა, რადგან მისი ფართობის 65% მოდის მარცხენა მხარეზე და მხოლოდ 35% არის მარჯვენა მხარეს. მარცხენა მხარის შენაკადებიდან საქართველოს ფარგლებშია: სტორი, დიდხევი, ლოპოტა, ინწობა, ჩელთი, დურუჯი და სხვა, რომლებიც კავკასიონის სამხრეთ ციცაბო ფერდობზე ჩამოედინებიან, ხასიათდებიან უხვწყლიანობით, აწარმოებენ გაძლიერებულ სიღრმით ეროზიას და ქვემო წელში გამოაქვთ დიდი რაოდენობით ნატანი მასალა. მარჯვენა მხარის შენაკადებია: ილტო, თურდო, კისისხევი, ჩერემისხევი და სხვ. ამ მხარის სამხრეთ-აღმოსავლეთით მდინარეები მცირე წყლიანობით ხასიათდებიან და აქვთ მცირე ვარდნა. ისინი ალაზანის ვაკეზე მშრალი კლიმატის პირობებში კარგავენ წყალს ინტენსიურ აორთქლებაზე და დაშრობის გამო ვეღარ აღწევენ მდ. ალაზანს შესართავამდე.



**ნახ. 1. მდ. ალაზნის აუზის ჰიდროგრაფიული ქსელი**

მდ. ალაზნის მარჯვენა და მარცხენა მხარის შენაკადების ასეთი დიდი სხვადასხვაობა გამოწვეულია იმით, რომ ზოგადად, მდინარეთა წყლის ჩამონადენის ფორმირება განპირობებულია მათი აუზების ზედაპირის ფიზიკურ-გეოგრაფიული ფაქტორებით, რომელთა შორის გარკვეულ როლს თამაშობს რელიეფი. მდ. ალაზნის წყალშემკრები აუზის ტერიტორიაზე გამოიყოფა რელიეფის სამი ტიპი: I – მაღალმთიანი, სადაც 3000 - 3500 მ სიმაღლის კავკასიონის ქედების ციცაბო ფერდობებზე ჭარბობს დრმა და ვიწრო ხეობები; II – მთისწინები 600 - 1200 მ სიმაღლეზე აგებულია მდ. ალაზნის შენაკადების მიერ ჩამიტანილი მასალის გამოზიდვის კონტესტით; III – 300 - 600 მ სიმაღლეზე ალაზნის ვაკეა, რომელიც მდ. ილტოს შესართავთან იწყება და სამხრეთ-აღმოსავლეთით 160 კმ სიგრძეზე ვრცელდება. მდ. ალაზნის ქვემო წელში 100 - 300 მ სიმაღლეზე მდინარეს ვიწრო ზოლად გასდევს ალაზნის ჭალა, რომელიც სპეციფიკური ლანდშაფტითა და კლიმატით გამოირჩევა. აუზში უმაღლესი მწვერვალებია მდ. სტორის სათავეებთან შავი კლდე – 3578 მ, მდ. ლაგოდეხის წყლის სათავეებთან ხორალდიდის მთა – 3428 მ და ოვით მდ. ალაზნის სათავეებთან დიდი ბორბალოს მთა – 3294 მ. უდაბლესი ადგილი კი არის მინგეჩაურის წყალსაცავთან – 90 მ, სადაც მდ. ალაზნი ჩაედინება. რეგიონში სიმაღლეთა ასეთი დიდი სხვაობა განაპირობებს მდ. ალაზნისა და მისი შენაკადების კალაპოტების დიდ დაქანებას, რაც ხელშემწყობი ფაქტორია მათში წყალწარმოქმნის პროცესისათვის.

მდ. ალაზნის აუზის 2000 მ სიმაღლის ზევით გავრცელებულია მთა-მდელოს ნიადაგები ალპური ბალახებულობით დაფარული მდელოები. მათ ქვევით 1200 მ სიმაღლემდე ტყის მურა გაეწერებული ნიადაგებია, რომელთაც სოფლის მეურნეობაში შედარებით მცირე გამოყენება აქვთ. 1200 მ-დან 200 მ სიმაღლემდე ნაყოფიერი ნიადაგებია, რომლებიც ფართოდ გამოიყენება ვენახების, ხეხილის ბაღებისა და მარცვლებული კულტურებისათვის. აუზში 2000 მ სიმაღლის ქვევით 400 მ სიმაღლემდე მუხნარი, წიფლნარი და რცხილნარი ტყებია, რომელთაც რეგიონის ფართობის 46% უკავია. ალაზნის ვაკეზე ბუნებრივი მცენარეული საფარი მოსპობილია, მის ნაცვლად გავრცელებულია კულტურული მცენარეები: მარცვლეულის ნათესები და ყურძნის ვენახები [3].

ამრიგად, განსახილველი რეგიონის ოროგრაფია და ტყის საფარი მეტად ხელსაყრელი ფაქტორებია მის ზედაპირზე წყალწარმოქმნისათვის, მაგრამ აქ მდინარეთა წყლის ჩამონადენის ფორმირება ძირითადად დამოკიდებულია მათი აუზის ტერიტორიის კლიმატურ პირობებზე, რომელთა შორის გადამწყვეტი მნიშვნელობა აქვს კლიმატის ისეთ ელემენტებს, როგორიცაა ჰაერის ტემპერატურა, ნალექები და ოვალის საფარი, რომელიც არიან ჩამონადენის მთავარი წარმომქნელი ფაქტორები. კერძოდ, ჰაერის ტემპერატურა განსაზღვრავს მდინარის საზრდოობის პირობებს, ოვალისა და ყინულის დნობას, აორთქლებას და ამდენად განაპირობებს წყლის ჩამონადენის შიდაწლიური განაწილების ხასიათს. ატმოსფერული ნალექები არის მთავარი კლიმატური ელემენტი, რომელიც განსაზღვრავს მდინარის წყლიანობას. ნალექების მოსვლის ხასიათი, მათი განაწილება დროსა და სივრცეში განაპირობებს მდინარეში წყლის ჩამონადენის რეჟიმს. ზამთრის პერიოდში დაგროვილი ოვალის მარაგი სიმაღლი-

თი ზონების მიხედვით არის მაჩვენებელი მდინარის გაზაფხულ-ზაფხულის პერიოდის წყლის ჩამონადენის ოდენობისა და მისი განაწილებისა ცალკეული თვეების მიხედვით.

მდინარის აუზში პავის თავისებურებას განსაზღვრავს მისი ოროგრაფია. მდ. ალაზნის აუზი სამი მხრიდან გარშემორტყმულია მაღალი და საშუალო სიმაღლის ქედებით, რაც შიგნი კახეთის ვაკისა და მთისწინების ზონას იცავს ცივი პავის მასების შემოჭრისაგან და ხელს უწყობს საკმაო რაოდენობით ნალექების მოსვლას. სამხრეთ-აღმოსავლეთიდან აუზს აქვს დიდი მდებარეობა, საიდანაც შემოჭრილი თბილი პაერის მასები, სათანადო გავლენას ახდენს აქ თერმიულ რეჟიმზე და საერთოდ კლიმატის ფორმირებაზე.

დასავლეთიდან შემოჭრილი ტენით გადარიბებული პაერის მასები, კახეთისა და ცივ-გომბორის ქედებიდან ეშვებიან დაბლა, თბებიან და შრებიან, რის გამოც ნალექების გამოყოფა არ ხდება. ამ მშრალი პაერის მასების ნაწილი მიემართება სამხრეთ-აღმოსავლეთისკენ; ხოლო ნაწილი კავკასიონის ქედისაკენ და ციცაბო ფერდობებზე ასვლისას ხდება მათი გაცივება და პაერის გაუდენოვა კონდენსაციის წერტილამდე. ამის შედეგად აქ გამოიყოფა მეტი ნალექი ვიდრე კახეთისა და ცივ-გომბორის ქედების ჩრდილო-აღმოსავლეთ ფერდობებზე. აღმოსავლეთიდან შემოჭრილი პაერის მასები განიცდის იძულებით აღმასვლას, რის გამოც წარმოქმნება მნიშვნელოვანი ღრუბლიანობა, ჩნდება ნისლი და მოდის ნალექები. ამრიგად, მდ. ალაზნის აუზში ორივე მხრიდან შემოჭრილი პაერის მასები იწვევს არა მარტო უხვ ნალექებს, არამედ წლის თბილ პერიოდში ხშირ ელჭექებსა და სეტყვას, რაც ზიანს აუნებს სოფლის მეურნეობას [4].

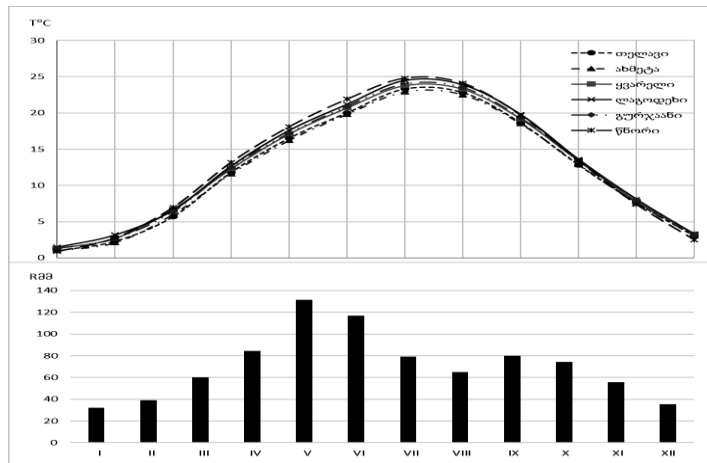
კლიმატის ელემენტების დასახასიათებლად გამოყენებულ იქნა აუზში აღრე არსებული და ახლაც მოქმედი მეტეოროსადგურებისა და საგუშაგოების მრავალწლიური მონაცემების სტატისტიკური ანალიზით მიღებული რაოდენობრივი მნიშვნელობები – ცხრილი 1, საიდანაც ჩანს, რომ პაერის საშუალო ტემპერატურა ადგილის სიმაღლის მატებასთან ერთად კლებულობს 13 °C-დან (წნორი - 223 მ) 8 °C-მდე (გომბორი - 1085 მ). მაქსიმალური ტემპერატურა (40 °C) აღირიცხება დაბლობებში (ალაზნისა და წნორში), მინიმალური ტემპერატურა კი მთელ ტერიტორიაზე – 23 - 26 °C-ს შეადგენს. ნახ. 2-ზე მოცემულია მდ. ალაზნის აუზში პაერის ტემპერატურის საშუალო მრავალწლიური მნიშვნელობები ცალკეული თვეების მიხედვით. ყველაზე ცივი თვის – იანვრის ტემპერატურა 0,9 - 1,5 °C-ია, ყველაზე ცხელ ივლისსა და აგვისტოში ტემპერატურა 23 - 25 °C-ს აღწევს.

**ცხრილი 1. ატმოსფერული ნალექების ჯამი (მმ) და პაერის ტემპერატურა (°C)**

მეტეოპუნქტი	სიმაღლე (მ)	ატმოსფერული ნალექები (მმ)			საშ.	მაქს.	მინ.
		I – XII	IV – X	XI – III			
გომბორი	1085	730			8,1		
სიღნაღი	795	735			11,1	37	-24
ბირკიანი	758	1097	800	297			
ჯოყოლო	663	1100			10,8	38	-26
თელავი	568	770	590	180	12,1	39	-23
ახმეტა	567	788	562	226	12,0	38	-23
ყვარელი	448	991	759	232	12,6	38	-23
ლაგოდეხი	435	1024	736	268	12,6	38	-23
გურჯაანი	415	741	543	198	12,7	39	-22
ალაზანი	290	617			13,3	40	-24
წნორი	223	568	420	148	13,0	40	-25

ცხრ. 1-ის მონაცემებით მდ. ალაზნის აუზის ვაკისა და მთისწინების ზონაში ნალექების წლიური რაოდენობა 568 - 1100 მმ-ია, კავკასიონის ქედის მიმართულებით ის 1000 მმ-ს აღემატება (ბირკიანი, ჯოყოლო, ლაგოდეხი), ხოლო ცივ-გომბორის ქედისკენ და სამხრეთ - აღმოსავლეთის მიმართულებით კლებულობს 600 მმ-მდე (ალაზანი, წნორი). ნახ. 2-ზე მოცემულია მდ. ალაზნის აუზში არსებული ყველა მეტეოროსადგურის ატმოსფერული ნალექების მრავალწლიან დაკვირვებათა გასაშუალებული მნიშვნელობები (მმ) ცალკეული თვეების მიხედვით. ნალექების შიდაწლიური განაწილება ტერიტორიულად არათანაბარია. ყველაზე დიდი რაოდენობის (110 - 130 მმ) ნალექები მოდის მაისში და ივნისში, ყველაზე

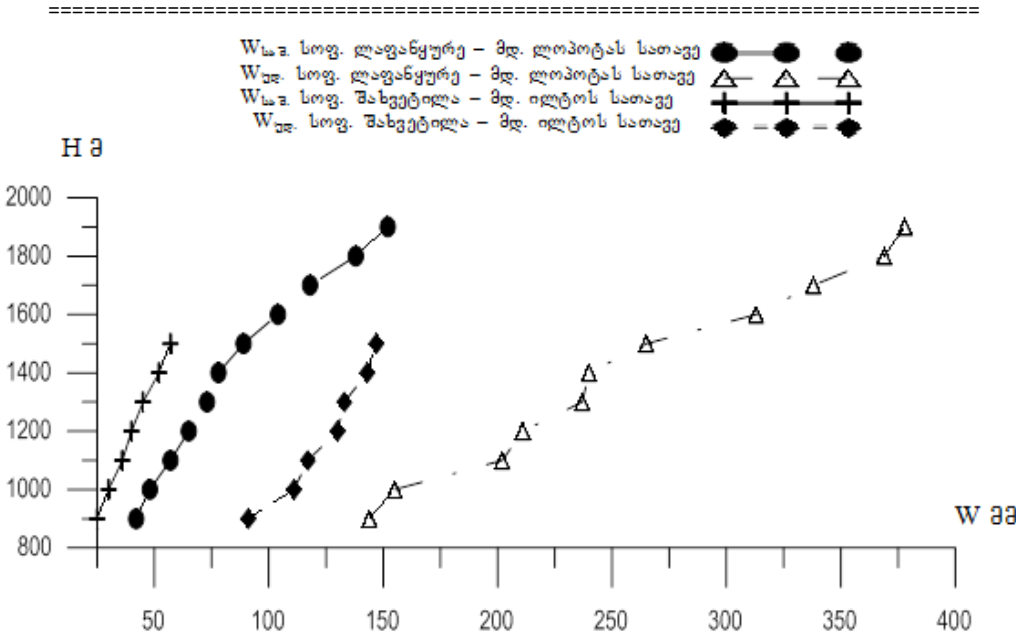
მცირე (20 - 40 მმ) კი იანვარში აღინიშნება. აუზის ტერიტორიაზე თბილ პერიოდში მოსული ნალექები (420 - 800 მმ) ორჯერ აღემატება ცივ პერიოდში მოსულ ნალექებს (150 - 300 მმ). ეს ფაქტი თითქოს ხელს უნდა უწყობდეს თბილ პერიოდში მდინარის წყლიანობის მატებას, რაც მეტად სასარგებლოვა საირიგაციო წყლის რესურსების შესავსებად. მაგრამ ამ დროს აქ ჰაერის მაღალი ტემპერატურის გამო, მოსული ნალექების დიდი ნაწილი იხსარჯება აორთქლებაზე და ამიტომ ვედარ აღწევს მდინარის კალაპოტამდე.



ნახ. 2. მდ. ალაზნის აუზში ატმოსფერული ნალექებისა (R მმ) და ჰაერის ტემპერატურის (T °C) საშუალო მრავალწლიური მნიშვნელობები ცალკეული თვეების მიხედვით.

მდინარის ჩამონადენის რაოდენობასა და დროის მიხედვით მის განაწილებაზე, ნალექებისა და ჰაერის ტემპერატურის გარდა, მნიშვნელოვან გავლენას ახდენს სხვადასხვა სიმაღლით ზონაში ზამთარში დაგროვილ თოვლში არსებული წყლის მარაგი. ნახ. 3-ზე წარმოდგენილია ჩვენ მიერ მდ. ალაზნის აუზში არსებული თოვლის საფრის მარშრუტული აგეგმვის მასალების მრავალწლიური მონაცემების დამუშავების შედეგები. აქ მოცემული მახასიათებლები აღწერს თოვლის საფრის მდგომარეობას მარტის თვის დასაწყისისათვის, როდესაც იწყება მისი დნობა და მოქმედებს მდინარის წყლის ჩამონადენზე ალაზნის მარჯვენა შენაკად ილტოსა და მარცხენა შენაკად ლოპოტას ხეობებში. მათი ანალიზის შედეგად გაირკვა, რომ ლოპოტას ხეობაში თოვლის წყლიანობა ორჯერ მეტია, ვიდრე ილტოს ხეობაში. სიმაღლის მიხედვით ის იზრდება მდ. ლოპოტას ხეობაში 42 მმ-დან (900 მ-ზე) 152 მმ-მდე (1900 მ-ზე), ხოლო მდ. ილტოს ხეობაში 25 მმ-დან (900 მ-ზე) 57 მმ-მდე (1500 მ-ზე). მათი ვარიაციის კოეფიციენტი სიმაღლის მიხედვით იცვლება ლოპოტას ხეობაში 1,06-დან 0,66-მდე (1900 მ-ზე). მდ. ილტოს ხეობაში კი 0,85-დან (900 მ-ზე) 0,53-მდე (1500 მ-ზე).

სადღეისოდ დედამიწაზე მიმდინარე კლიმატის გლობალური დათბობა მრავალმხრივ აისახა მდ. ალაზნის აუზში არსებულ ბუნებრივ პირობებზე და შესაბამისად მდინარეთა წყლიანობაზე. ეს პროცესები გამოვლენილ იქნა ჯერ კიდევ გაეროს კლიმატის ცვლილების ჩარჩო კონვენციის საქართველოს პირველ ეროვნულ შეტყობინებაში 1999 წელს [5], სადაც აღნიშნულ იყო, რომ ჰაერის ტემპერატურის საუკუნოვანმა ნაზრდმა აღმოსავლეთ საქართველოში და კერძოდ კახეთში 0,5 °C -ს მიაღწია. 2009 წელს მეორე შეტყობინებაში [6] კლიმატის ცვლილების რეგიონული (RegCM4) მოდელის მიხედვით, პროგნოზირებულ იქნა ტემპერატურის, ნალექების, სინოტიკისა და ქარის სიჩქარის მოსალოდნელი ცვლილება 2100 წლის დასავლეთ და აღმოსავლეთ საქართველოს კლიმატური ოლქისათვის როგორც წლიური, ასევე სეზონების მიხედვით. შედეგად, აღმოსავლეთ საქართველოში 2100 წლისათვის ჰაერის საშუალო წლიური ტემპერატურის 4 °C-ით მატებას თან მოჰყვება ნალექების 14%-იანი კლება. განსაკუთრებით მწვავე ცვლილება იქნება ზაფხულში, როდესაც ტემპერატურის მატებისა (5,9°C) და ნალექების კლების (-72 მმ) ტენდენცია გაცილებით მეტი იქნება, ვიდრე სხვა სეზონებში.



ნახ. 3. მდ. ალაზნის აუზში მარტის თვეში აღრიცხული თოვლის არსებული წყლის მარაგის (მმ) საშუალო მრავალწლიური და უდიდესი მნიშვნელობები სიმაღლითი ზონების მიხედვით.

2015 წელს გამოცემულ მესამე შეტყობინებაში [7] კახეთის რეგიონის 8 მეტეოსადგურისათვის მოცემულია მეტეოროლოგიური ელემენტების წლიური და სეზონური მნიშვნელობების ცვლილება 1961 - 1985 წწ და 1986 - 2010 წლების მონაცემთა შორის. ტემპერატურის მატება მთელ ტერიტორიაზე აღინიშნა  $0,5^{\circ}\text{C}$ -ით, მაქსიმალური მატება ( $0,7^{\circ}\text{C}$ ) აღირიცხა დედოფლისწყაროში. ნალექების წლიური ჯამები შემცირდა 5 მეტეოსადგურზე  $4\%$ -ით, 2 მეტეოსადგურზე კი ნალექები გაიზარდა, ზრდის მაქსიმუმი (8%) იყო ლაგოდებში. კლიმატის ცვლილება ყველაზე მეტად გამოვლინდა ზაფხულის სეზონში, როდესაც ყველა სადგურზე აღინიშნა ტემპერატურის მატება საშუალოდ  $0,8^{\circ}\text{C}$ -ით, მაქსიმალური მატება ( $1,4^{\circ}\text{C}$ ) იყო დედოფლისწყაროში. ნალექებმა კი იყლო ყველგან  $18\%$ -ით, გარდა ლაგოდებისა, სადაც ნალექები გაიზარდა  $7\%$ -ით და სადაც არის ყველაზე ხანგრძლივი ვეგეტაციის პერიოდი და მაღალი აქტიურ ტემპერატურათა ( $>10^{\circ}\text{C}$ ) ჯამი. ყველაზე მოკლე სავეგეტაციო პერიოდია დედოფლისწყაროში.

ჩვენ მიერ შესწავლიდ იქნა მდ. ალაზნის აუზის მარჯვენა და მარცხენა მხარეზე არსებულ მეტეოროლოგიურ ელემენტებზე მრავალწლიურ დაკვირვებათა მონაცემები. მათი ყოველწლიური დინამიკის გამოსავლენად გამოყენებულ იქნა მათი ტრენდის წრფივი აპროქსიმაციით შიდებული რეგრესიის განტოლებათა გამოსახულებები, რომელთა მიხედვით გაირკავა, რომ ტემპერატურის ყოველწლიური მატების სიჩქარე აუზის მარცხენა მხარეზე ლაგოდებში  $0,007^{\circ}\text{C}$ , ხოლო მარჯვენა მხარეზე თელავში  $0,005^{\circ}\text{C}$ -ია. აგრძელებული ნალექების წლიური ჯამი კი, ყოველწლიურად მცირდება ლაგოდებში 2,32 მმ-ით, თელავში კი 1,18 მმ-ით [8]. ამრიგად, ნალექების შემცირებისა და ტემპერატურის მატების უფრო მაღალი ინტენსიურობით გამოიჩინა მდ. ალაზნის აუზის მარცხენა მხარე, სადაც ყველაზე მეტი წყალუხვი შენაკადებია, რაც იმაზე მიუთითებს, რომ მოსალოდნებულია მათი და თვით მდ. ალაზნის წყლის ჩამონადენის კლება და შესაბამისად საირიგაციო წყლის მარაგის შემცირება.

მესამე ეროვნულ შეტყობინებაში [7] გარკვეული საპროგნოზო სცენარებით რეგიონული მოდელის გამოყენებით საქართველოს 33 და მათ შორის კახეთის 8 მეტეოსადგურის (დედოფლისწყარო, ყვარელი, ლაგოდები, გურჯაანი, თელავი, წნორი, ახმეტა და საგარეჯო) 1961 - 2010 წლების დაკვირვების მონაცემებზე დაყრდნობით, შეფასდა მომავალში კლიმატური ფაქტორების მოსალოდნებული ცვლილება 2021 - 2050 და 2071 - 2100 წლების პერიოდისათვის. მიღებული პროგნოზების თანახმად კახეთის მთელ ტერიტორიაზე მოსალოდნებულია როგორც საშუალო წლიური, ასევე საშუალო სეზონური ტემპერატურების მნიშვნელოვანი მატება.

ცხრილ 2-ში მოცემულია კახეთის 8 მეტეოსადგურისათვის მიღებული ტემპერატურების გასაშუალებული მნიშვნელობები, საიდანაც ირკვევა, რომ თუ 1986 - 2010 წლებში საშუალო წლიური ტემპერატურა იყო 12,7 °C, 2021 - 2050 წლებში იქნება 13,8 °C, 2071 - 2100 წლებში კი ის გაიზრდება 16,2 °C-მდე. ე.ი. ტემპერატურა 2021 - 2050 წლებში გაიზრდება 1,1 °C-ით, 2071 - 2100 წლებში კი 3,5 °C-ით იზრდება, რაც მეტად საყურადღებოა და საგულისხმოა სოფლის მეურნეობის განვითარებისათვის. ტემპერატურათა ასეთი ზრდა გამოიწვევს რეგიონში აქტიურ ტემპერატურათა ჯამებისა და სავგებაციო პერიოდის გაზრდას, რაც საშუალებას იძლევა ერთი მოსავლის მაგივრად ორი, ზოგიერთი მცენარისა კი 3 მოსავლის მიღებას. მაგრამ ამისთვის მაღალი ტემპერატურების პირობებში უფრო გაიზრდება აორთქლება და აუცილებელი იქნება მცენარეთა საჭირო წყლით უზრუნველყოფა, რაც თავის მხრივ დაკავშირებულია ნალექების რაოდენობასა და მდინარეთა წყლიანობაზე.

**ცხრილი 2. კახეთის რეგიონში 8 მეტეოსადგურის გასაშუალებული წლიური და სეზონური მნიშვნელობები პარენის საშუალო ტემპერატურებისა ( $T, ^\circ C$ ) და ატმოსფერული ნალექების ჯამისა ( $P, \text{მმ}$ ) 1-1986-2010 წწ., 2-2021-2050 წწ., 3-2071-2100 წწ. და მათ შორის ცვლილებები:  $\Delta_2$  და  $\Delta_3$**

$T_1$	$T_2$	$T_3$	$\Delta_2$	$\Delta_3$	$P_1$	$P_2$	$P_3$	$\Delta_{2,\%}$	$\Delta_{3,\%}$
წლიური									
12,7	13,8	16,2	1,1	3,1	777	771	650	0,3	- 15,9
ზამთარი									
2,5	3,6	6,3	1,1	2,8	105	137	94	30,1	- 8,7
გაზაფხული									
11,8	13,0	15,3	1,2	3,8	254	210	172	- 16,0	- 32,9
ზაფხული									
23,0	24,1	27,0	1,0	4,0	223	230	203	5,2	- 6,7
შემოდგომა									
13,8	14,7	17,1	1,2	3,6	197	201	175	1,5	- 11,4

ცხრილი 2-დან ირკვევა, რომ 2021 - 2050 წლებში მოსალოდნელია ნალექების წლირი ჯამების მატებასაშუალოდ 0,3%-ით, მათი შემცირება კი მოსალოდნელია ლაგოდებში (6%), წნორში (5%) და დედოფლისწყაროში (4%). სეზონების მიხედვით ყველაზე დიდი მატება ნალექებისა მოსალოდნელია ზამთარში საშუალოდ 30%-ით. ტერიტორიულად ეს მატება იცვლება 6%-დან (წნორში) 44%-მდე (თელავში და საგარეჯოში), გაზაფხულზე კი ყველგან აღინიშნება ნალექების კლება საშუალოდ 16%-ით, კლების მაქსიმალური მნიშვნელობა (25%) მოსალოდნელია დედოფლისწყაროში. ზაფხულში მთელ ტერიტორიაზე მოსალოდნელია ნალექების საშუალოდ 5%-იანი მატება, რომელიც ცალკეულ მეტეოსადგურზე 6% -დან (ყვარელში) 14%-მდე (გურჯაანში) იცვლება. ამ დროს ორ მეტეოსადგურზე აღინიშნება ნალექების შემცირება 6%-ით ყვარელში და 16%-ით ლაგოდებში. შემოდგომაზე ნალექების 5%-იანი კლება იქნება დედოფლისწყაროში და თელავში, 2%-ით შემცირდება ინწობაში, დანარჩენ მეტეოსადგურებზე კი იქნება ნალექთა მატება 0,4%-დან (გურჯაანში) 11%-მდე (ახმეტაში).

2071-2100 წლებში კახეთის ტერიტორიაზე მოსალოდნელია ნალექების შემცირება საშუალოდ 16% -ით, რომლის მნიშვნელობა იცვლება 10%-დან (საგარეჯოში) 22%-მდე (ლაგოდებში). სეზონების მიხედვითაც ყველა სეზონში მოსალოდნელია ნალექების შემცირება საშუალოდ: ზამთარში 9%-ით, გაზაფხულზე 33%-ით, ზაფხულში 7%-ით და შემოდგომაზე 11%-ით. ზოგიერთ მეტეოპუნქტზე მათ საწინააღმდეგოდ მოსალოდნელია ნალექების მატება, მაგალითად ზამთარში მატულობს ნალექები დედოფლისწყაროში 13%-ით და საგარეჯოში 10%-ით. ზაფხულში ნალექები იმატებს დედოფლისწყაროში 12%-ით და წნორში 1%-ით.

სეთი ცვლილებების შედეგად 2100 წლისთვის განსახილვები ტერიტორიაზე ნალექების წლიური ჯამი მოსალოდნელია იყოს 501 მმ-დან (წნორში, ნაცვლად 595 მმ-სა 2010 წელს) 829 მმ-მდე (ლაგოდებში, ნაცვლად 1061 მმ-სა). სეზონების მიხედვით ნალექების ჯამი შეიძლება იცვლებოდეს ზამთარში 80 მმ-დან (წნორში, ნაცვლად 90 მმ-სა) 107 მმ-მდე (ყვარელში, ნაცვლად 131 მმ-სა), გაზაფხულზე 96 მმ-დან (დედოფლისწაროში, ნაცვლად 212 მმ-სა) 228 მმ-

მდე (ლაგოდებში, ნაცვლად 332 მმ-სა), ზაფხულში 161 მმ-დან (წნორში, ნაცვლად 160 მმ-სა) 244 მმ-მდე (ლაგოდებში, ნაცვლად 319 მმ-სა), შემოდგომაზე 120 მმ-დან (წნორში, ნაცვლად 148 მმ-სა) 242 მმ-მდე (ლაგოდებში, ნაცვლად 273 მმ-სა).

ამრიგად, მდ. ალაზნის აუზის მთელ ტერიტორიაზე მოსალოდნელია ძირითადად ნალექების მნიშვნელოვანი შემცირება, რაც ტემპერატურისა და ოროქლების მატებასთან ერთად გამოიწვევს აუზში მდინარეთა წყლიანობისა და საირიგაციო წყლის რესურსების და მოსავლიანობის შემცირებას. ამასთან დაკავშირებით საყურადღებოა გ. მელაძისა და გ. მელაძის [9] ნაშრომში 1948 - 2017 წლების მონაცემებით კახეთის რეგიონისათვის დადგენილია აგროკლიმატური მახასიათებლები და მათი ცვლილება გაანგარიშებული ტემპერატურის  $2^{\circ}\text{C}$ -ის მატების სცენარით 2020 - 2050 წლებისათვის. მათი ანალიზით, ყველა სიმაღლით ზონაში აღინიშნება აქტიურ ტემპერატურათა ჯამების მატება და პიროვთერმული კოეფიციენტების კლება. ნალექების წლიური ჯამი კი მნიშვნელოვნად მცირდება მთიან ზონაში, ხოლო მშრალ სუბტროპიკულ და მაღალმთიან ზონაში ის მატულობს. ავტორთა მითითებით, აქტიურ ტემპერატურათა ჯამების მატება ხელს შეუწყობს მცენარეთა ნაყოფების სრულფასოვან მომწიფებას, თუმცა გლობალური დათბობის ფონზე გვალვის მაღალი ინტენსივობის გამო აუცილებელია მცენარეთა ფესვთა სისტემის ტენით უზრუნველყოფა.

გვალვა სასოფლო-სამეურნეო კულტურებისათვის მეტად არახელსაყრელი კლიმატური მოვლენაა, რაც ცხელი ( $> 30^{\circ}\text{C}$ ) ზაფხულის პირობებში და მცირე დღე-ღამური ნალექების (5 მმ-მდე) დროს ქმნის მცენარეთა განვითარებისთვის არასაქმარის ტენიანობის პირობებს. სუსტი და საშუალო ინტენსივობის გვალვები განსახილველი რეგიონის ტერიტორიაზე ყოველწლიურადად მოსალოდნელი. გვალვების შედეგები მართალია ხშირად არ არის კარასტროფული, მაგრამ იგი მნიშვნელოვანია მოსავლის შენარჩუნებისთვის. გვალვა განსაკუთრებით საშიშია ზაფხულში, როდესაც მაღალი ტემპერატურა, დაბალი სინოტიკე და ძლიერი აოროტები აშრობს ნიადაგის ზედა ფენებს, აფერხებს ვეგეტაციური მასის დაგროვებას, ამცირებს მცენარის კვირტს და ზრდის ფენებს. საერთო ჯამში კი ამცირებს ყველა სასოფლო-სამეურნეო კულტურების მოსავლიანობას [10].

აღმოსავლეთ საქართველოს მშრალ რაიონებში უნალექო პერიოდები 80 - 100 დღე და უფრო დიდხანს გრძელდება [11]. ამჟამად ყველაზე გვალვასაშიში რეგიონებია ქვემო ქართლი და კახეთში შირაქისა და ელდარის ვაკეები. აქ 1961 - 2005 წლებში დაკვირვებათა მონაცემებზე დაყრდნობით [12] ნაშრომის მიხედვით გვალვიანობის განმეორებადობის მაქსიმუმები (50 - 90%) აღინიშნება სავეგეტაციო პერიოდის შეორე ნახევარში ივლის-სექტემბერში, მინიმუმი (0,50%) კი აპრილ-მაისშია. სავეგეტაციო პერიოდში ტერიტორიის ტენით უზრუნველყოფის კრიტიკულ ნორმად მიღებულია ნალექთა ჯამი 150 - 200 მმ-ის ფარგლებში. აქედან გამომდინარე გვალვა ითვლება მკაცრად თუ ნალექთა ჯამი სავეგეტაციო პერიოდში არ აღემატება 150 მმ-ს. ხშირი და სანგრძლივი გვალვების დროს დაბლა იწევს გრუნტების წყლების დონე, მცირდება მდინარეთა წყლიანობა და სარწყავი წყლის შემცირების გამო მცენარეთა მოსავლიანობა მცირდება ან სრულად ნადგურდება. ეს რომ არ მოხდეს, უნდა განხორციელდეს ნიადაგის ხშირი მოწყვა და კულტივაცია.

აღსანიშნავია ის ფაქტი, რომ ბოლო წლებში კლიმატის გლობალურმა დათბობამ გამოიწვია გვალვიანი პერიოდების გასანგრძლივება. გვალვები და მათი ცვლილება განსახილველ ტერიტორიაზე გამოკვლეულ იქნა კლიმატის მესამე შეტენდინებაში [7]. გაირკვა, რომ 1986 - 2010 წლებში გვალვების რაოდენობა ყველაზე მეტად მომატებულია საგარეჯოში, დედოფლისწყაროში, თელავსა და ყვარელში. 2021 - 2050 წლებში მოსალოდნელია გვალვების შემცირება, რადგან მცირდება მკაცრი გვალვები, სიმშრალის რისკი გაიზრდება მხოლოდ ღაგოდებში. ამიტომ შეიძლება ითქვას, რომ სოფლის მეურნეობისათვის რისკები 2021 - 2050 წლებში მცირდება, მაგრამ იზრდება სავეგეტაციო პერიოდი და აქტიურ ტემპერატურათა ჯამი, თუმცა სეტემბერისა (გურჯაანში, თელავში და ყვარელში) და გაზაფხულის ძლიერი ქარების (დედოფლისწყაროში და სიღნაღმში) პრობლემები კვლავ რჩება. 2071 - 2100 წლებში გამოვლენილი პროგნოზების მიხედვით მოიმატებს ყველა ტიპის გვალვები და მათ შორის მკაცრი გვალვები.

ამასთან დაკავშირებით გასათვალისწინებელია ის ფაქტი, რომ გვალვიანობის შედეგად ირდვევა პიდროლოგიური წონასწორობა. წყლის რესურსების შემცირება კი მეტად უარყოფითად მოქმედებს გარემოზე, სოფლის მეურნეობაზე, ადამიანთა ჯანმრთელობაზე, ქვეყნის ეპონომიკასა და სოციალურ სფეროზე.

ამრიგად, მომავალში მშრალი პერიოდების გახანგრძლივებისა და გვალვიანობის მატების პროგნოზის გამო, იქმნება დიდი საშიშროება მდინარეთა წყლიანობის შემცირებისა. ამას ადასტურებს ჩვენ მიერ ჩატარებული კვლევა მდ. ალაზანზე [13], სადაც მოსალოდნელია გაუდაბნოების პროცესის გააქტიურება. მისი შენელება შეჩერებისთვის კი საჭიროა სათანადო სააღაპტაციო და პრევენციული ღონისძიებების ჩატარება, რომლებიც შემუშავებულია ამავე [13] ნაშრომში. პირველ რიგში სავაგეტაციო პერიოდში აუცილებელია ნიადაგის რეგულარულად დროული მორწყვა და კულტივაცია - გაფხვიერება, რათა მიიღონ გარანტირებული მოსავალი, რაც განაპირობებს შეძლებისდაგვარად მოსახლეობის დაცვას გვალვისა და გაუდაბნოების გამანადგურებელი ზემოქმედებისაგან და ქვეყნის გამოყვანას კრიზისული მდგრადიდან.

#### ლიტერატურა – REFERENCES – ЛИТЕРАТУРА

- ჯავახიშვილი ი. თხულებათა კრებული. ტომი 2, თბილისი, 1983.
- უკლება ნ. საქართველოს სსრ წყლის რესურსების კომპლექსური გამოყენება სახალხო მეურნეობაში. უნივერსიტეტის გამომცემლობა, თბ., 1977, 394 გვ.
- უკლება ი. აღმოსავლეთ საქართველოს მთიანი მხარეების ლანდშაფტები და ფიზიკურ-გეოგრაფიული რაიონები. „შეცნიერება”, თბილისი, 1974.
- ჯავახიშვილი შ. შიდა კახეთის კლიმატური დახასიათება. საქართველოს გეოგრაფიული საზოგადოების შრომები. ტომი IV, თბილისი, 1959.
- საქართველოს პირველი ეროვნული შეტყობინება კლიმატის ცვლილების ჩარჩო კონვენციისათვის. თბილისი, 1999, 151 გვ.
- საქართველოს მეორე ეროვნული შეტყობინება კლიმატის ცვლილების ჩარჩო კონვენციისათვის. თბ., 2009, 230 გვ.
- კლიმატის ცვლილების შესახებ საქართველოს მესამე ეროვნული შეტყობინება. UNOP in Georgia. თბ., 2015, 292 გვ.
- ბასილაშვილი ც. ირიგაციული წყალმოთხოვნილება და წყალუზრუნველყოფა შიგნი კახეთის ტერიტორიაზე. სტუ პიდრომეტეოროლოგიის ინსტიტუტის შრომები, ტომი 125, 2019, გვ. 9-13.
- მელაძე გ., მელაძე მ. კლიმატის ცვლილება: აგროკლიმატური გამოწვევები და ჰერსპექტივები აღმოსავლეთ საქართველოში. „უნივერსალი”, თბილისი, 2020, 199 გვ.
- ელიობარაშვილი ე., ჭავჭანიძე ზ. გვალვები, უნალექო და ნალექიანი პერიოდები საქართველოში. „შეცნიერება”, თბილისი, 1992.
- პაპინაშვილი ლ. გვალვა საქართველოში. საქ. მეცნ. აკად. პიდრომეტეოროლოგიის ინსტიტუტის შრომები, ტომი 107, 2002, გვ. 39-42.
- Горгишвили В.Э. Повторяемость и динамика засух в Восточной Грузии в XX столетии. Метеорология и Гидрология, 2009, № 6, с. 98-103.
- ბასილაშვილი ც. აღმოსავლეთ საქართველოს მდინარეთა მოსალოდნელი წყალმცირობის პრობლემები და მათი დაძლევის გზები. საერთ. სამეცნ. კონფ. ბუნებრივი კატასტროფები საქართველოში: მონიტორინგი, პრევენცია, შედეგების შერბილება შრომები, 2019, გვ. 70-73.

#### უაგ 627.14.215.1.76

საირიგაციო წყლის რესურსების მაფორმირებელი ფაქტორები და მათი დინამიკა შიგნი კახეთის რეგიონში/ც.ბასილაშვილი/.სტუ-ის პმი-ის სამეცნ. რეფ. შრ. კრებ. – ტ.129. - გვ.21-29. - ქართ.; რეზ.: ქართ., ინგლ., რუს. აღწერილია რეგიონში სარწყავი წყლით მომარაგების მთავარი არტერიის მდ. ალაზნის წყლის მაფორმირებელი ფაქტორები. შესწავლილია მათი დინამიკა და მოცემულია ყოველწლიური ცვლილების სიჩქარეები და მოსალოდნელი მნიშვნელობები. ატმოსფერული ნალექების შემცირება, ტემპერატურისა და აორთქლების მატება მაღალი გვალვიანობის პირობებში საგრძნობლად შეამცირებს საირიგაციო წყლის მარაგს და შესაბამისად მოსავლიანობას. ამიტომ დროულად უნდა ჩატარდეს სარწყავი წყლის რესურსების შევსებისათვის საჭირო ღონისძიებები.

UDC 627.14.215.1.76

**Formative factors of irrigation water resources and their dynamics in the region of Inner Kakheti/**  
Ts.Basilashvili/.Scientific Reviewed Proceedings of the IHM, GTU. - 2020 - vol.129 - pp.21-29. Georg.; Abst.: Georg., Eng., Rus. Forming factors of the main artery of water supply of the river Alazani for irrigation of the region are described. The dynamics is studied and the rates of their annual changes and the expected values are given. A decrease in precipitation, an increase in temperature and evaporation in the period of high droughts will significantly reduce the water reserves for irrigation and, accordingly, the yield. Therefore, timely measures should be taken to replenish them.

УДК 627.14.215.1.76

**Формирующие факторы ирригационных водных ресурсов и их динамика в регионе внутренней Кахетии.**/Басилашвили Ц.З./Науч. Реф. Сб. Труд. ИГМ ТГУ – 2020. вып. 129. – с.21-29. - Груз.; Рез.: Груз., Англ., Рус. Описаны формирующие факторы основной артерии водоснабжения для орошения региона р. Алазани. Изучена их динамика и приведены скорости их ежегодных изменений и ожидаемые значения. Уменьшение атмосферных осадков, увеличение температуры и испарения в условиях высоких засух, значительно уменьшит запасы воды для ирригации и соответственно урожайности. Поэтому своевременно следует провести мероприятия для их пополнения.

უაკ 551.583

საქართველოში სარწყავად გამოყენებული ზოგიერთი მდინარის ფენის  
 რსულსები ვებგვერდის კონილში და მათი სტატისტიკური მახასიათებლები

### ო. შველიძე

### საქართველოს ტექნიკური უნივერსიტეტის პიდრომეტეოროლოგიური ინსტიტუტი

საქართველოში სასოფლო-სამეურნეო კულტურების მოსარწყავად იყენებენ ორ-  
 მოც მდინარეზე მეტს. სტატიაში ჩვენ შევხებით ასეთ ათამდე მდინარეს. აღნიშნული  
 მდინარეები საზრდოობენ წვიმის, თოვლისა და მიწისქვეშა წყლებით, ხოლო მდი-  
 ნარეები რიონი, ენგური, არაგვი და ცხენისწყალი დამატებით იკვებებიან მყინვარების  
 წყლით. მდინარეებს წყალდიდობა ახასიათებთ გაზაფხულზე, წყალმცირეობა იწყება  
 ზაფხულის მეორე ნახევარში და გრძელდება მომავალი წლის გაზაფხულამდე.

საქართველოს წყლის რესურსების შესწავლაში უდიდესი წვლილი მიუძღვის პროფერსორ გარსევან ხმალაძეს. პირველ რიგში აღსანიშნავია უშუალოდ მის მიერ  
 და მისი ხელმძღვანელობით შესრულებული კაპიტალური მონოგრაფია დასავლეთ ამ-  
 იერკავკასიის ზედაპირული წყლის რესურსების შესახებ [1]. სარგებლობდა რა 1936-  
 1966 წლების 30 წლიანი დაკვირვების მასალებით ავტორმა აჩვენა, რომ დაკვირვენის  
 25 წლიანი პერიოდი სრულიად საკმარისია წლიური ჩამონადენის ნორმის დასადგ-  
 ენად, თუკი ამ პერიოდში შედის როგორც წყალმცირე, ისევე წყალუხვი ფაზები.

პირველ ცხრილში მოცემულია ოთხი მდინარის საშუალო წლიური ხარჯები და  
 მათი სტატისტიკური მახასიათებლები. თითოეული მდინარისათვის პირველ სტრიქო-  
 ნში მოცემულია 1990 წლამდე არსებული პიდრომეტეოროლოგიური დაკვირვების მას-  
 ალების ანალიზისა და გაანგარიშების საფუძველზე ხარჯების მაქსიმალური, მინი-  
 მალური და საშუალო მნიშვნელობები, გაბნევის დიაპაზონი, მედიანა, სტანდარტული  
 გადახრისა და ვარიაციის კოეფიციენტი. აგებულია ნდობის ინტერვალი მრავალ-  
 წლიური საშუალოსათვის 0.9 და 0.95 ნდობის დონით. დანარჩენ სტრიქონებში მოცე-  
 მულია იგივე სტატისტიკური პარამეტრები დაკვირვების სხვადასხვა პერიოდისათვის.

**ცხრილი 1. ზოგიერთი მდინარის საშუალო წლიური ხარჯები ( $\text{მ}^3/\text{წ}$ ) და მათი  
 სტატისტიკური მახასიათებლები**

დაკვირვების პერიოდი	მონაცემთა რიცხვისას	სტატისტიკური მახასიათებლები $\text{მ}^3/\text{წ}$						ნდობის ინტერვალი		
		$Q_{\max}$	$Q_{\min}$	$Q_{\max}/Q_{\min}$	$Q_{\text{საუ}}^{*}$	მედიანი	სტანდარტული გადახარა	ვარიაციის კოეფიციენტი	ნდობის დონე 0.9	ნდობის დონე 0.95
მდ.რიონი-ქონი										
1935-90	53	56.4	28.8	27.6	42.7	49.5	6.6	0.15	(41.7;44.7)	(41.4;45.0)
1935-68	31	56.4	28.8	27.6	44.0	43.5	6.8	0.15		
1961-90	30	56.4	36.0	20.4	44.7	43.6	5.7	0.13		
კენტი წლები	26	52.5	31.1	21.4	42.4	42.0	5.6	0.13		
ლუწი წლები	28	56.4	28.8	27.6	44.9	44.0	6.4	0.14		
მდ.ხანისწყალი-ბალდადი										
1937-90	54	23.7	8.5	15.2	15.6	15.7	3.0	0.19	(14.9;16.3)	(14.8;16.4)
1937-69	33	23.7	8.5	15.2	15.8	16.0	3.3	0.21		
1959-90	31	23.7	8.5	15.2	15.3	15.7	3.1	0.20		
მდ.სუფსა-ხიდმადადი										
1940-90	45	75.1	9.0	66.1	40.7	44.6	16.1	0.40	(36.7;44.7)	(35.9;45.6)
1940-70	25	61.2	9.0	52.2	37.7	39.5	17.0	0.45		
1966-90	25	75.1	9.0	66.1	45.6	45.6	18.0	0.44		
ცხენისწყალი-ხიდი										
1931-90	53	118	23.6	94.4	56.6	51.8	22.9	0.40	(51.4;61.8)	(50.4;62.8)
1940-66	25	118	25.4	92.6	65.9	64.3	22.7	0.34		
1946-75	30	118	23.6	23.6	54.2	52.2	22.7	0.38		
1961-90	30	76.9	23.6	23.6	40.3	38.5	19.4	0.48		

პირველ ცხრილიადნ კარგად ჩანს, რომ საშუალო წლიური ხარჯების სტატის-  
 ტიკური მახასიათებლების რიცხვითი მნიშვნელობები გათვლილი დაკვირვებების

სხვადასხვა პერიოდისათვის ახლოს არიან ერთმანეთთან. მაგალითად მდინარე რიონის საშუალო წლიური ხარჯები ერთმანეთისგან განსხვავდებიან 2-5%-ით და ყველა მათგანი თავსდება ნდობის ინტერვალში. სტანდარულ გადახრებს შორის უდიდესი სხვაობა  $1.2^3/\sqrt{3}$ -ია. ანალოგიური სიტუაცია მდინარეების სუფსისა და ხანისწყალის შემთხვევაში, რაც შეეხება მდინარე ცხენისწყალის საშუალო წლიური ხარჯი გათვლილი დაკვირვების სხვადასხვა პერიოდისათვის მკვეთრად განსხვავდებიან ერთმანეთისაგან და ყველა მათგანი არ თავსდება აგებული ნდობის ინტერვალში, ეს ფაქტი აისხება იმით, რომ გასული საუკუნის სამოციანი წლების ბოლოს მდ. ცხენისწყალის ჩამონადენის გარკვეული ნაწილი სპეციალურად გადაყვანილი არხით გადაისროლეს ლაჯანურის წყალსაცავში. შესაბამისად მდ.ცხენისწალის ჩამონადენით დასახასიათებლად მომავალში უნდა ვისარგებლოთ 1960 წლის დაკვირვებების შემდგომი მასალით და არა არსებული მთლიანი მასალით. ამრიგად შეგვიძლია გავაკეთოთ დასკვნა, რომ დაკვირვებათა 30 წლიანი პერიოდი სრულიად საკმარისია წლიური ჩამონადენის ნორმის დასადგენად, თუნდაც ამ პერიოდში არ შედიოდეს წყალუხვი და წყალფცირე ფაზები.

მეორე ცხრილში შეევანილია ქ. ზესტაფონთან მდ. ყვირილას საშუალო თვიური ხარჯები ( $\text{მ}^3/\sqrt{3}$ ) ვეგეტაციის ცალკეულ თვეებში და მათი სტატისტიკური მახასიათებლები. თითოეული თვის პირველ სტრიქონში მოცემულია 1990 წლამდე არსებული პიდროლოგიური დაკვირვების მთლიანი მასალების ანალიზისა და გაანგაიშების საფუძველზე; ხოლო მეორე და მესამე სტრიქონში შესაბამისად 1931-1960 წლებსა და 1961-1990 წლების დაკვირვების მასალებზე. ცხრილიდან ჩანს, რომ შესაბამისი პარამეტრები ყველა მდინარისათვის უმნიშვნელოდ განსხვავდებიან ერთმანეთისაგან და ყველა მათგანი თავსდება აგებული ნდობის ინტერვალში. შესაბამისად შეიძლება გავაკეთოთ დასკვნა: დაკვირვების 30 წლიანი პერიოდი სრულიად საკმარისია მდინარის თვიური ჩამონადენის ნორმის დასადგენად

## ცხრილი 2. მდინარე ყვირილას (ქ.ზესტაფონთან) საშუალო თვიური ხარჯები ( $\text{მ}^3/\sqrt{3}$ ) ვეგეტაციის თვეებში და მათი სტატისტიკური მახასიათებლები

თვეების დასახლება	სანგარიშო ჰერც	სტატისტიკური პარამეტრი $\text{მ}^3/\sqrt{3}$							გარიცის გეოგრაფიული	ნდობის ინტერვალი	
		n	$Q_{\max}$	$Q_{\min}$	$Q_{\max}-Q_{\min}$	მედიანი	$Q_{\text{საშ.}}$	s			
IV	1931-1990	5.9	280	50.1	229.9	127	127.8	44.9	0.35	(118.2;137.4)	(116.4;139.2)
	1931-1960	29	280	50.1	229.9	129	135.1	50.4	0.37		
	1961-1990	30	228	57.3	170.7	126.5	116.6	36.8	0.32		
V	1931-1990	59	167	35.9	131.9	76.6	89.3	28.9	0.35	(83.1;95.5)	(81.9;96.7)
	1931-1960	29	167	35.9	131.9	90.3	87.7	32.4	0.35		
	1961-1990	30	135	43.3	91.7	72.5	76.6	19.6	0.26		
VI	1931-1990	59	92.5	21.2	71.3	49.7	52.5	17.7	0.33	(48.7;56.3)	(48.0;57.0)
	1931-1960	29	92.5	30.5	62.0	55.1	56.4	17.3	0.31		
	1961-1990	30	92.5	21.2	71.3	55.0	54.0	16.8	0.31		
VII	1931-1990	59	87.2	17.0	70.2	35.4	36.8	15.0	0.41	(336.;40.0)	(33.0;40.6)
	1931-1960	29	70.7	17.0	62.7	32.6	34.9	14.5	0.42		
	1961-1990	30	87.2	19.4	67.8	35.5	36.7	15.0	0.39		
VIII	1931-1990	59	79.1	10.3	68.8	22.6	27.0	15.0	0.56	(23.8;30.2)	(23.2;30.8)
	1931-1960	29	56.5	10.3	46.2	22.0	25.9	11.9	0.46		
	1961-1990	30	79.1	12.0	67.1	25.6	29.3	16.3	0.56		
IX	1931-1990	58	62.8	5.7	57.1	22.2	25.2	12.5	0.50	(22.5;27.9)	(22.0;28.4)
	1931-1960	28	45.7	5.7	40.0	21.9	23.0	10.8	0.47		
	1961-1990	30	62.8	11.1	51.7	23.2	25.8	12.0	0.46		

მესამე ცხრილში მოცემულია ოთხი მდინარის საშუალო თვიური ხარჯი ვეგეტაციის თვეებში და მათი სტატისტიკური მახასიათებლები

**ცხრილი 3. ზოგიერთი მდინარის საშუალო თვიური ხარჯები ( $\text{მ}^3/\text{წ}\text{წ}$ ) სავეგეტაციო თვეებში და მათი სტატისტიკური მახასიათებლები**

N	სავეგეტაციო თვეების დასახელება	სტატისტიკური მახასიათებლები $\text{მ}^3/\text{წ}\text{წ}$						გარიაციის პოფიციური
		$Q_{\max}$	$Q_{\min}$	$Q_{\max}/Q_{\min}$	მედიანა	Q	S	
<b>მდინარე დიდი ლიახვი, სოფელი ჭავა</b>								
1	IV	50.3	12.0	38.3	26.9	26.4	8.0	0.30
	V	98.8	25.9	72.9	46.4	43.0	15.1	0.32
	VI	73.5	22.4	51.1	41.9	40.2	12.6	0.30
	VII	49.6	13.3	36.3	27.5	26.3	7.8	0.28
	VIII	36.0	5.6	30.4	17.1	16.0	6.0	0.35
	IX	21.3	5.2	16.1	12.1	11.6	3.7	0.31
<b>მდინარე არაგვი, სოფელი უნგალი</b>								
2	IV	105.0	30.7	74.3	61.6	57.1	18.0	0.29
	V	134.0	54.0	80.0	93.5	95.1	22.7	0.24
	VI	192.0	44.8	147.2	88.4	84.8	31.4	0.36
	VII	130.0	30.2	99.8	57.9	55.3	19.8	0.34
	VIII	73.8	21.0	52.8	38.9	34.7	14.0	0.36
	IX	63.8	17.3	46.5	33.4	33.0	11.7	0.35
<b>მდინარე ენგური, სოფელი ხაიში</b>								
3	IV	187.0	38.6	148.4	107.2	112.0	35.2	0.33
	V	408.0	87.6	320.4	209.5	199.0	60.1	0.29
	VI	603.0	121.0	482.0	271.1	270	84.3	0.31
	VII	586.0	138.0	448.0	279.4	253	80.7	0.29
	VIII	354.0	118.0	236.0	200.2	196	53.3	0.27
	IX	179.0	44.8	134.2	106.3	106.5	26.8	0.26
<b>მდინარე ნატანები, სოფელი ნატანები</b>								
4	IV	50.5	11.4	39.1	28.9	27.8	8.6	0.30
	V	52.7	3.2	49.5	34.0	34.3	10.1	0.30
	VI	53.3	6.4	46.9	25.8	25.9	8.2	0.32
	VII	31.1	8.0	23.0	17.5	17.3	5.2	0.30
	VIII	35.3	4.7	30.6	16.0	15.5	6.7	0.42
	IX	44.6	6.2	38.4	21.4	21.0	9.5	0.44

ბოლო ორი ცხრილიდან იკვეთება, რომ ვეგეტაციის პერიოდში ყველა მდინარის საშუალო თვიური ხარჯი მაქსიმალურ მნიშვნელობას აღწევს მაის-ივნისში, ხოლო მინიმალურს აგვისტო-სექტემბერში, როცა სასოფლო-სამეურნეო კულტურები ყველზე მეტედ საჭიროებებს მორწყვას. და ბოლოს, ჩატარებული კვლევა საშუალებას მოგვცემს, საქართველოში სარწყავი წყლის წყაროდ გამოყენებული მდინარეების წყლის რესურსების დაზუსტებაში და მის ეფექტურ გამოყენებაში ეკონომიკის სხვადასხვა დარგში.

#### ლიტერატურა-REFERENCES- ЛИТЕРАТУРА

1. Ресурсы поверхностных вод СССР, том 9, вып.1 западное Закавказье, Гидрометеоиздат, Л., 1969, 310C

უაკ 551.583

საქართველოტოში სარწყავად გამოყენებული ზოგიერთი მდინარის წყლის რესურსები ვეგეტაციის პერიოდში და მათი სტატისტიკური მახასიათებლები./შველიძე ო./სტუ-ის პმი-ის სამეცნ. რეც. შრ. კრებ. - 2020. - გვ.30-33. - ქართ.; რეზ.: ქართ., ინგლ., რუს.

დაკვირვების მრავალწლიური მონაცემების გაანგარიშებისა და ანალიზის საფუძველზე დადგენილია ვებგვერდის თვეებში მდინარის ხარჯების მაქსიმალური, საშუალო და მინიმალური მნიშვნელობები, საშუალო მრავალწლიური და თვიური ხარჯების სტატისტიკური მახასიათებლები, ნაჩვენებია, რომ 30 წლიანი პერიოდი სრულიად საკმარისია წლიური და თვიური ჩამინადენის ნორმების დასადგენად.

UDC 551.583

**Water resources of some rivers used for irrigation during vegetation period in Georgia and their statistic characteristics**./Shvelidze O./.Scientific Reviewed Proceedings of the IHM, GTU. - 2020 - vol.129 - pp.30-33. Georg.; Abst.: Georg., Eng., Rus. Based on calculation and analysis of long-term observation data, maximal, average and minimal river expanses during vegetation period, average long-term and monthly expenses statistic characteristics have been established. It is shown that 30-year period is quite sufficient for establishing yearly and monthly norms of water flow discharge.

УДК 551.583

**Водные ресурсы и статистические характеристики некоторых рек Грузии используемых для орошения в вегетационный период.**/Швелидзе О.Г./.Науч. Реф. Сб. Труд. ИГМ ГТУ - 2020. вып.129 - с.30-33. - Груз.; Рез.: Груз., Англ., Рус. На основе расчета и анализа многолетних данных наблюдений установлены максимальные, средние и минимальные значения расходов исследуемых рек в вегетационный период, а также их среднемесячные и среднегодовые статистические характеристики. Показано, что тридцатилетний период вполне достаточен для установления годового и месячного норм стока

უაკ 551.50.501.7

## საქართველოს მყინვარული აუზების დებრადაცია კლიმატის ცვლილების გამო

ლ. შენგელია\*, გ. კორძახია\*, გ. თვაური\*\*, მ. ძაძამია\*\*\*

\* საქართველოს ტექნიკური უნივერსიტეტის ჰიდრომეტეოროლოგიის ინსტიტუტი,  
ქ. თბილისი, საქართველო, larisa.shengelia@gmail.com, giakordzakhia@gmail.com

\*\* ივ. ჯავახიშვილის სახ. თბილისის სახელმწიფო უნივერსიტეტის ე. ანდრონიკაშვილის  
ფიზიკის ინსტიტუტი, ქ. თბილისი, საქართველო, gena\_tvauri@yahoo.com

\*\*\* გარემოს დაცვისა და სოფლის მეურნეობის სამინისტროს გარემოს ეროვნული სააგენტო,  
ქ. თბილისი, საქართველო, murmani.dzadzamia@gmail.com

გამყინვარება ბუნების დინამიურად ცვალებადი ელემენტია და შესაბამისად მოწყვლადია ბუნებრივი და ანთროპოგენური ცვლილებების მიმართ. გლობალური ცვლილებების ეპოქაში მყინვარების ევოლუციის შესწავლა მომავალზე ორიენტირებული ამოცანაა.

კლიმატის მიმდინარე ცვლილების მყინვარებზე ნებატიური გავლენის შესაფასებლად საჭიროა მყინვარული აუზების დეგრადაციის, მცირე მყინვარების დნობის სტატისტიკისა და დიდი მყინვარების უკანდახევის სიჩქარეების და ტრენდების დადგენა; კლიმატის მიმდინარე ცვლილების შესაძლო სცენარებზე დაყრდნობით საქართველოს მყინვარების სრული დნობის პროგნოზირება.

კლიმატის მიმდინარე ცვლილების მყინვარებზე ზემოქმედების დასახასიათებლად ერთ-ერთი ეფექტური გზაა საქართველოს მყინვარული აუზების დეგრადაციის საკითხის განხილვა. ეს შესაძლებელია წარსულში ხელმისაწვდომი ინფორმაციის შედარებით ამჟამად არსებულ ინფორმაციასთან რისი დროითი შუალედი დაახლოებით 50 წელიწადს შეადგენს. დეგრადაციის რიცხობრივად განსაზღვრისათვის გამოყენებულია არსებული და განსაზღვრული მყინვარული აუზების ფართობებისა და მყინვარების რაოდენობის მნიშვნელობები ამ დროით პერიოდისათვის და განხორციელებულია ცვლილებების სტატისტიკური ანალიზი. ეს იძლევა საფუძველს მნიშვნელოვანი დასკვნების გამოსატანად.

საქართველოს მყინვარების კვლევისათვის ინტენსიური სამუშაოები [1, 2] ხორციელდებოდა სხვადასხვა ინსტიტუციების (ამიერკავკასიის ჰიდრომეტეოროლოგიის ინსტიტუციი, საქართველოს მეცნიერებათა აკადემიის გეოგრაფიის ინსტიტუტი, საქართველოს ჰიდრომეტეოროლოგიის ეროვნული სამსახური) მკვლევარების მიერ. 1951 წლიდან საქართველოს ჰიდრომეტეოროლოგიის სამმართველოში სისტემატურად მიმდინარეობდა მყინვარებზე გლაციოლოგიური დაკვირვებები. ეს დაკვირვებები ძირითადად საველე სამუშაოებით და ზოგ შემთხვევაში აერო-ფოტო გადაღებებით ხორციელდებოდა.

გასული საუკუნის 60–70-იან წლებში ყოვილ სსრ კავშირში დიდი მოცულობის გლაციოლოგიური სამუშაოები ჩატარდა და შეიქმნა საბჭოთა კავშირის მყინვარების კატალოგი (შემდეგში კატალოგი). საქართველოს მყინვარებზე საუკუნოვანი დაკვირვების და კვლევის შედეგები (დაწყებული 1860 წლიდან [3, 4]) შეჯამდა და როგორც ავდიშნეთ მოყვანილია კატალოგის სხვადასხვა გამოცემაში [5–8]. ამ კატალოგის მნიშვნელობიდან გამომდინარე ის შემდგომ განთავსდა მყინვარების მსოფლიო კატალოგში [9].

საქართველოს მყინვარების ფართობებისა და მყინვარების რაოდენობის შესახებ ინფორმაცია მოცემულია კატალოგში. დასავლეთ საქართველოს მყინვარები განხილულია დასავლეთიდან აღმოსავლეთისაკენ [5]. აღმოსავლეთ საქართველოს მყინვარები ცალკე არის გამოყოფილი. ისინი ყოფილი სსრ კავშირის კავკასიის მყინვარულ სისტემაშია მოქცეული და კატალოგის სამ სხვადასხვა გამოშვებაშია შესული [6–8]. მათი ამოკრება ჩატარდა მყინვარული აუზების მიხედვით.

საქართველოს მყინვარების კვლევა მიწისპირა დაკვირვებებით ადრინდებით მოცულობით დღესდღეობით შეუძლებელია. მით უმეტეს, როდესაც საკითხი ეხება მყინვარების დეგრადაციის კლიმატის მიმდინარე ცვლილების ზემოქმედებით. როგორც დადგინდა ასეთი კვლევები შესაძლებელია მხოლოდ თანამგზავრული დისტანციური ზონდირების (თდზ) გამოყენებით.

მყინვარების თანამედროვე მდგომარეობის შესასწავლად განხორციელდა GLIMS-ის და სხვა მონაცემთა ბაზიდან Landsat-ის თანამგზავრული სურათების მოპოვება და დამუშავება. თდზ-ის მონაცემებისა და ავტორების მიერ შემუშავებული მეთოდოლოგიის საფუძველზე [10–14] განისაზღვრა თითოეული მყინვარის კონტური და მახასიათებლები (მაქსიმალური სიგრძე, ფართობი, მინიმალური სიმაღლე, მაქსიმალური სიმაღლე, ფირნის ხაზის სიმაღლე,

=====  
 აბლაციის არის ფართობი). როგორც ზემოთ აღინიშნა ამ კვლევისათვის საჭიროა მყინვარების ფართობებისა და მყინვარების რაოდენობის შესახებ ინფორმაცია.

თანამგზავრულ სურათებზე მოყვანილი მყინვარების იდენტიფიცირებისათვის ძირითადად გამოყენებულია მყინვარების კატალოგში მოყვანილი სქემები, სადაც ნაჩვენებია მყინვარების მდებარეობა შესაბამისი მდინარეთა აუზების მიხედვით და მე-20 საუკუნის 60-იანი წლების ტოპოგრაფიული რუკები. მყინვარების იდენტიფიცირების შემდგომ განისაზღვრა მყინვარების ფართობები და მყინვარების რაოდენობა.

ცალკეული მყინვარებისათვის კატალოგში მოყვანილი ფართობის მონაცემები უფრო ნაკლები აღმოჩნდა, ვიდრე თდზ-ით განსაზღვრული, რაც ქმნიდა არასწორ სურათს, რომ მყინვარების ფართობი 60-იან წლებთან შედარებით გაიზარდა, რაც გლობალური დათბობის ფაქტს ეწინააღმდეგება. თდზ-ის მონაცემებით მიღებული საქართველოს მყინვარების კონტურებისა და გასული საუკუნის 60-იანი წლების ტოპოგრაფიულ რუკებზე ასახული მყინვარების კონტურებთან შედარებამ ცხადყო, რომ დაახლოებით ბოლო 50 წლის განმავლობაში საქართველოს ყველა მყინვარის ფართობი შემცირდა. ამ პერიოდის ტოპოგრაფიულ რუკებზე მოყვანილი მყინვარების კონტურების საფუძველზე განისაზღვრა ფართობები და ჩატარდა კორექტირება კატალოგიდან აღებული ფართობის შესახებ არასწორი მონაცემების [15].

დასავლეთ საქართველოში კატალოგის მიხედვით 409 მყინვარია, აქედან ტოპოგრაფიული რუკების გამოყენებით შესწორდა 108 მყინვარის ფართობის მონაცემი ანუ არსებულის 26,4%-ის. აღმოსავლეთ საქართველოში კატალოგის მიხედვით 132 მყინვარია, აქედან შესწორდა 7 მყინვარის ფართობის მნიშვნელობა ანუ არსებულის 5,3%-ის. სულ შესწორდა 115 მყინვარის ფართობის მნიშვნელობა ანუ არსებულის 21,3%-ის.

საქართველოში 12 მყინვარული აუზია, აქედან 6 დასავლეთ საქართველოშია (ცხრილი 1), ხოლო 6 აღმოსავლეთ საქართველოში (ცხრილი 2). ამ ცხრილებში მოყვანილია მდინარის აუზების მიხედვით მყინვარულ აუზებში მყინვარების რაოდენობა და შესაბამისი ფართობები კატალოგის მიხედვით და დღევანდელი მდგომარეობით.

შესწორებების გათვალისწინებით ქვემოთმოყვანილ ცხრილებში მყინვარების ფართობების მონაცემები მოყვანილია მცირე ( $0,1$ -დან  $0,5 \text{ km}^2$ ), საშუალო ( $0,5$ -დან  $2,0 \text{ km}^2$ ) და დიდი ( $2,0 \text{ km}^2$  და მეტი) მყინვარებისათვის\* [16].

1-ლ ცხრილში მოყვანილია აღმოსავლეთ საქართველოს მყინვარები, რომელთა ფართობის მნიშვნელობები შესწორდა ტოპოგრაფიული რუკებით. აღსანიშნავია ოერგის აუზის მყინვარი №58, რომელიც ტოპოგრაფიული რუკის მიხედვით საშუალო ზომისაა, ხოლო კატალოგის მიხედვით – მცირე ზომის.

### ცხრილი 1. აღმოსავლეთ საქართველოს მყინვარები, რომელთა ფართობის მნიშვნელობები შესწორდა ტოპოგრაფიული რუკებით

№	აუზი	მყინვარის №	კატალოგით	ტოპორუკით	თდზ
1	თერგი	58	0.2	0.9	0.6
2		59	0.7	0.8	0.7
3		101	0.1	0.2	0.1
4	ასა	3	0.3	0.5	0.3
5	არდუნი	11	0.1	0.2	0.1
6	პირიქითი	17	0.1	0.3	0.1
7	ალაზანი	19	0.3	0.5	0.3

მე-2 ცხრილში მოყვანილი დასავლეთ საქართველოს მყინვარები კატალოგში დანომრილია თანმიმდევრობით დასავლეთიდან აღმოსავლეთისკენ [1]. აღმოსავლეთ საქართველოს მყინვარები (ცხრილი 3) კატალოგის სამ სხვადასხვა გამოშვებიდანაა ამოკრებილი [2–4], ამიტომ მყინვარების ნომერთან მითითებულია შესაბამისი წყარო.

\* [16]-ში მოცემული საქართველოს მყინვარების სამ ჯგუფად დაყოფის ქვედა საზღვარი ავტორების მიერ არის დამატებული გამომდინარე იქიდან, რომ კატალოგში აღრიცხული ყველა მყინვარის ფართობი  $0,1 \text{ km}^2$ -ზე მეტია, ხოლო თოვლნარები არ განიხილება.

**ცხრილი 2. დასავლეთ საქართველოს მყინვარების განაწილება მყინვარული  
აუზების მიხედვით**

დასავლეთ საქართველო								
მყინვარული აუზები			მყინვარების რაოდენობა			მყინვარების ფართობი		
N <sup>o</sup>	მყინვარების N <sup>o</sup> კატალოგით	ზომა	კატ.	თღზ	Δ	კატ	თღზ	Δ
1	ბზიფი 1-13	მცირე	8	7	1	2.3	1.8	0.5
		საშუალო	5	2	3	4.8	1.4	3.4
		დიდი	0	0	0	0	0	0
		სულ	13	9	4	7.1	3.2	3.9
2	პელასური 14-16	მცირე	2	0	2	0.7	0	0.7
		საშუალო	1	1	0	0.8	0.7	0.1
		დიდი	0	0	0	0	0	0
		სულ	3	1	2	1.5	0.7	0.8
3	კოდორი 17-136	მცირე	80	71	9	21.8	16.7	5.1
		საშუალო	36	19	17	35.1	18.4	16.7
		დიდი	4	1	3	11.6	3.9	7.7
		სულ	120	91	29	68.5	39	29.5
4	ენგური 137-295, 297-331	მცირე	107	82	25	25.5	21.3	4.2
		საშუალო	60	47	13	66.2	49.2	17
		დიდი	27	24	3	213.5	165.9	47.6
		სულ	194	153	41	305.2	236.4	68.8
5	ხობისწყალი 332-334	მცირე	3	1	2	0.4	0.1	0.3
		საშუალო	0	0	0	0	0	0
		დიდი	0	0	0	0	0	0
		სულ	3	1	2	0.4	0.1	0.3
6	რიონი 296, 335-409	მცირე	36	47	-11	9.2	11.3	-2.1
		საშუალო	29	13	16	28.2	14.6	13.6
		დიდი	11	8	3	36	25.9	10.1
		სულ	76	68	8	73.4	51.8	21.6
7	სულ	409	323	86	456.1	331.2	124.9	7

**ცხრილი 3. აღმოსაგლეთ საქართველოს მყინვარების განაწილება მყინვარული აუზების მიხედვით**

აღმოსავლეთ საქართველო								
მყინვარული აუზები			მყინვარების რაოდენობა			მყინვარების ფართობი		
Nº	სახელწოდება და მყინვარების № პატალოგით	ზომა	კატ.	თვები	Δ	კატ	თვები	Δ
1	ლიახვი 1-22 [6]	მცირე	20	3	17	4.1	0.6	3.5
		საშუალო	2	1	1	2.5	1	1.5
		დიდი	0	0	0	0	0	0
		სულ	22	4	18	6.6	1.6	5
2	არაგვი 23-27 [6]	მცირე	4	1	3	0.8	0.3	0.5
		საშუალო	1	0	1	0.8	0	0.8
		დიდი	0	0	0	0	0	0
		სულ	5	1	4	1.6	0.3	1.3
3	თერგი 44-111 [7]	მცირე	47	22	25	12.5	4.2	8.3
		საშუალო	12	6	6	12.1	6.1	6.0
		დიდი	9	7	1	42.9	29.2	13.1
		სულ	68	35	33	67.5	39.5	28
4	ასა 1-3 [8]	მცირე	2	3	-1	0.8	1.0	-0.2
		საშუალო	1	0	1	0.6	0	0.6
		დიდი	0	0	0	0	0	0
		სულ	3	3	0	1.4	1.0	0.4

		Հերոզու 3-օւն զագրծեցվեծ							
5	Ձևական 10–15 [7]	ԹՅուրք	6	1	5	1.0	0.1	0.9	
		Ասմյալո	0	0	0	0	0	0	
		Ջոջօ	0	0	0	0	0	0	
		Լյուլ	6	1	5	1.0	0.1	0.9	
	Կորոյդու աղաթանո 6–33 6–19 [8], 20–33 [7]	ԹՅուրք	25	16	9	6.7	3.3	3.4	
6		Ասմյալո	3	0	3	0	0	0	
		Ջոջօ	0	0	0	0	0	0	
		Լյուլ	28	16	12	8.8	3.3	5.5	
7	Լյուլ	132	60	72	86.9	45.8	41.1		

დასავლეთ საქართველოში მყინვარულ აუზებში მყინვართა რიცხვი კატალოგის მონაცემებით, როგორც ზემოთ აღვნიშნეთ 409-ს შეადგენდა, ხოლო დაკავებული ფართობი იყო 456,1 კმ<sup>2</sup>.

ამჟამად დასავლეთ საქართველოში თღზ-ის მონაცემებით მყინვართა რაოდენობა არის 323, ანუ კატალოგით არსებულის 79%, ხოლო დაკავებული ფართობი არის 331,2 კმ<sup>2</sup>, ანუ კატალოგით არსებულის 72,6%

ამგვარად დასავლეთ საქართველოში მყინვარულ აუზებში მყინვართა რიცხვი შემცირდა 21%-ით, ხოლო დაკავშირდი ვართობი შემცირდა 27,4%-ით.

აღმოსავლეთ საქართველოში, მყინვარულ აუზებში მყინვართა რიცხვი კატალოგის მონაცემებით 132-ს შეადგენდა, ხოლო დაკავებული ფართობი იყო 86,9 კმ<sup>2</sup>. ამჟამად აღმოსავლეთ საქართველოში თდზ-ის მონაცემებით მყინვართა რაოდენობა არის 60, კატალოგით არსებულის 45,5%, ხოლო დაკავებული ფართობი არის 45,8 კმ<sup>2</sup>, კატალოგით არსებულის 52,7%.

ამგვარად აღმოსავლეთ საქართველოში მყინვარულ აუზებში მყინვართა რიცხვი შემცირდა 54.5%-ით, ხოლო დაკავშილი დართობი შემცირდა 47.3%-ით.

საინტერესოა წარსულში (კატალოგის მონაცემები) და ამჟამად (თვე-ის მონაცემები) მცირე, საშუალო და დიდი მყინვარების ფართობებისა და რაოდენობის განაწილება აუზების მიხედვით (ცხრილები 4–6).

როგორც მე-4 ცხრილიდან ჩანს დასავლეთ საქართველოში მცირე მყინვარების რაოდენობა 236-დან 208-მდე შემცირდა ანუ 11,9%-ით, ხოლო აღმოსავლეთ საქართველოში 104-დან 46-მდე ანუ 55,8%-ით. აგრეთვე შემცირდა მცირე მყინვარებით დაფარული ფართობები 59,9 კმ<sup>2</sup>-დან 51,2 კმ<sup>2</sup>-მდე ანუ 14,7%-ით და აღმოსავლეთ საქართველოში 25,9 კმ<sup>2</sup>-დან დან 9,5 კმ<sup>2</sup>-მდე ანუ 63,3%-ით.

დასავლეთ საქართველოში მხოლოდ რიონის აუზში გაიზარდა მცირე მყინვარების რაოდენობა (11-ით) და აღმოსავლეთ საქართველოში მხოლოდ ასას აუზში (1-ით) რაც დაკავშირებულია უფრო დიდი ზომის მყინვარების დეპრადაცია/დანაწევრებასთან

ცხრილი 4. მცირე მყინვარების განაწილება აუზების მიხედვით

დასავლეთ საქართველო						აღმოსავლეთ საქართველო							
მყინვარული აუზები	მყინვარების რაოდენობა			მყინვარების ფართობი კმ <sup>2</sup>			მყინვარული აუზები	მყინვარების რაოდენობა			მყინვარების ფართობი კმ <sup>2</sup>		
სახელწოდ.	კატ.	თდზ	Δ	კატ.	თდზ	Δ	სახელწოდ.	კატ.	თდზ	Δ	კატ.	თდზ	Δ
ბზიფი	8	7	1	2.3	1.8	0.5	ლიახვი	20	3	17	4.1	0.6	3.5
კელასური	2	0	2	0.7	0	0.7	არაგვი	4	1	3	0.8	0.3	0.5
კოდორი	80	71	9	21.8	16.7	5.1	თერგი	47	22	25	12.5	4.2	8.3
ენგური	107	82	25	25.5	21.3	4.2	ასა	2	3	-1	0.8	1.0	-0.2
ხობისწყალი	3	1	2	0.4	0.1	0.3	არღუნი	6	1	5	1.0	0.1	0.9
რიონი	36	47	-11	9.2	11.3	-2.1	პირიქითი ალაზანი	25	16	9	6.7	3.3	3.4
სულ	236	208	28	59.9	51.2	8.7	სულ	104	46	58	25.9	9.5	16.4

**ცხრილი 5. საშუალო მყინვარების განაწილება აუზების მიხედვით**

დასავლეთ საქართველო						აღმოსავლეთ საქართველო																		
მყინვარული აუზები	მყინვარების რაოდენობა	მყინვარების ფართობი კმ <sup>2</sup>	მყინვარული აუზები	მყინვარების რაოდენობა	მყინვარების ფართობი კმ <sup>2</sup>	სახელმწოდ.	კატ.	თდზ	Δ	კატ.	თდზ	Δ	სახელმწოდ.	კატ.	თდზ	Δ	კატ.	თდზ	Δ	სახელმწოდ.	კატ.	თდზ	Δ	
სახელმწოდ.	კატ.	თდზ	Δ	კატ.	თდზ	Δ	სახელმწოდ.	კატ.	თდზ	Δ	კატ.	თდზ	Δ	სახელმწოდ.	კატ.	თდზ	Δ	კატ.	თდზ	Δ	სახელმწოდ.	კატ.	თდზ	Δ
ბზიფი	5	2	3	4.8	1.4	3.4	ლიახვი	2	1	1	2.5	1	1.5	არაგვი	1	0	1	0.8	0	0.8	არაგვი	1	0	1
კელასური	1	1	0	0.8	0.7	0.1	თერგი	12	6	6	12.1	6.1	6.0	ასა	1	0	1	0.6	0	0.6	არდუნი	0	0	0
კოდორი	36	19	17	35.1	18.4	16.7	არაგვი	0	0	0	0	0	0	არდუნი	3	0	3	2.1	0	2.1	არდუნი	29	13	16
ენგური	60	47	13	66.2	49.2	17	ასა	1	0	1	0.6	0	0.6	არდუნი	19	7	12	18.1	7.1	11	არდუნი	131	82	49
ხობისწყალი	0	0	0	0	0	0	არდუნი	3	0	3	2.1	0	2.1	სულ	19	7	12	18.1	7.1	11	სულ	131	82	49
რიონი	29	13	16	28.2	14.6	13.6	პირიქითი ალაზანი	0	0	0	0	0	0	პირიქითი ალაზანი	3	0	3	2.1	0	2.1	პირიქითი ალაზანი	29	13	16
<b>სულ</b>	<b>131</b>	<b>82</b>	<b>49</b>	<b>135.1</b>	<b>84.3</b>	<b>50.8</b>	<b>სულ</b>	<b>19</b>	<b>7</b>	<b>12</b>	<b>18.1</b>	<b>7.1</b>	<b>11</b>	<b>სულ</b>	<b>131</b>	<b>82</b>	<b>49</b>	<b>135.1</b>	<b>84.3</b>	<b>50.8</b>	<b>სულ</b>	<b>131</b>	<b>82</b>	<b>49</b>

**ცხრილი 6. დიდი მყინვარების განაწილება აუზების მიხედვით**

№	დასავლეთ საქართველო						აღმოსავლეთ საქართველო																						
	მყინვარული აუზები	მყინვარების რაოდენობა	მყინვარების ფართობი კმ <sup>2</sup>	მყინვარული აუზები	მყინვარების რაოდენობა	მყინვარების ფართობი კმ <sup>2</sup>	სახელმწოდ.	კატ.	თდზ	Δ	სახელმწოდ.	კატ.	თდზ	Δ	სახელმწოდ.	კატ.	თდზ	Δ	სახელმწოდ.	კატ.	თდზ	Δ	სახელმწოდ.	კატ.	თდზ	Δ			
სახელმწოდ.	კატ.	თდზ	Δ	კატ.	თდზ	Δ	სახელმწოდ.	კატ.	თდზ	Δ	სახელმწოდ.	კატ.	თდზ	Δ	სახელმწოდ.	კატ.	თდზ	Δ	სახელმწოდ.	კატ.	თდზ	Δ	სახელმწოდ.	კატ.	თდზ	Δ			
1	ბზიფი	0	0	0	0	0	ლიახვი	0	0	0	0	0	0	არაგვი	0	0	0	0	0	0	არაგვი	0	0	0	0	0	0	0	
2	კელასური	0	0	0	0	0	არაგვი	0	0	0	0	0	0	არაგვი	0	0	0	0	0	0	არაგვი	0	0	0	0	0	0	0	
3	კოდორი	4	1	3	11.6	3.9	7.7	თერგი	9	7	2	42.9	29.2	13.7	ასა	0	0	0	0	0	0	არდუნი	27	24	3	213.5	165.9	47.6	0
4	ენგური	27	24	3	213.5	165.9	47.6	ასა	0	0	0	0	0	0	არდუნი	0	0	0	0	0	0	არდუნი	0	0	0	0	0	0	0
5	ხობისწყალი	0	0	0	0	0	არდუნი	0	0	0	0	0	0	პირიქითი ალაზანი	0	0	0	0	0	0	პირიქითი ალაზანი	11	8	3	36	25.9	10.1	0	
6	რიონი	11	8	3	36	25.9	10.1	პირიქითი ალაზანი	0	0	0	0	0	0	სულ	9	7	2	42.9	29.2	13.7	სულ	42	33	9	261.1	195.7	65.4	0
<b>7</b>	<b>სულ</b>	<b>42</b>	<b>33</b>	<b>9</b>	<b>261.1</b>	<b>195.7</b>	<b>65.4</b>	<b>სულ</b>	<b>9</b>	<b>7</b>	<b>2</b>	<b>42.9</b>	<b>29.2</b>	<b>13.7</b>	<b>სულ</b>	<b>42</b>	<b>33</b>	<b>9</b>	<b>261.1</b>	<b>195.7</b>	<b>65.4</b>	<b>სულ</b>	<b>42</b>	<b>33</b>	<b>9</b>	<b>261.1</b>	<b>195.7</b>	<b>65.4</b>	<b>სულ</b>

საშუალო მყინვარების რაოდენობა (ცხრილი 4) დასავლეთ საქართველოში 131-დან 82-მდე შემცირდა ანუ 37,4%-ით, ხოლო აღმოსავლეთ საქართველოში 19-დან 7-მდე ანუ 63,2%-ით. აგრეთვე შემცირდა საშუალო მყინვარებით დაფარული ფართობები დასავლეთ საქართველოში 135,1 კმ-დან 84,3 კმ-მდე ანუ 37,6%-ით და აღმოსავლეთ საქართველოში 18,1 კმ-დან 7,1 კმ-მდე ანუ 60,8%-ით.

დიდი მყინვარების რაოდენობა (ცხრილი 5) დასავლეთ საქართველოში 42-დან 33-მდე შემცირდა ანუ 21,4%-ით, ხოლო აღმოსავლეთ საქართველოში 9-დან 7-მდე ანუ 22,2%-ით. აგრეთვე შემცირდა დიდი მყინვარებით დაფარული ფართობები დასავლეთ საქართველოში 261,1 კმ-დან 195,7 კმ-მდე ანუ 25,0%-ით და აღმოსავლეთ საქართველოში 42,9 კმ-დან 29,2 კმ-მდე ანუ 31,9%-ით.

კატალოგით საქართველოში აღრიცხულია 541 მყინვარი, აქედან 409 დასავლეთ საქართველოში და 132 აღმოსავლეთ საქართველოში. ამჟამად საქართველოში სულ 383 მყინვარია, აქედან 323 დასავლეთ საქართველოში და 60 აღმოსავლეთ საქართველოში.

კატალოგის მიხედვით მყინვარების საერთო ფართობია 543 კმ. აქედან დასავლეთ საქართველოში მყინვარებით დაფარული ფართობია 456,1 კმ და აღმოსავლეთ საქართველოში 86,9 კმ<sup>2</sup>. ამჟამად საქართველოში მყინვარების საერთო ფართობია 337 კმ. აქედან დასავლეთ საქართველოში მყინვარებით დაფარული ფართობია 331,2 კმ და აღმოსავლეთ საქართველოში 45,8 კმ.

ამგვარად დადგინდა, რომ კატალოგით საქართველოში აღრიცხულია 541 მყინვარი საერთო ფართობით 543 კმ, ხოლო ამჟამად საქართველოს საზღვრებში მოქცეულია 383 მყინვარი საერთო ფართობით 337 კმ.

დასკვნა

1. მყინვარული აუზებისათვის ჩატარებულმა გამოთვლებმა აჩვენა, რომ დაახლოებით 50 წლის განმავლობაში, კლიმატის მიმდინარე ცვლილების გამო საქართველოს მყინვარების დეგრადაციის შედეგად, მყინვარული აუზების ფართობები და მყინვარების რაოდენობა შემცირდა, როგორც დასავლეთ საქართველოში ისე აღმოსავლეთ საქართველოში;
2. მყინვარების ფართობის ზომების მიხედვით განაწილების შემთხვევაში გამოთვლებმა აჩვენა, რომ მყინვარულ აუზებში როგორც მცირე, ისე საშუალო და დიდი მყინვარების ფართობი და მყინვარების რაოდენობა შემცირდა. მცირე მყინვარების შემთხვევაში დასავლეთ საქართველოში მხოლოდ რიონის აუზში გაიზარდა მყინვარების რაოდენობა (11-ით) და აღმოსავლეთ საქართველოში მხოლოდ ასას აუზში (1-ით), რაც დაკავშირებულია უფრო დიდი ზომის მყინვარების დეგრადაცია/დანაწევრებასთან;
3. მყინვარულ აუზებში გამყინვარების ფართობის და მყინვარების რაოდენობის შემცირება უფრო ინტენსიურია აღმოსავლეთ საქართველოში ვიდრე დასავლეთ საქართველოში. ეს შეიძლება აისხნას, აღმოსავლეთ და დასავლეთ საქართველოს პაგაში განსხვავებით, კერძოდ, აღმოსავლეთ საქართველოს პაგა კონტინენტურია, ხოლო დასავლეთ საქართველოს პაგა ზღვიური ნოტიოდა და ამიტომ გაცილებით ტენიანი.
4. პვლევის საფუძველზე დადგინდა, რომ კატალოგით საქართველოში აღრიცხულია 541 მყინვარი საერთო ფართობით 543  $\text{km}^2$ , ხოლო ამჟამად საქართველოს საზღვრებში მოქცეულია 383 მყინვარი საერთო ფართობით 337  $\text{km}^2$ .

ლიტერატურა – REFERENCES – ЛИТЕРАТУРА

1. Маруашвили Л. И. Целесообразность пересмотра существующих представлений о палеогеографических условиях ледникового времени на Кавказе//Тбилиси, Изд. АН ГССР, 1956, 124 с.
2. Цомая В. Ш., Дробышев О. А. Результаты гляциологических наблюдений на ледниках Кавказа//Труды ЗакНИГМИ, вып. 45 (51), 1970, с. 141–146.
3. Хатисян Г. С. Краткий очерк действий двух комиссий для исследования Казбекских ледников в 1862 и 1863 гг. Зап. КОРГО, 1864, кн. 6, № 2, с. 220–230.
4. Статковский Б.И. Краткая записка о действиях в 1865г. экспедиции для исследования причин происхождения периодического Казбекского завала. Зап. КОРГО, 1866, кн.7, вып.1, с.1–28.
5. Маруашвили Л. И., Курдгелаидзе Г. М., Лашхи Т. А., Инашвили Ш. В. Каталог Ледников СССР. Т. 9, вып. 1, ч. 2-6, Закавказье и Дагестан, Л: Гидрометеоиздат, 1975. - 86 с.
6. Цомая В.Ш. Каталог Ледников СССР, Т. 9, вып. 3, ч. 1, Закавказье и Дагестан, Л: Гидрометеоиздат, 1975. - 95 с.
7. Цомая В.Ш., Дробышев О.А. Каталог Ледников СССР, Т. 8, ч. 11, Северный Кавказ, Л: Гидрометеоиздат, 1977. - 71 с.
8. Панов В.Д., Боровик Э.С. Каталог Ледников СССР, Т. 8, ч. 12, Северный Кавказ, Л: Гидрометеоиздат, 1977. - 51 с.
9. WGMS and NSIDC World glacier inventory. Compiled and made available by the World Glacier Monitoring Service, Zurich, Switzerland, and the National Snow and Ice Data Center, Boulder CO, USA. Digital media. 1989, updated 2012. [http://nsidc.org/data/glacier\\_inventory/](http://nsidc.org/data/glacier_inventory/)
10. Л.Д. Шенгелия, Г.И. Кордзахия, Г.А. Тваури Методология и результаты исследования некоторых ледников Грузии. Ежегодная международная научно-практическая конференция „География: развитие науки и образования“ LXVIII Герценовские чтения посвященная 70-летию создания ЮНЕСКО, 22-25 апреля 2015 года, РГПУ им. А.И. Герцена, Россия, Санкт-Петербург, 2015, с. 117–124.
11. Petri Pellikka, W. Gareth Rees - Remote Sensing of Glaciers Techniques for Topographic, Spatial and Thematic Mapping of Glaciers 2010, 330 p.
12. Hall, D. K., Ormsby J.P. Characterization of Snow and Ice Reflectance Zones on Glaciers Using Landsat Thematic Mapper Data, Annals of Glaciology, 9, 1987, pp. 104–108.

- =====
13. G. Kordzakhia, L. Shengelia, G. Tvauri, V. Tsomaia, M. Dzadzamia. Satellite remote sensing outputs of the certain glaciers in the territory of East Georgia, The Egyptian Journal of Remote Sensing and Space Sciences – Elsevier, Volume 18, Issue 1, 2015, pp. S1–S7.
  14. G. Kordzakhia, L. Shengelia, G. Tvauri, M. Dzadzamia. Impact of Modern Climate Change on Glaciers in East Georgia//Bulletin of the Georgian National Academy of Sciences, Vol. 10, #4, 2016, pp. 56–63.
  15. ლ. შეგელია, გ. კორძახია, გ. თვაური, მ. ძაძამია. საბჭოთა კავშირის მყინვარების კატალოგში მოცემული საქართველოს მყინვარების ფართობის მონაცემების კორექტირება. „მეცნიერება და ტექნოლოგიები“, სამეცნიერო რეფერინჯებადი ჟურნალი. საგამომცემლო სახლი „ტექნიკური უნივერსიტეტი“, საქართველო, თბილისი, 2020, №1 (733), გვ. 9–15.
  16. რ. გობეჯიშვილი, ვ. კოტლიაკოვი. გლაციოლოგია. გამომცემლობა უნივერსალი, თბ.: 2005. - 292 გვ.

უაკ 551.50.501.7

საქართველოს მყინვარული აუზების დეგრადაცია კლიმატის ცვლილების გამო/შენგელია ლ., კორძახია გ., თვაური გ., ძაძამია მ./სტუ-ის პმი-ის სამეცნ. რეფ. შრ. კრებ. – 2020. - გ.129. - გვ.34-40. - ქართ.; რეზ.: ქართ., ინგლ., რუს. სტატიაში განხილულია კლიმატის მიმდინარე ცვლილების გამო საქართველოს მყინვარული აუზების დეგრადაციის საკითხი მყინვარული აუზების ფართობებისა და მყინვარების რაოდენობის ცვლილების შეფასებით. გამოვლებმა აჩვენა, რომ საქართველოში გამყინვარების ფართობი და მყინვარების რაოდენობა შემცირდა და ეს შემცირება უფრო ინტენსიურია აღმოსავლეთ საქართველოში ვიდრე დასავლეთ საქართველოში.

UDC 551.50.501.7

**Degradation of Georgia's Glacial Basins Due to Current Climate Change.**/Shengelia L., Kordzakhia G., Tvauri G., Dzadzamia M./.Scientific Reviewed Proceedings of the IHM, GTU. - 2020 - vol.129 - pp.34-40.  
Georg.; Abst.: Georg., Eng., Rus. The article considers the problems of degradation of the glacial basins of Georgia in connection with the current climate change by assessing the changes in the areas of the glacial basins and the number of glaciers. Calculations showed that the area of glaciation and the number of glaciers in Georgia decreased, and this decrease is more intense in Eastern Georgia than in Western Georgia.

УДК 551.50.501.7

**Деградация ледниковых бассейнов Грузии в связи с текущим изменением климата.**/Шенгелия Л.Д., Кордзахия Г.И., Тваури Г.А., Дзадзамия М. Ш./.Науч. Реф. Сб. Труд. ИГМ ГТУ - 2020. вып.129 - с.34-40. - Груз.; Рез.: Груз., Англ., Рус. В статье рассматривается вопрос деградации ледниковых бассейнов Грузии в связи с текущим изменением климата путем оценки изменения площадей ледниковых бассейнов и количества ледников. Расчеты показали, что площадь оледенения и количество ледников в Грузии сократились, и это уменьшение более интенсивно в Восточной Грузии, чем в Западной Грузии.

უაკ 551.

**მდინარე ვერეს ფყლიანობის რეზიმის ცვალებადობა დაკვირვების  
მრავალწლიური პერიოდის ცალკეული ფაზების მიხედვით.**

გ. ალაგერდაშვილი,\* ნ. ცინცაძე,\*\* ნ. ხუფენია,\*\*

\*ივ.ჯავახიშვილის სახელობის თბილისის სახელმწიფო უნივერსიტეტი

\*\* საქართველოს ტექნიკური უნივერსიტეტის პიდრომეტეოროლოგიის ინსტიტუტი

ბუნების დაცვა კაცობრიობის უმნიშვნელოვანესი პრობლემაა. უკანასკნელ პერიოდში ადამიანისა და ბუნების ურთიერთების ხასიათი ფართო მსჯელობის საგანი გახდა. მოსახლეობის შემფოთებას იწვევს ის გარემოება, რომ მაღალგანვითარებულ ტექნიკის პერიოდში არც თუ ისე იშვიათად საზოგადოება ანადგურებს მის გარშემო არსებულ სიმდიდრეს და თუ ყოველივე ეს უახლოეს პერიოდში მთელმა მსოფლიომ არ გაითავისა, შედეგად ჩვენ მოწმენი გავხდებით მრავალი კატასტროფული მოვლენებისა, რომელმაც უკვე ფართო მასშტაბი მიიღო. ამ თვალსაზრისით მსოფლიოს ბევრ ქვეყანაში სიტუაცია მკვეთრად გაუარესდა. ადრე კატასტროფული მოვლენების რიცხვი, სიხშირე და მოცულობები საგრძნობლად იზრდებოდა ასწლეულების განმავლობაში. თუმცა უკანასკნელ პერიოდში იგი უკვე ათწლეულების განმავლობაში მიმდინარეობს. მაგალითად, მდ. ხუახესხე, ჩინეთში ჩვ. წ. აღ. 2000 წლის განმავლობაში დიდი წყალმოვარდნები ხდებოდა დაახლოებით 50 წელიწადში ერთხელ, ამჟამად კი მხოლოდ 1 წლის განმავლობაში 2-ჯერ ან უფრო მეტჯერ ხდება. აშშ-ში წყალდიდობებისაგან მიყენებულმა ზარალმა გასული საუკუნის დასაწყისში 10 მლნ. დოლარი შეადგინა, ხოლო ახალი 21-ე საუკუნის პირველ 10 წლეულში 10 მლრდ. დოლარს გადააჭარბა,

ჩვენი ქვეყნის მდგრადი განვითარებისათვის აუცილებელია ჩექნოან არსებული დიდი წყლის რესურსების რაციონალური გამოყენება, რომლის ცვალებადობაზე გავლენას ახდენს არამარტო სამეურნეო საქმიანობა, არამედ კლიმატური პირობებიც, რომლებიც მტკნარი წყლის რესურსების ფორმირების ერთ-ერთ ძირითად განმაპირობებელ ფაქტორებს წარმოადგენენ. კლიმატის ცვლილებების სამთავრობათაშორისო საბჭოს შეფასებით დადასტურებილია გლობალური დათბობის ციკლის არსებობა. 1905-2005 წწ. ასწლიანი წრფივი ტრენდი 0,740C აღემატება. 1901-2000წწ. შესაბამისი ტრენდის მნიშვნელობა 0,60C-ია, ხოლო 1990-2100 წლების პერიოდში მოსალოდნელია ტემპერატურა გაიზარდოს 1,4-5,80C-ით, ამასთან მოსალოდნელია ნალექების რაოდენობის გაზრდა, თოვლის საფარის შემცირება და მყინვარები გააგრძელებენ უკან დახევას, შემცირდება ზოგიერთ ფენებში მიწისქვეშა წყლის დონეები, რაც შეამცირებს მდინარის წყალმცირების პერიოდის ჩამონადენს, ხოლო უხვწყლიანისას - გაზრდას, შედეგად გართულდება მდინარეთა ჩამონადენის დარეგულირება. უკანასკნელ წლებში უკვე საკმაოდ დიდი მასშტაბით მიმდინარეობს ექსტრემალური პიდრომეტეოროლოგიური კატასტროფები. კვლევები გვიჩვენებს, რომ მომავალში კიდევ უფრო გახშირდება სტიქიური მოვლენები თავისი უარყოფითი შედეგებით. აქედან გამომდინარე მეტად აქტუალურია მდინარის ჩამონადენისა და მისი ძირითადი განმაპირობებელი ფაქტორის - ნალექების რაოდენობრივი ცვლილების დინამიკის გამოვლენა. ცხადია, რომ მდინარეთა ჩამონადენის დარეგულირების საკითხი მომავალში უფრო მწვავედ დადგება.

მსოფლიო მეტეოროლოგიური ორგანიზაციის მონაცემებით გასული საუკუნის ბოლო ათწლეული (1990-2000წწ.) იყო ყველაზე თბილი, რაც ნიშნავს, რომ კლიმატის ცვლილება გამოიხატება დადებით ტენდენციაში, ანუ დათბობაში. პიდროლოგიურ პროცესებშიც შეიმჩნევა გარკვეული ტენდენციები (ციკლურობა, პერიოდულობა). ასე, რომ მეტად მნიშვნელოვანია სხვადასხვა პერიოდებისათვის ჩამონადენის რაოდენობრივი ცვლილების დინამიკის წარმოდგენა. მოცემული პირობის გამოვლენის მიზნით, მდინარე ვერეზე თბილისის სახელმწიფო უნივერსიტეტის პიდრომეტეოროლოგიური ლაბორატორიის 56 წლიანი დაკვირვების მასალების საფუზველზე (1963-2019 წწ.), შევეცადეთ წარმოგვედგინა ცალკეული წლიური ფაზების მიხედვით როგორც საშუალო მრავალწლიური ხარჯების, ასევე მაქსიმალური ხარჯების შესაბამის მნიშვნელობათა ზრდადი ტენდენცია.

თბილისის მიდამოების პიდროგრაფიულ ქსელს ქმნიან მდინარეები, ტბები და ჭაობები, რომელთა ერთზის ბაზის წარმოადგენს მდ. მტკვარი, რომლის ჩამონადენის ფორმირება ძირითა-

დად წარმოებს თბილისის მიდამოების გარეთ, მხოლოდ ზოგიერთ შემთხვევებში, მის ჩამონადენის რეჟიმზე გარკვეულ გავლენას ახდენს ადგილობრივი ფაქტორები, რომელთა შორის ქალაქის მიდამოების შიდა წყლებიდან განსაკუთრებით მნიშვნელოვანია მდინარე ვერე.

მდინარე ვერე (სკვირეთის წყალი), სათავეს იდებს დიდგორის ქედის სამხრეთ კალთაზე სოფელ მოხისის ჩრდილო-აღმოსავლეთით ზ.დ. 1682 მეტრ სიმაღლეზე ნაოსარის, ზემოვიკის და მოხვეულას წყლების შეერთებიდან, ერთვის მდინარე მტკვარს მარჯვენა მხრიდან ქ. თბილისის მიდამოებში ზ.დ. 390 მეტრ სიმაღლეზე. მისი სიგრძე 42.5 კმ-ია, წყალშემკრები აუზის ფართობი - 190 კმ<sup>2</sup>. იგი არის ტიპიური მთის მდინარე, მის საზრდოობაში მნიშვნელოვანი როლი უჭირავს წვიმის წყლებს (43,7%), ასევე გრუნტისა (39,3%) და თოვლის (17%) წყლებს. ხშირია თავსხმა წვიმები წლის თბილ პერიოდში, რომლებიც ხშირად კატასტრულულ ხასიათს იქნის. ერთი შეხედვით თუ ვიმსჯელებთ იმით, რომ მისი საშუალო მრავალწლიური ხარჯი 1 მ/წმ-მდეა, ამ მხრივ მდინარე მტკვრისათვის არ უნდა წარმოადგენდეს რაიმე მნიშვნელოვან ფაქტორს, მაგრამ ის დიდი წყალმოვარდნები, რომლებიც ზოგჯერ იძენებ კატასტროფულ ხასიათს, გარკვეულ გავლენას ახდენენ მდინარე მტკვრის ადგილობრივ პიდროლოგიურ რეჟიმზე, როგორც წყლიანობის, ასევე ნატანის ჩამონადენის მაჩვენებლით. მაგალითისათვის შეიძლება მოვრცხოთ 1960 წლის 4 ივლისის და 2015 წლის 13 ივნისის კატასტროფული წყალმოვარდნები, რომლის დროსაც შესაბამისად წყლის მაქსიმალური ხარჯი 320 და 512 მ/წმ-ს შეადგენდა და რომელთა დროსაც სულ რაღაც 3-4 საათში მდინარე მტკვარში შეიტანა შესამაბისად დაახლოებით 42 და 70 ათას ტონამდე ნატანი(მდინარე ვერეს ნატანის საშუალო მრავალწლიური ჩამონადენი 96 ათასი. ტ. წლ). 1960 წლის წყალმოვარდნის დროს დოც. ხარაიშვილის მონაცემებით ორსაათნახევრის ნატანის ჩამონადენმა მდინარე მტკვარში შეადგინა 39,4 ათ. ტონა.

მდინარე ვერეს წყლის როგორც მრავალწლიური, ასევე მაქსიმალური ხარჯების საშუალო მნიშვნელობათა ზრდადი ტენდეციის გამოვლენის მიზნით დაკვირვებათა 56 წლიანი უწყვეტი რიგი დავყავით 3 პერიოდად: 1963-90. 1991-2000 და 2001-2019 წლებისათვის..

პირველ პერიოდში აღინიშნებოდა რიგი წყალმოვარდნები 1963-3.08, 1966-16.05, 1976-24.05, 1982-5.07 რომელთა შორის მნიშვნელოვანი იყო 1963 წლის 3 აგვისტოს მაქსიმალური ხარჯი (140 მ/წმ), რომელ წყალმოვარდნების სიხშირე როგორც წლების განმავლობაში, ასევე წლის შიგნით, ნაკლები იყო ვიდრე შემდგომი პერიოდების.

მეორე პერიოდში 1991-2000 წლებში უკვე გახშირებული და გაძლიერებული წყალმოვარდნები, როგორც პერიოდის, ისე შიდა წლებისათვის - 1992-21.06, 1993-9.06, 1995-20.06, 1996-30.04, 1997-30.06, რომელთა შორის მაქსიმალური ხარჯით გამოირჩევა 1997 წლის 30.06 ხარჯი - 106 მ/წმ

მეასმე პერიოდი კი უკვე გამორიჩევა როგორც წყალმოვარდნათა სიხშირით, ასევე მაქსიმალური ხარჯების კატასტროფულობით - 2002-30.06, 2007-29.07, 2009-17.06, 2010-3.07 გაზაფხულზე, 2012-12.05, 2014-22.04, და უკვე 2015 წლის 4 ივნისი მაქსიმალური ხარჯი 155 მ/წმ, რომლებიც იყო მაქსიმალური 1963 წლიდან მოყოლებული და 10 დღეში 13 ივნისის კატასტროფული წყალმოვარდნა - 477 მ/წმ, რომელიც მდინარე ვერეს პიდროლოგიური რეჟიმის ისტორიაში ყველაზე მაქსიმალურია და რომელსაც მოვა ადამიანთა მსხვერპლი, თითქმის სრულად განადგურდა ზოოპარკის ბინადრები, ასევე ქალაქის ინფრასტრუქტურამ ნახა უდიდესი ზარალი.

შოველივე აქედან გამომდინარე, ქვემოთ ცხრილი 1-ს სახით, მოყვანილი გვაქვს მონაცემები, რომლებიც ხათელ სურათს გავაძლევენ როგორც მდინარის საშუალო მრავალწლიური, ასევე მდინარის კატასტროფულობის ხასიათის ხარჯების მზარდ ტენდენციაზე.

## ცხრილი 1

N	დაკვირვებულ წელთა პერიოდები	საშუალო მრავალწლიური ხარჯი, მ/წმ	წყალმოვარდნათა მაქსიმალური ხარჯების საშუალო
1	1963 - 1990	0,94	28,6
2	1991 - 2000	0,98	46,6
3	2001 – 2019	1,14	64,0
4	1963 – 2019 (მთლიანი)	0,99	44,2

## ლიტერატურა – REFERENCES – ЛИТЕРАТУРА

1. უკლება ნ., კიბილაშვილი თ., თბილისის მიდამოების ჰიდროგრაფია, თბილისი, საიუბილეო კრებული, 1958.
2. ქოჩიაშვილი დ. სადისერტაციო ნაშრომი, „თბილისის მიდამოების მდინარეებისა და დროებითი ნაკადების წვიმებით გამოწვეული მაქსიმალური ჩამონადენის ფორმირების ანალიზი და გაანგარიშების მეთოდიკა, თბილისი 1974.
3. თსუ-ს სასწავლო ჰიდრომეტეოროლოგიური დაბორატორიის 1963-2019 წლიანი პერიოდის სამუშაოთა ანგარიშები.

უაკ 551.

მდინარე ვერეს წყლიანობის რეჟიმის ცვალებადობა დაკვირვების მრავალწლიური პერიოდის ცალკეული ფაზების მიხედვით./ალავერდაშვილი მ., ცინცაძე ნ., ხუფენია ნ./სტუ-ის პმი-ის სამეცნ. რევ. შრ. კრებ. – 2020. - ტ.129. - გვ.41-44. - ქართ.; რეზ.: ქართ., ინგლ., რუს.

თსუ-ს ჰიდრომეტეოროლოგიური დაბორატორიის მიერ არსებული დაკვირვებული პერიოდისათვის (1963-2019) დადგინდა მდინარე ვერეს ჩამონადენის ცვლილების ციკლიური ცვალებადობა გასული საუკუნის 1963-1990; 1991 - 2000 და ახალი 21-ე საუკუნის 2001-2019 წლების პერიოდებისათვის, რომლის მთავარ მიზეზს წარმოადგენს მეტეო ფაქტორების ზეგავლენა მდინარე ვერეს ჰიდროლოგიურ რეჟიმზე, კერძოდ, საშუალო მრავლწლიური ხარჯებისა და ჩამოყალიბებულ მაქსიმალური ხარჯების ცვალებადობაზე. მივიღეთ, რომ პირველი პერიოდისათვის საშუალო მრავალწლიური ხარჯი ტოლია  $0,94\text{m}^3/\text{s}$ , ხოლო წყალმოვარდნათა მაქსიმალური ხარჯების საშუალო ტოლია  $28,6\text{m}^3/\text{s}$ ; შემდეგი მეორე და მესამე პერიოდის მნიშვნელობები შესაბამისად ტოლია  $0,98$  და  $46,6$ -ის და  $1,14$  და  $64,0$ , რაც ნათლად მიგვითოთებს, როგორც ერთ, ასევე მეორე მნიშვნელობათა საგრძნობ მატების ტენდენიაზე. შედარებისათვის მოცემულია მთლიანი პერიოდის შესაბამისი მნიშვნელობები. უნდა აღინიშნოს, რომ მთლიანი პერიოდის წყალმოვარდნათა მაქსიმალური ხარჯების საშუალო ( $44,2\text{m}^3/\text{s}$ ) გაზრდილია 2015 წლის 13 ივნისის მაქსიმალური ხარჯის ზეგავლენით.

UDC 551.

**Variability of the Vere River water content regime according to the individual phases of the multi-year observation period./Ajaverdashvili M., Tsintsadze N., khufenia N./.Scientific Reviewed Proceedings of the IHM, GTU. - 2020 - vol.129 - pp.41-44. Georg.; Abst.: Georg., Eng., Rus. For the period of observation by the TSU Hydrometeorological Laboratory(1963-2019), the cyclic variability of the Vere River runoff change over 1963-1990; 1991 - 2000 years of the last century and 2001-2019 years of the 21st century was determined, the main reason being the influence of meteorological factors on the Vere River hydrological regime, namely on variability of the average multi-annual flow rate and established maximum flow rate. We find that for the first period the average multi-year flow rate is equal to  $0.94 \text{ m}^3/\text{s}$ , while the average maximum freshet flow rate is equal to  $28.6 \text{ m}^3/\text{s}$ ; The values of the next second and third periods are equal to  $0.98$  and  $46.6$  and  $1.14$  and  $64.0$ , respectively, which clearly indicates the tendency of significant increase of both one and the other values. The corresponding values of the whole period are given for comparison. It should be noted that the average maximum flow rates of freshets for the entire period ( $44.2 \text{ m}^3/\text{s}$ ) have increased under the influence of the maximum flow rate as of 13 June 2015.**

УДК 551.50.501.7

**Изменение водного режима р.Вера по отдельным фазам многолетних периодов наблюдений./**  
Алавердашвили М.Ш., Цинцадзе Н.Т., Хуфения Н.Г./Науч. Реф. Сб. Труд. ИГМ ГТУ - 2020. вып.129 - с.41-44. - Груз.; Рез.: Груз., Англ., Рус. Гидрометеорологической лабораторией ТГУ за период наблюдений (1963-2019 гг.) было установлено циклическое изменение стоков р.Вера в 1963-1990 гг. и 1991-2000 гг. прошедшего века и в 2001-2019 гг. нового, 21 века. Главной целью исследования являлось изучение воздействия метеофакторов на гидрологический режим речки Вера, в частности, среднего многолетнего расхода и изменение установленных максимальных расходов. Было установлено, что для первого периода, средний многолетний расход был равен  $0,94 \text{ м}^3/\text{s}$ , а при паводке, максимальный

расход в среднем был равен  $28,6 \text{ м}^3/\text{с}$ ; для следующих, второго и третьего периодов, значения соответственно были равны 0,98 и 46,6 и 1,14 и 64,0, что явно указывает на то, что в первом и во втором случае наблюдается тенденция существенного увеличения значения показателей. Для сравнения приведены соответствующие значения за весь период наблюдений. Надо отметить, что за время всего периода наблюдений, средний максимальный расход при паводке ( $44,2 \text{ м}^3/\text{с}$ ) возрос под воздействием максимального расхода 13 июня 2015 года.

უაგ 551.583

## შინაგანი განვითარების მინიჭებულებების გათვალისწინები

გ.მელაძე, მ.მელაძე

საქართველოს ტექნიკური უნივერსიტეტის პიდრომეტეოროლოგიის ინსტიტუტი  
თბილისი, საქართველო meladzem@gmail.com meladze.agromet@gmail.com

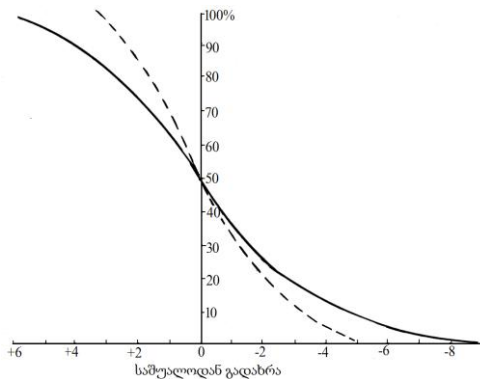
გასული საუკუნის ბოლო ათწლეულებში ჩატარებულმა კვლევებმა ცხადყო, რომ თანამედროვე გლობალური დათბობა დიდი აღმოსფეროში არმოსფეროზე ანთროპოგნური დატვირთვებით, უპიველეს ყოვლისა წიაღისეული საწვავის მზარდი მოხმარებით, საავტომობილო გამონაბოლქვებით და სხვა. გაზები, რომლებიც მიჩნეულია გლობალური დათბობის ძირითად წყაროდ არის სათბურის გაზები, რომლებიც ანთროპოგნური ან ბუნებრივი წარმოშობის არმოსფეროს აიროვანი კომპონენტებია. არმოსფეროში მომატებულ ნახშირორჟანგს შეუძლია გამოიწვიოს მიწისპირა ჰაერის ფენის დათბობა. მსგავს მოვლენებს შეიძლება ადგილი ჰქონდეს ჰაერის ტემპერატურების, არმოსფერული ნალექების და სხვა მეტეოროლოგიური ელემენტების განაწილებაში. აღნიშნული ელემენტების დროსა და სივრცეში განაწილების ცვლილებამ საქართველოს ტერიტორიაც მოიცვა, სადაც მის აღმოსალეთ ნაწილში ტემპერატურის მეტი მატების ტენდენცია გამოვლინდა, ვიდრე მის დასავლეთ ნაწილში.

ზემოაღნიშნულიდან გამომდინარე, სოფლის მეურნეობის თვალსაზრისით, საყურადღებოა აგროკულტურებზე მოსალოდნელი ყინვების ზემოქმედების და მისი განმეორადობის შეფასება კლიმატის ცვლილების გათვალისწინებით. მცენარის ყინვაგამძლეობა როგორი ბიოლოგიური პროცესი. იგი დაკავშირებულია მცენარის მემკვიდრეობის თავისებურებასთან და მეტეოროლოგიურ ფაქტორებთან. ამიტომ მცენარის ყინვაგამძლეობას, გამოზამთრების თვალსაზრისით, უდიდესი მნიშვნელობა აქვს. სავგამეტაციო პერიოდში მისი ნორმალური ზრდა საიმედო მაჩვენებელია ზამთრისათვის მზადებისა, რადგან ამ დროს იგი მაქსიმალურად იმარაგებს საკვებ ნივთიერებებს. მცენარემ თუ საკვების მომარაგება ვერ მოასწრო, ყინვისაგან ადვილად დაზიანდება. მაშასადამე, მცენარის ყინვებისაგან დაზიანება დამოკიდებულია არა მარტო არასელსაყრელ აგრომეტეოროლოგიურ პირობებზე, არამედ მის მდგომარეობაზეც. კარგად განვითარებული და მოსვენებით სტადიაში დროულად შესული მცენარეები ზამთრის პირობებს შედარებით ადვილად ეგუებიან და სათანადო აგროტექნიკის პირობებში საგრძნობლად იმაღლებენ ყინვაგამძლეობის უნარს.

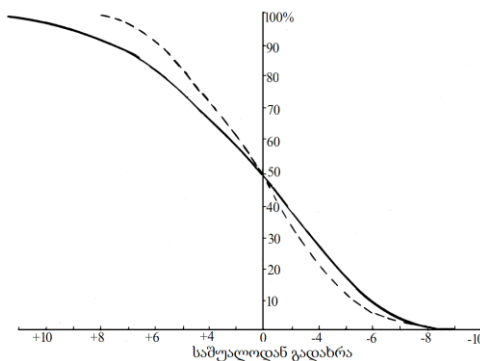
საქართველოს ტერიტორიაზე, ცალკეულ წლებში ზამთრის ყინვები შეიძლება არასელსაყრელი აღმოჩნდეს აგროკულტურებისათვის. განსაკუთრებით საშიშია ზამთრის ჰაერის აბსოლუტური მინიმალური ტემპერატურები. აღმოსავლეთ საქართველოს დედოფლისწყაროს მუნიციპალიტეტის და სამხრეთ საქართველოს ახალციხის ტერიტორიებზე -15, -17°C და მეტი ტემპერატურების (თოვლის საფარის გარეშე) შემთხვევაში, შესაძლოა ძლიერ დაზიანდეს საშემოდგომო კულტურები (ხორბალი და სხვა), აგრეთვე ვაზის მიმდინარე წლის ნაზარდები, ხოლო უფრო დაბალი ტემპერატურებისას -20, -22°C ვაზი გაიყინოს ფენის ყელამდე (მთლიანად) [2].

დედოფლისწყაროს და ახალციხის მუნიციპალიტეტებისათვის, კლიმატის გლობალური დათბობის პირობებში შესაძლებელია რამდენადმე შეიცვალოს აღნიშნული კლიმატური პარამეტრის კლების ტენდენცია. ამასთან დაკავშირებით, შედარებისათვის დამუშავებული და გაანალიზებული იქნა 1956-2005 წ.წ. საბაზისო (მიმდინარე) დაკვირვებათა და რეგიონალური მოდელით (RegCM-4), მომავლის A2 სცენარით [1] გამოთვლილი (2020-2050 წწ.) მონაცემები, რომელთა მიხედვით შედგენილია მათი აღბათობის (%) მრუდი (ნახ. 1, 2).

დედოფლისწყაროს მუნიციპალიტეტის აბსოლუტური მინიმალური ტემპერატურების დამუშავების და ანალიზის შედეგად გამოირკვა, რომ გლობალური დათბობის პირობებში მომავლის სცენარით, აღნიშნული ტემპერატურები შემცირებულია -3°C-ით საბაზისოსთან შედარებით. ცნობილია, რომ -15°C ტემპერატურას (თოვლის გარეშე) შეუძლია დაზიანოს საშემოდგომო კულტურები (ხორბალი და სხვა), ხოლო -17°C ტემპერატურას - ვაზის კულტურის ერთწლიანი ნაზარდები. (განსაზღვრის წესი: განსაზღვრისათვის საჭიროა ინფორმაცია მოცემული კულტურის დამაზიანებელ-კრიტიკულ ტემპერატურაზე და ადგილის საშუალო აბსოლუტურ მინიმალურ ტემპერატურაზე. მათ შორის გავიგებთ სხვაობას. მიღებული სხვაობის მაჩვენებელს დავიტანო ნაზის აბსცისთა დერბზე. დატანილი წერტილიდან აღიმართება სწორი მრუდის გადაკვეთამდე. სადაც ვპოულობთ შესაბამის განმეორადობის პროცენტს).



— საბაზისო (მიმდინარე)  
- - - სცენარი (მომავლის)  
ნახ. 1 დედოფლისწყაროს ჰაერის აბს. მინიმალურ ტემპერატურათა ალბათობის (%) მრუდები



— საბაზისო (მიმდინარე)  
- - - სცენარი (მომავლის)

ნაბ.1-ის საბაზისოს მრუდზე განსაზღვრისას გამოირკვა, რომ აღნიშნული -15°C ტემპერატურა განმეორდება 20%-ით ანუ 2-ჯერ ყოველ ათ წელში, ხოლო მომავლის სცენარით - 5%-ით ყოველ ათ წელში, ანუ ერთხელ ყოველ ოც წელში. ე.ი. მომავლის სცენარით, ზემოაღნიშნული კულტურები შესაძლებელია დაზიანდეს 3-ჯერ ნაკლებად საბაზისოსთან შედარებით, აბსოლუტური მინიმალური ტემპერატურის შემცირების (შერბილების) გამო.

ახალციხის მუნიციპალიტეტის აბსოლუტური მინიმალური ტემპერატურების დამუშავების და ანალიზის შედეგებიდან გამომდინარე, კლიმატის გლობალური დათბობის პირობებში, მომავლის სცენარით, აბსოლუტური მინიმალური ტემპერატურები შემცირებულია საშუალო -1°C-ით, საბაზისოსთან შედარებით. ნახ.2-ის საბაზისოს მრუდზე განსაზღვრისას გამოირკვა, რომ მაგალითად, -15°C ტემპერატურის შემთხვევაში (თოვლის საფარის გარეშე) შეიძლება დაზიანდეს საშემოდგომო კულტურები (ხორბლი და სხვა), -17°C ტემპერატურაზე ვაზის კულტურის ერთწლიანი ნაზარდები. აგროკულტურების დამაზისანებელი -15°C ტემპერატურა განმეორდება 70%-ით, ანუ 7-ჯერ ყოველ ათ წელში, ხოლო მომავლის სცენარით განმეორდება 60%-ით, ე.ი. 6-ჯერ ყოველ ათ წელში. მაშასადამე, მომავლის სცენარით მოცემული კულტურები შესაძლოა დაზიანდეს ერთი შემთხვევით ნაკლებად საბაზისოსთან შედარებით, ანუ აბსოლუტური მინიმალური ტემპერატურა -1°C-ით შერბილებული იქნება. რაც, შეეხება ვაზის მთლიანად მოყინვას -22°C ტემპერატურის შემთხვევისას, მომავლის სცენარით, იგი მოსალოდნელია 2-ჯერ ყოველ ათ წელში, ხოლო საბაზისოს მიხედვით 4-ჯერ ყოველ ათ წელში. ამიტომ ვაზის კულტურა თითქმის ყოველ წელს უნდა იყოს დაცული ძლიერი ყინვებისაგან, მასზე მიწის შემოყრით და სხვა ყინვებისაგან დამცავი ღონისძიებების გატარებით.

საბაზისო და მომავლის სცენარის ნახაზებიდან (1, 2) დედოფლისწყაროს და ახალციხის მუნიციპალიტეტებისათვის გამოვლილია აბსოლუტური მინიმალური ტემპერატურების სხვადასხვა მაჩვენებლის ალბათობა (განმეორადობა) პროცენტებში (ცხრილი 1).

### ცხრ.1 აღმოსავლეთ საქართველოში ჰაერის აბს. მინიმალურ ტემპერატურათა ალბათობა, (%)

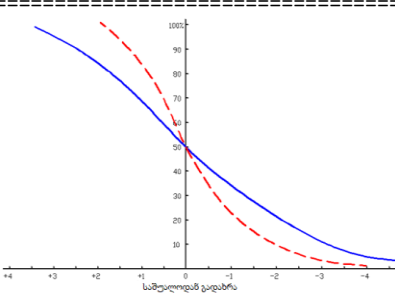
მუნიციპალიტეტი	საბაზისო/ სცენარი	უ ზ რ უ ნ ვ ე ლ ე თ ვ ა , %						
		95	90	70	50	30	10	5
დედოფლისწყარო	საბაზისო (მიმდინარე)	-7	-8	-10	-12	-14	-17	-19
	სცენარი (2030-2050)	-6	-7	-8	-9	-11	-12	-13
ახალციხე	საბაზისო (მიმდინარე)	-10	-13	-15	-19	-23	-25	-26
	სცენარი (2030-2050)	-12	-13	-14	-18	-20	-22	-24

ცხრილის 1-ის მიხედვით დედოფლისწყაროს მუნიციპალიტეტში, მომავლის სცენარის მიხედვით, აბსოლუტური მინიმალური ტემპერატურა შემცირებულია  $-3^{\circ}\text{C}$ -ით საბაზისოსთან შედარებით, ხოლო ახალციხის მუნიციპალიტეტისათვის აბსოლუტური მინიმალური ტემპერატურა შემცირებულია საშუალოდ  $-1^{\circ}\text{C}$ -ით, საბაზისოსთან შედარებით. მაშასადამე, მომავლის სცენარიდან გამომდინარე, აბსოლუტური მინიმალური ტემპერატურულები რამდენადმე შერბილებული იქნება ზემოაღნიშნული კულტურების უკეთ გამოზამთრებისათვის.

ყინვები განსაკუთრებით საშიშია და დიდ ზიანს აყენებს სუბტროპიკული ზონის რაიონებს, სუბტროპიკული მცენარეები ნაკლებად ყინვაგამძლეა ვიდრე კონტინენტური ხეხილოვანი კულტურები და ვაზი. დასავლეთ საქართველოს ტერიტორიაზე ხელვაჩაურის მუნიციპალიტეტში, ასევე, საშიშია აბსოლუტური მინიმალური ტემპერატურების მოქმედების ხასიათი. კერძოდ, ოუ აბსოლუტური მინიმალური ტემპერატურა დაიწევს  $0^{\circ}\text{C}$ -ის ქვემოთ  $-6$ ,  $-8^{\circ}\text{C}$  და მეტით, შეიძლება კრიიკული (დამაზიანებელი) აღმოჩნდეს, განსაკუთრებით ციტრუსოვანი კულტურებისათვის [3,4]. რაც შეეხება, ქედას მუნიციპალიტეტის ტერიტორიას აქ აგროკულტურებისთვის არანაკლებ საშიშია ზამთრის აბსოლუტური მინიმალური ტემპერატურების ზემოქმედება, განსაკუთრებით ისეთი ნაკლებად ყინვაგამძლე კულტურებისათვის, როგორიცაა ლიმონი, ფორთოხალი, მანდარინი და სხვა.

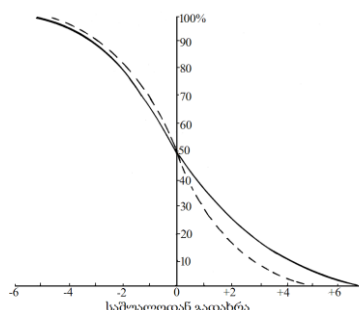
მოცემულ ტერიტორიებზე, კლიმატის გლობალური დათბობის ფონზე შესაძლებელია რამდენადმე შეიცვალოს აღნიშნული ფაქტორების კლების ტენდენცია. აღნიშნულთან დაკავშირებით, ხელვაჩაურის და ქედის მუნიციპალიტეტებისათვის დამუშავებული იქნა საბაზისო (მიმდინარე) მეტაოროლოგიურ დაკვირვებათა და მომავლის A2 სცენარით გამოვლილი 2020-2050 წლებისათვის მონაცემები. მოცემული მასალების მიხედვით, შედგენილი იქნა მათი ალბათობის მრუდები (ნახ. 3, 4).

ხელვაჩაურის მუნიციპალიტეტის აბსოლუტური მინიმალური ტემპერატურების დამუშავებისა და ანალიზის შედეგები გვიჩვენებს, რომ კლიმატის გლობალური დათბობის პირობებში აბსოლუტური მინიმუმები ( $-1^{\circ}\text{C}$ ) რამდენადმე შერბილებულია. ნახაზი 3-ის მრუდზე განსაზღვრისას გაირკვა, რომ მაგალითად,  $-7^{\circ}\text{C}$  ტემპერატურა, რომელიც იწვევს ციტრუსოვანი კულტურების, განსაკუთრებით ლიმონის დაზიანებას ფეხვის ყელამდე, ფორთოხლის, გრეიიფრუტის ერთწლიანი ნაზარდების და მანდარინის ფოთლების დაზიანებას, ხელვაჩაურის ტერიტორიაზე განმეორდება 20 წელში ერთხელ, ხოლო მომავლის სცენარით, 2020-2050 წლებში 30 წელში ერთხელ. მაშასადამე, უნდა ვივარაუდოთ, რომ ხელვაჩაურის მუნიციპალიტეტის ზონაში ციტრუსოვანი კულტურები ზამთრის ყინვების დაზიანებისაგან რამდენადმე დაზღვეული იქნება. რაც, ხელშემწყობი იქნება ციტრუსოვან კულტურებზე ზამთრის ყინვებისაგან დაცვითი აგროტექნიკური დონისძიებების გასატარებელი ხარჯების შემცირებისათვის.



— საბაზისო (მიმდინარე)  
- - - სცენარი (მომავლის)

ნახ. 3 ხელვაჩაურის ჰაერის აპს. მინიმალურ ტემპერატურათა ადგათობის (%) მრუდები



— საბაზისო (მიმდინარე)  
- - - სცენარი (მომავლის)

ნახ. 4 ქედას ჰაერის აბს. მინიმალურ ტემპერატურათა ალბათობის (%) მრუდები

უნდა აღინიშნოს, ქედას მუნიციპალიტეტისათვის, ნახ.4-ის საბაზისოს მრუდზე განსაზღვრისას გამოირკვა, რომ მაგალითად,  $-11^{\circ}\text{C}$  ტემპერატურა, რომელსაც შეუძლია (უოვლოდ) ძლიერად დააზიანოს მანდარინის კულტურა ზღ. დონიდან 300 მ სიმაღლეზე განმეორდება  $10\%-ით$  ანუ ერთხელ ყოველ ათ წელში. ხოლო მომავლის სცენარის მრუდის მიხედვით  $5\%-მდე$  ყოველ ათ წელში, ანუ ერთხელ ყოველ ოც წელში. მაშასადამე, მომავლის სცენარით, მოცემული კულტურა შესაძლოა ძლიერ დაზიანდეს ოც წელში ერთხელ, საბაზისოსთან შედარებით (ათ წელში ერთხელ).

ხელვაჩაურის და ქედას მუნიციპალიტეტებისათვის საბაზოს და სცენარის მიხედვით (ნახ.3,4), გამოოვლილია მინიმალური ტემპერატურების სხვადასხვა მაჩვენებლის ალბათობები (განმეორადობა) პროცენტებში (ცხრილი 2).

ცხრ. 2 დასავლეთ საქართველოში ჰაერის აბს. მინიმალურ ტემპერატურათა ალბათობა, (%)

მუნიციპალიტეტი	საბაზისო/სცენარი	უ ზ რ უ 6 ვ ე ლ ე თ ვ ა, %						
		95	90	70	50	30	10	5
ხელვაჩაური	საბაზისო (მიმდინარე)	-7	-6	-4	-3	-2	-1	0
	სცენარი (2030-2050)	-5	-4	-3	-2	-1	-0.5	0
ქადა	საბაზისო (მიმდინარე)	-2	-4	-5	-7	-8	-11	-12
	სცენარი (2030-2050)	-2	-3	-4	-5	-6	-8	-10

ცხრილი 2-ის მიხედვით, ხელვაჩაურის მუნიციპალიტეტის აბსოლუტური მინიმალური ტემპერატურა შემცირებულია  $-1^{\circ}\text{C}$ -ით. ეს მიანიშნებს იმაზე, რომ აბსოლუტური მინიმალური ტემპერატურები მოცემულ მუნიციპალიტეტში შერჩილებულია და განსაკუთრებულად სახიფათო არ უნდა იყოს ციტრუსოვანი კულტურებისათვის. ხოლო ქადაგს მუნიციპალიტეტისათვის

სცენარის შესაბამისად, აბსოლუტური მინიმალური ტემპერატურები შემცირებულია  $-2^{\circ}\text{C}$ -ით საბაზისოსთან შედარებით. აღნიშნული, მოცემული მუნიციპალიტეტის ტენიან სუბტროპიკულ ზონაში მიუთითებს ყინვების შერბილებაზე. გამომდინარე აქვთ, მომავლის პროგნოზით (2020-2050 წწ.) ყინვები განსაზღვრულად საშიში არ უნდა იყოს მანდარინის და კივის კულტურებისათვის.

დასკვნის სახით უნდა აღინიშნოს, რომ დედოფლისწყაროს მუნიციპალიტეტის ტერიტორიაზე, საშემოდგომო კულტურების (ხორბალი და სხვა), აგრეთვე ვაზის კრიტიკული (დამაზიანებელი) აბსოლუტური მინიმალური ტემპერატურები ( $-15, -17^{\circ}\text{C}$ ) მომავლის სცენარის მიხედვით შემცირებულია  $-3^{\circ}\text{C}$ -ით, საბაზისოსთან შედარებით, ხოლო ახალციხის მუნიციპალიტეტის ტერიტორიაზე საშემოდგომო ხორბლის და ვაზის კრიტიკული (დამაზიანებელი) აბსოლუტური მინიმალური ტემპერატურები ( $-15^{\circ}\text{C}, -17^{\circ}\text{C}$ ) მომავლის სცენარის მიხედვით, საბაზისოსთან შედარებით შემცირებულია საშუალო  $-1^{\circ}\text{C}$ -ით. აღნიშნული ტემპერატურები, შესაძლოა უკეთესი აღმოჩნდეს მოცემული კულტურების ნორმალურად გამოზამთრებისათვის.

ხელვაჩაურის ტერიტორიაზე სცენარისა (2020-2050 წწ.) და საბაზისო (მიმდინარე) მასალების დამუშავებისას გამოირკვა, რომ ციტრუსოვანი კულტურების დამაზიანებელი კრიტიკული ტემპერატურები შემცირებულია  $-1^{\circ}\text{C}$ -ით საბაზისოსთან შედარებით. რაც, რამდენადმე ხელშემწყობი იქნება მათი ზამთრის ყინვებისაგან დაცვითი ღონისძიებების გასატარებელი ხარჯების შემცირებისათვის. ხოლო ქედას მუნიციპალიტეტის ტერიტორიაზე, მომავლის სცენარით, აბსოლუტური მინიმალური ტემპერატურები საბაზისოსთან შედარებით შემცირებულია  $-2^{\circ}\text{C}$ -ით. აქვთ, გამომდინარე, რამდენადმე ხელსაყრელი პირობები იქნება მანდარინის, ლიმონის, კივის და სხვა კულტურების უკეთესად გამოზამთრებისათვის.

ზემოაღნიშნულ კულტურებზე დამაზიანებელი-კრიტიკული ტემპერატურების ცოდნას გარკვეული პრაქტიკული მნიშვნელობა გააჩნია, რათა თითოეული სახეობის გაშენებისათვის წინასწარ შეირჩეს შედარებით ხელსაყრელი მიკროკლიმატური ზონები.

#### ლიტერატურა - REFERENCES – ЛИТЕРАТУРА

1. საქართველოს მეორე ეროვნული შეტყობინება კლიმატის ცვლილების ჩარჩო კონვენციისათვის. თბილისი, 2009, გვ. 230
2. მელაძე გ., მელაძე მ. საქართველოს აღმოსავლეთ რეგიონების აგროკლიმატური რესურსები. გამომცემლობა „უნივერსალი”, თბილისი, 2010, გვ. 293
3. მელაძე გ., მელაძე მ. კლიმატის გლობალური დათბობის გავლენა აგროკოლოგიურ ზონაზე საქართველოს ტენიან სუბტროპიკულში. საქართველოს გეოგრაფია, №6-7, თსუ-ის გამომცემლობა, 2008, გვ. 95-101
4. მელაძე გ., მელაძე მ. საქართველოს დასავლეთ რეგიონების აგროკლიმატური რესურსები. გამომცემლობა „უნივერსალი”, თბილისი, 2012, გვ. 435

უაკ 551.583

ყინვების გავლენა აგროკულტურებზე კლიმატის ცვლილების გათვალისწინებით/მელაძე გ., მელაძე მ./სტუ-ის ჰარებ. რევ. შრ. კრებ. – 2020. - გვ.45-50. - ქართ.; რეზ.: ქართ., ინგლ., რუს. კლიმატის ცვლილების პირობებში, მომავლის სცენარით (2030-2050 წწ.) შეფასებულია ყინვების ზემოქმედება აგროკულტურებზე. დადგენილია, რომ დედოფლისწყაროს მუნიციპალიტეტში აბსოლუტური მინიმალური ტემპერატურები ( $-15, -17^{\circ}\text{C}$ ) მომავლის სცენარის მიხედვით შემცირებულია  $-3^{\circ}\text{C}$ -ით, ხოლო ახალციხეში  $-1^{\circ}\text{C}$ -ით, საბაზისოსთან (მიმდინარე) შედარებით, რაც ხელსაყრელია საშემოდგომო კულტურების (ხორბალი და სხვა) და ვაზის ნორმალური გამოზამთრებისათვის. ხელვაჩაურის ტერიტორიაზე ციტრუსოვანი კულტურების დამაზიანებელი-კრიტიკული ტემპერატურები მომავლის სცენარით (2030-2050 წწ.) შემცირებულია  $-1^{\circ}\text{C}$ -ით, ხოლო ქედას ტერიტორიაზე  $-2^{\circ}\text{C}$ -ით, საბაზისოსთან (მიმდინარე) შედარებით. შედგენილია ჰარების აბსოლუტური მინიმალური ტემპერატურების აღბათობის (%) მრუდები, მუნიციპალიტეტების მიხედვით.

UDC 551.583

**Impact of frosts on agricultural crops under climate change**/Meladze G., Meladze M./Scientific Reviewed Proceedings of the IHM, GTU. - 2020 - vol.129 - pp.45-50. Georg.; Abst.: Georg., Eng., Rus. The impact of frosts on agricultural crops by the future scenario (2030-2050) in the conditions of climate change are estimated. It is established that the absolute minimum temperatures in Dedoplistsdkaro municipality (-15, -17°C) are reduced by -3°C according to the future scenario, and in Akhaltsikhe by -1°C, compared to the base (current), which is favorable for autumn crops (wheat, etc.) and for normal wintering of vines. Damage-critical temperatures of citrus crops on the territory of Khelvachauri are reduced by -1°C according to the future scenario (2030-2050), and by -2°C on the territory of Keda, compared to the base (current). Curves of the probability (%) of the absolute minimum air temperatures according to the municipalities are drawn.

УДК 551.583

**Влияние морозов на сельскохозяйственные культуры с учетом изменения климата**/Меладзе Г.Г., Меладзе М.Г./ Науч. Реф. Сб. Труд. ИГМ ГТУ - 2020. вып.129 - с.45-50. - Груз.; Рез.: Груз., Англ., Рус В условиях изменения климата, сценарием будущего (2030-2050 гг.) оценено влияние морозов на сельскохозяйственные культуры. Установлено, что согласно сценарию будущего, абсолютные минимальные температуры (-15, -17°C) по сравнению с базовыми (текущими) в муниципалитете Дедоплисцкаро снижены на -3°C, а в Ахалцихе на -1°C, что благоприятно для озимых культур (пшеницы и др.) и для нормальной зимовки лозы. В соответствии со сценарием будущего (2030-2050 гг.), критические температуры повреждения цитрусовых по сравнению с базовыми (текущими) в районе Хевлачавури снижены на -1°C и на -2°C на территории Кеды. Кривые вероятности (%) абсолютных минимальных температур воздуха построены по муниципалитетам.

უაკ 551.59

გლიმატური პირობების გავლენა ზოგიერთი ვიზუალური ინფორმაციის  
გავრცელებაზე საქართველოში  
მ.ფიფია, ნახევლარაშვილი, ც.დიასამიძე  
საქართველოს ტექნიკური უნივერსიტეტის პიდრომეტეოროლოგიის ინსტიტუტის  
m.pipia@gtu.ge

### შესაბამისი მუნიციპალიტეტის გავრცელება

საქართველოში ზოგადად ცირკულირებს ყველა ის ინფექციური დაავადება, რომელიც დამახასიათებელია ზომიერი კლიმატის ქვეყნებისთვის. ამ დაავადებათა სპეციალისტები საქართველოში მართოა: ეს არის მწვავე ნაწლავური ინფექციები, მუცლის ტიფი, დიფტერია, ტეტანუსი, ვირუსული პეპატიტი, გრიპი და მწვავე რესპირატორული ინფექციები და ა.შ.

ჩვენი კვლევა ეძღვნება გრიპისა და მწვავე რესპირატორული ინფექციების გავრცელების კლიმატურ პირობებს, ვინაიდან სხვა ინფექციურ დაავაგებებთან შედარებით მათი წილი ყველაზე დიდია. ამასთანავე, გრიპისა და მწვავე რესპირატორულ ინფექციებს მკვეთრად გამოხატული სეზონურობა ახასიათებს და მოიცავს ძირითადად ზამთრის პერიოდს (ნოემბერი-აპრილი).



ნახ. 1. გრიპისა და მწვავე რესპირატორული ინფექციების გავრცელება საქართველოში (2010-2018).

ნახ.1-ზე ნაჩვენებია სტატისტიკის ეროვნული სამსახურის მონაცემების გრაფიკული სურათი გრიპის და მწვავე რესპირატორული ინფექციების გავრცელების ჯამური მაჩვენებლების შესახებ რომლის მიხედვით, ბოლო წლებში მსგავსი ტიპის ავადობის ყველაზე მაღალ ნიშანებს 2016 წელს მიაღწია - 458,357 შემთხვევა. სტატისტიკურ მასალაში წარმოდგენილი დიდი რაოდენობრივი მაჩვენებლები, სავარაუდო განაპირობებულია ნებისმიერი ტიპის, მათ შორის მსუბუქი ფრომით მიმდინარე გრიპის ვირუსის შემთხვევების გათვალისწინებით [1, 2].

### მასალები და მეთოდოლოგია

ჩვენი მიზანი იყო საქართველოში გრიპის ვირუსების ცირკულაციის კლიმატური პირობების განსაზღვრა. ამისთვის გამოვიყენეთ 2010-2017 წლების ლაბორატორიულად დადასტურებული მონაცემები გრიპის ვირუსების გავრცელების შესახებ. ამ მონაცემების დამუშავების შედეგად გამოიკვეთა გრიპის გავრცელების დიაპოზონები წლის განმავლობაში და პიკები კვირების მიხედვით 2010-2017 წლების პერიოდის თითოეული სეზონისთვის, საერთო ჯამში 7 სეზონის მიხედვით. სტატისტიკური მეთოდების გამოყენებით განვსაზღვრეთ კლიმატური პირობები რომელიც შეესაბამებოდა თითოეულ სეზონს.

მასალად გამოვიყენეთ სტატისტიკის ეროვნული სამსახურის მონაცემები ინფექციურ დაავადებათა გავრცელების შესახებ [1], დაავადებათა კონტროლისა და საზოგადოებრივი ჯამრთელობის ეროვნული ცენტრის მონაცემები გრიპის შესახებ საქართველოში [3]. სხვადასხვა ნაშრომები გრიპის ვირუსების ცირკულაციის შესახებ საქართველოში [2, 4]. ასევე, 2010-2020 წლების მეტეოროლოგიური მონაცემები ჰაერის ტემპერატურასა და ტენიანობის შესახებ [5].

### შედეგები

საქართველოში სეზონურ გრიპს იწვევს მხოლოდ A და B ტიპის ვირუსები, რომლებსაც გააჩნიათ თავისი ქვეტიპები, რომლებიც განაპირობებენ სეზონური ეპიდემიური დაავადებების გავრცელებას. ზოგადად, გრიპის ვირუსული დაავადებები დაყოფილია 2 კატეგორიად: გრიპისმაგარი დაავადებები (ILI) და მძიმე მწვავე რესპირატორული დაავადებები (SARI).

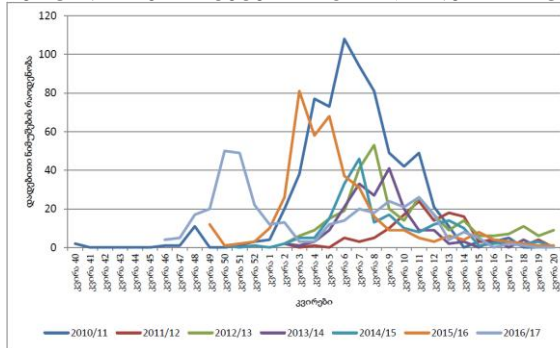
ცხრ. 1-ში მოყვანილია 2010-2017 წლების გრიპისმაგვარი დაავადებებისა და მძიმე, მწვავე რესპირატორული ინფექციების შესახებ ლაბორატორიულად დადასტურებული მონაცემების განაწილება კვირების მიხედვით თითოეულ სეზონზე (თბილისის მაგალითზე). ნაჩვენებია ცირკულაციის პერიოდი სეზონზე კვირების მიხედვით, ასევე, შემთხვევების მედიანა და IQR (კვარტილთაშორისი გაბნევის დიაპაზონი) როგორც ჯამური, ასევე, თითოეული კატეგორიისთვის ცალ-ცალკე, ასევე, ნაჩვენებია სამედიცინო დაწესებულებაში მიმართვიანობის პერიოდი კვირების მიხედვით.

### ცხრილი 1. გრიპის სეზონისათვის ლაბორატორიულად დადასტურებული შემთხვევების განაწილება კვირების მიხედვით

სეზონი	ცირკულაციის პერიოდი (კვირა)	ჯამური მედიანა (IQR)	ILI (გრიპისმაგვარი დაავადებები) მედიანა (IQR)	SARI (მძიმე მწვავე რესპირატორული ინფექციები) მედიანა (IQR)	მიმართვიანობა სამედიცინო დაწესებულებებში	
					ILI	SARI
2010-2011	40-17	7 (5-9)	6 (4-8)	7 (5-11)	4-10	5-17
2011-2012	2-19	9 (10-13)	11 (9-14)	12 (11-13)	6-14	8-15
2012-2013	2-20	8 (7-12)	11 (7-16)	8 (7-11)	5-16	7-12
2013-2014	2-17	8 (7-10)	7 (6-9)	9 (5-9)	5-11	7-10
2014-2015	50-19	7 (6-9)	7 (6-9)	7 (5-12)	5-9	7-15
2015-2016	49-20	5 (3-6)	4 (3-7)	5 (3-6)	1-8	3-17
2016-2017	46-18	2 (50-9)	51 (49-8)	5 (51-10)	(48-51) და (4-9)	50-12

როგორც ცხრ.1-დან ვხედავთ ცირკულაციის პერიოდები განსხვავებულია სეზონების მიხედვით, თუმცა ძირითადად მოიცავს ნოემბერი-აპრილის პერიოდს, განსაკუთრებით გამორჩეულია 2010-2011 წლების სეზონი, სადაც გრიპის ვირუსების ცირკულაცია მე-40 კვირიდან იწყება, ეს არის ოქტომბრის დასაწყისი, რაც გრიპისთვის უჩვეულოდ აღრეა.

ნახ.2-ზე ნაჩვენებია გრაფიკული გამოსახულება გრიპის დადასტურებული შემთხვევების განაწილებისა კვირების მიხედვით 2010-2017 წლების შეზღუდვის გრაფიკის [4] და იგი კარგად ასახავს დადასტურებული შემთხვევების განაწილების სურათს სეზონების მიხედვით.



### ნახ. 2. გრიპის დადასტურებული შემთხვევების განაწილება კვირების მიხედვით 2010-2017 წლების სეზონებზე

როგორც ნახ.2-ზე წარმოდგენილი გრაფიკიდან ჩანს, გამორჩეულია 2010-2011 წლების სეზონი არა მარტო ვირუსის ცირკულაციის ადრე დაწყებით, როგორც უკვე ავღნიშნეთ, არამედ ლაბორატორიულად დადასტურებული შემთხვევების განსაკუთრებულად მაღალი მაჩვენებლით, რომელიც ორჯერ და სამჯერ აღემატება სხვა სეზონებზე დადასტურებულ შემთხვევათა რიცხვს.

იმის დასადგენად, თუ რა კორელაცია შეიძლება იყოს საკვლევი პერიოდის ფარგლებში გრიპის ვირუსის ცირკულაციასა და მეტეოროლოგიურ ფაქტორებს შორის, აქვს თუ არა კლიმატის და ცალკეულ მეტეოროლოგიურ ფაქტორებს გავლენა ვირუსული ინფექციების დინამიკაზე გრიპის სეზონებზე, ჩატარებულ იქნა შედარებითი ანალიზი.

ჰაერის ტემპერატურისა და საშუალო ტენიანობის შესახებ 2010-2017 წლების მონაცემების მიხედვით, თბილისის მაგალითზე, ჩვენს მიერ შედგენილ იქნა ცხრილები (ცხრ.2, 3)

გრიბის ვირუსების პიკური პერიოდებისათვის კვირების მიხედვით თითოეული სეზონისთვის ცალ-ცალკე. ცხრილებში მოყვანილი მნიშვნელობები გამოთვლილია ვირუსული ინფექციების გავრცელების მედიანებისა და IQR (კვარტილთაშორისი გაბნევის დიაპაზონებისთვის შესაბამისი კვირების მიხედვით.)

**ცხრ.2.** ჰაერის საშუალო ტემპერატურა და ფარდობითი ტენიანობა 2010-2017 წლების სეზონებზე დაბორატორიულად დადასტურებული შემთხვევების რაოდენობის მედიანების მიხედვით.

სეზონი	მე-7 კვირა (2010-2011)	მე-11 კვირა (2011-2012)	მე-8 კვირა (2012-2013)	მე-8 კვირა (2013-2014)	მე-7 კვირა (2014-2015)	მე-5 კვირა (2015-2016)	მე-2 კვირა (2016-2017)
საშუალო ტემპერატურა, °C	+1.3	+2.6	+5.8	+6.4	+7.3	+4.6	+3.4
საშუალო ფარდობითი ტენიანობა, %	65	74	83	76	87	74	79

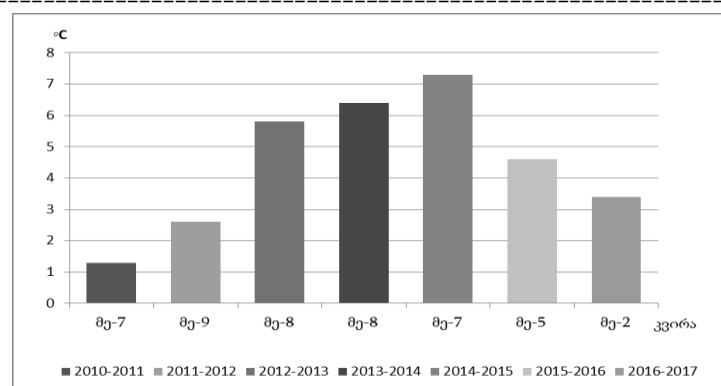
**ცხრ. 3. ჰაერის საშუალო ტემპერატურა და ფარდობითი ტენიანობა 2010-2017 წლების სეზონებზე დაბორატორიულად დადასტურებული შემთხვევების რაოდენობის პიკური გავრცელების დიაპაზონის მიხედვით.**

პერიოდი/ სეზონი	მე-5 მე-10 კვირა (2010-2011)	მე-10 მე-13 კვირა (2011-2012)	მე-7 მე-12 კვირა (2012-2013)	მე-7 მე-10 კვირა (2013-2014)	მე-6 მე-11 კვირა (2014-2015)	მე-3 მე-6 კვირა (2015-2016)	50-ე მე-9 კვირა (2016-2017)
საშუალო ტემპერატურა, °C	+2.2	+5	+7.2	+7.5	+6.4	+4.6	+2.6
საშუალო ფარდობითი ტენიანობა, %	77	69	75	78	79	77	80

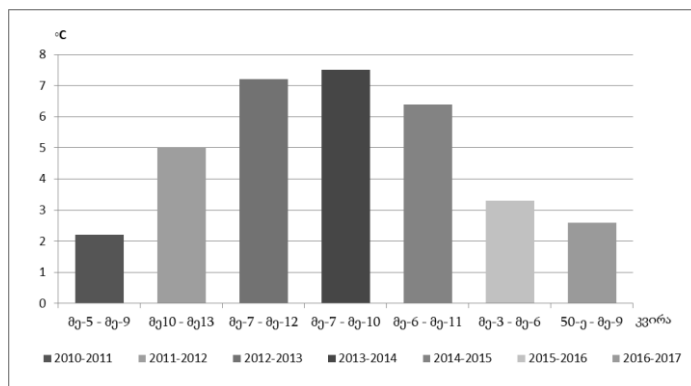
როგორც ცხრ.2 და ცხრ.3-დან ჩანს, აქაც გამორჩეული ადგილი უკავია 2010-2011 წლების სეზონს, როცა დაგვადებათა ლაბორატორიულად დადასტურებული შემთხვევათა რიცხვი განსაკუთრებულად მაღალი იყო, როგორც ეს ვნახეთ ზემოთ. ჰაერის საშუალო ტემპერატურა მე 7 კვირაში (დადასტურებულ შემთხვევათა რიცხვის მედიანა), იყო +1,3°C, ხოლო ჰაერის საშუალო ფარდობითი ტენიანობა 65%, ასევე, დაგვადებათა რაოდენობის პიკური გაბნევის დიაპაზონში, მე-5 - მე-10 კვირა, ჰაერის საშუალო ტემპერატურა იყო +2,2°C, შესაბამისად ჰაერის საშუალო ფარდობითი ტენიანობა 77% ფიქსირდება. თუ დაგვაკვირდებით შედეგებს სხვა სეზონებზე, დავინახავთ, რომ 2010-2011 წლების მაჩვენებლები ჰაერის ტემპერატურისა და ჰაერის ფარდობით ტენიანობის შესახებ გაცილებით დაბალია და მნიშვნელოვნად განსხვავდება სხვა შესაბამის მაჩვენებლებთან შედარებით დანარჩენი სეზონებისთვის.

ამ მეტეოროლოგიური მონაცემების გაანალიზება და მათი კორელაცია გრიპის ვირუსული ინფექციების გავრცელებასთან, გვაძლევს საშუალებას ვთქვათ, რომ ჰაერის დაბალი საშუალო ტემპერატურისა და შედარებით დაბალი ფარდობითი ტენიანობის პრობებში მოსალოდნელია ვირუსული ინფექციებით დაგვადებულთა რაოდენობის მკვეთრი ზრდა ჩვეულებრივთან შედარებით და მაღალია რისკი ქვეყანაში გრიპის ეპიდემიის გავრცელებისა.

**ცხრ.2. და ცხრ.3. მიხედვით აგებულ იქნა შესაბამისი გრაფიკები (ნახ.3,4), რომლებიც გვიჩვენებენ ჰაერის საშუალო ტემპერატურის მნიშვნელობებს გრიპისა და მწვავე რესპირატორული დაგვადებების გავრცელების პიკურ კვირებში და პიკური გავრცელების დიაპაზონებში სეზონების მიხედვით.**



ნახ. 3. ჰაერის საშუალო ტემპერატურა კვირების მიხედვით გრიპისა და მძიმე მწვავე რესპირატორული ინფექციების გავრცელების მედიანებში, 2010-2017წწ.



ნახ. 4. ჰაერის საშუალო ტემპერატურა კვირების მიხედვით გრიპისა და მძიმე მწვავე რესპირატორული ინფექციების პიკური გავრცელების დიაპაზონში 2010-2017წწ.

რაც შეეხება სიტუაციას COVID-19-თან დაკავშირებით, აქ დაავადების გავრცელებისა და მეტეოროლოგიური ფაქტორების ანალიზი გვიჩვენებს შემდეგ სურათს - როგორც ვიცით COVID-19-ის გავრცელება საქართველოში მოხდა მარტის თვიდან, შიდა გავრცელების პირველი შემთხვევა 14 მარტს დაფიქსირდა, ამიტომ გადაგწყვიტეთ მარტისა და აპრილის თვეების ჰაერის საშუალო ტემპერატურისა და ფარდობითი ტენიანობის მნიშვნელობები დაგვედგინა, გამომდინარე იქდან, რომ დაავადების გავრცელება ძირითადად ამ ორ თვეში მოხდა. შესაბამისად შედგენილ იქნა ცხრილი (ცხრ. 4.) თბილისის, ქუთაისისა და ბათუმისთვის სადაც ნაჩვენებია ჰაერის საშუალო ტემპერატურა და ფარდობითი ტენიანობა მარტისა და აპრილის თვეებისთვის.

ცხრ. 4. ჰაერის საშუალო ტემპერატურა და ფარდობითი ტენიანობა 2020 წ. (მარტი-აპრილი).

თვე	თბილისი		ქუთაისი		ბათუმი	
	საშუალო ტემპერატურა, °C	საშუალო ფარდობითი ტენიანობა, %	საშუალო ტემპერატურა, °C	საშუალო ფარდობითი ტენიანობა, %	საშუალო ტემპერატურა, °C	საშუალო ფარდობითი ტენიანობა, %
მარტი	+10.2	63	+12.9	63	+10.5	81
აპრილი	+11	63	+12.5	66.5	+11.4	80

როგორც ვხედავთ COVID-19-ის გავრცელება საქართველოში მოხდა +10°C +13°C ჰაერის საშუალო ტემპერატურისა და 60%-80% ფარდობითი ტენიანობის პირობებში, რაც შედარებით მაღალია საქართველოში არსებულ სხვა მსგავსი გრიპის ვირუსების გავრცელების კლიმატურ პირობებზე. შეიძლება გამოვთქმათ ვარაუდი, რომ გარკვეულწილად მარტსა და

აპრილში შედარებით მაღალმა ტემპერატურამ ხელი შეუშალა დაავადების ფართო მასშტაბით გავრცელებას.

გასტრი

შეგვიძლია დავასკვნათ, რომ საქართველოში გრიპისმაგვარი და მძიმე წვავე რესპირატორული ინფექციების პიკური გავრცელებისთვის ხელსაყრელ პლიმატურ ფაქტორებად უნდა მივიჩნიოთ პერიოდი, როდესაც პარის საშუალო ტემპერატურის დიაპაზონი  $+2^{\circ}\text{C} +8^{\circ}\text{C}$ -ია და საშუალო ფართობითი ტენიანობა 65%-80%.

## **ლიტერატურა – REFERENCES – ЛИТЕРАТУРА**

1. <https://www.geostat.ge/ka/modules/categories/54/jandatsva>
  2. <https://idfi.ge/public/upload/Blogs/Final.pdf>
  3. <https://www.ncdc.ge/Pages/User/News.aspx?ID=e16fe4bb-7057-4d31-8014-52401cd65ab7>
  4. [http://press.tsu.ge/data/image\\_db\\_innova/ანა-მაჩაბლიშვილი-დისერტაცია-11-09-2018%20\(1\).pdf](http://press.tsu.ge/data/image_db_innova/ანა-მაჩაბლიშვილი-დისერტაცია-11-09-2018%20(1).pdf).
  5. [https://rp5.ru/Weather\\_in\\_Georgia](https://rp5.ru/Weather_in_Georgia).

珍藏 551.59

კლიმატური პირობების გავლენა ზოგიერთი კირუსული ინფექციის გავრცელებაზე საქართველოში/ფიფია მ. ბეგლარაშვილი ნ. დიასამიძე ც./სტუ-ის პმი-ის სამეცნ. რეფ. შრ. კრებ. - 2020. - ტ.129. - გვ.51-55. - ქართ.; რეზ.: ქართ., ინგლ., რუს. დამტუშავებულ იქნა 2010-2017 წლების ლაბორატორიულად დადასტურებული მონაცემები გრიპის ვირუსების გავრცელების შესახებ, რის შედეგადაც გამოიკვეთა გრიპის გავრცელების დიაპაზონები წლის განმავლობაში და პიკები კვირების მიხევით სეზონზე. განსაზღვრულ იქნა გრიპისმაგვარი დავადებებისა და მძიმე მწვავე რესპირატორული ინფექციების ცირკულაციის კლიმატური პირობები საქართველოსთვის.

UDC 551.59

**The influence of climatic conditions on the spread of some viral infections in Georgia** /Pipia M., Beglarashvili N., Diasamidze C./.Scientific Reviewed Proceedings of the IHM, GTU. - 2020 - vol.129 - pp.51-55. Georg.; Abst.: Georg., Eng., Rus. Laboratory-confirmed data on the spread of influenza viruses in 2010-2017 were processed, which revealed a range of spread of influenza during the year and peak weeks depending on the season. Climatic conditions were identified for influenza-like diseases and severe acute respiratory infections for Georgia.

УЛК 551 59

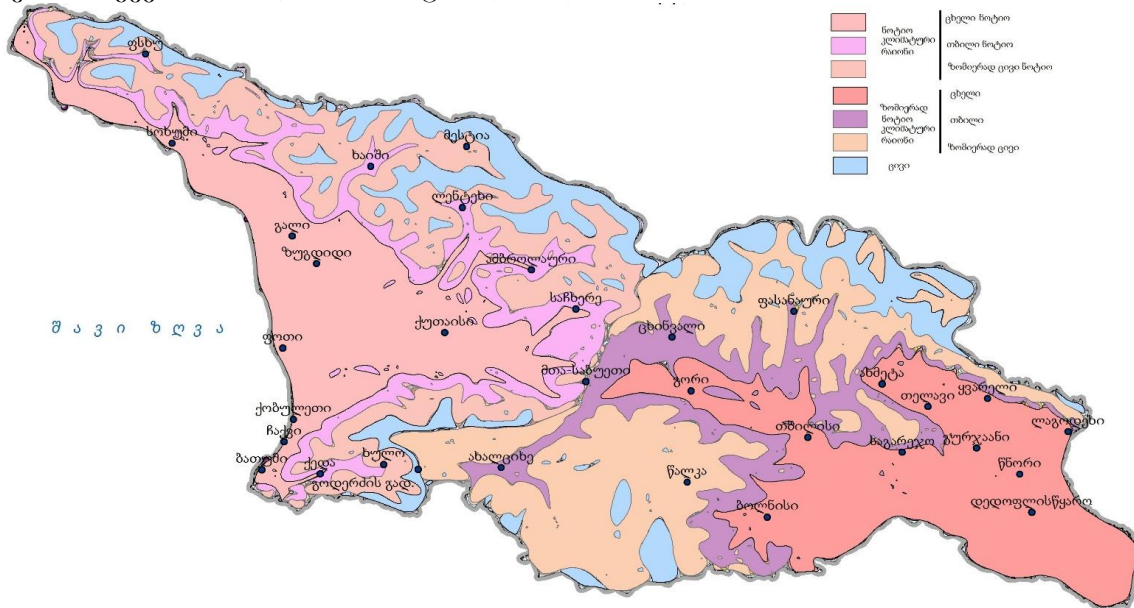
**Влияние климатических условий на распространение некоторых вирусных инфекций в Грузии /**  
Пипиа М.Г., Бегларашвили Н.Г., Диасамидзе Ц.О./Науч. Реф. Сб. Труд. ИГМ ГТУ - 2020. вып.129 - с.51-55. - Груз.; Рез.: Груз., Англ., Рус. Были обработаны лабораторно подтвержденные данные о распространении вирусов гриппа в 2010-2017 гг., Которые выявили диапазон распространения гриппа в течение года и пиковые недели в зависимости от сезона. Были определены климатические условия для гриппоподобных заболеваний и тяжелых острых респираторных инфекций для Грузии.

珍 551.582

საქართველოს სამშენებლო-კლიმატური დარიოლება პომალესური  
პარამეტრების გათვალისწინებით  
ქართველი შეილი ლ.

საქართველოს ტექნიკური უნივერსიტეტის ჰიდრომეტეოროლოგიის ინსტიტუტი  
თბილისი, საქართველო, [lianakartvelishvili@yahoo.com](mailto:lianakartvelishvili@yahoo.com)

საქართველოს ტერიტორიაზე ცალკეული კლიმატური პარამეტრების, სამშენებლო კლიმატური ნორმების და კომპლექსური კლიმატური მახასიათებლების გათვალისწინებით გამოყოფილი იქნა სამი სამშენებლო-კლიმატური რაიონი.. თითოეული კლიმატური რაიონი მოიცავს სამ ქვერაიონს (იხ. ნაბ.1, ცხრ.1).



ნახ. 1. საქართველოს სამშენებლო-კლიმატური დარაიონება კომპლექსური პარამეტრების გათვალისწინებით

**ცხრილი 1. სამშენებლო-კლიმატური რაიონებისა და ქვერაიონების  
მახასიათებლები საქართველოში**

პაროს თვის საშუალო ტემპერატურა (C)		საშუალო ფარდობითი ტენიანობა (%)	ქარის საშუალო სიჩქარე (მ/წმ)		სიმაღლე ზღვის დონიდან (მ)	ადგილმდებარეო ბის დასახელება			
ყველაზე ცხელი	ყველაზე ცივი თვის		ყველაზე ცხელი თვის	ყველაზე ცივი თვის					
ნოტიო კლიმატური რაოინი									
ცხელი ნოტიო									
+21-დან +24-მდე	+2-დან +7-მდე	75-85	0.6-დან 3.7-მდე	0.7-დან 6.7-მდე	0-დან 400-მდე	დასავლეთ საქართველოს დაბლობები და მთისწინეთი			
თბილი ნოტიო									
+18-დან + 21-მდე	+2-დან -1-მდე	70-80	0.5-დან 2.0-მდე	0.2-დან 2.6-მდე	400-დან 1000-მდე	დასავლეთ საქართველოს დაბალი და საშუალო მთიანეთი			
ზომიერად ცივი ნოტიო									
+12-დან +18-მდე	-1-დან -8-მდე	70-85 და მეტი	0.8-დან 6.3-მდე	0.4-დან 6.1-მდე	1000-დან 2200-მდე	დიდი კავკასიონის მაღალმთიანეთი და მცირე კავკასიონის ნაწილი			

ზომიერად ნოტიო კლიმატური რაიონი						
ცხელი						
ცხრილი 1-ის გაგრძელება						
+21-დან +26-მდე	+2-დან -1-მდე	55-75	0.5-დან 4.2-მდე	0.4-დან 4.0-მდე	100-დან 800-მდე	აღმოსავლეთ საქართველოს ვაკეები და მთისწინეთი
<u>თბილი</u>						
+18-დან +21-მდე	-1-დან -4-მდე	65-75	1.2-დან 2.3-მდე	1.0-დან 2.6-მდე	800-დან 1200-მდე	აღმოსავლეთ საქართველოს დაბალმთიანეთი და საშუალო მთიანეთი
ზომიერად ციფრი						
+11-დან +18-მდე	-4-დან -10-მდე	70-90 და მეტი	0.6-დან 5.4-მდე	0.3-დან 6.9-მდე	1200-დან 2200-მდე	სამხრეთ საქართველოს მთიანეთის მაღალმთიანი

მადალი სინოტივე დამახასიათებელია არა მარტო მთლიანად დასავლეთ საქართველოს-  
თვის, არამედ კავკასიონის მთავარი ქედის ცენტრალური და აღმოსავლეთი ნაწილისთვისაც.  
კავკასიონის მთავარი ქედის მაღალმთიანი რაიონების აღმოსავლეთი ნაწილის მაღალი სი-  
ნოტივე განპირობებულია იმით, რომ ნაწილი დასავლეთის ნოტიო ჰაერისა, რომელიც ლი-  
ხის ქედზე ზემოდან გადადის, აღწევს კავკასიონის მთავარი ქედის სამხრეთ ფერდობებზე.  
ეს ფერდობები საქართველოს დასავლეთ ნაწილთან შედარებით ხასიათდება ნალექების  
მცირე რაოდენობით და ჰაერის დაბალი სინოტივით, მაგრამ მაინც დისკომფორტულ ზონაში  
ხვდება. გარდა ამისა, საქართველოსთვის დამახასიათებელი კლიმატის ვერტიკალური ზონა-  
ლობა განაპირობებს შენობათა ტიპოლოგიურ დიფერენციას.

სამშენებლო-კლიმატური ქვერაიონების ვერტიკალური ზონების საზღვრები განსაზღვრული იქნა ყველაზე ცხელი და ცივი თვეების იზოთერმების მიხედვით. აღმოსავლეთ და დასავლეთ საქართველოს დაბლობი ადგილები აღმოჩნდა დისკომფორტულ პირობებში, რაც განპირობებულია პირველ შემთხვევაში ზაფხულის მაღალი ტემპერატურით, ხოლო მეორე შემთხვევაში, როგორც მაღალი ტემპერატურის, ასევე მაღალი სინოტივით. კომფორტულ ზონაში აღმოჩნდა აღმოსავლეთ საქართველოს მთისწინეთში დასახლებული პუნქტები. ყველაზე ცხელი თვის ივლისის საშუალო ტემპერატურა ( $21^{\circ}\text{C}$ ) როგორც ნოტიო, ისე ზომიერად ნოტიო რაიონში წარმოადგენს ცხელი კლიმატური ქვერაიონების გამყოფს. მეორე ვერტიკალური ზონა ხასიათდება ცხელი ზაფხულით და შემოიფარგლება ივლისის თვის იზოთერმებით  $18\text{--}21^{\circ}\text{C}$ , მესამე, ყველაზე მაღალი ზომიერად ცივი ზონა კი შემოიფარგლება ივლისის იზოთერმით  $-12^{\circ}\text{C}$  და  $11^{\circ}\text{C}$  შესაბამისად, ნოტიო და ზომიერად ნოტიო რაიონებში.

ზამთრის პირობების დასაღენად მიღებული იქნა ტემპერატურის პარამეტრები, რომლებიც განსაზღვრავენ სკეციალური ზომების მიღებას შენობების გადაცივებისაგან დასაცავად, როგორიცაა ორმაგი შემინვა, შესასვლელების და კიბეების უჯრედების დათბობა. ყველაზე ცივი თვის იზოთერმა -10°C წარმოადგენს შენობების ტიპების სარისხობრივი ცვლილებების საზღვარს.

როგორც ნოტიო, ისე ზომიერად ნოტიო რაიონში წარმოადგენს ცხელი კლიმატური ქვერაიონების გამყოფს. მეორე ვერტიკალური ზონა ხასიათდება ცხელი ზაფხულით და შემოიფარგლება ივლისის თვის იზოთერმებით  $18-21^{\circ}\text{C}$ , მესამე, ყველაზე მაღალი ზომიერად ციკი ზონა კი შემოიფარგლება ივლისის იზოთერმით -  $12^{\circ}\text{C}$  და  $11^{\circ}\text{C}$  შესაბამისად, ნოტიო და ზომიერად ნოტიო რაიონებში.

ზამთრის პირობების დასაღვენად მიღებული იქნა ტემპერატურის პარამეტრები, რომლებიც განსაზღვრავენ სპეციალური ზომების მიღებას შენობების გადაცივებისაგან დასაცავად, როგორიცაა ორმაგი შემინვა, შესასვლელების და კიბეების უჯრედების დათბობა. ყველაზე ცივი თვის იზოთერმა  $-1^{\circ}\text{C}$  წარმოადგენს შენობების ტიპების ხარისხობრივი ცვლილებების საზღვარს.

დასავლეთ საქართველოში ყველაზე ცივი თვის  $-1^{\circ}\text{C}$  -იანი იზოთერმა გადის დაახლოებით 1000 მ-დან სიმაღლემდე. ამიტომ ცხელი და თბილი ქვერაონი საქართველოს ამ ნა-

წილში არ მოითხოვენ დამატებით საშუალებებს და ღონისძიებებს შენობების გადაცივებისა-გან დასაცავად.

ადმინსავლეთ საქართველოში ყველაზე ცივი თვის  $-1^{\circ}\text{C}$  -იანი და უფრო დაბალი იზოთერმა გადის 600-800 მეტრ სიმაღლეზე და მოიცავს დაბლობის ტერიტორიის ნაწევარზე მეტს (ცხრილი 1, ნახ.1). ეს მეტყველებს იმაზე, რომ საქართველოს ამ ნაწილში ზამთრის პირობების გათვალისწინება აუცილებელია შენობების დაპროექტებისას, რაც კლიმატის კონტინენტურობით არის განპირობებული.

## **ლიტერატურა – REFERENCES – ЛИТЕРАТУРА**

- ლ.ქართველი შეიძლება კომპლექსური კლიმატური პარამეტრების გათვალისწინება მშენებლობაში. თბილისი, 2007, 150გვ.

551.59

საქართველოს სამშენებლო-კლიმატური დარაიონება კომპლექსური პარამეტრების გათვალისწინებით/ქართველი შვილი ლ./სტუ-ის პმი-ის სამეცნ. რეფ. შრ. კრებ. - 2020. - გვ.56-58 - ქართ.; რეზ.: ქართ., ინგლ., რუს. ნაშრომში მოცემულია დარაიონების ახალი რეკა-სქემა, რომელშიც განსაზღვრულია სამშენებლო-კლიმატური ნორმები კლიმატის ცვლილების დინამიკის გათვალისწინებით. უნდა აღინიშნოს, რომ დღემდე არსებული დარაიონება ჩატარებულია მოძველებული კლიმატური მონაცემების საფუძველზე და არ ითვალისწინებს კლიმატურ ვარიაციებს, რასაც ადგილი აქვს ჩვენ ქვეყანაში არსებული გლობალური კლიმატური ცვლილებების ფონზე.

UDC 551.59

**Georgian Construction-Climate Zoning Considering Complex Options.**/Kartvelishvili L./.Scientific Reviewed Proceedings of the IHM, GTU. - 2020 - vol.129 - pp.56-58. Georg.; Abst.: Georg., Eng., Rus. In the paper is given, a new map-scheme of regions which defines the construction-climatic norms taking into account the dynamics of climate change. It should be noted that the current zoning is based on outdated climate data and does not take into account the climate variations that occur in the context of climate change in our country.

УДК 551.59

**Строительно-климатическое зонирование Грузии с учетом сложных вариантов.** Картвелишвили Л.Г./ Науч. Сб. Труд. ИГМ ГТУ - 2020. вып.129 - с.56-58. - Груз.; Рез.: Груз., Англ., Рус. В статье дается новая карта-схема регионов который определяет строительно-климатические нормы с учетом динамики изменения климата. Следует отметить, что текущее зонирование основано на устаревших климатических данных и не учитывает изменения климата, которые происходят в контексте изменения климата в нашей стране.

უაკ 504.5.054

## ძ.თბილისის ატმოსფერული ჰაერის PM-ნაზილაპვით დაბინძურების გამოკვლევა

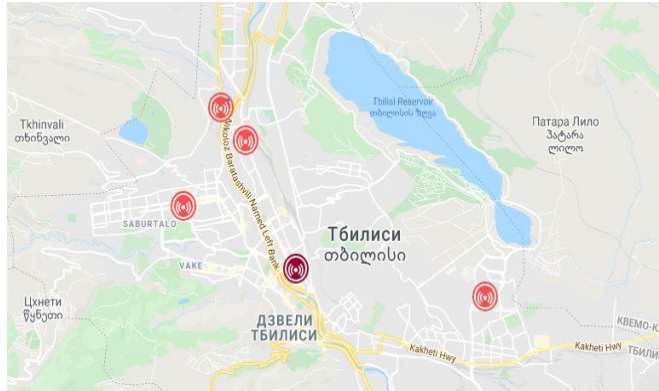
ნ.გიგაური<sup>1</sup>, ს.მდივანი<sup>1</sup>, ვ.კუხალაშვილი<sup>2</sup>, ა.სურმავა<sup>1,2</sup>, ლ.ინწკირველი<sup>1</sup>

<sup>1</sup>საქართველოს ტექნიკური უნივერსიტეტის ჰიდრომეტეოროლოგიის ინსტიტუტი  
 თბილისი, საქართველო, intskirvelebi2@yahoo.com

<sup>2</sup>ივ.ჯავახიშვილის სახ. თბილისის სახელმწიფო უნივერსიტეტის მ.ნოდიას გეოფიზიკის  
 ინსტიტუტი, თბილისი, საქართველო, aasurmava@yahoo.com

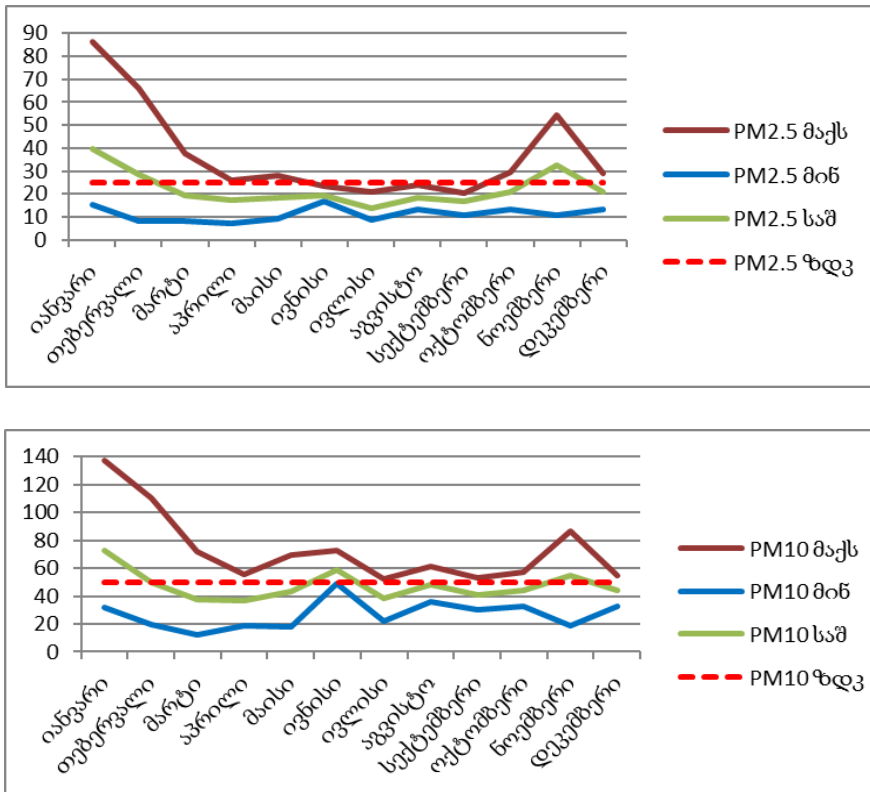
ატმოსფერული ჰაერის ხარისხის შეფასება და მის გაუმჯობესებაზე ზრუნვა თანამედროვე საზოგადოების ერთ-ერთი მნიშვნელოვანი პრობლემაა [1]. ატმოსფერული ჰაერის ხარისხს დიდად განსაზღვრავს მასში მტკრის და კერძოდ, PM<sub>2.5</sub> და PM<sub>10</sub>-ის შეცველობა [2]. ამიტომ ჩვენს მიერ კვლევის საგნად არჩეულია საქართველოს უდიდესი ქალაქის და ადმინისტრაციული ცენტრის, თბილისის ატმოსფერულ ჰაერში PM<sub>2.5</sub> და PM<sub>10</sub>-ის კონცენტრაციის განსაზღვრა. ეს ნაწილაკები განსაკუთრებით საშიშია ადამიანის ჯანმრთელობისთვის, ვინაიდან მარტივად ხვდებიან შინაგან ორგანოებში და იწვევენ სხვადასხვა დაავადებას [3].

თბილისში PM<sub>2.5</sub> და PM<sub>10</sub>-ზე დაკვირვება წარმოებს 2017 წლიდან 5 სადამკვირვებლო პუნქტები (ნახ.1)



ნახ.1. ატმოსფერული ჰაერის დამაბინძურებელ ინგრედიენტთა კონტროლის სადამკვირვებლო პუნქტების განლაგება ქ.თბილისში

გარდა სტაციონალური პუნქტებისა, თბილისის სხვადასხვა უბანში ჩატარებულია ექსპერიმენტული გაზომვები. ნახ.2-ზე ნაჩვენებია 2019 წლის განმავლობაში PM<sub>2.5</sub> და PM<sub>10</sub>-ის ყოველთვიური მაქსიმალური, მინიმალური და საშუალო კონცენტრაციების ცვლილების გრაფიკები, რომლებიც აგებულია გარემოს ეროვნული სააგენტოს მონაცემების თანახმად [4]. შედეგების ანალიზის საფუძველზე შეიძლება ვთქვათ, რომ ქ.თბილისის ატმოსფერულ ჰაერში PM<sub>2.5</sub>-ის კონცენტრაციები, როგორც წესი, ნაკლებია PM<sub>10</sub>-ის კონცენტრაციებზე, მათი ცვლილების მრუდის ხასიათი კი ერთნაირია. PM<sub>10</sub>-ის კონცენტრაციის მაქსიმალური მნიშვნელობები თითქმის ყოველთვის აღემატება შესაბამის ზღვრულად დასაშვებ კონცენტრაციას (ზღვ), მინიმალური ყოველთვის ნაკლებია ზღვ-ზე, საშუალო მნიშვნელობები კი მხოლოდ ზამთრის პერიოდში აღემატება შესაბამის ზღვ-ს (ზღვ PM<sub>2.5</sub>= 25 მკგ/მ<sup>3</sup>, ზღვ PM<sub>10</sub>=50 მკგ/მ<sup>3</sup>). გამონაკლისია PM<sub>10</sub>-ის საშუალო კონცენტრაცია ივნისის თვეში, რომელიც მეტია ზღვ-ზე, რაც შეიძლება განპირობებული იყოს მეტეოროლოგიური ან ლოკალური სიტუაციით. მაგ. აკ.წერეთლის გამზირზე იანვრის თვეში PM<sub>2.5</sub>-ის კონცენტრაციის მაქსიმალური მნიშვნელობა იყო 86.08 მკგ/მ<sup>3</sup>, საშუალო თვიური – 39.68 მკგ/მ<sup>3</sup>; PM<sub>10</sub>-ისათვის დაფიქსირდა მაქსიმალური – 137.54 მკგ/მ<sup>3</sup>, საშუალო თვიური – 72.40 მკგ/მ<sup>3</sup>, რაც ყველა შემთხვევაში მეტია მათ შესაბამის ზღვ-ზე. უკეთესი მდგომარეობა აღინიშნება ზაფხულის თვეებში. ივლისის თვეში იმავე პუნქტში PM<sub>2.5</sub> -ის მაქსიმალური მნიშვნელობა დაფიქსირდა 20.73 მკგ/მ<sup>3</sup>, საშუალო თვიური -13.58 მკგ/მ<sup>3</sup>; PM<sub>10</sub>-ისათვის მაქსიმალური – 52.57 მკგ/მ<sup>3</sup>, საშუალო თვიური – 38.08 მკგ/მ<sup>3</sup>.

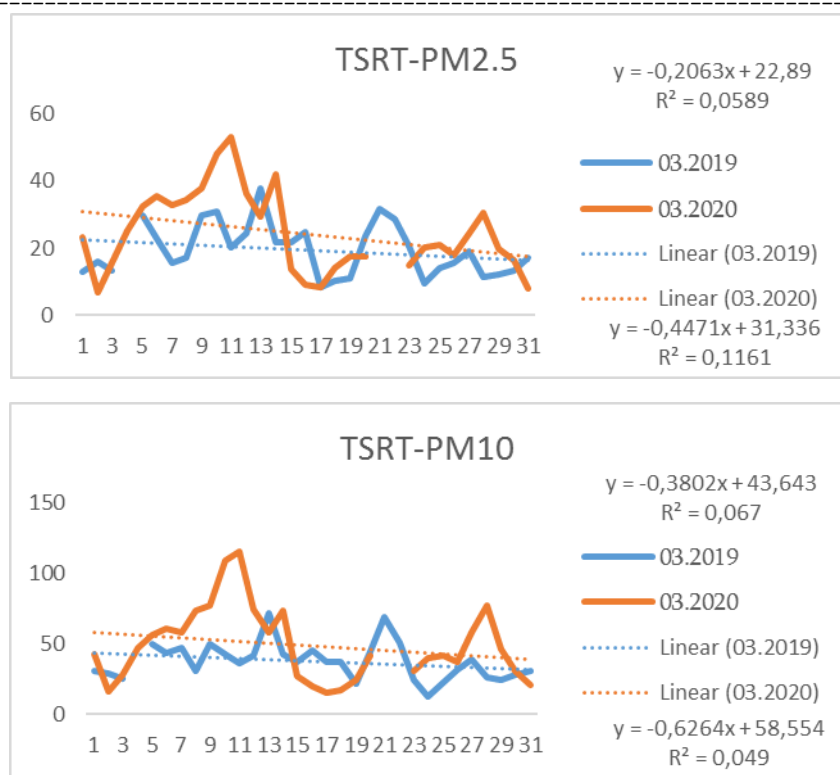


**ნახ.2. PM<sub>2.5</sub> და PM<sub>10</sub>-ის 2019 წლის ყოველთვიური მაქსიმალური, მინიმალური და საშუალო კონცენტრაციები**

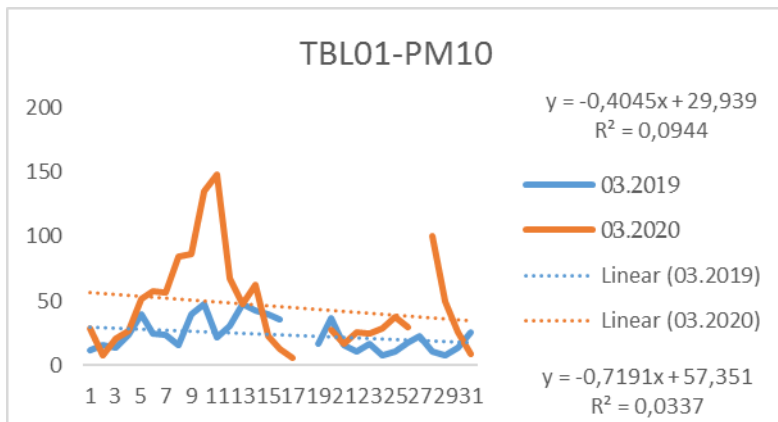
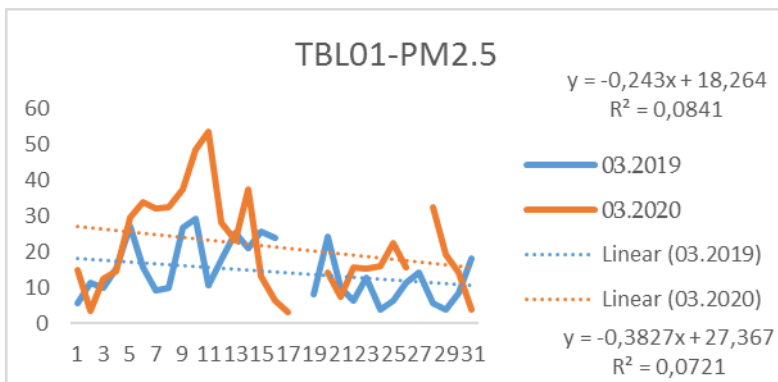
გარკვეულ ინტერესს იწვევს 2019 და 2020 წლების მონაცემების შედარება (ნახ. 3, 4), როცა საქართველოში დაფიქსირდა კორონა ვირუსის ინფექცია (27 თებერვალს). მანამდე ქვეყანა ცხოვრობდა წვეული რიტმით, რასაც იანვრისა და თებერვლის თვეების მონაცემთა ანალიზიც ადასტურებს. განსხვავებული სურათია მიღებული მარტისა და აპრილის თვეებში. ნახ. 3 და 4-დან ჩანს, რომ 2020 წლის მარტის თვეში, 2019 წლის იმავე პერიოდთან შედარებით, მაღალი იყო ჰაერში PM<sub>2.5</sub> და PM<sub>10</sub>-ის კონცენტრაცია და ხშირად აღემატებოდა შესაბამის ზღვებს. მარტის ბოლოს გამოიკვეთა კონცენტრაციების შემცირების ტენდენცია, რაც შეიძლება აიხსნას ამ პერიოდში კორონა ვირუსის გავრცელების გამო შეზღუდვების შემოღებით (დაიხურა ბევრი საჯარო დაწესებულება და შესაბამისად შემცირდა ტრანსპორტის მოძრაობის ინტენსივობა). ასეთი სურათი დაფიქსირდა ქობილისის 5-ვე საღამებირვებლო პუნქტზე.

უფრო მკვეთრად გამოვლინდა პანდემიის გავლენა ატმოსფეროში PM<sub>2.5</sub> და PM<sub>10</sub>-ის კონცენტრაციაზე აპრილის თვეში. ნახ. 5, 6-დან ჩანს, რომ ყველაზე დაბალი მაჩვენებელი ფიქსირდება 17-23 აპრილის ინტერვალში, როცა ქალაქში აკრძალული იყო ყველა სახის ტრანსპორტის მოძრაობა. 27 და 28 –ში გაიხსნა თბილისი ქალაქიდან გასული მოქალაქეების დასაბრუნებლად და შემოსული ავტომანქანების ნაკადი აისახა კიდეც ატმოსფეროში PM-ნაწილაკების კონცენტრაციების ზრდაზე, თუმცა ვერ მიაღწია ზღვებს მნიშვნელობას. ტრენდის მრუდი 2020 წლის აპრილის თვეში 2019 წლისაგან განსხვავებით უარყოფითა, რაც გამოწვეულია ზემოთ აღნიშნული ფაქტორებით.

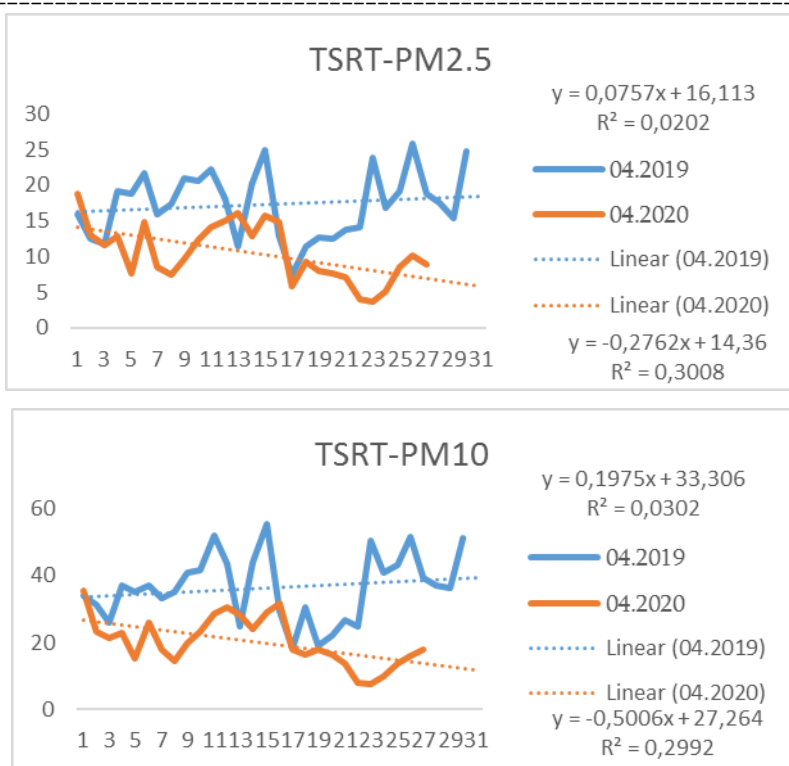
ასევე შედარებულია 2019 და 2020 წლების საშუალო თვიური მაჩვენებლები. 2020 წლის მარტის თვეში PM<sub>2.5</sub> და PM<sub>10</sub>-ის კონცენტრაციები გასულ წელთან შედარებით მაღალია და უახლოვდება ზღვებს მნიშვნელობებს (ნახ. 7). რაც შეეხება აპრილის თვის მონაცემებს, აქ სულ სხვა სურათი გვაქვს. 2020 წელს დაფიქსირებული კონცენტრაციები დაახლოებით 2-ჯერ ნაკლებია 2019 წელთან შედარებით და 2.5-ჯერ ნაკლებია შესაბამის ზღვებს (ნახ. 8).



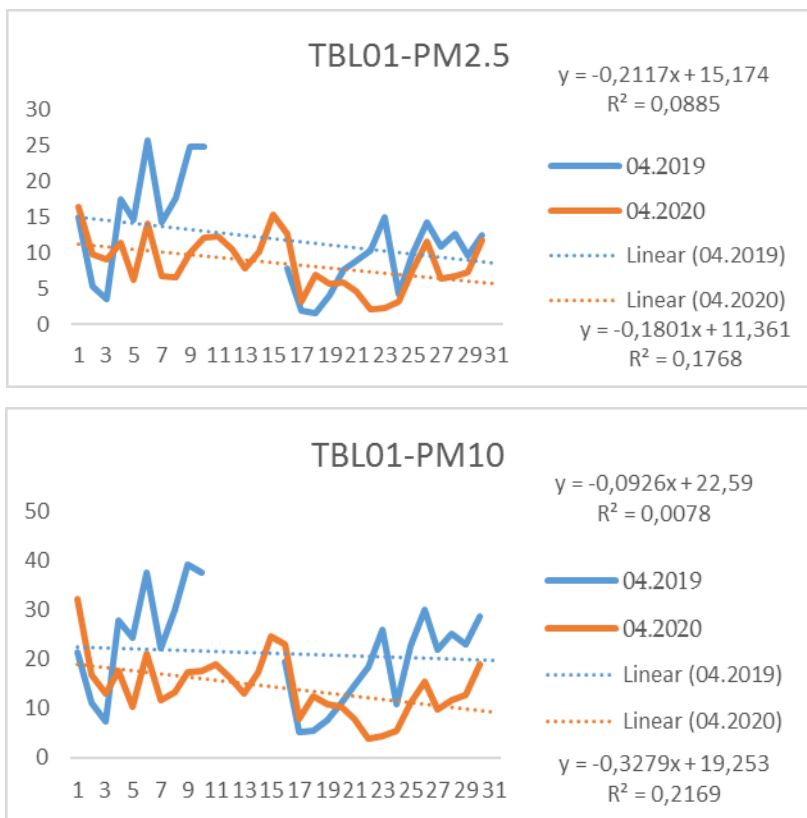
ნახ.3. PM<sub>2.5</sub> და PM<sub>10</sub>-ის კონცენტრაციების ცვლილების მრუდი 2019 და 2020 წლის მარტში (წერეთლის გამზირი)



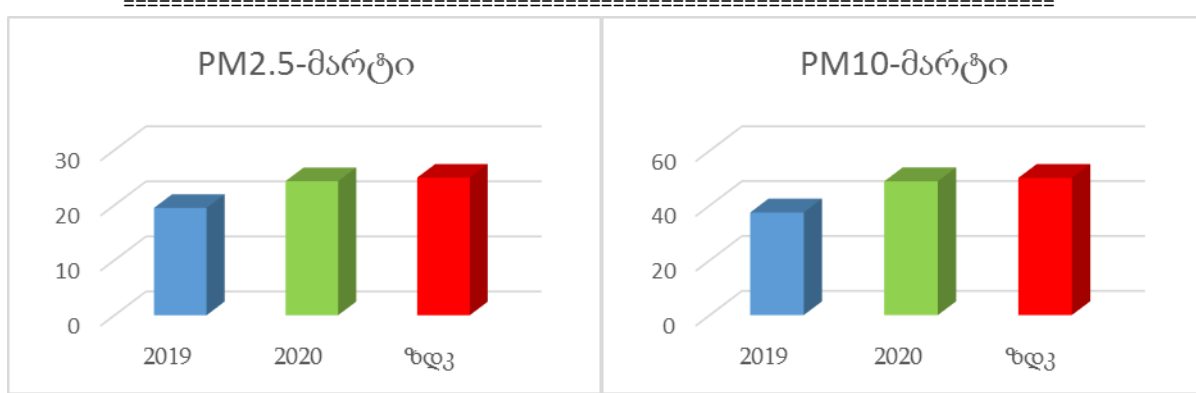
ნახ.4. PM<sub>2.5</sub> და PM<sub>10</sub>-ის კონცენტრაციების ცვლილების მრუდი 2019 და 2020 წლის მარტში (გაშლიჯვარი)



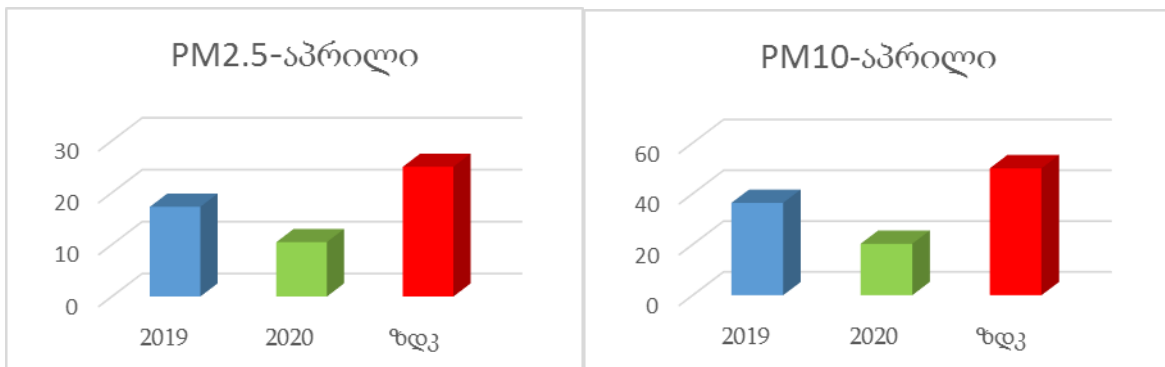
ნახ.5. PM<sub>2.5</sub> და PM<sub>10</sub>-ის კონცენტრაციების ცვლილების მრუდი 2019 და 2020 წლის აპრილში (წერვთლის გამზირი)



ნახ.6. PM<sub>2.5</sub> და PM<sub>10</sub>-ის კონცენტრაციების ცვლილების მრუდი 2019 და 2020 წლის აპრილში (გაშლივება)



**ნახ.7. PM<sub>2.5</sub> და PM<sub>10</sub>-ის კონცენტრაციების საშუალო თვიური მნიშვნელობები 2019 და 2020 წლების მარტში**

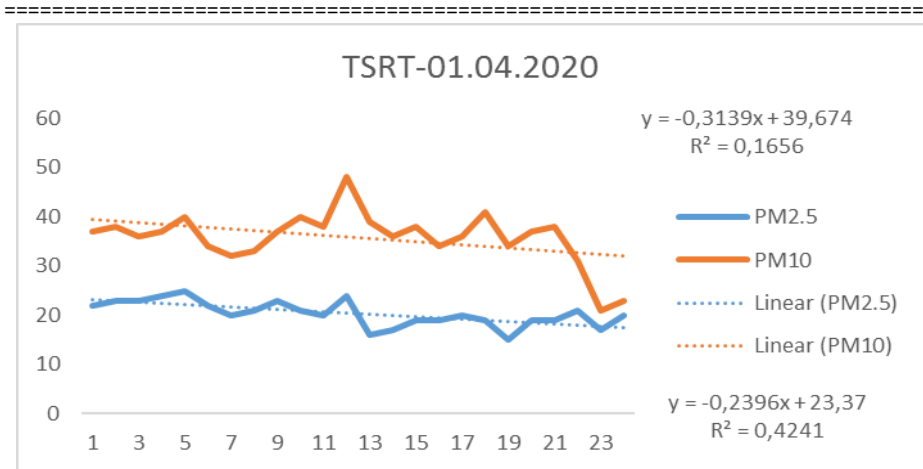


**ნახ.8. PM<sub>2.5</sub> და PM<sub>10</sub>-ის კონცენტრაციების საშუალო თვიური მნიშვნელობები 2019 და 2020 წლების აპრილში**

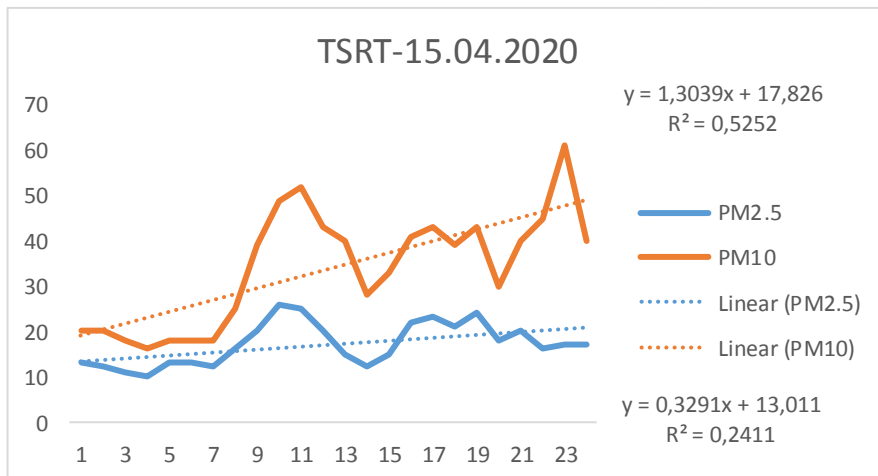
ანალიზმა გვაჩვენა პანდემიის გავლენა ატმოსფეროში მტვრის ნაწილაკების კონცენტრაციის შემცირებაზე და ნათლად დაგვანახა, რომ დღეს ქ.თბილისის ატმოსფეროს ნაწილაკებით დაბინძურებაში ძირითადი წლილი შეაქვს ავტოტრანსპორტს.

განვიხილოთ PM<sub>2.5</sub> და PM<sub>10</sub>-ის კონცენტრაციების საათობრივი ცვლილება დღის განმავლობაში. მონაცემთა სრული ბაზა მოიცავს 2019 წლის ყოველი თვისა და 2020 წლის იანვრის, თებერვლის, მარტისა და აპრილის თვეების 5, 15 და 25 რიცხვებში აგებულ საათობრივი მსვლელობის გრაფიკებს. პანდემიის გავლენის შესასწავლად მონაცემთა ბაზას დაემატა კიდევ რამდენიმე დღე აპრილის თვეში. ატმოსფეროში კონცენტრაციის ცვლილების ტრენდმა (ნახ.9,10) გვიჩვენა, რომ აპრილის თვის 1-15 რიცხვებში PM<sub>2.5</sub> და PM<sub>10</sub>-ის კონცენტრაციები დილის საათებში მინიმალურია, მერყეობს 10-20 მკგ/მ<sup>3</sup>-ის ფარგლებში, დღის განმავლობაში კი ხასიათდება ზრდის ტენდენციით. მაქსიმალური კონცენტრაციები დაფიქსირებულია 11-12 და 22-24 საათების ინტერვალში. ამ პერიოდში ატმოსფეროში PM<sub>10</sub>-ის კონცენტრაცია აჭარბებს შესაბამისი ზღვ-ს მნიშვნელობას (50 მკგ/მ<sup>3</sup>).

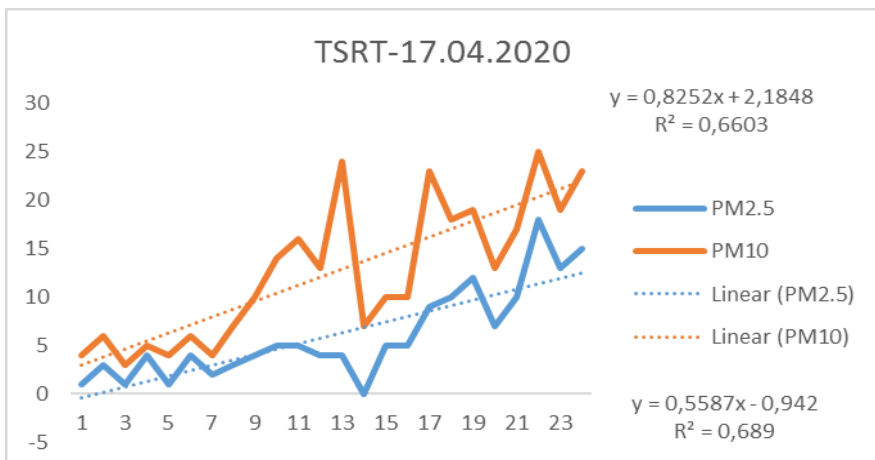
2020 წლის 17 აპრილიდან საქართველოში გამოცხადდა საგანგებო მდგომარეობა, აიკრძალა ქ.თბილისში ავტოტრანსპორტის მოძრაობა და ეს პროცესი ნათლად აისახა ატმოსფეროში PM<sub>2.5</sub> და PM<sub>10</sub>-ის კონცენტრაციებზე (ნახ.11). კერძოდ, დილის საათებში მათი მნიშვნელობა არის მინიმალური და მერყეობს 1-4 მკგ/მ<sup>3</sup> - ფარგლებში, დღის განმავლობაში შენარჩუნებულია მატების ტენდენცია, დამის პიკი კი არ აღემატება 25 მკგ/მ<sup>3</sup>.



ნახ.9. ქობილისში, წერეთლის გამზირზე 2020 წლის 1-ლ აპრილს PM<sub>2.5</sub> და PM<sub>10</sub>-ის კონცენტრაციების საათობრივი მსვლელობა



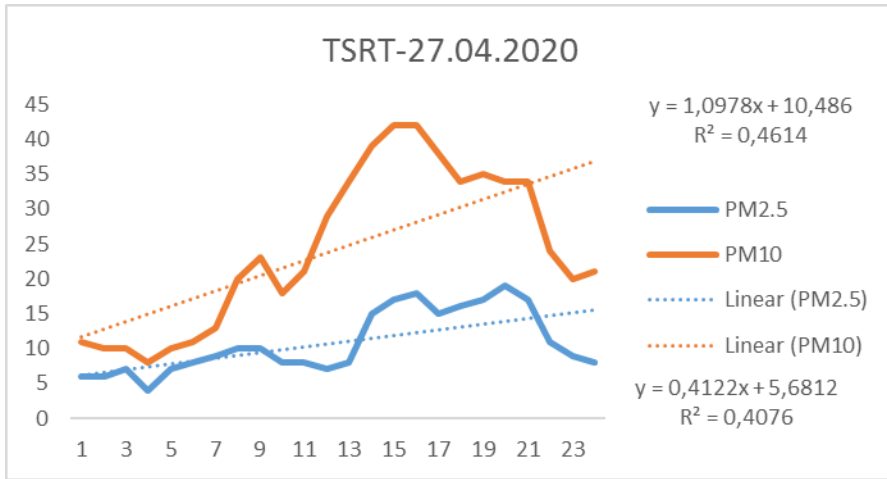
ნახ.10. ქ.თბილისში, წერეთლის გამზირზე 2020 წლის 15 აპრილს PM<sub>2.5</sub> და PM<sub>10</sub>-ის კონცენტრაციების საათობრივი მსვლელობა



ნახ.11. ქ.თბილისში, წერეთლის გამზირზე 2020 წლის 17 აპრილს PM<sub>2.5</sub> და PM<sub>10</sub>-ის კონცენტრაციების საათობრივი მსვლელობა

ასეთი სურათი გრძელდებოდა აპრილის თვის 27-28 რიცხვებამდე. ამ რიცხვებში ქალაქი გაიხსნა 2 დღით, როცა თბილისში დაბრუნდა ქალაქიდან გასული მოსახლეობის დიდი უმრავლესობა, გაიზარდა ტრანსპორტის ნაკადი, რაც თვალწათლივ აისახა

ატმოსფეროში PM<sub>2.5</sub> და PM<sub>10</sub>-ის შემცველობაზე, მათმა კონცენტრაციამ შესაბამის ზღვ-საც კი მიაღწია (ნახ.12).



ნახ.12. ქ.თბილისში, წერეთლის გამზირზე 2020 წლის 27 აპრილს PM<sub>2.5</sub> და PM<sub>10</sub>-ის კონცენტრაციების საათობრივი მსგლელობა

ტრენდებმა გვიჩვენა, რომ დღის განმავლობაში ქ.თბილისის ატმოსფეროში PM<sub>2.5</sub> და PM<sub>10</sub>-ის კონცენტრაცია ნებისმიერ სიტუაციაში ხასიათდება მატების ტენდენციით და თავის მაქსიმუმს აღწევს 19-21 საათებში, თუმცა არსებობს გამონაკლისებიც, რაც სავარაუდოდ, განპირობებულია ადგილობრივი ლოკალური პირობებით.

### დასკვნა

- ქ.თბილისის ატმოსფეროში PM<sub>2.5</sub> -კონცენტრაციები, როგორც წესი, ნაკლებია PM<sub>10</sub>-ის კონცენტრაციებზე, მაგრამ მათი ცვლილების მრუდის ხასიათი ერთნაირია;
- PM<sub>10</sub>-ის მაქსიმალური მნიშვნელობები თითქმის ყოველთვის აღემატება შესაბამის ზღვრულად დასაშვებ კონცენტრაციებს (ზღვ), მინიმალური - ყოველთვის ნაკლებია ზღვ-ზე, საშუალო მნიშვნელობები კი მხოლოდ ზამთრის პერიოდში აღემატება შესაბამის ზღვ-ს;
- PM<sub>2.5</sub> და PM<sub>10</sub>-ის კონცენტრაციების საათობრივი ცვლილების ტრენდმა გვიჩვენა, რომ დღის განმავლობაში PM-ნაწილაკების კონცენტრაციები ნებისმიერ სიტუაციაში ხასიათდება ზრდის ტენდენციით და თავის მაქსიმუმს აღწევს 19-21 საათებში;
- ჩატარებულმა ანალიზმა გვიჩვენა პანდემიის გავლენა PM-ნაწილაკების კონცენტრაციის შეცირებაზე ქალაქის ატმოსფეროში და ნათლად დაგვანახა, რომ ქ.თბილისის ატმოსფეროს PM-ნაწილაკებით დაბინძურებაში ძირითადი წვლილი შეაქვს ავტომანისტორის.

მადლიერების გამოხატვა. კვლევა განხორციელდა საქართველოს შოთა რუსთაველის ეროვნული სამეცნიერო ფონდის ფინანსური მხარდაჭერით [FR-18-3667].

### ლიტერატურა – REFERENCES - ЛИТЕРАТУРА

- გ.ს.გუნია. ატმოსფეროს ეკოლოგიური მონიტორინგის მეტეოროლოგიური ასპექტები. შაქმეც-აკადემიის ჰიდრომეტეოროლოგიის ინსტიტუტი (ჰმი), თბილისი, 2005, 265 გვ.
- N. G. Gigauri, A. A. Surmava. Spatial Distribution of the Local Meteorological Fields and Dust Concentration in Kakheti Atmosphere in Case of the Northern Background Wind. J. Georgian Geophysics Soc., Issue B, Physics of Atmosphere, Ocean and Space Plasma, 2017. 20 B. pp. 11-23.

3. World health organization. Global Health Risk: Mortality and Burden of Diseases Attributable to Selected Major Risks. 23-53, 2009.
4. [http://air.gov.ge/reports\\_page](http://air.gov.ge/reports_page), გადამოწმებულია - 17.02.2020.

უაკ 504.5.054

ქობილისის ატმოსფერული ჰაერის PM-ნაწილაკებით დაბინძურების გამოკვლევა. /ნ.გიგაური,  
ს.მდივანი, ვ.ბუხალაშვილი, ა.სურმავა, ლ.ინწკირველი/სტუ-ის პმი-ის სამეცნ. რეფ. შრ. კრებ.  
- 2020. - გვ.59-66. - ქართ.; რეზ.: ქართ., ინგლ., რუს. განსაზღვრულია ქობილისისა და  
მისი მიმდებარე ტერიტორიის ატმოსფერულ ჰაერში PM<sub>2.5</sub> და PM<sub>10</sub>-ის კონცენტრაციები.  
შევასებულია მათი ყოველთვიური კონცენტრაციის მაქსიმალური და მინიმალური  
მნიშვნელობები. განხილულია PM-ნაწილაკების კონცენტრაციების საათობრივი და დღიური  
ცვლილების ტრენდი ქალაქის ჩვეული რიტმისა და ფორს-მაჟორულ სიტუაციებში.

UDC 504.5.054

**Investigation of Air Pollution in c. Tbilisi by PM-particles/** Gigauri N.G., Mdivani S.G., Kukhalashvili V.G,  
Surmava A.A., Intskirveli L.N./Scientific Reviewed Proceedings of the IHM, GTU. - 2020 - vol.129 - pp.59-  
66. - Georg.; Abst.: Georg., Eng., Rus. The concentrations of PM<sub>2.5</sub> and PM<sub>10</sub> particles in the atmospheric air  
of Tbilisi and its environs were determined. Their monthly maximum and minimum values are estimated. The  
trends of changes in the hourly and daily concentrations of PM particles under the usual rhythm of city life and  
the force-majeure state are analyzed.

УДК 504.5.054

**Исследование загрязнения атмосферного воздуха г. Тбилиси РМ-частицами** /Гигаури Н.Г., Мдивани  
С.Г., Кухалашвили В.Г., Сурмава А.А., Инциквели Л.Н./ Науч. Реф. Сб. Труд. ИГМ ГТУ - 2020. вып.129  
- с.59-66. - Груз.; Рез.: Груз., Англ., Рус. Определены концентрации PM<sub>2.5</sub> и PM<sub>10</sub> частиц в атмосферном  
воздухе г. Тбилиси и в его окрестностях. Оценены их ежемесячные максимальные и минимальные  
значения. Проанализированы тренды изменения ежечасовых и ежедневных концентраций РМ-частиц в  
условиях обычного ритма жизни города и форс-мажорном состоянии.

უაკ 504.064.36

## ატმოსფერული მჰვრის თავისებურებანი

გუნია გ.

საქართველოს ტექნიკური უნივერსიტეტის ჰიდრომეტეოროლოგიის ინსტიტუტი  
თბილისი, საქართველო, gattygunia@yahoo.com

უილარდ გიბსის მიერ (*Josiah Willard Gibbs*) შემოტანილი მცნება “აეროზოლი” მოიცავს აეროდისპერსული სისტემების ფართო ნაირსახეობას, რომელთა შორისაა მტვერი, ნისლი და ბოლი [1].

ატმოსფერული ჰაერის ფართოდ გავრცელებულ მინარევს წარმოადგენს მტვერი, რომლის მახასიათებლები უკვე კარგადაა ცნობილი [2]. უმთავრესად ეს ქვედა ატმოსფეროსა და ჰაერის მიწისპირა ფენაში გავრცელებულ მტვრის ნაწილს ეხება. ზოგადი შეფასებებით, მთელი მსოფლიოს ქალაქებში 1 წლის განმავლობაში ატმოსფეროში გაფრქვეული ანთროპოგენური წარმოშობის მყარი ნაწილაკების რაოდენობა დაახლოებით 1 მლრდ. ტ. შეადგენს.

ატმოსფერული მტვრის დაყოფას თავისი თვისებების მიხედვით აწარმოებენ, მათ შორის: ჰიგიენურად - ბიოლოგიური ზემოქმედებით; მეტეოროლოგიურად - ატმოსფეროში განაწილებით; ტექნიკურად - ადამიანის სამუშაოები და სამრეწველო ქმედებით.

მეტეოროლოგიურ ოპტიკაში მტვრის ნაწილაკებად მიიღება ისეთი ნაწილაკები, რომელთა სინათლის გაფანტვის ინტენსივობა -  $I_\lambda$  გადაიხრება რელეის კანონიდან, რომლის თანახმად -  $I_\lambda \sim \lambda^{-4}$ : 1)  $I_\lambda \sim \lambda^{-2}$  - (ფულკანური მტვრი); 2) მსხვილდისპერსული მტვერი - ( $I_\lambda \sim \lambda^0$ ) - სინათლის ნაკადს ერთნაირად ფანტავს. ეს უკანასკნელი, ატმოსფეროში მყოფი, 0.1 მკმ-ზე მეტი ზომის ნაწილაკებია და მეტეოროლოგიაში მტვრის ნაწილაკებად მიიღებიან.

ხშირად მტვრის ნაწილაკები ელექტროდამუხტვისა და რადიოაქტიურობის მიხედვითაც იყოფიან.

ადამიანის ჯანმრთელობაზე ატმოსფერული მტვრის ზემოქმედების შესწავლისას, მათი ზომების განსაზღვრას განსაკუთრებული მნიშვნელობა ენოჭება. ადამიანის ფილტვებში ხვდებიან ნაწილაკები ზომებით არა უმეტეს 5 მკმ-სა.

10 მკმ-ზე უფრო მსხვილი ნაწილაკები მთლიანად ცხვირის დრუში ილექტიან, ხოლო, პირით სუნთქვისას, ისინი ზედა ბრონქების იქით არ შედიან.

ჩვენს სხეულს აქვს ლორწოვანი გარსი და დამცავი თმები სუნთქვის ორგანოებზე, რომლებიც 10 მკმ-ს ნაწილაკებს იკავებენ. ხოლო უფრო მცირე და მსუბუქი 2.5 მკმ ნაწილაკები დიდ ხანს იმყოფებიან ჰაერში შეწონილ მდგომარეობაში და პრაქტიკულად არ ილექტიან მიწაზე. ისინი ადამიანის ჯანმრთელობისთვის ყველაზე დიდ რისკს წარმოადგენენ.

უკეთესი გაგებისთვის აღსანიშნავია, რომ ადამიანის თმის დიამეტრი 80 - 100 მკმ - ს შეადგენს. გარდა ამისა, ხილული სინათლის ტალღის სიგრძის დიაპაზონი 0.38 მკმ (იისფერი) - 0.78 მკმ (წითელი) არეში მდებარეობს.

მტვრის ნაწილაკები 0.8 - 1.6 მკმ-ს დიამეტრით, ძირითადად ბრონქებსა და ალვეოლებში ილექტიან, ხოლო 0.2 - 0.3 მკმ-ს დიამეტრის მქონე ნაწილაკების, დაახლოებით, 80% ისევ უკან ამოისუნთქებიან.

ამ ზომებზე უფრო მცირე სიდიდის ნაწილაკების დალექვა ფილტვებში დიფუზიის ხარჯზეა შესაძლებელი. ამასთან, ელექტროდამუხტული ნაწილაკების დაკავება 54%-ს შეადგენს, ხოლო ნეიტრალურებისა კი - მხოლოდ 18%-ს.

თავისი წარმოშობის მიხედვით ატმოსფერული მტვრის მინარევის კოსმოსური, ვულკანური, ეოლური, ზღვიური და სამრეწველო წარმოშობის მტვრებად დაყოფა არის მიღებული.

მთელ ატმოსფეროში კოსმოსური მტვრის შემცველობა დაახლოებით  $10^6$ ტ-ს უტოლდება, რაც ამ მინარევის საერთო რაოდენობის 1%-ზე ნაკლებს შეადგენს. ჩვენი შეფასებებით დედამიწის მთელ ზედაპირზე 24 საათის განმავლობაში კოსმოსური მტვრის  $10^4$ ტ მოდის, რაც დედამიწის ზედაპირზე მოსული მისი რაოდენობა, დაახლოებით,  $0.2 \cdot 10^{-4}$ ტ/კმ<sup>2</sup> შეადგენს. ამ სახის მტვრის ზომები 0.1 - 1.0 მკმ-ს ფარგლებში მერყეობს, თუმცა, ხშირად, 40 მკმ-ზე მეტი ზომის ნაწილაკებიც გვხვდება. ამ ნაწილაკთა რიცხვითი კონცენტრაცია 20კმ-ს სიმაღლეზე 0.03 ნაწ/სტ<sup>3</sup>-ს შეადგენს.

ვულკანური ამოფრქვევები ატმოსფეროს დაბინძურების ერთ-ერთი მნიშვნელოვანი წყაროა.

დედამიწაზე ვულკანური ფერფლისა და ლავის ნალექებზე რიგი საუკუნის მონაცემთა დამუშავების გზით, ჩვენს მიერ რაოდენობრივად იქნა შეფასებული ამ სახის ატმოსფერული მტვრის რიგი მახასიათებელი, მათ შორის: ვულკანური მტვრის გავრცელების მასშტაბები და ატმოსფეროს დაბინძურებაში მისი წილი.

ვულკანური მტვრის ბუნებას წარმოადგენს დიდ სიმაღლეებზე გავრცელებული და იქ გარკვეული ვადით დამკვიდრებული ნაცროვანი ფენა და უფრო მეტად სიცოცხლისუნარიანი აეროზოლური ფენები. ეს უკანასკნელი წარმოიქმნებიან ატმოსფერული ოზონისა და ვულკანური ამოფრქვევების პროდუქტის - გოგირდის ორჟანგის ურთიერთქმედების შედეგად.

ატმოსფეროში ნაწილაკების ყოფნის დრო შეზღუდულია (13 სთ -1.6 წლი). ამასთან, მათი ზომები დედამიწის ზედაპირიდან სხვადასხვა სიმაღლეებზე (40-10კმ), საშუალოდ, 0.5 -5.0 მკმ ფარგლებზე აღირიცხება, ხოლო სიმკვრივე 2.3 გ/სმ<sup>3</sup> შეადგენს. სედიმენტაციის სიჩქარეების გაანგარიშებას 10 კმ-ზე ნაკლები სიმაღლეებისთვის აზრი არ აქვს, ვინაიდან ამ არეში ატმოსფერო არამდგრადია. გარდა ამისა აქ ატმოსფერული ნალექების მიერ აეროზოლების ნაწილაკთა ჩამორცხვის უფექტიც მოქმედებს. მაგრამ შეგვიძლია ჩავთვალოთ, რომ ტროპოსფეროში ნაწილაკთა ყოფნის დრო, ამ არეში წყლის მოლეკულების არსებობის დროს უტოლდება, რომელსაც ეკვატორულ ნაწილში 9 დღე-დამეს, ხოლო მთელ სივრცეში, საშუალოდ, 11 დღე-დამეს უტოლდება.

ცნობილი ვულკანების ამოფრქვევების ქრონოლოგიურ მასალასა და მათზე დაკვირვებების შედეგებზე დაყრდნობით, ჩვენს მიერ გაანგარიშებულია ატმოსფეროში მოხვედრილი და დედამიწის ზედაპირზე დალექილი ვულკანური მტვრის წონითი რაოდენობები.

აღნიშნულმა გაანგარიშებებმა ცხადყო, რომ მე XX-ე საუკუნის 70-იან წლებამდე ატმოსფეროში  $1150 \cdot 10^9$  გულკანური მტვერი გაიფრქვა, რომელიც დედამიწის ზედაპირზე, მისი თანაბარი განაწილებისას,  $2.3 \cdot 10^3$  გ/კმ<sup>2</sup> ფენით დაილექტოდა. ამასთან, მე XIX-ე საუკუნეში ატმოსფეროში ამ მინარევის  $230 \text{ კმ}^3$  მოხვდა, რაც წონით განზომილებაში  $520 \cdot 10^9$  გულების, ხოლო მე XX-ე საუკუნის პირველი 70 წლის განმავლობაში მისი, დაახლოებით,  $30 \text{ კმ}^3$ , ანუ  $70 \cdot 10^9$  გ, მოხვდა. მოტანილი შედეგები გვიჩვენებენ, რომ ვულკანების ამოფრქვევებს ძალზე დიდი რაოდენობის მტვერი შეაქვთ ატმოსფეროში. მაგრამ ამ სახის აეროზოლებით მის დაბინძურებას დროებითი ხასიათი აქვს.

ეოლური მტვერი - ატმოსფეროს ამ მინარევის მომდევნო შემადგენელი ნაწილია. ის მიწის ზედაპირის გამოფიტვისა და მტვრიანი ქარბუქისას წარმოიქმნება. ამასთან, მტვრის ნაწილაკები თავისი წარმოშობის ადგილიდან ასეული და, ხშირად, ათასეული კილომეტრის მანძილზე გადაიტანებიან.

როგორც გამოკვლევები გვიჩვენებენ, ეოლური მტვერი ატმოსფერული მტვრის, დაახლოებით, 70%-ს შეადგენს და მას მკვეთრი მატების ტენდენცია გააჩნია. მის ძირითად წყაროდ უდაბნოები და ნახევრად უდაბნოები გვევლინებიან.

ზღვისა და ოკეანეების როლი ატმოსფერული მტვრის წარმოქმნაში, კონტინენტებისაგან განსხვავებით, არც ისე შესამჩნევია. ამაში მათ შეუძლიათ მიიღონ მონაწილეობა მხოლოდ, ნაპირებიდან მცირე დაშორებით, მარილების დალექვის სახით.

ოკეანის ზედაპირიდან 15 მ-ზე მტვრის ნაწილაკთა ზომები 10 მკმ-ს არ აღემატება, ხოლო 9 კმ სიმაღლეზე, მათი ზომების განაწილების მაქსიმუმი 0.1 მკმ ნაწილაკებზე მოდის. ამასთან, ნაწილაკთა რაოდენობის ძირითად მასას 0.3 მკმ-ზე უფრო მცირე ზომები ახასიათებთ.

ქალაქებისა და სამრეწველო რაიონების ატმოსფერული ჰაერის ერთ-ერთ ძირითად მინარევად სამრეწველო წარმოშობის მტვერს მიიჩნევენ. უკანასკნელი წლების განმავლობაში ევროპისა და ამერიკის ქალაქებში, გასაშუალოებული მნიშვნელობებით, ატმოსფეროდან ჩამოცვენილი მტვრის რაოდენობა  $400 \text{ გ/კმ}^2$  წლის სიდიდეს აღწევს, ხოლო მათი კონცენტრაციები, ხშირად, ზღვრულ დასაშვებ მნიშვნელობას აღემატება. შეფასებებმა გვიჩვენა, რომ ინდუსტრიული მტვერი ამ მინარევის მთელი რაოდენობის, დაახლოებით, 15%-ს შეადგენს, ხოლო მისი ყოველწლიური ნამატი, დაახლოებით, 0.4% აღწევს.

კაცობრიობას დედამიწის ხმელეთის, დაახლოებით, მხოლოდ 56% აქვს ათვისებული, უფრო ინტენსიურ ექსპლუატაციას კი, სულ 15% უწევს. აქედან 2% შენობა-ნაგებობებით დაკავებულ ფართობზე მოდის, დედამიწის მოსახლეობის 40%-ით, რომელსაც ძირითადად სამრეწველო ქალაქების ბინადარნი შეადგენება.

ცნობილია, რომ 15 მეტ - მდე სიდიდის მცვრის ნაწილაკები ადგილად გადაიტანება კონკექციური დინებების მიერ, რომლებიც ხშირად აღემატება მათზე მოქმედ გრავიტაციულ ძალებს.

დღისით კონვექციურ მტვერს, წლის სეზონზე დამოკიდებულებით, შეუძლია მიაღწიოს 5 კმ სიმაღლემდე. კვლევებით მიღებულია, რომ დამის პერიოდში (12 საათის განმავლობაში) აეროზოლებს შეუძლიათ მხოლოდ 22 მეტრით ქვევით დაშვება მოასწრონ.

ამრიგად, ნაწილაკები, რომლებიც დღისით ატანილი იყო ზემოთ, დამის განმავლობაში ატმოსფეროში რჩებიან. ატმოსფეროში მტვრის რაოდენობა დამოკიდებულია გარემოს სივრცის სითბურ კუმულაციურ უფექტებზე. ასე, რომ კონვექციურ სივრცეში აეროზოლების შემცველობა დამოკიდებულია სეზონზე. ადრე ზაფხულსა და გაზაფხულის განმავლობაში, როდესაც დედამიწის ტემპერატურა აღემატება ჰაერის ტემპერატურას, ჰაერში აეროზოლის რაოდენობა მეტია, ვიდრე ზამთარში და შემოდგომაზე. კონვექციური ზედაპირებიდან აეროზოლები გადაიტანება ტროპოპაუზისკენ. ტროპოპაუზის რომ მიაღწივს, აეროზოლი ანელებს მოძრაობას ზევით და გროვდება ამ არეში. აეროზოლის შემდგომი ზევით აწევა, ცხადია, სტრატოსფეროში წყლის ორთქლის შექრის შესაბამისად წარმოებს. ამ შემთხვევაში ჰაერი წყლის ორთქლთან ერთად ტროპიკული ტროპოპაუზის რაიონის გავლით, სადაც ტემპერატურა ძალზე მცირება (-70 °C), მოძრაობს ზედა ტროპოპაუზიდან ქვედა სტრატოსფეროსკენ.

ამრიგად, სტრატოსფეროში მტვრის შემოჭრა კონტროლდება, უმთავრესად, ჰაერის ნაკადით, რომელმაც ტროპიკული ტროპოპაუზის რაიონის გავლით თავისი გავრცელების ზედა საზღვარს მიაღწია. სტრატოსფეროში აეროზოლის შემიჭრის ზოგიერთ მოვლენას შესაძლოა ადგილი ჰქონდეს მაღალ განედებშიაც. აქ ჩვენ ვაკირდებით მცირე სიდიდის ატმოსფერულ მოძრაობებს, რის გამოც მათ, შესაძლოა, მხოლოდ მეორესარისხოვანი მნიშვნელობა უნდა მივაკუთვნოთ. ტროპოსფეროს რდვევის ადგილებში ჰაერი მტვერთან ერთად საშუალო განედის რაიონებიდან სტრატოსფეროდან ტროპოსფეროში ბრუნდება.

მტვრის არსებობის დრო დაბად სტრატოსფეროში რამდენიმე თვიდან - 2 წლამდე განისაზღვრება. ტროპოსფეროში ნაწილაკების არსებობის ხანგრძლივობა კი, დაახლოებით ერთი თვეა და ძირითადად ძირს ეშვებიან ჩრდილოეთ ნახევარსფეროში საშუალო განედის რაიონებში, ტროპოპაუზის რდვევის ადგილებში. ამ შემთხვევაში, ცხადია, აქ ძირითად როლს მეტეოროლოგიური ეკვატორი ასრულებს, როგორც ნახევარსფეროებს შორის ტროპოსფერული ნაწილაკების გადამტანი ბარიერი.

ატმოსფერული მტვრის დედამიწის კლიმატზე გავლენის შესწავლისას უშვებენ, რომ აეროზოლების შემცველობის მატება ატმოსფეროში იწვევს მათ მიერ ლრუბლების გაჯერებას, რასაც ნალექების მოსვლის შემცირებისკემ მივწევართ. თუ მივიღებთ მხედველობაში, რომ აეროზოლის გამოტანა ტროპოსფეროდან ძირითადად მათი ნალექებით ჩამორცხვის შედეგად წარმოებს, მაშინ ცხადი ხდება დროთა განმავლობაში ატმოსფეროს გლობალური გამტვერიანების კატასტროფული ზრდა.

ატმოსფეროს გლობალური დაბინძურების ერთ-ერთ ყველაზე მნიშვნელოვან შედეგს სითბური ბალანსის ცვლილება წარმოადგენს, რაც გამოწვეულია „შებრუნებული სითბური“ მექანიზმის მოქმედებით, რომლის არსი იმაშია, რომ მტვრის ნაწილაკები, რომელთა ზომები ხილული სინათლის ტალღის სიგრძის შესადარისია, ფანტაზი სივრცე ნაკადს, რის გამოც მცირდება დედამიწის ზედაპირამდე მოსული სხივერი ენერგიის რაოდენობა, ეს კი დედამიწის ზედაპირის გაცივებას გამოიწვევს.

## ლიტერატურა – REFERENCES – ЛИТЕРАТУРА

1. გუნია გ. ატმოსფეროს ეკოლოგიური მონიტორინგის მეტეოროლოგიური ასპექტები. - საქ. მეცნ. აკად., ვიდრომეტეოროლოგიის ინსტიტუტი, თბ. 2005, 265გვ.
2. Гуния Г.С. Современные проблемы запыленности атмосферы - Обнинск: ВНИИГМИ - Мировой центр данных, 1978, 65с.

უაკ 504.064.36

ატმოსფერული მტვრის თავისებურებანი/გუნია გ./სტუ-ის პმი-ის სამეცნ. რეფ. შრ. კრებ. – 2020. - გ.129. - გვ.67-70. - ქართ.; რეზ.: ქართ., ინგლ., რუს. ნაშრომში ატმოსფერული პარამეტრების გრადული ძირითადი მინარევების-ატმოსფერული მტვრის მახასიათებლებია მოტანილი, მათ შორის: ჰიგიენური - ბიოლოგიური ზემოქმედებით; მეტეოროლოგიური - ატმოსფეროში განაწილებით; ტექნიკური - ადამიანის სამეცნეო და სამრეწველო ქმედებით. აღნიშნულია, რომ 10 მკმ-ს ზომის ნაწილაკები ძირითადად ცხვირის დრუში დაიკავებიან, ხოლო უფრო მცირე და მსუბუქი 2.5 მკმ ზომის ნაწილაკები დიდ ხანს იმყოფებიან ჰაერში შეწონილ მდგრადარეობაში და პრაქტიკულად არ ილექტებიან მიწაზე. ისინი ადამიანის ჯანმრთელობისთვის ყველაზე დიდ რისკს წარმოადგენენ. ატმოსფერული მტვრის მინარევის ცალკეული კომპონენტების: კოსმოსური, ვულკანური, ეოლური, ზედვიური და სამრეწველო - თავისი წარმოშობის მიხედვით დაყოფა არის მიღებული. ამასთან დახასიათებულია მათი თავისებურებანი და შეფასებულია ცალკეული მათგანის წილი გარემოს დაბინძურებაში. გარდა ამისა, მოტანილია ატმოსფერული მტვრის თავისებურების დახასიათება კლიმატის ცვლილების პრობლემაში.

UDC 504.064.36

Features of atmospheric dust. /Gunia G./Scientific Reviewed Proceedings of the IHM, GTU. - 2020 - vol.129 - pp.67-70. Georg.; Abst.: Georg., Eng., Rus. The article presents the characteristics of one of the main atmospheric air impurities - atmospheric dust, including: hygienic - by biological effect; meteorological - distribution in the atmosphere; technical - economic and industrial activities. It was noted, that particles up to 10  $\mu\text{m}$  in size during breathing are mainly captured in the nasal cavity, while smaller and lighter particles up to 2.5  $\mu\text{m}$  in size are in the air for a long time and practically do not settle on the surface of the earth. They pose the greatest risk to human health. The individual components of atmospheric dust impurities are divided by their origin into - space, volcanic, aeolian, marine and industrial. At the same time, their characteristics are given and the share of each component in environmental pollution is estimated. In addition, a description is given of the characteristics of atmospheric dust in the problem of climate change.

УДК 504.064.36

Особенности атмосферной пыли /Гуниа Г.С./ Науч. Реф. Сб. Труд. ИГМ ГТУ - 2020. вып.129 - с.67-70. Груз.; Рез.: Груз., Англ., Рус. В статье представлены характеристики одной из основных примесей атмосферного воздуха - атмосферной пыли, в том числе: гигиенические - по биологическому воздействию; метеорологические - по распространению в атмосфере; технические - хозяйственной и производственной деятельности. Отмечено, что частицы размером до 10 мкм в основном захватываются в носовой полости, в то время как более мелкие и более легкие частицы размером до 2.5 мкм находятся в воздухе в течение длительного времени и практически не оседают на поверхность земли. Они представляют наибольший риск для здоровья человека. Отдельные составляющие примесей атмосферной пыли делятся по своему происхождению на космические, вулканические, эоловые, морские и промышленные. При этом, приводятся их характеристики и оценена доля каждой составляющей в загрязнении окружающей среды. Кроме того, дано описание особенностей атмосферной пыли в проблеме изменения климата

უაკ 504.064.36

**ატმოსფეროს ეკოლოგიური დატვირთვის მაჩვენებლის  
 სიგრცულ - დროითი განაწილების შეზასძის საკითხისთვის  
 გუნია გ.**

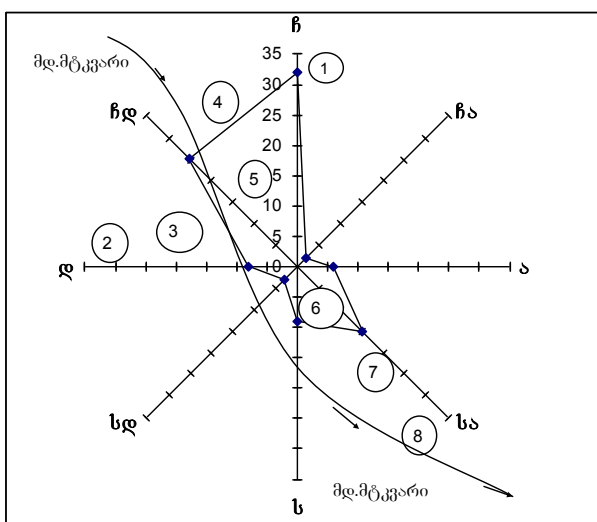
საქართველოს ტექნიკური უნივერსიტეტის პიდრომეტეოროლოგიის ინსტიტუტი  
 თბილისი, საქართველო, [garrygunia@yahoo.com](mailto:garrygunia@yahoo.com)

ნაშრომში მოტანილია 20 - 25 წლის დაკვირვებათა მასალის საფუძველზე ჩატარებულ კვლევათა შედეგები, რომლებშიც, ავტორის მიერ შემუშავებული ნორმირების მეთოდის დახმარებით [1, 3], საქართველოს ინტენსიური ანთროპოგენური ზემოქმედების რაიონებში ატმოსფეროს მინარევთა სიგრცულ-დროითი განაწილების მონიტორინგის პრაქტიკული და თეორიული საკითხებია დამუშავებული. ისინი, ლოკალურსა და რეგიონალურ მასშტაბებში, ატმოსფეროს ეკოლოგიური დატვირთვის მაჩვენებლის ტერიტორიულ განაწილებას, მათ მოკლევადიან და გრძელვადიან (დღედამურ, თვიურ, სეზონურ, წლიურსა და ხუთწლიან ციკლურ) სვლებს ასახავენ.

**მინარევთა სიგრცულ-დროითი განაწილების თავისებურებანი  
 თბილისის ატმოსფერულ ჰაერში**

დაკვირვებები ჰაერის დაბინძურებაზე თბილისში 8 ჰუნძტზე წარმოებდა, რომლებიც ქალაქის სხვადასხვა რაიონში იყო განლაგებული, უმთავრესად, ატმოსფეროში სამრეწველო გამონაბოლქვთა ძირითადი გადატანის მიმართულების გათვალისწინებით [1,3]. მაგალითად, ქალაქის ჩრდილოეთ განაპირას, მდ. მტკვრის მარცხენა ნაპირზე, “თემქას” დასახლებაში განვალაგეთ ატმოსფეროს დაბინძურებაზე დაკვირვების საგუშაგო (დდს) N1. საგუშაგო ჰუნძტები 2 და 3, ქალაქის ცენტრიდან, დაახლოებით, დასავლეთით მდებარეობენ, მტკვრის მარჯვენა ნაპირზე, შესაბამისად, “დიღმისა” და “საბურთალოს” დასახლებებში. დანარჩენი 4 - 8 საგუშაგოები, უმთავრესად, მდინარის მარცხენა ნაპირზე, ქალაქის ჩრდილო - დასავლეთის განაპირიდან მისი სამხრეთ - აღმოსავლეთის საზღვრამდე მდებარე, რაიონების დასახლებებს მოიცავენ.

ზემოაღნიშნულის საილუსტრაციოდ ნახ.1-ზე სქემატურად დატანილია დდს-ების განლაგება და, ქალაქის მეტეოსადგურზე საკვლევი პერიოდის დაკვირვებათა მასალის დამუშავების შედეგად მიღებული, ქარის მიმართულებათა საშუალო მრავალწლიური განმეორადობის დიაგრამა, პროცენტებში (ქართა ვარდი).



**ნახ.1. თბილისში ქარის მიმართულების განმეორადობისა  
 და დდს-ების განლაგების სქემა (0 – დდს-ი)**

დაკვირვებათა მასალის ინტერპეტაციისა და ატმოსფერული ჰაერის ეკოლოგიური მდგომარეობის შეფასების გასაადგილებლად და მონაცემთა არაერთგვაროვნების აღმოფხრის მიზნით, ჩვენს მიერ იქნა შემოტანილი ატმოსფეროს, მოცემული ნივთიერებით -  $K_i$  და საშუალო ჯამური (საერთო) -  $K$ , დაბინძურების მაჩვენებლების ცნებები [1, 3]. მათი საან-

გარიშმო ფორმულები ქვემოთაა მოცემული:

$$K_i = \frac{q_i}{q_{ix}} , \quad (1)$$

$$K = \frac{\sum K_i}{n} , \quad (2)$$

სადაც  $q_i$  და  $q_{ix}$  – შესაბამისად, გარკვეულ სივრცესა და დროში გასაშუალოებული  $i$ -ური ნივთიერების კონცენტრაცია და მისი შესატყვისი მანორმირებული სიდიდეა. უკანასკნელს მოცემული მინარევის საშუალო მრავალწლიური კონცენტრაცია წარმოადგენს, ხოლო უ-მინარევთა რიცხვია.

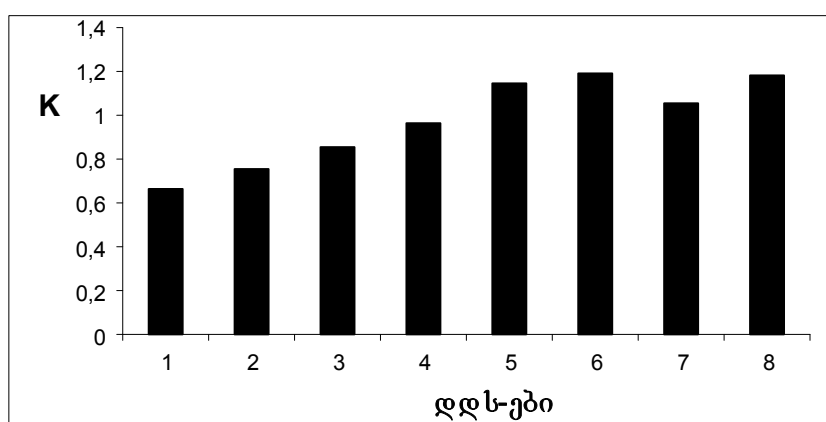
როგორც პრაქტიკამ გვიჩვენა, ჩვენს მიერ შემოტანილი ნორმირების მეთოდი მონაცემთა არაერთგვაროვნების გამორიცხვისა და ატმოსფეროს მინარევთა ჯამური ზემოქმედების შედეგად მიღებული ეკოლოგიური “დატვირთვის” შეფასების საუკეთესო საშუალებას იძლევა.

ფორმულა (1) -ის დახმარებით გაანგარიშებული დაბინძურების მაჩვენებლების მონაცემები საშუალებას გვაძლევენ ვიმსჯელოთ ჰაერის ეკოლოგიურ მდგომარეობაზე, როგორც მთლიანად ქალაქში, ისე მის ცალკეულ რაიონში. მაგალითად, როგორც განსახილველი ცხრ.1 - დან ჩანს დამაბინძურებელი ნივთიერებათა კონცენტრაციების განაწილება ქალაქის ტერიტორიაზე არათანაბარია და მნიშვნელოვნად არის დამოკიდებული გაბატონებული ქარის მიმართულებასა და განმეორადობაზე.

#### ცხრილი 1. თბილისში ატმოსფეროს ეკოლოგიური დატვირთვის მაჩვენებლების განაწილება

მინარევები	სინჯის აღების პუნქტები							
	1	2	3	4	5	6	7	8
მტევრი	0,75	0,5	0,75	1,25	1,25	1,25	0,75	1,25
CO	0,4	0,6	0,8	0,6	1,2	1,4	1,2	1,2
SO <sub>2</sub>	0,82	0,91	1,0	1,0	1,09	1,09	1,09	1,09
NO <sub>2</sub>	0,67	1,0	0,83	1,0	1,0	1,0	1,17	1,17

უფრო თვალსაჩინოდ ეს ნახ.2-ზე არის გამოსახული, რომელზეც ქალაქის რაიონების მიედვით, ფორმულა (2) -ის დახმარებით გამოთვლილი, ატმოსფეროს დაბინძურების საშუალო მრავალწლიური ჯამური მაჩვენებლის K-ს მნიშვნელობის ცვალებადობაა მოცემული.



ნახ.2. თბილისში ატმოსფეროს ეკოლოგიური დატვირთვის ჯამური მაჩვენებლის - K-ს სივრცითი განაწილება

როგორც ამ ნახაზიდან ჩანს, მინარევთა გადატანის ერთ-ერთი გაბატონებული, პერძოდ, ჩრდილო-დასავლეთის მიმართულების გასწვრივ მდებარე, ქალაქის სამრეწველო რაიონებში ატმოსფეროს დაბინძურება თითქმის ერთნაირია (5 - 8 დღე-ები).

ატმოსფეროს ინტენსიური დაბინძურების შედეგად, ამ რაიონებში რამდენიმე ათეულ კილომეტრზე გადაჭიმული მავნე ნივთიერებათა მაღალი კონცენტრაციების ველი იქმნება.

უფრო დეტალური განხილვის მცდელობისას აღსანიშნავია, რომ საგუშავო N1, მიუხედავად მისი “ავტომატური” სამრეწველო რაიონთან ახლო მდებარეობისა, მინარევთა კონცენტრაციების შედარებით დაბალი დონით ხასიათდება.

როგორც ჩანს, ეს გამოწვეულია ამ ჰუნძტის მდებარეობით მაღლობზე, გაბატონებული ჩრდილოეთის მიმართულების ქარის ქარპირა მხარეს, რაც ატმოსფეროს მინარევთა გაფანტვას და ჰაერის განიავებას უწყობს ხელს.

ამ პირობებში, როგორც ცნობილია [2, 3], ადგილი აქვს მინარევთა შთანთქმის უფლება, როგორც წყლის ზედაპირის, ისე მდინარის ნისლის წვეთების მიერ, რის შედეგადაც ჰაერი მნიშვნელოვნად სუფთავდება. ცხადია, ამ ეფექტს უნდა მივაწეროთ ის ფაქტი, რომ განსახილ-ველი რაიონების საპარეო აუზი ნაკლებ ეკოლოგიურ დატვირთვას განიცდის, ვიდრე ჩრდილოეთით მიმდებარე, მეზობელი რაიონები (მე 4-ე და მე 5-ე ჰუნძტები). გარდა ამისა, ნახ. 1-სა და 2-ის ერთობლივი ანალიზი საშუალებას გვაძლევს ვიმსჯელოთ ქალაქის ტერიტორიაზე მინარევთა სივრცულ განაწილებაზე გაბატონებული ქარის გავლენით. ასე მაგალითად, ამ ნახაზებიდან კარგად ჩანს, რომ ქალაქის გაბატონებული ქარის ქარპირა, ჩრდილო-დასავლეთის პერიფერიის, მისი ცენტრისა და ქარზურგა, სამხრეთ-აღმოსავლეთის საზღვრის გასწვრივ დაბინძურების საშუალო ჯამური მაჩვენებლის თითქმის პერმანენტული მატება აღინიშნება.

ამრიგად, განხილული კვლევის შედეგები საშუალებას გვაძლევენ დავასკვნათ, რომ, ატმოსფეროს აუზის ეკოლოგიური მდგომარეობის გათვალისწინებით, მოსახლეობისათვის დისკომფორტულად ქალაქის ცენტრალური და მისი სამხრეთ-აღმოსავლეთით მდებარე განაპირა რაიონები უნდა ჩაითვალოს.

ზემოაღნიშნულთან ერთად, ატმოსფეროს დაბინძურების კვლევისას, მინარევთა კონცენტრაციების განაწილების დროის მიხედვით ცვლილებების შესწავლას ენიჭება დიდი მნიშვნელობა. ამასთან, გასაშუალოების პერიოდზე დამოკიდებულებით, კონცენტრაციების დღე-დამურ, თვიურ, წლიურსა და მრავალწლიურ სკლებს ანსხვავებენ. ვინაიდან ატმოსფეროს დაბინძურების კონტროლის სახელმწიფო ქარებში დაკვირვებები ძირითადად დღის სათებში წარმოებდა, აქ მიღებული მასალით მინარევთა კონცენტრაციების

დღე - დამურ სკლაზე მსჯელობა გაძნელებულია. მიუხედავად ამისა, ქსელის ფუნქციონირების

2 ათეულ წელზე მეტ განმავლობაში მცოცავი გრაფიკით წარმოებულ დაკვირვებათა მასალის

დამუშავება საშუალებას იძლევა, პრაქტიკული თვალსაზრისით დამაკმაყოფილებელი სიზუსტით იქნება გაშუქებული აღნიშნული საკითხი.

დაკვირვებათა მასალის ანალიზი გვიჩვენებს, რომ მინარევთა დაბალი კონცენტრაციები დილის საათებში დაიკვირვება, ხოლო შემდეგ პერიოდში მათი მნიშვნელობები შესამჩნევად მატულობენ და მაქსიმალურ სიდიდეებს, ძირითადად, 13 - 15 საათებზე აღწევენ. ამასთან, გაანგარიშებებით დადგინდა, რომ დღის პირველ ნახევარში ამ ნივთიერებათა კონცენტრაციები, თანმიმდევრულად, საშუალოდ 25, 65, და 15%-ით მატულობენ. დამის პერიოდში კი, 21 საათიდან მეორე დღის 7 საათამდე, მტკრისა და ნახშირულების კონცენტრაციები, თანმიმდევრულად, დაახლოებით 5 და 20% მცირდებიან, ხოლო დანარჩენი ორი მინარევისა კი, პრაქტიკულად ცვლილებას არ განიცდიან.

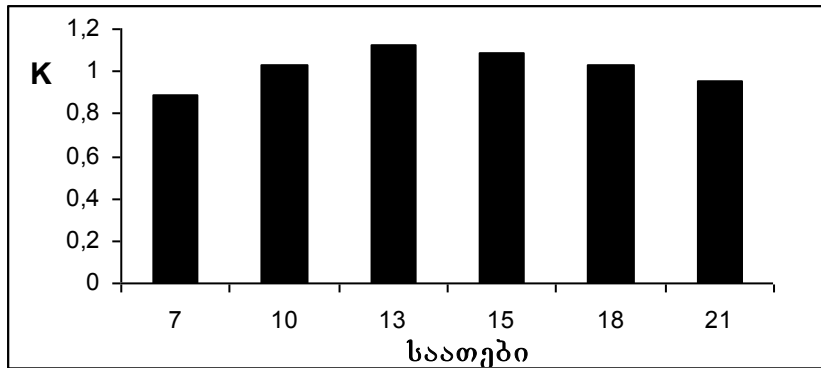
ვახასიათებთ რა თბილისის ატმოსფეროს ეკოლოგიურ მდგომარეობას ჯამური დაბინძურების

ბის მაჩვენებლის დღე-დამური სკლის საშუალებით, შეგვიძლია დავასკვნათ, რომ დღის პირველ ნახევარში, 5 - 6 საათის განმავლობაში, როგორც ეს ნახ. 3-ზეა ნაჩვენები, ის სწავლად, დაახლოებით 30%-ით, მატულობს.

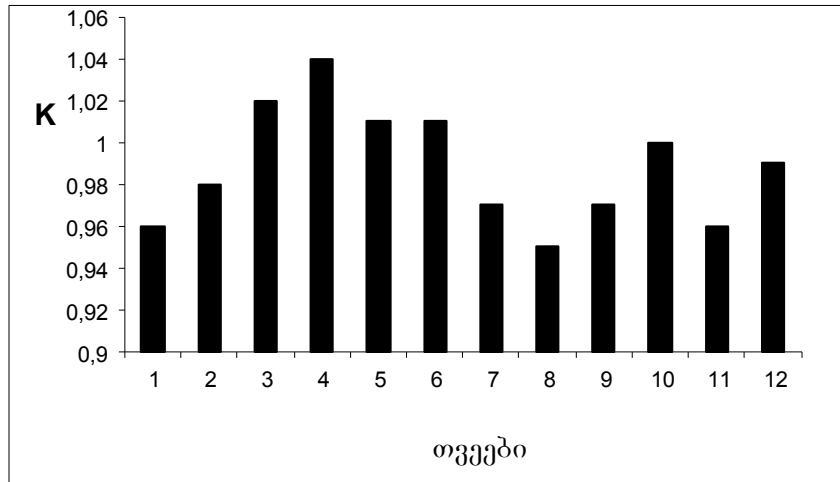
მისი შემცირება კი, დღის მეორე ნახევრისა და დამის პერიოდში შედარებით ნელ ტემპში, დაახლოებით 16 - 18 საათის განმავლობაში, მიმდინარეობს.

მკვლევართა დიდ ინტერესს იწვევს, აგრეთვე, მინარევთა კონცენტრაციების წლიური სკლა. ამ საკითხთან დაკავშირებით გაანგარიშებულია ძირითადი მინარევებით ატმოსფეროს დაბინძურების მრავალწლიური საშუალო თვიური ის მნიშვნელობები. თანახმად მიღებული შედეგებისა, მთელი ქალაქისათვის გაანგარიშებული ის მრავალწლიური საშუალო თვიური სიდიდეები შესამჩნევად იცვლებიან. ამასთან, შეიძლება აღინიშნოს, რომ მტკრისა და გოგირდის ორჟანგის კონცენტრაციები უდიდეს მნიშვნელობებს გაზაფხულის პერიოდში

აღწევენ, ნახშირუანგის კონცენტრაციები - ზამთარში, ხოლო აზოტის ორჟანგისა - გაზაფხულსა და ზაფხულში. ამ მინარევთა კონცენტრაციების მინიმალური სიდიდეები, ძირითადად, წელიწადის ციკ პერიოდში აღირიცხებიან, ჩ -ს გამოკლებით, რომლის დაბალი მნიშვნელობები ქალაქში, უმთავრესად, წელიწადის თბილ პერიოდში დაიკვირვება.



ნახ. 3. ატმოსფეროს ჯამური ეკოლოგიური დატვირთვის მაჩვენებლის - დროითი განაწილება თბილისის საპარო აუზში



ნახ. 4. თბილისში ატმოსფეროს ჯამური ეკოლოგიური დატვირთვის მაჩვენებლის წლიური სვლა

ზემოგანსილულ საკითხთან დაკავშირებით, წელიწადის განმავლობაში ქალაქის საპარო აუზის საერთო ეკოლოგიური მდგომარეობის ცვალებადობის შესწავლა ბევრადაა ხელსაყრელი მინარევთა ჯამური დაბინძურების მაჩვენებლის წლიური სვლის ანალიზის გზით. მაგალითად, ნახ. 4-ზე მკაფიოდ ჩანს K-ს წლიური სვლის ცვლილებების ყველა ნიუანსი.

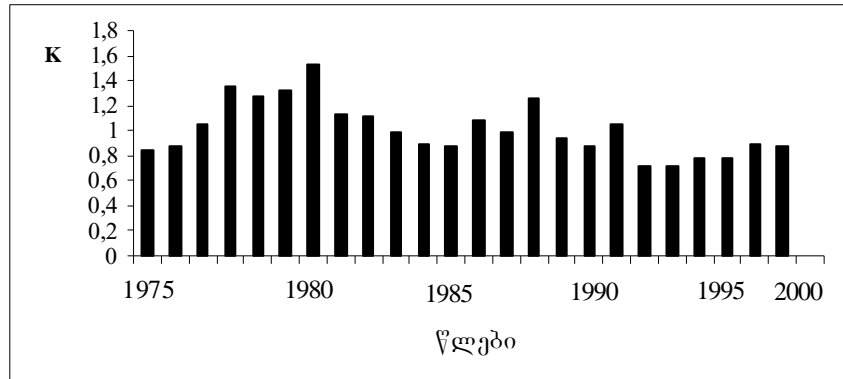
როგორც ნახაზიდან ჩანს, K-ს მნიშვნელობები წელიწადის დასაწყისში პერმანენტულად მარტივდება და, აღწევს რა მაქსიმუმს აპრილში, შემდეგ ასევე მკაფიო კლებას განიცდის, მინიმუმით აგვისტოს თვეში. მისი გაანგარიშებული სიდიდეები თბილ და ციკ პერიოდებში თითქმის ერთნაირია და საშუალოდ, შესაბამისად, 0,99 და 0,98 უდრის. ამასთან, წლიურ სვლაში მკაფიოდ აღინიშნება წელიწადის გარდამავალი პერიოდების გაზაფხულისა და შემოდგრმის მაქსიმუმები.

ატმოსფეროს ეკოლოგიურ მდგომარეობაზე ანთროპოგენური ზემოქმედების ასევების შესწავლისას, მინარევთა კონცენტრაციების რეტროსპექტიული შეფასებები იწვევს დიდ ინტერესს. ამ საკითხის დამუშავება, აგრეთვე, მნიშვნელოვანია ატმოსფეროს დაბინძურების პროგნოზის შემუშავებისთვისაც.

ქვემოთ მოცემულია, ატმოსფეროს ძირითად მინარევებზე 1975-2000 წლების პერიოდში თბილისში შესრულებული, უწყვეტი დაგვირვებათა მასალის დამუშავების გზით მიღებული, საშუალო წლიური კონცენტრაციების დახმარებით გაანგარიშებული ატმოსფერული პარის ეკოლოგიური დატვირთვის შეფასებები.

ქალაქის საპარკო აუზის გრძელვადიან საერთო დაბინძურებაზე შეგვიძლია უფრო თვალ-ნათლივ ვიმსჯელოთ ატმოსფეროს დაბინძურების ჯამური მაჩვენებლის - გამოყენებით.

მაგალითად, ნახ.5-ზე მოტანილია, თბილისში 25 წლის განმავლობაში წარმოებული უწყვეტი დაკვირვებათა მასალების დამუშავების შედეგად მიღებული, ატმოსფეროს ჯამური დაბინძურების მაჩვენებლის საშუალო წლიური სიდიდის რეტროსპექტიული ცვლილებების ამსახველი დიაგრამა.



### ნახ.5. თბილისში ატმოსფეროს ეკოლოგიური დატვირთვის ჯამური მაჩვენებლის საშუალო წლიური სიდიდეების რეტროსპექტიული ცვლილებები.

როგორც ნახ.5-დან გამომდინარეობს, თბილისში ატმოსფეროს დაბინძურება 2000 წლამდე, დაახლოებით ხუთწლიანი ციკლით, თანმიმდევრული მატებისა და შემცირების ტენდენციებით ხასიათდება.

### ლიტერატურა – REFERENCES – ЛИТЕРАТУРА

1. გუნია გარი. ატმოსფეროს ეკოლოგიური მონიტორინგის მეტეოროლოგიური ასპექტები. - საქ. მეცნ. აკად., ჰიდრომეტეოროლოგის ინსტიტუტი, თბ. 2005, 265გვ.
2. Берлянд М.Е. Прогноз и регулирование загрязнения атмосферы. - Л.:Гидрометеоиздат, 1985, 272с.
3. Гуния Г.С. Вопросы мониторинга загрязнения атмосферного воздуха на территории Грузии. – Л.: Гидрометеоиздат, 1985, - 84с.

უაკ 504.064.36

ატმოსფეროს ეკოლოგიური დატვირთვის მაჩვენებლის სივრცულ - დროითი განაწილების შეფასების საკითხისთვის/გუნია გ./სტუ-ის პმი-ის სამეცნ. რეფ. შრ. კრებ. – 2020. - გ.129. - გვ.71-76. - ქართ.; რეზ.: ქართ., ინგლ., რუს. ნაშრომში მოტანილია 20 - 25 წლის დაკვირვებათა მასალის საფუძველზე ჩატარებულ კვლევათა შედეგები, რომლებშიც, ავტორის მიერ შემუშავებული ნორმირების მეთოდის დახმარებით, საქართველოს ინტენსიური ანთროპოგენური ზემოქმედების რაიონებში ატმოსფეროს მინარევთა სივრცულ-დროითი განაწილების მონიტორინგის პრაქტიკული და თეორიული საკითხებია დამუშავებული. ისინი, ლოკალურსა და რეგიონალურ მასშტაბებში, ატმოსფეროს ეკოლოგიური დატვირთვის მაჩვენებლის ტერიტორიულ განაწილებას, მათ მოკლევადიან და გრძელვადიან (დღედამურ, თვიურ, სეზონურ, წლიურსა და ხუთწლიან ციკლურ) სვლებს ასახავენ.

UDC 504.064.36

To the issues of assessing the spatio-temporal distribution of the indicator of the ecological load of the atmosphere./Gunia G./.Scientific Reviewed Proceedings of the IHM, GTU. - 2020 - vol.129 - pp.71-76. Georg.; Abst.: Georg., Eng., Rus. Data for 20 - 25 years. Using the rationing method developed by the author, practical and theoretical issues of monitoring the spatio-temporal distribution of atmospheric impurities in areas of intense anthropogenic impact in Georgia are being resolved. They on a local and regional scale reflect the territorial distribution of the indicator of the ecological load of the atmosphere, its short-term and long-term (daily, monthly, seasonal, annual and five-year cyclic) moves.

УДК 504.064.36

К вопросам оценки пространственно-временного распределения показателя экологической нагрузки атмосферы./Гуниа Г.С./ Науч. Реф. Сб. Труд. ИГМ ГТУ - 2020. вып.129 - с.71-76. Груз.; Рез.: Груз., Англ., Рус. В статье представлены результаты исследований, проведенных на основе материалов наблюдений за 20 - 25 лет. В нем, помошью разработанного автором метода нормирования, решаются практические и теоретические вопросы мониторинга пространственно - временного распределения атмосферных примесей в районах интенсивного антропогенного воздействия Грузии. Они в локальном и региональном масштабе отображают территориальное распределение показателя экологической нагрузки атмосферы, его краткосрочный и долгосрочный (суточный, месячный, сезонный, годовой и пятилетний циклический) ходы.

უაგ 504.5.054

**ქ.თბილისის ატმოსფეროში მტვრის კონცენტრაციის ანალიზი რეგულარული  
 დაკვირვების მონაცემების მიხედვით**

ვ.გუხალაშვილი<sup>2</sup>, ს.მდიგარი<sup>1</sup>, ნ.გიგაური<sup>1</sup>, ა.სურმავა<sup>1,2</sup>, ლ.ინწკირველი<sup>1</sup>  
<sup>1</sup>საქართველოს ტექნიკური უნივერსიტეტის პიდრომეტეოროლოგიის ინსტიტუტი  
 თბილისი, საქართველო, intskirvelebi2@yahoo.com

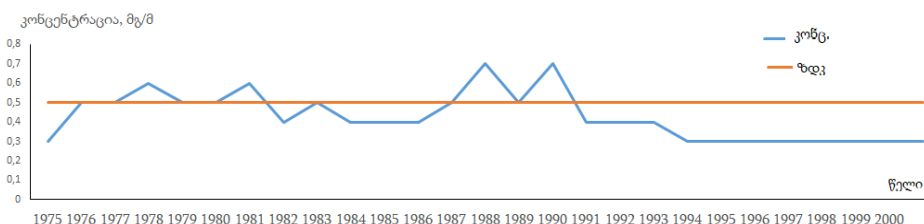
<sup>2</sup>ივ.ჯავახიშვილის სახ. თბილისის სახელმწიფო უნივერსიტეტის მ.ნოდიას  
 გეოფიზიკის ინსტიტუტი, თბილისი, საქართველო, aasurmava@yahoo.com

ქ.თბილისში ატმოსფერული ჰაერის დაბინძურებაზე რეგულარული დაკვირვება იწყება 20-ე საუკუნის სამოციანი წლებიდან. დაკვირვების მიზანი იყო ქალაქის ჰაერის ხარისხის შეფასება და ძირითადი სამრეწველო საწარმოების გამონაბოლქვებით ჰაერის დაბინძურების მონიტორინგის განხორციელება. თავდაპირველად გაიხსნა 4 სადამკირვებლო პუნქტი და იზომებოდა 4 ძირითადი დამაბინძურებელი ინგრედიენტი. დროთა განმავლობაში დაბინძურების კონტროლის ქსელი ფართოვდებოდა, იზრდებოდა დამაბინძურებელ ინგრედიენტთა რაოდენობაც. მონიტორინგის ქსელმა თავის მაქსიმალურ განვითარებას მიაღწია 1989 წელს, როცა ქ.თბილისის სადამკირვებლო ქსელი შედგებოდა 8 სტაციონალური ჯიხურისაგან და იზომებოდა როგორც ძირითადი, ასევე ზოგიერთი მსხვილი საწარმოდან ატმოსფეროში გაფრქვეული სპეციფიური ინგრედიენტების კონცენტრაციები. დაკვირვების მონაცემების ანალიზის შედეგები აისახებოდა სამსახურებრივი სარგებლობისათვის განკუთვნილ მონაცემთა ყოველწლიურ კრებულში [1,2], სამსახურებრივი დანიშნულების ანგარიშებში [3] და სხვა ნაშრომებში [4].

პოსტსაბჭოთა პერიოდის დასაწყისში დაბინძურების მონიტორინგის ქსელი მკვეთრად შემცირდა როგორც დაკვირვების სადგურების, ასევე გაზომილ ნივთიერებათა რაოდენობის მიხედვით. 2016 წლისათვის ატმოსფერული ჰაერის დაბინძურების ქსელი შედგებოდა მხოლოდ 2 სადამკირვებლო პუნქტისაგან.

2017 წლიდან იწყება ახალი ეტაპი ატმოსფერული ჰაერის დაბინძურების მონიტორინგის სამსახურში – ხდება გადასვლა თანამედროვე გამზომი აპარატურით აღჭურვილი ევროპული სტანდარტის შესაბამისი ავტომატური დაკვირვების სისტემაზე. დღეს ქ.თბილისში 5 სადამკირვებლო პუნქტში უწყვეტ რეჟიმში იზომება ექსი ინგრედიენტი: PM<sub>2.5</sub> და PM<sub>10</sub>, CO, NO<sub>2</sub>, SO<sub>2</sub> და O<sub>3</sub>. შეწყვეტილია დაკვირვება ჯამურ მტვერზე, ამიტომ ჩვენ მიზად დავისახეთ არსებულ სტატისტიკურ მონაცემებზე დაყრდნობით გაგვეანალიზებინა ქ.თბილისის ატმოსფეროში ჯამური მტვრის კონცენტრაციების ცვლილებები და დამტვერიანების სტატისტიკური მახასიათებელი პარამეტრების მნიშვნელობები.

ქ.თბილისის ატმოსფეროში მტვრის ჯამური კონცენტრაციები განისაზღვრებოდა მონიტორინგის ქსელის შექმნიდან 2016 წლის ოქტომბრამდე. ნახ.1-ზე ნაჩვენებია ჩატარებული გაზომვების მონაცემებით განსაზღვრული მტვრის საშუალო წლიური კონცენტრაციების მნიშვნელობები 1975-2000 წლებში [4]. ნახ.1-დან ჩანს, რომ საშუალო წლიური კონცენტრაციები ამ პერიოდში იცვლებოდა 0.3-0.7 მგ/მ<sup>3</sup> და 0.6-1.4 ერთჯერადი ზღვრულად დასაშვები კონცენტრაციების ( $\text{ზღვ}=0.5 \text{ მგ/მ}^3$ ) ფარგლებში. 1994-2000 წლებში საშუალო წლიური კონცენტრაციების მნიშვნელობები არ იცვლება და 0.6 ზღვ-ს ტოლია. აღნიშნული სიდიდე საჭიროა, თუ გავითვალისწინებოთ დროის ამ ინტერვალში არსებულ სოციალურ მდგომარეობას.



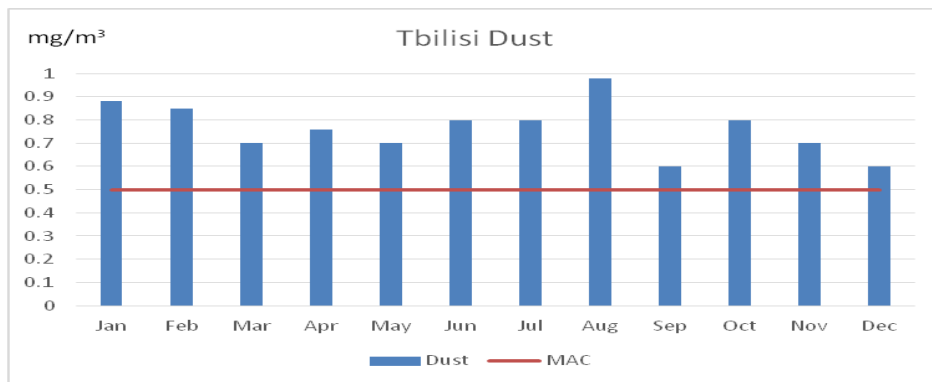
**ნახ. 1. ქ.თბილისის ატმოსფეროში მტვრის საშუალო წლიური კონცენტრაციის  
 მნიშვნელობები (მგ/მ³)**

ცხრ.1-ში მოცემულია ქ.თბილისში მტვრის საშუალო წლიური კონცენტრაციების სიდიდეები 2011-2016 წლებში, ხოლო ნახ.2-ზე - 2015 წელს მტვრის საშუალო თვიური

კონცენტრაციები. ნახ.2-დან ჩანს, რომ 2011-2016 წლების ინტერვალში მტვრის საშუალო წლიური კონცენტრაციები მეტყველს 1.0 - 1.8 ზღვას ინტერვალში, 2015 წელს კი საშუალო თვიური კონცენტრაციები იცვლებოდა 1.20 - 1.95 ზღვას ფარგლებში.

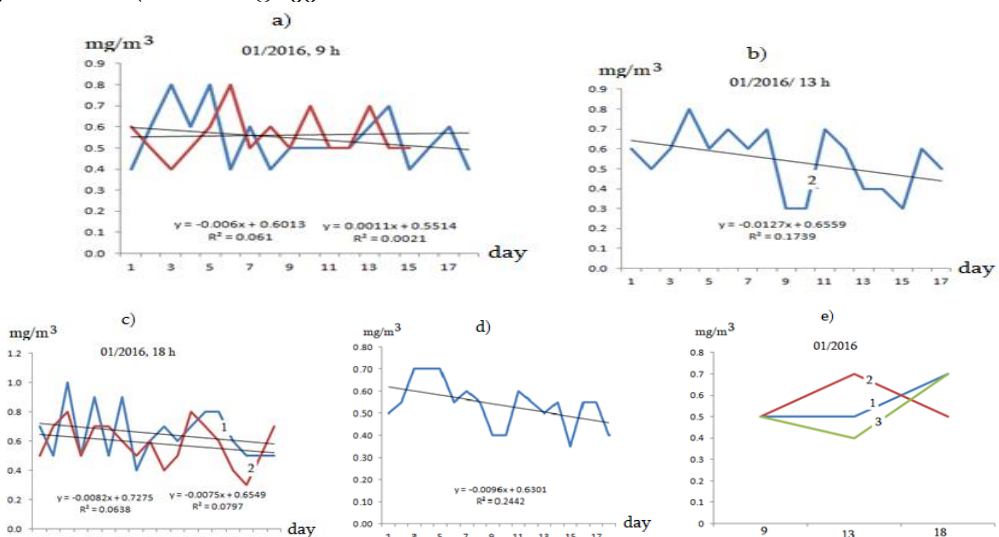
### ცხრილი 1. ქ.თბილისის ატმოსფეროში მტვრის საშუალო წლიური კონცენტრაციები 2011-2016 წლებში

წელი	2011	2012	2013	2014	2015	2016
საშ.წლიური კონცენტრაცია, მგ/მ <sup>3</sup>	0,50	0,50	0,70	0,90	0,77	0,60

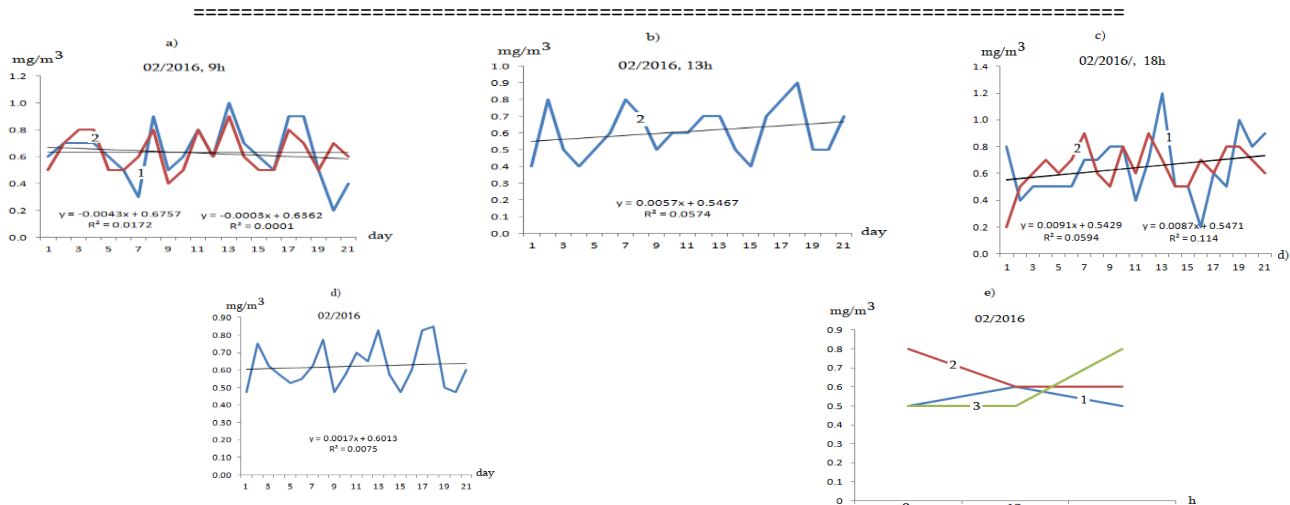


ნახ. 2. ქ.თბილისში მტვრის საშუალო თვიური კონცენტრაციები 2015წ.  
 (www.nea.gov.ge, გარემოს დაბინძურება, ჰაერის წელიწლეული-2015)

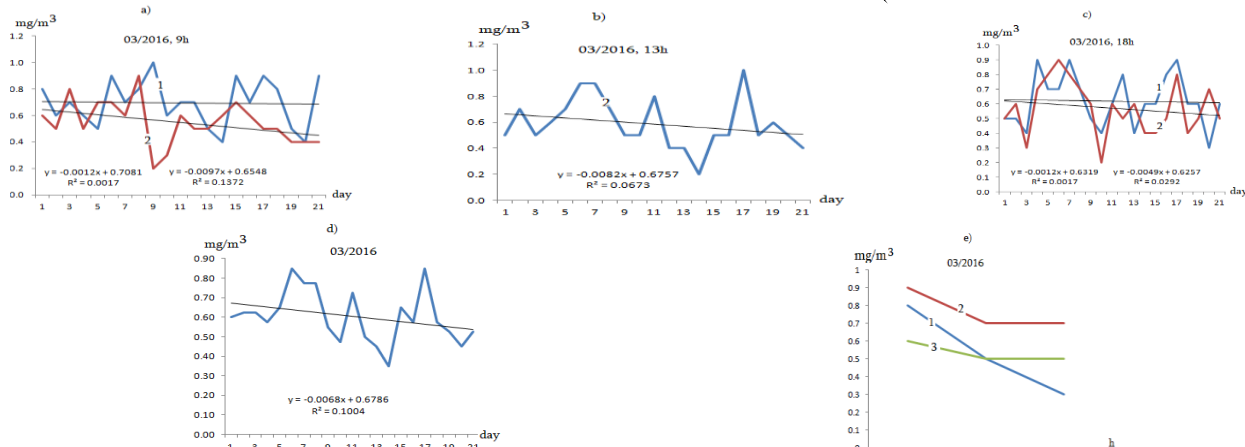
2016 წელს ატმოსფერული მტვრის კონცენტრაცია განისაზღვრებოდა გარემოს ეროვნული სააგენტოს მონიტორინგის № 6 (წერეთლის გამზირი) და №2 (კვინტრამის ქუჩა) ორ სადამკვირვებლო პუნქტში. დაკვირვება წარმოებდა ყოველდღე შაბათ-კვირის გარდა 9, 13 და 18 სთ-ზე. ამ პერიოდში ჩატარებული გაზომვების სტატისტიკური ანალიზი მოცემულია ნახ.3-9. მათზე ასახულია დაკვირვების დღეებში მტვრის კონცენტრაციების სტატისტიკური მახასიათებელი სიდიდეები: კონცენტრაციის მნიშვნელობები 9, 13 და 18 სთ, თვის საშუალო 9, 13 და 18 სთ-თვის, საშუალო დღე-დამური კონცენტრაცია, წრფივი ტრენდის განტოლება, დისპერსია ( $R^2$ ) და მტვრის კონცენტრაციის საშუალო მნიშვნელობები 9, 13 და 18 სთ-ებზე ყოველი თვის 5, 15 და 25 რიცხვებში.



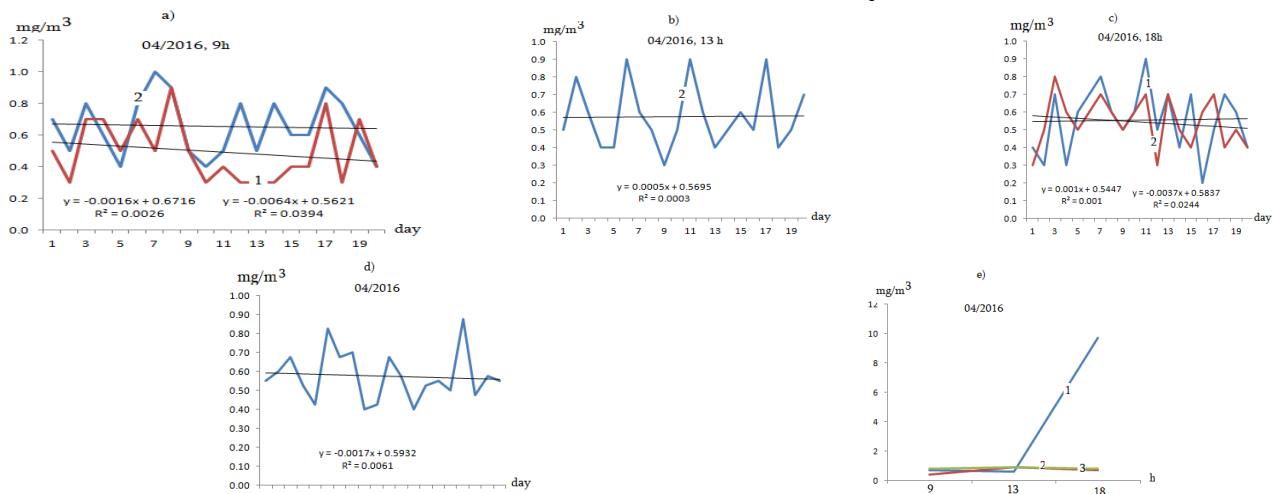
ნახ. 3. მტვრის კონცენტრაციის მნიშვნელობები № 6 და № 2 სადამკვირვებლო პუნქტებში 9 (a), 13 (b) და 18 (c) სთ-ზე; საშუალო დღიური კონცენტრაციები (d); მტვრის კონცენტრაცია 9 (a), 13 (b) და 18 (c) სთ-ზე თვის 5(1), 15(2) და 25(3) რიცხვებში (e); ტრენდის განტოლებები, გრაფიკები და დისპერსიის მნიშვნელობები 2016 წლის იანვარში



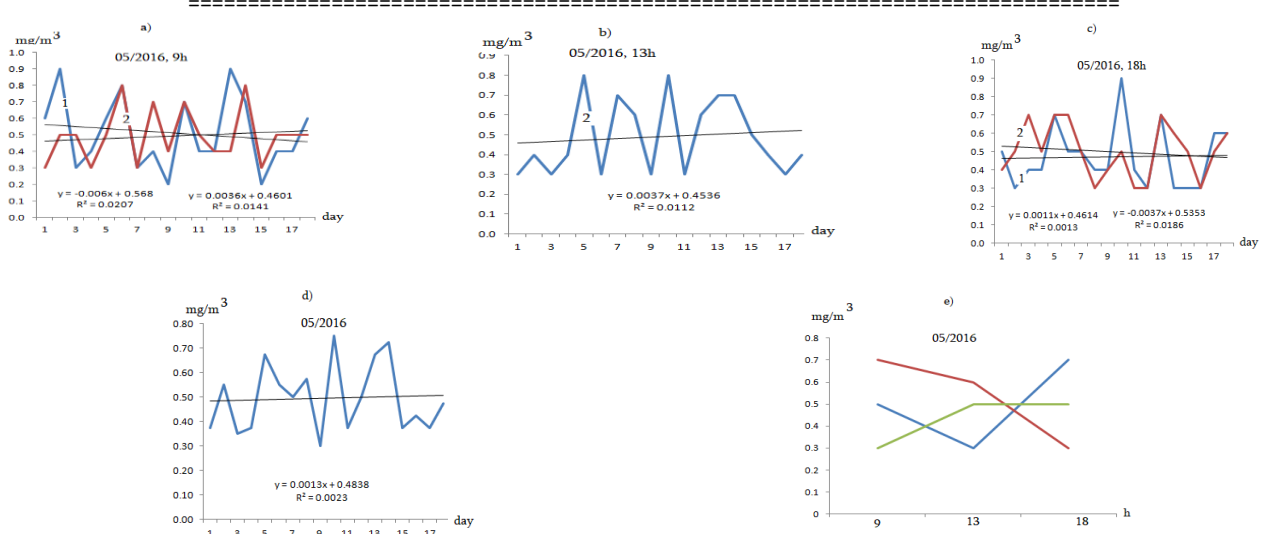
ნახ. 4. მტგრის კონცენტრაციის მნიშვნელობები № 6 და № 2 სადამკვირვებლო პუნქტებში 9 (ა), 13 (ბ) და 18 (ც) სთ-ზე; საშუალო დღიური კონცენტრაციები (დ); მტგრის კონცენტრაცია 9 (ა), 13 (ბ) და 18 (ც) სთ-ზე თვის 5(1), 15(2) და 25(3) რიცხვებში (ე); ტრენდის განტოლებები, გრაფიკები და დისპერსიის მნიშვნელობები 2016 წლის თებერვალში



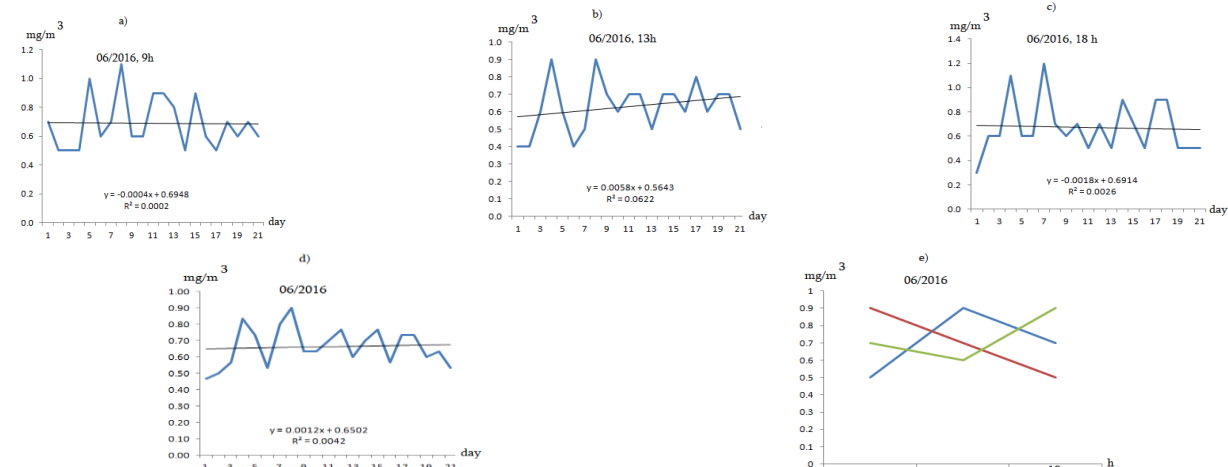
ნახ. 5. მტგრის კონცენტრაციის მნიშვნელობები № 6 და № 2 სადამკვირვებლო პუნქტებში 9 (ა), 13 (ბ) და 18 (ც) სთ-ზე; საშუალო დღიური კონცენტრაციები (დ); მტგრის კონცენტრაცია 9 (ა), 13 (ბ) და 18 (ც) სთ-ზე თვის 5(1), 15(2) და 25(3) რიცხვებში (ე); ტრენდის განტოლებები, გრაფიკები და დისპერსიის მნიშვნელობები 2016 წლის მარტში



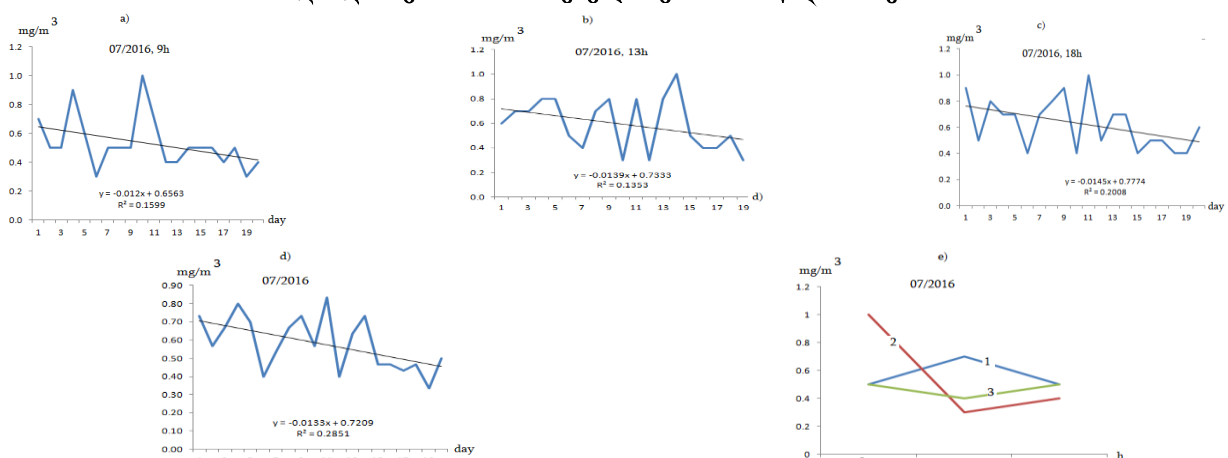
ნახ. 6. მტგრის კონცენტრაციის მნიშვნელობები № 6 და № 2 სადამკვირვებლო პუნქტებში 9 (ა), 13 (ბ) და 18 (ც) სთ-ზე; საშუალო დღიური კონცენტრაციები (დ); მტგრის კონცენტრაცია 9 (ა), 13 (ბ) და 18 (ც) სთ-ზე თვის 5(1), 15(2) და 25(3) რიცხვებში (ე); ტრენდის განტოლებები, გრაფიკები და დისპერსიის მნიშვნელობები 2016 წლის აპრილში



ნახ. 7. მტგრის კონცენტრაციის მნიშვნელობები № 6 და № 2 სადამკვირვებლო პუნქტებში 9 (a), 13 (b) და 18 (c) სთ-ზე; საშუალო დღიური კონცენტრაციები (d); მტგრის კონცენტრაცია 9 (a), 13 (b) და 18 (c) სთ-ზე თვის 5(1), 15(2) და 25(3) რიცხვებში (e); ტრენდის განტოლებები, გრაფიკები და დისპერსიის მნიშვნელობები 2016 წლის მაისში



ნახ. 8. მტგრის კონცენტრაციის მნიშვნელობები № 6 სადამკვირვებლო პუნქტში  
 9 (a), 13 (b) და 18 (c) სთ-ზე; საშუალო დღიური კონცენტრაციები (d); მტგრის კონცენტრაცია  
 9 (a), 13 (b) და 18 (c) სთ-ზე თვის 5(1), 15(2) და 25(3) რიცხვებში (e); ტრენდის განტოლებები, გრაფიკები  
 და დისპერსიის მნიშვნელობები 2016 წლის ივნისში



ნახ. 9. მტგრის კონცენტრაციის მნიშვნელობები № 6 სადამკვირვებლო პუნქტში  
 9 (a), 13 (b) და 18 (c) სთ-ზე; საშუალო დღიური კონცენტრაციები (d); მტგრის კონცენტრაცია  
 9 (a), 13 (b) და 18 (c) სთ-ზე თვის 5(1), 15(2) და 25(3) რიცხვებში (e); ტრენდის განტოლებები, გრაფიკები  
 და დისპერსიის მნიშვნელობები 2016 წლის ივლისში

ნახ.3-დან ჩანს, რომ 2016 წლის იანვარში დიღის 9 სთ-ზე ატმოსფერული მტკრის კონცენტრაციები თვის პირველ ნახევარში ორივე სადამკვირვებლო პუნქტზე ხასიათდება სწრაფი ცვლილების 2-3 დღიანი პერიოდით. თვის მეორე ნახევარში კონცენტრაციის ცვლილების პერიოდულობა იზრდება 2-4 დღემდე. დაახლოებით ანალოგიური სიტუაცია 13 და 18 სთ-ზე. კონცენტრაციათა ცვლილების ტრენდი ძირითადად უარყოფითია. დახმოადგენს კოეფიციენტი მცირეა და იცვლება  $-0.0127$ -დან  $-0.006$ -მდე. გამონაკლის წარმოადგენს კონცენტრაციების მნიშვნელობები 9 სთ (2) პუნქტზე, სადაც აღინიშნება სუსტი დადგებითი ტრენდი, დახმოადგენს კოეფიციენტით 0.0011. დისპერსია არაა დიდი და მისი მნიშვნელობა იცვლება  $0.0021 - 0.01739$  ინტერვალში. მტკრის ერთჯერადი კონცენტრაციის სიდიდეები იცვლება ინტერვალში  $0.3 - 1.2 \text{ м}^3/\text{მ}^3$ .

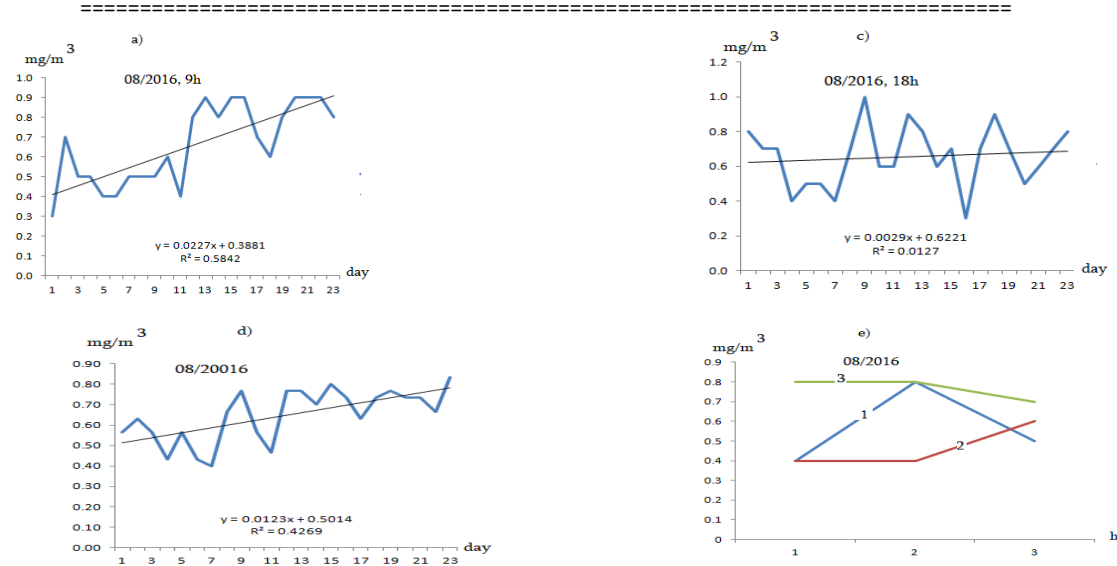
ქალაქის საშუალო დღიური კონცენტრაციის ცვლილება ხასიათდება 2-3 დღიანი პერიოდულობით და უარყოფითი ტრენდით, დახმოადგენს კოეფიციენტით  $-0.0096$  და დისპერსიით  $0.2442$ . რაც შეეხება მტკრის საშუალო კონცენტრაციების მნიშვნელობებს, ორივე პუნქტზე თვის დასაწყისში და დასასრულს მცირდება 9-დან 13 საათის ინტერვალში და იზრდება 18 საათისთვის. თვის შუა პერიოდში კონცენტრაცია მაქსიმალურია 13 სთ-ზე.

2016 წლის თებერვალში მტკრის კონცენტრაციის ცვლილების სურათი მნიშვნელოვნად განსხვავდება იანვრის თვეში მიღებული სურათისაგან (ნახ.4). კონცენტრაციის ცვლილება 13 და 18 სთ-ზე ცალკეულ პუნქტზე და მთლიანად ქალაქში ხასიათდება დადგებითი ტრენდით. ტრენდის დახმოადგენს კოეფიციენტი იცვლება ინტერვალში  $0.0017 - 0.091$ . 9 სთ-ზე ტრენდი უარყოფითია და გააჩნია დახმოადგენს მცირე კოეფიციენტი. მტკრის კონცენტრაციები იცვლება ინტერვალში  $0.20 - 1.20 \text{ м}^3/\text{მ}^3$ . ქალაქის ატმოსფეროს საშუალო დღიური კონცენტრაციის ცვლილებისათვის დამახასიათებელია 6 დღიანი პერიოდულობა, დადებითი ტრენდი, ტრენდის დახმოადგენს კოეფიციენტით  $0.0017$ . თებერვლის დასაწყისში კონცენტრაცია მაქსიმალურია 13 და 18 სთ-ებზე და ნაკლებია 9 სთ-ზე. თვის შუაში კონცენტრაცია მაქსიმალურია 9 და მინიმალურია 18 სთ-ზე.

2016 წლის მარტში მიღებულია კონცენტრაციის ცვლილების რთული სურათი (ნახ.5). არ შეიძლება კონცენტრაციის ცვლილების პერიოდულობა. ერთჯერადი კონცენტრაციების მნიშვნელობები იცვლება ინტერვალში  $0.02 - 1.00 \text{ м}^3/\text{მ}^3$ . ტრენდის დახმოადგენს კოეფიციენტები მცირეა და იცვლება შუალედში  $-0.0097$ -დან  $-0.0012$ -მდე. კონცენტრაციების მნიშვნელობები თვის სამივე ნაწილში 9 სთ-ზე მეტია, ვიდრე 18 სთ-ზე.

აპრილ - მაისის თვეები ხასიათდება კონცენტრაციების რხევებით 1 და 2 დღიანი პერიოდულობით, 9 სთ-ის კონცენტრაციების უარყოფითი, და 13-18 სთ-ების კონცენტრაციების სუსტი დადებითი ტრენდებით (ნახ.6, 7). უარყოფითია ასევე ქალაქის საშუალო დღიური კონცენტრაციების ცვლილების ტრენდი. მისი დახმოადგენს კოეფიციენტი  $-0.0017$ -ს. თვის დასაწყისში 18 სთ-ის საშუალო კონცენტრაცია აღემატება 9 და 13 საათის კონცენტრაციებს, ხოლო თვის შუა და ბოლო ნაწილებში საშუალო კონცენტრაციები ფაქტიურად ერთი და იგივეა.

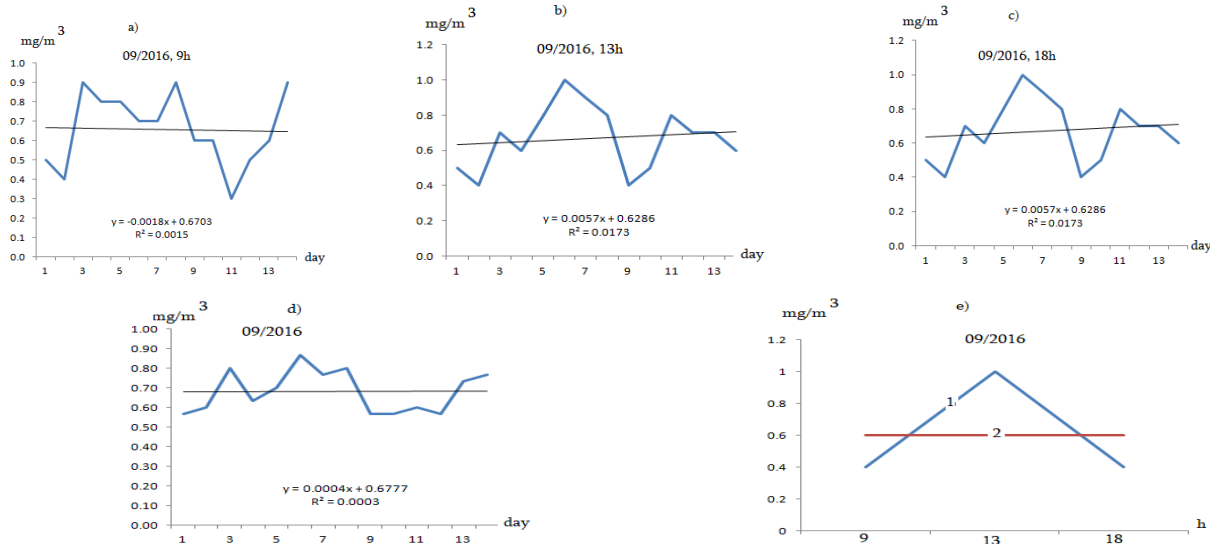
2016 წლის ივნისიდან სექტემბრის თვის ჩათვლით მტკრის კონცენტრაციაზე რეგულარული დაკვირვება წარმოებს ერთ სადამკვირვებლო პუნქტში (№ 6). ნახ.8-11-ზე ნაჩვენებია მიღებული შედეგები. ნახაზებიდან ჩანს, რომ ივნისისა და სექტემბრის თვეები ხასიათდება დიღის 9 სთ-ის კონცენტრაციების ფაქტიურად ნულოვანი ტრენდით, 13 და 18 საათის კონცენტრაციების ტრენდები ივნისის, აგვისტოს და სექტემბრის თვეებში დადგებითია, ხოლო ივლისის თვეში უარყოფითი. ანალოგიურია საშუალო დღიური კონცენტრაციების ტრენდები. რაც შეეხება კონცენტრაციის ცვლილებებს დიღის განმავლობაში, ის ხასიათდება ცვალებადობით, რომელშიც კანონზომიერების დადგენა პრაქტიკულად შეუძლებელია. გაზომვების მონაცემების თანახმად 2016 წლის 9 თვეში საშუალო თვიური კონცენტრაცია 0.6, ხოლო მაქსიმალური თვიური კონცენტრაცია 1.1  $\text{მ}^3/\text{მ}^3$ -ის ფარგლებში იცვლება.



ნახ. 10. მტკრის კონცენტრაციის მნიშვნელობები № 6 სადამკვირვებლო პუნქტში

9 (a) ແລະ 18 (c) ສອ-ທິກ; ສາທູາລາດນ ແລະ ໄງປ່າຍໂຮ ການແນວທີ່ຈະມີຄວາມ

9 (a), 13 (b) და 18 (c) სო-ზე თვის 5(1), 15(2) და 25(3) რიცხვებში (e); ტრენდის განტოლებები, გრაფიკები და დისპერსიის მნიშვნელობები 2016 წლის აგვისტოში



ნახ. 11. მტკრის კონცენტრაციის მნიშვნელობები № 6 სადამკერვებლო პუნქტში

9 (a), 13 (b) ও 18 (c) সেত-ৰ্গু; সাৰ্বজ্ঞালোক দণ্ডিকাৰি প্ৰক্ৰিয়াকৰণৰ দ্বাৰা মুক্তি প্ৰদান কৰিব।

9 (a), 13 (b) და 18 (c) სთ-ზე თვის 5(1), 15(2) და 25(3) რიცხვებში (e); ტრენდის განტოლებები, გრაფიკები და დისპერსიის მნიშვნელობები 2016 წლის სექტემბერში

### 3. დასკვნა.

ჩატარებული სტატიკური ანალიზით შეფასებულია ქ.თბილისის პავრის მტვრით დაბინძურების სურათი. განსაზღვრულია საშუალო დღიური და თვიური კონცენტრაციები. ნაჩვენებია, რომ საშუალო თვიური კონცენტრაციები იცვლება 0.6 - 2.2 ზდკ-ს ფარგლებში და ხასიათდება 2-4 დღიანი პერიოდულობით. კონცენტრაციების ცვლილების ტრენდები იცვლება ყოველთვიურად და არის როგორც დადებითი, ასევე უარყოფითი. თუ გავითვალისწინებთ, რომ 2017 წლიდან შეწყვეტილია დაკვირვებები ქ.თბილისის ატმოსფეროში ჯამური მტვრის შემცველობაზე, ნაშრომში მიღებულ შედეგებს ენიჭებათ გარკვეული მნიშვნელობა ამ დარგში მომუშავე სპეციალისტებისათვის.

=====  
**მადლიერების გამოხატვა.** კვლევა განხორციელდა საქართველოს შოთა რუსთაველის ეროვნული სამეცნიერო ფინანსური მხარდაჭერით [FR-18-3667].

#### **ლიტერატურა – REFERENCES – ЛИТЕРАТУРА**

1. А. А. Сурмава. Ежегодные данные загрязнения атмосферного воздуха на территории ГрузУГКС на 1986. Для служебного пользования. Тбилиси, 1986, 150 с.
2. А. А. Сурмава. Ежегодные данные загрязнения атмосферного воздуха на территории ГрузУГКС на 1987. Для служебного пользования. Тбилиси, 1987, 145 с.
3. А. А. Сурмава. Ежегодные данные загрязнения атмосферного воздуха на территории ГрузУГКС на 1988. Для служебного пользования. Тбилиси, 1988, 140 с.
4. გ.ს.გუნია. ატმოსფეროს ეკოლოგიური მონიტორინგის მეტეოროლოგიური ასექტები. საქ.მეც.აკადემიის ჰიდრომეტეოროლოგიის ინსტიტუტი(ჰმი), თბილისი, 2005, 265 გვ.

უაკ 504.5.054

ქ.თბილისის ატმოსფეროს მტვრით დაბინძურების ანალიზი მონიტორინგის ქსელის მონაცემების მიხედვით/კუხალაშვილი ვ., მდივანი ს., გიგაურინ., სურმავა ა., ინტეირველი ლ./სტუ-ის პმი-ის სამეცნ. რეფ. მრ. კრებ. – 2020. - გვ.77-83. - ქართ.; რებ.: ქართ., ინგლ., რუს. საქართველოს გარემოს ეროვნული სააგენტოს ატმოსფერული ჰაერის დაბინძურების მონიტორინგის მონაცემებზე დაყრდნობით გაანალიზებულია ქ.თბილისის ატმოსფეროში ჯამური მტვრის კონცენტრაციების ცვლილებები, დამტკერიანების სტატისტიკური მახასიათებელი პარამეტრების მნიშვნელობები და აგებულია ტრენდის გრაფიკები. ნაჩვენებია, რომ საშუალო თვიური კონცენტრაციები იცვლება 0.6 - 2.2 ზღვ-ს ფარგლებში და ხასიათდება 2-4 დღიანი პერიოდულობით. კონცენტრაციების ცვლილების ტრენდები იცვლება ყოველთვიურად და არის როგორც დადებითი, ასევე უარყოფითი.

UDC 504.5.054

Analysis of the Tbilisi Air Pollution with a Dust by Using the Data of the Monitoring Network./Kukhalashvili V., Mdivani S., Gigauri N., Surmava A. Intskirveli L./Scientific Reviewed Proceedings of the IHM, GTU. - 2020 - vol.129 - pp.77-83. Georg.; Abst.: Georg., Eng., Rus. Based on data from the monitoring network of the National Environmental Agency of Georgia, analyzing changes in dust concentration, values of statistical parameters characterizing the dustiness of Tbilisi and plotting the trend equation. It was shown, that monthly average concentrations vary within 0.6–2.2 MPC and are characterized by a periodicity of 2–4 days. Trends in concentrations change monthly and are both positive and negative.

УДК 504.5.054

Анализ загрязнения воздуха г. Тбилиси пылью по данным сети мониторинга/Кухалашвили В.Г, Мдивани С.Г., Гигаури Н.Г., Сурмава А.А., Инцкирвели Л.Н./ Науч. Реф. Сб. Труд. ИГМ ГТУ - 2020. вып.129 - с.77-83. Груз.; Рез.: Груз., Англ., Рус. На основе данных сети мониторинга Национального агентства окружающей среды Грузии проанализированы изменения концентрации пыли, значения статистических параметров характеризующие запыленность г.Тбилиси и построены графики уравнения тренда. Показано, что среднемесячные концентрации меняются в пределах 0.6 – 2.2 ПДК и характеризуются периодичностью 2-4 дня. Тренды изменения концентраций меняются ежемесячно и являются как положительными, так и отрицательными.

უაგ 631.41

**ამბროლაშვილის მუნიციპალიტეტის ნიადაგებაში დარიშხანის შემცველობის  
შიგნივრი კვლევა**

ლ.შავლიაშვილი<sup>1</sup>, მ.არაბიძე<sup>2</sup>, ე.ბაქრაძე<sup>2</sup>, გ.კუჭავა<sup>2</sup>, მ.ტაბათაძე<sup>1</sup>

<sup>1</sup>საქართველოს ტექნიკური უნივერსიტეტის ჰიდრომეტეოროლოგიის ინსტიტუტი,  
თბილისი, 0112, საქართველო, shavliashvililali@yahoo.com, m\_tabatadze@hotmail.com

<sup>2</sup>გარემოს დაცვისა და სოფლის მეურნეობის სამინისტროს გარემოს ეროვნული სააგენტო  
თბილისი, 0112, საქართველო, gkuchava08@gmail.com

ნიადაგის მძიმე ლითონებით დაბინძურების ხარისხის შეფასების საშუალებები, რომლებიც ამჟამად გარემოსდაცვითი ორგანიზაციების მიერ გამოიყენება, დაფუძნებულია მთავარი სტანდარტების ზღვრულად დასაშვები კონცენტრაციისა (ზღვა) და საორიენტაციო დასაშვები კონცენტრაციის (სდკ-ს) [1,2] გამოიყენებაზე. ეს სტანდარტები კანონმდებლობაში შემოვიდა უფრო პომოგენურ (წყალი, ჰაერი) გარემოში მუშაობის პრაქტიკიდან. ამ მიდგომის გამოიყენება ნიადაგებისათვის პრობლემურია, რადგან ისინი ჰეტეროგენულია და აერთიანებს ცოცხალ და არაცოცხალ, ნიადაგის მკვრივ, თხევად და აიროვან ფაზებს. ამიტომ აუცილებელია მეცნიერულად დაფუძნებული მიდგომა ნიადაგის შეფასებასთან დაკავშირებით, მისი ჰეტეროგენურობის გათვალისწინებით, როგორც მნიშვნელოვანი როტული მრავალკომპონენტიანი და მრავალფაზიანი ობიექტი.

ნაშრომის მიზნია საქართველოს ზოგიერთ რეგიონში (რაჭა-ლეჩხეუმი და ქვემო სვანეთი) ტექნოგენური პოლუტანტის - დარიშხანის კონცენტრაციების (1 კლასის საშიშროების) გავრცელების კანონზომიერების დადგენა. მიღებული შედეგების შეფასებისათვის გამოყენებული იყო ნიადაგის სტანდარტების სისტემა ზღვა, სდკ და კლარკები [1-3].

დარიშხანისა და მისი ნაერთების ტოქსიკურობა დიდი ხანია ცნობილია. გასული საუკუნის სამოცდათიან წლებში დადგენილი იყო მათი კანცეროგენური თვისებები. მიუხედავად ამისა, დარიშხანის ნაერთები ფართოდ გამოიყენება ტექნიკაში, სოფლის მეურნეობაში, მედიცინასა და სხვ., დარიშხანი დადამიწის ქრექის ბუნებრივი კომპონენტია და გავრცელებულია ნებისმიერ გარემოში, ჰაერში, წყალსა და ნიადაგში. მთელ რიგ ქვეყნებში დარიშხანი ბუნებრივადაა მიწისქვეშა წყლებში. იგი ბუნებაში წარმოდგენილია ორგანული და არაორგანული ფორმით, ეს უპანასკნელი კი ძალიან ტოქსიკურია. ამიტომ ბუნებრივ წყლებში, ნიადაგებში და სასურსათო პროდუქტებში დარიშხანის შემცველობის კონტროლი და გადანაწილების კანონზომიერებების შესწავლა ერთ-ერთი მნიშვნელოვანი და აქტუალური საკითხია მთელ მსოფლიოში.

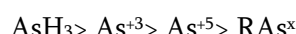
დარიშხანი და დარიშხანის შენაერთები შედის იმ 10 ტოქსიკური ელემენტის ჩამონათვალში (Hg, Pb, Cd, As, Ni და სხვ.), რომლებიც უქმნიან მნიშვნელოვან პრობლემებს ადამიანის ჯანმრთელობას (WHO) [4].

დარიშხანი და დარიშხანის ნაერთები მიეკუთვნებიან ადამიანისათვის დადასტურებულ კანცეროგენების, საშიშროების I კატეგორიას (IARC) [4,5].

მიუხედავად იმისა, რომ დარიშხანის ორგანიზმი მოხვედრის გზები შეიძლება იყოს კანი, სასუნოქი გზები, ის მაინც ძირითადად ადამიანის ორგანიზმი საკვებიდან და სასმელი წყლიდან ხვდება. ორგანული დარიშხანის სახეობები ყველაზე ხშირად არის ზღვის პროდუქტებში, ხოლო ხმელეთის პროდუქტებში ძირითადად 3-5 ვალენტიანი დარიშხანის ფორმებია და ერთეული ორგანული სახეობებია. აქედან გამომდინარე, დარიშხანი კვებით ჯაჭვი ერთვება ძირითადად დაბინძურებული ნიადაგიდან და წყლიდან [6,7].

დარიშხანი გეხვდება ყველა სახის ნიადაგში. მისი დაუანგვის ხარისხი სხვადასხვაა -3, 0, +3, +5; ძირითადად გავრცელებულია დარიშხანის სამეცნიერო - As<sub>2</sub>O<sub>3</sub> და დარიშხანის ხუთუანგი-As<sub>2</sub>O<sub>5</sub>. ტოქსიკურობის თვალსაზრისით მნიშვნელოვანია დარიშხანის ქლორიდი და ისეთი მარილები, როგორებიცაა ტყვიის არსენატი, სპილენდის აცეტარსენატი და არსინი (AsH<sub>3</sub>).

დარიშანშემცველი ნაერთების ტოქსიკურობის მწერივი შემდეგი სახით შეიძლება იყოს წარმოდგენილი:



ნიადაგში დარიშხანის მთავარ სამრეწველო მინერელს წარმოადგენს არსენიორიტი (FeAsS).

ბაზელის კონვენციის თანახმად დარიშხანი მიეკუთვნება კონტროლირებადი ნარჩენების კატეგორიას [8]. ყოველივე ზემოთქმული განაპირობებს, რომ დარიშხანი არის შეტანილი ნორმირებულ ნივთიერებების ნუსხაში.

### საკვლევი ზონა და მეთოდები

საქართველოს ტერიტორიაზე ათეული წლების მანძილზე მიმდინარეობდა დარიშხანის მაღნების მოპოვება, გადამუშავება და დარიშხანშემცველი პრეპარატების წარმოება (რაჭალებული და ქვემო სვანეთი).

სოფელ ურავში, რაჭის სამთო ქიმიურ ქარხანაში, საბადოდან 27 კმ-ის დაშორებით, ხდებოდა ლუხუნის დარიშხანშემცველი მაღნის გადამუშავება, მაღნის გამდიდრება, გამოწვა და თეთრი დარიშხანის ( $As_2O_3$ ) რაფინირება.

ლენტების რაიონში მუშაობდა ორი სამთო-ქიმიური ქარხანა – ცანისა და ყორულდაში.

ნარჩენები წარმოიქმნება დარიშხანის მაღნების გამოწვისას ან ბუნებაში დარიშხანიანი მაღნების გამოფიტვის შედეგად, დარიშხანის ანკიდრიდის ( $As_2O_3$ ) და სხვა ნაერთების სახით, რაც იწვევს მათ დაგროვებას წყალში, ნიადაგში, მცენარეებში.

1993 წელს ორივე ქარხანამ ფუნქციონირება შეწყვეტა. დღეისათვის ორივე საბადო დაკონსერვებულია და დარიშხანის წარმოება არ ხდება. პრობლემას წარმოადგენს დარიშხანშემცველი ნარჩენები და მიმდებარე ტერიტორიები, სახნავ-სათესი ნიადაგები. დღემდე სოფლებში ურავი და ცანა სამთო-ქიმიური ქარხნის ტერიტორიაზე ინახება საბჭოთა პერიოდიდან შემორჩენილი დარიშხანის წარმოების შედეგად დარჩენილი ტოქსიკური ნარჩენების (4-9% თეთრი დარიშხანის შემცველი 120 000 ტონაზე მეტი) დიდი რაოდენობა, რომელიც არ იყო უსაფრთხოდ განთავსებული და ქმნიდა მდინარეებში, გრუნტის წყლებში და ნიადაგებში ეკოლოგიური კატასტროფის მაღალ რისკს [9-12].

ადსანიშნავია, რომ 2014-2016 წლებში მიმდინარეობდა საქართველოს გარემოსა და ბუნებრივი რესურსების დაცვის სამინისტროსა და ნიდერლანდების ეკონომიკურ საქმეთა სამინისტროს ერთობლივი პროექტი ორმხრივი თანადაფინანსებით „დარიშხანის შემცველი სამთო ნარჩენების მართვა საქართველოში“, რომლის ფარგლებშიც განხორციელდა ამბოლაურის და ლენტების მუნიციპალიტეტებში დარიშხანშემცველი საშიში სამრეწველო ნარჩენების გაუცენებლუფის პირველი რიგის გადაუდებელი სამუშაოები.

მიუხედავად ჩატარებული სამუშაოებისა, მნიშვნელოვნად მაღალია ნიადაგში დარიშხანის შემცველობა. დარიშხანით ნიადაგის მაღალი დაბინძურების გამო საშიში ექმნებათ რეგიონის სამოვრებელი და სხვა სასოფლო-სამეურნეო დანიშნულების მიწებს, სასურსათო პროდუქტებს და აქედან გამომდინარე, ათასობით ადამიანის ჯანმრთელობასა და სიცოცხლეს.

2019 წელს საქართველოს გარემოსა დაცვისა და სოფლის მეურნეობის სამინისტროს გარემოს ეროვნულ სააგენტოს მიერ ამბოლაურის მუნიციპალიტეტის სხვადასხვა სოფლებში განხორციელდა საველე სამუშაოები: მოხდა ნიადაგის ნიმუშების აღება 0-5 და 5-20 სმ სიღრმეზე, განისაზღვრა დარიშხანის მოძრავი ფორმა [13]. საკვლევ მუნიციპალიტეტში (ამბოლაური) ძირითადად გავრცელებულია კორდიან-კარბონატული ნიადაგები, მათი საერთო ფართობი საქართველოში შეადგენს 4,5% (317 200 ჰა), რომლებიც ხასიათდებიან ნეიტრალური ან სუსტად ტუბე რეაქციით (pH მაჩვენებელი 7,0-7,7), თიხა ან თიხნარი მექანიკური შედეგებით, რკინის სილიკატური ფორმების სიჭარბით. ჰუმუსის შემცველობა ზომიერია ან მცირე. ნიადაგები ღრმად ჰუმუსირებულია, ჰუმუსის ტიპი ჰუმატურია. კარბონატების შემცველობა დიდ ფარგლებში (20-51%) მერყეობს. შოანთქმის კომპლექსი მაღალია ფუძეებით. თიხამინერალებში ჭარბობს მონტმორილონიტი და ჰიდროქარსები. ეს ნიადაგი გამოირჩევა მაღალი ნაყოფიერებით [14].

ნიადაგის ნიმუშების აღება, ეტიკეტირება, შენახვა და ტრანსპორტირება წარმოებდა შესაბამისი საერთაშორისო სტანდარტული ორგანიზაციის (ISO) მეთოდიკით. ლაბორატორიაში ჩატარებული სამუშაოს კვლევა წარმოებდა ISO და US EPA სტანდარტული მეთოდიკებით. ანალიზები განხორციელდა საქართველოს გარემოსა დაცვისა და სოფლის მეურნეობის

სამინისტროს გარემოს ეროვნული სააგენტოს ატმოსფერული ჰაერის, ნიადაგისა და წყლის ანალიზის ლაბორატორიაში შემდეგი ტექნიკური და ინსტრუმენტული უზრუნველყოფით:

პლაზმური-ემისიური სპექტრომეტრი ICP-OES;

1. ნიადაგის დამშლელი-Milestone – Start D Microwave system;
2. pH მეტრი - Milwaukee-Mi 150.

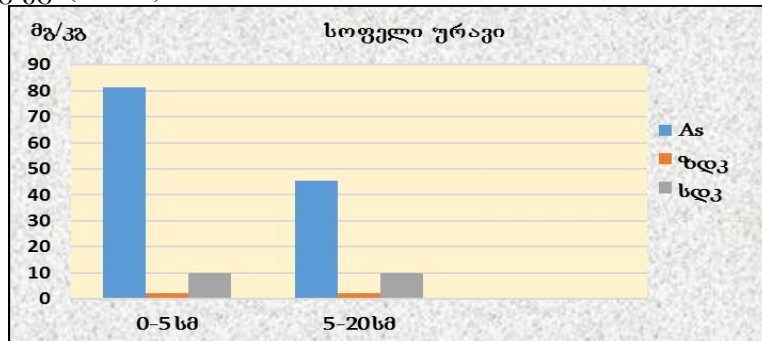
### შედეგები და ანალიზი

ჩვენს მიერ 2019 წელს შესწავლილი იყო დარიშხანის სამრეწველო ნარჩენებით დაბინძურებული ტერიტორიის ნიადაგების ქიმიური კვლევა. კერძოდ, ურავის, აბარის, უწერის, ლიხეთის და სორის ხეობის ნიადაგების დარიშხანით დაბინძურების კვლევა. შედეგები მოცემულია ცხრილ 1-ში, აქვე მოცემულია ზღვა, სდპ და კლარკის მნიშვნელობები.

#### ცხრილი 1. ამბოლაურის მუნიციპალიტეტის ნიადაგებში დარიშხანის შემცველობები, ნოემბერი, 2019

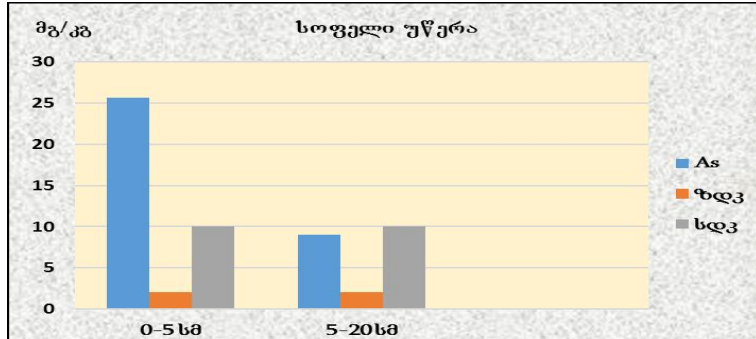
	სინჯის აღების ადგილი	კოორდინატები	As მგ/კგ
1	ურავი, 0-5 სმ	X-0359699	81.35
2	ურავი, 5-20 სმ	Y-4723094	45.33
3	უწერა, 0-5 სმ	X-0380753	25.65
4	უწერა, 5-20 სმ	Y-4722000	9.00
5	სორის ხეობა, 0-5 სმ	X-0360029	20.38
6	სორის ხეობა, 5-20 სმ		2.51
7	სორის ხეობა, 0-5 სმ	X-0359545	10.82
8	სორის ხეობა, 5-20 სმ		5.01
9	სორის ხეობა, ეკლესიის მიმდებარედ 0-5 სმ	X-0359193 Y-4714541	15.19 6.07
10	სორის ხეობა, ეკლესიის მიმდებარედ 5-20 სმ		20.00 10.55
11	ლიხეთი, 0-5 სმ	X-0359629 Y-4723832	16.37 10.92
12	ლიხეთი, 5-20 სმ		
13	აბარი, 0-5 სმ	X-0357634 Y-4719633	11.25
14	აბარი, 5-20 სმ		
15	აბარი, 0-5 სმ		10.53
	ზღვა		2
	სდპ		10
	კლარკი		1,7

ჩატარებული კვლევის შედეგების შეჯერების მიხედვით დარიშხანის (მოძრავი ფორმა) მაქსიმალური შემცველობა 2019 წლის ნოემბრის თვის მონაცემების მიხედვით, აღინიშნება ურავის ტერიტორიაზე 0-5 და 5-20 სმ სიღრმეზე შესაბამისად შეადგენს 81,35 (40,7 ზღვა)-45,33 (22,7 ზღვა) მგ/კგ (ნახ. 1).



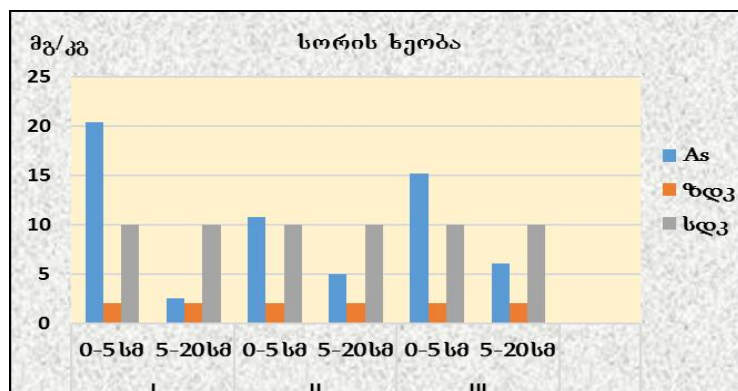
ნახაზი 1. დარიშხანის შემცველობა სოფ. ურავის ნიადაგებში 0-5 და 5-20 სმ სიღრმეზე  
 X-0359699 Y-4723094

სოფელ უწერაში დარიშხანის კონცენტრაცია შეადგენს 25,65 (12,8 ზღვ) – 9,00 (4,5 ზღვ) მგ/კგ 0-5 და 5-20 სმ სიღრმეზე (ნახ. 2).



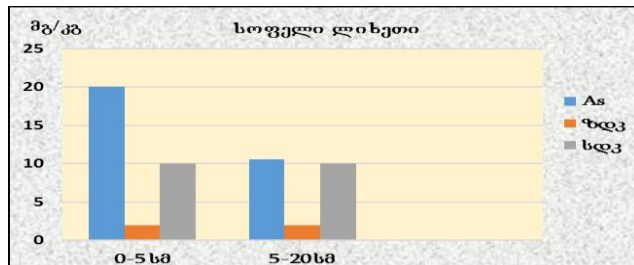
ნახაზი 2. დარიშხანის შემცველობა სოფ. უწერას ნიადაგებში 0-5 და 5-20 სმ სიღრმეზე X-0380753 Y-4722000

დარიშხანის კონცენტრაცია შედარებით იყლებს სორის ხეობაში, რომელიც განისაზღვრა 3 წერტილში და შეადგენს 20,38 (10,2 ზღვ); 15,19 (7,6 ზღვ) და 10,82 (5,4 ზღვ) მგ/კგ 0-5 სმ სიღრმეზე. დარიშხანის კონცენტრაცია გაცილებით ნაკლებია 5-20 სმ სიღრმეზე და შესაბამისად შეადგენს 2,51 (1,3 ზღვ); 6,07 (3,0 ზღვ) და 5,01 (2,5 ზღვ) მგ/კგ (ნახ. 3).



ნახაზი 3. დარიშხანის შემცველობა სორის ხეობის ნიადაგებში 0-5 და 5-20 სმ სიღრმეზე  
 I - X-0360029 Y-4717768; II - X-0359545 Y-4716415  
 III - X-0359193 Y-4714541 (ეკლესიის მიმდებარედ)

დაახლოებით ანალოგიური შედეგებია სოფ. ლიხეთში (20,00 (10,0 ზღვ) და 10,55 (5,3 ზღვ) მგ/კგ) (ნახ. 4).



ნახაზი 4. დარიშხანის შემცველობა სოფ. ლიხეთის ნიადაგებში 0-5 და 5-20 სმ სიღრმეზე X-0355715 Y-4717963

სხვა ობიექტებთან შედარებით სუფთაა სოფ. აბარი, სადაც დარიშხანის კონცენტრაცია განისაზღვრა ორ წერტილში და დარიშხანის მაქსიმალური კონცენტრაცია დაფიქსირდა 16,37 (8,2 ზღვ) მგ/კგ, ხოლო მეორე წერტილში კიდევ უფრო დაბალი-11,25 (5,6 ზღვ) მგ/კგ 0-5 სმ სიღრმეზე. სიღრმეში დარიშხანის კონცენტრაცია აქაც უფრო მცირდება (ნახ.5).

=====



ნახაზი 5. დარიშხანის შემცველობა სოფ. აბარის ნიადაგებში 0-5 და 5-20 სმ სიღრმეზე  
 I - X-0359629 Y-4723832; II - X-0357634 Y-4719633

### დასკვნა

რაჭა-ლექხეუმი და ქვემო სვანეთის რეგიონში (ამბროლაურის მუნიციპალიტეტი), გამოვლინდა რაჭის სამთო ქიმიური ქარხნის დარიშხანშემცველი საშიში სამრეწველო ნარჩენების ზემოქმედების შედეგად მუნიციპალიტეტის ნიადაგების დარიშხანით დაბინძურების დონე. ჩატარებული გამოკვლევების შედეგად შეგვიძლია განვაცხადოთ, რომ საჭიროა ანთროპოგენურ დატვირთვაზე მკაცრი კონტროლი ბუნებრივი წყლების, ნიადაგების და სასურსათო პროდუქტების სუფთა პირობების შესანარჩუნებლად და მათი დაბინძურებული სტატუსის გასაუმჯობესებლად.

აღნიშნულ მუნიციპალიტეტში შესწავლილი ნიადაგების ანალიზების მიღებული შედეგების საფუძველზე შეიძლება გამოითქვას შემდეგი დასკვნები:

1. ჩატარებული კვლევის შედეგების შეჯერების მიხედვით, დარიშხანით (მოძრავი ფორმა) ყველაზე დაბინძურებულია ურავის ნიადაგები. დარიშხანის მაქსიმალური შემცველობა 2019 წლის ნოემბრის მონაცემების მიხედვით, შესაბამისად შეადგენს 81,35 (40,7 ზდკ)-45,33 (22,7 ზდკ) მგ/კგ 0-5 და 5-20 სმ სიღრმეზე.
2. სოფელ უწერაში დარიშხანის კონცენტრაცია შეადგენს 25,65 (12,8 ზდკ) – 9,00 (4,5 ზდკ) იგივე სიღრმეებზე.
3. დარიშხანის კონცენტრაცია შედარებით იკლებს სორის ხეობაში, რომელიც განისაზღვრა 3 წერტილში და შეადგენს 20,38 (10,2 ზდკ); 15,19 (7,6 ზდკ) და 10,82 (5,4 ზდკ) მგ/კგ 0-5 სმ სიღრმეზე. დარიშხანის კონცენტრაცია გაცილებით ნაკლებია 5-20 სმ სიღრმეზე და შესაბამისად შეადგენს 2,51 (1,3 ზდკ); 6,07 (3,0 ზდკ) და 5,01 (2,5 ზდკ) მგ/კგ.
4. დაახლოებით ანალოგიური შედეგებია სოფ. ლიხეთში-20,00-10,0 ზდკ და 10,55-5,3 ზდკ მგ/კგ.
5. სხვა ობიექტებთან შედარებით სუფთაა სოფ. აბარი, სადაც დარიშხანის კონცენტრაცია განისაზღვრა ორ წერტილში და შეადგინა 16,37 (8,2 ზდკ) მგ/კგ, ხოლო მეორე წერტილში - კიდევ უფრო დაბალია - 11,25 (5,6 ზდკ) მგ/კგ 0-5 სმ სიღრმეზე. სიღრმეში დარიშხანის კონცენტრაცია აქაც უფრო მცირდება.

### ლიტერატურა – REFERENCES - ЛИТЕРАТУРА

1. მეთოდური მითითებები ნიადაგების ქიმიური ნივთიერებებით დაბინძურების საშიშროების ხარისხის შეფასებაზე - მმ 2.1.7. 004 – 03 (საქართველოს შრომის, ჯანმრთელობისა და სოციალური დაცვის მინისტრის ბრძანება №38/6 2003 წლის 24 ოქტომბერი, ქ. თბილისი).
2. О происхождении вещества земной коры // Геохимия. — 1961. № 1. — С. 3—29.
3. გ.სუპატაშვილი - გარემოს ქიმია (ეკოქიმია) - თბილისი, უნივერსიტეტის გამომცემლობა, 187გვ., 2009.
4. M.G. Skalnaya, A.V. Skalny, V.A. Demidov -, Dependence of the increased oncologic morbidity rate from the excessive contents of arsenic and other toxic chemical elements in environment". Микроэлементы в медицине, 2001 ст. 32-35.
5. ARSENIC AND ARSENIC COMPOUNDS IARC MONOGRAPHS – 100C, (IARC, 1980, 1987, 2004).  
<http://monographs.iarc.fr/ENG/Monographs/vol100C/mono100C-6.pdf>
6. Laferashvili K., Food safety, Georgian strategic researches and development centre Biuletin N111, 2008.
7. European population1 European Food Safety Authority 2, 3 European Food Safety Authority (EFSA), Parma, Italy.

- =====
8. The Basel Convention on the "Control of Transboundary Movements of Hazardous Wastes and their Disposal" 1989, 22 March, Basel (Switzerland) Georgia is a party of the convention from 1999y 20 May.
  9. R.Gigauri, N.Bibiashvili, L.Baghaturia - Monitoring and Remediation of Wastes of Racha-Svaneti in Georgian Regions - Chemical Materials of Georgia, T.15, # 1, p.119-122, 2015
  - 10.N.Bagrationi, L.Gvertsiteli, V.Gvakharia, A.Chirakadze, T.Sharashidze - "Ecological description of the Arsenic waste storage and warehousing facilities. Proceedings of the Georgian Academy of Sciences, # 4, 2014.
  - 11.Shavliashvili L., Bakradze E., Arabidze M. and Kuchava G. - Arsenic pollution study of the rivers and soils in some of the regions of Georgia". International Journal of Current Research Vol.9, Issue, 02, pp.47002-47008, February, 2017.
  - 12.G.Alexidze, R.Lolishvili - Basic Aspects of Georgia's Environmental Pollution - Materials of International Scientific Conference "Modern Technologies of Eco-friendly Products for Sustainable Development of Agriculture", Tbilisi, pp. 33-45, 2016.
  - 13.Фомин Г.С. Фомин А.Г. - Почва, контроль качества и экологические безопасности по международным стандартам. - Москва ВНИИ стандарт, 300 ст, 2001.
  - 14.თ.ურუშაძე - საქართველოს მირითადი ნიადაგები - „მეცნიერება“, თბილისი, 267 გვ., 1997.

#### უაკ 631.41

ამბოლაურის მუნიციპალიტეტის ნიადაგებში დარიშხანის შემცველობის ქიმიური კვლევა/შავლიაშვილი ლ., არაბიძე მ., ბაქრაძე ე., კუჭივა გ., ტაბათაძე ე./სტუ-ის პმი-ის სამეცნ. რევ. შრ. კრებ. - 2020. - გვ.84-89. - ქართ.; რეზ.: ქართ., ინგლ., რუს. 2019 წელს ამბოლაურის მუნიციპალიტეტში შესწავლილი იყო რაჭის სამთო ქიმიური ქარხნის დარიშხანშემცველი საშიში სამრეწველო ნარჩენების ზემოქმედების შედეგად ნიადაგების დარიშხანით დაბინძურების დონე კერძოდ, ჩატარდა ურავის, აბარის, უწერის, ლიხეთის და სორის ხეობის ნიადაგების დარიშხანით დაბინძურების კვლევა. გამოვლინდა, რომ ჩატარებული კვლევის შედეგების შეჯერების მიხედვით დარიშხანით უვალაზე დაბინძურებულია ურავის ნიადაგები. ნაკლებია დარიშხანით დაბინძურება სოფელ უწერაში, სორის ხეობასა და სოფელ ლიხეთში (დაბინძურების საშუალო დონე). შედარებით სუფთაა სოფელი აბარი, სადაც დაფიქსირდა დარიშხანით მცირე დაბინძურება. აღსანიშნავია, რომ ყველა შემთხვევაში დარიშხანის შემცველობა უფრო მაღალია ნიადაგის ზედა (0-5 სმ სიღრმე), ვიდრე ქვედა ფენაში (5-20 სმ სიღრმე).

#### UDC 631.41

**Chemical study of arsenic in soils of the municipality of Ambrolauri.**/ Shavliashvili L.,Arabidze M, Bakradze E., Kuchava G., Tabatadze M./.Scientific Reviewed Proceedings of the IHM, GTU. - 2020 - vol.129 - pp.84-89. Georg.; Abst.: Georg., Eng., Rus. In 2019, the level of soil pollution with arsenic was studied in the Municipality of Ambrolauri as a result of exposure to hazardous industrial waste containing arsenic from the Rachinsky mining and chemical plant. In particular, a study was conducted of arsenic contamination of soils in the villages of Uravi, Abari, Utsera, Likheti and the Sori gorge. It was revealed that: According to the results of the study, the soils are most polluted with arsenic in village Uravi. Less arsenic pollution is observed in village Utsera, in the Sori gorge and in village Likheti (medium level of pollution). Village Abara is relatively clean, with little arsenic contamination of soils. It should be noted that in all cases the arsenic content is higher in the upper part of the soil (depth 0-5 cm) than in the lower layer (depth 5-20 cm).

#### УДК 631.41

**Химическое исследование содержания мышьяка в почвах муниципалитета Амбролаури.**Шавлиашвили. Л.У, Арабидзе М.А.,Бакрадзе Е.М.,Кучава Г.П, Табатадзе М.М./Науч. Реф. Сб. Труд. ИГМ ГТУ - 2020. вып.129 - с.84-89. Груз.; Рез.: Груз., Англ., Рус. В 2019 году в муниципалитете Амбролаури был изучен уровень загрязнения почвы мышьяком результате воздействия опасных промышленных отходов, содержащих мышьяк Рачинского горно-химического комбината. В частности, было проведено исследование загрязнения мышьяком почв в селеньях Урави, Абари, Утсери, Лихети и

ущелье Сори. Выявлено, что: Согласно результатам исследования почвы наиболее загрязнены мышьяком в с. Урави. Меньшее загрязнение мышьяком наблюдается в с. Утсера, в ущелье Сори и в с. Лихети (средний уровень загрязнения). С. Абара относительно чиста, где наблюдалось малое загрязнения почв мышьяком. Следует отметить, что во всех случаях содержания мышьяка выше в верхней части почвы (глубина 0-5 см), чем в нижнем слое (глубина 5-20 см).

უაკ 504.064.2.001.18; 504.064.47; 519.257

მცხეთა-მთიანეთის ობიექტის მაღალმთიანი რურალურ ტერიტორიებზე  
არალეგალური ნაგავსაყრელებების ფარმაცევტის ალგათობის შესჯავლა

ნ.დვალიშვილი, ნ.ბუაჩიძე

საქართველოს ტექნიკური უნივერსიტეტის პიდრომეტეოროლოგიის ინსტიტუტი  
თბილისი, საქართველო, n.dvalishvili@gtu.ge, emc.buachidze@yahoo.com

პროექტი სრულდება შოთა რუსთაველის საქართველოს ეროვნული სამეცნიერო ფონდის  
დაფინანსებით (საგრანტო ხელშეკრულება: #FR-18-718)

დღესდღეობით საქართველოში აღირიცხება 50-მდე ოფიციალური (ლეგალური) ნაგავსა-  
ყრელი [1] და უამრავი მცირე ზომის არალეგალური ნაგავსაყრელი, რომელთა რაოდენობა  
და ადგილმდებარეობა მუნიციპალური სამსახურებისათვის მეტწილად უცნობია. საქართველ-  
ოს რაიონებში (განსაკუთრებით მაღალმთიან დასახლებებში) სრულყოფილად არ ხდება ნარ-  
ჩენების შეგროვების და გატანის მომსახურება, უამრავი სოფელი არ არის უზრუნველყო-  
ფილი საეციფიური სერვისით, რის გამოც მოსახლეობა იძულებულია ნარჩენები განათავსოს  
მათ მიერ თვითნებურად შერჩეულ ტერიტორიებზე. ქვეყანაში წარმოქმნილი ნარჩენების 52%-  
მდე უკონტროლოდ იყრება საცხოვრებელ აღგილებთან ახლოს - ხევებში, მდინარეების  
ნაპირებზე და არც თუ იშვიათად საძოვრებზე და სხვა.

ადსანიშნავია, რომ საქართველოში დღესდღეობით არალეგალურ ნაგავსაყრელებზე მოხ-  
ვედრილი მყარი საყოფაცხოვრებო ნარჩენები (მსნ) დიდი რაოდენობით შეიცავენ სახიფათო  
ნარჩენებსაც (ქვეყანაში სახიფათო ნარჩენების ნაგავსაყრელის არ არსებობის გამო), რამაც  
რეგიონებში მცხოვრებ მოსახლეობას ჯანმრთელობის თვალსაზრისით შესაძლებელია  
მომავალში არაერთი პრობლემა შეუქმნას.

ზედაპირული, გრუნტის და მინერალური წყლების დაბინძურება, აგრო-კულტურების  
მოწამვლა, ატმოსფერული ჰაერის დაბინძურება, ტყის ხანძრები, მოსახლეობის ინფეციური/  
ალერგიული დაავადებები ეს არის ჩვენი დაუღევრობის შედეგი, რომლის ერთ-ერთი მიზეზია  
არალეგალური ნაგავსაყრელების არსებობა. მათ მიერ მიყენებული ეკოლოგიური ზარალი  
ნებატიურად მოქმედებს საქართველოს რეგიონების სოციალურ-ეკონომიკურ განვითარებაზე -  
მოსახლეობის ცხოვრების დონეზე, ვნებს სახელმწიფო ეკონომიკას და ხელს უშლის  
ეკონომიკის ისეთი სექტორების განვითარებას, როგორიცაა ტურიზმი, სოფლის მეურნეობა ,  
რეგიონალური განვითარება და სხვა.

საქართველოში ნარჩენების მართვის მოგვარების მიზნით, 2015 წლის 15 იანვარს ძალაში  
შევიდა საქართველოს კანონი „ნარჩენების მართვის კოდექსი“, რომელიც პასუხობს საქართ-  
ველოს ეკონომიკურთან ასოცირების ხელშეკრულებით ნაკისრ ვალდებულებებს. კოდექსის  
მიზანია ნარჩენების მართვის სფეროში სამართლებრივი საფუძვლების შექმნა ისეთი დონისძ-  
იებების განხორციელებისათვის, რომლებიც ხელს შეუწყობს ნარჩენების წარმოქმნის პრევე-  
ნციას, მათი ხელახალი გამოყენების ზრდას და ნარჩენების გარემოსთვის უსაფრთხო გზით  
განთავსებას [2]. ნარჩენების მართვის მიმართულებით არსებული სიტუაციის შეფასების, გა-  
მოვევების იდენტიფიცირებისა და პრობლემების გადაჭრის გზების ჩამოყალიბების მიზნით,  
საქართველოს მთავრობის №160 დადგენილებით დამტკიცდა „ნარჩენების მართვის 2016-2030  
წლების ეროვნული სტრატეგია“ და „2016-2020 წლების ეროვნული სამოქმედო გეგმა“ [3].

ბოლო პერიოდში ნარჩენების მართვის მიმართულებით განხორციელებული საკანონმდებ-  
ლო ცვლილებების მიუხედავად, ვერ ხორციელდება არალეგალური ნაგავსაყრელების იდენ-  
ტიფიკაცია, მათი რეგებითაციის გეგმის შემუშავება და ლიკვიდაცია. საქართველოს მუნიციპა-  
ლიტებებიდან შეგროვილი სტატისტიკური მონაცემების ანალიზის საფუძველზე გამოვლინ-  
და, რომ მთელ რიგ სოფლებში, განსაკუთრებით მაღალმთიან რეგიონებში, ვერ ხორციელდე-  
ბა ნარჩენების გატანის მომსახურეობის მიწოდება და მიუხედავად სახელმწიფო პოლიტიკი-  
სა, კვლავ აქტუალურია არალეგალური ნაგავსაყრელების საკითხი და მათი ნეგატიური გავ-  
ლენა გარემოს ობიექტებზე.

ამ კუთხით მეტად საყურადღებოა საქართველოს მაღალმთიანი რეგიონები, რომლებიც  
დაბლობთან და ურბანულ რეგიონებთან შედარებით მნიშვნელოვანი სტრუქტურული სისუს-  
ტეებით ხასიათდებიან - ესენია ეკონომიკის სუსტი დივერსიფიკაცია, მოსახლეობის მიგრა-  
ცია, უკიდურესი სიდარიბე, სუსტი ინფრასტრუქტურა, ჯანდაცვის სტრუქტურული ერთეულ-  
ების ნაკლებობა, საჯარო სერვისებზე შეზღუდული ხელმისაწვდომობა და სხვა. ყოველივე  
ეს მოცემულ რეგიონებში განაპირობებს საქართველოში გავრცელებული პრობლემის – არა-  
ლეგალური ნაგავსაყრელების წარმოქმნის დიდ ალბათობას და მოითხოვს აღნიშნული  
პრობლემის კომპლექსურ გადაწყვეტას. მაღალმთიან რეგიონების განვითარების ხელშეწყობ-  
ის მიზნით, 2015 წლს მიღებულ იქნა „მაღალმთიანი რეგიონების განვითარების შესახებ“ სა-  
ქართველოს კანონი. კანონის თანახმად ასევე, შეიქმნა მთის განვითარების ეროვნული საბ-  
ჭო, რომელიც მაღალმთიანი რეგიონების განვითარებაზე მუშაობს. საქართველოს ტერიტო-

რიის 66% მაღალმონაბი რაიონებისგან შედგება, სადაც მუდმივად ცხოვრობს ქვეყნის მოსახლეობის 6.5% [5]. საქართველოს მაღალმონაბი რეგიონები დაბლობთან და ურბანულ რეგიონებთან შედარებით მნიშვნელოვანი სტრუქტურული სისუსტეებით ხასიათდება - ესენია ეკონომიკის სუსტი დივერსიფიკაცია, მოსახლეობის მიგრაცია, უკიდურესი სიდარიბები, სუსტი ინფრასტრუქტურა, ჯანდაცვის სტრუქტურული ერთეულების ნაკლებობა, საჯარო სერვისებზე შეზღუდული ხელმისაწვდომობა და სხვა. ყოველივე ეს მოცემულ რეგიონებში განაპირობებს საქართველოში გავრცელებული პრობლემის - არალეგალური ნაგავსაყრელების წარმომნის დიდ ალბათობას და მოითხოვს აღნიშნული პრობლემის კომპლექსურ გადაწყვეტას.

არალეგალური ნაგავსაყრელების უმეტესი ნაწილის წარმოქმნას განაპირობებს სამი ძირითადი მიზეზი: ნარჩენების შეგროვებისა და გატანის დაუფარავი ზონები, ნარჩენების გატანის არასაკმარისი სიხშირე და მოქალაქეთა უპასუხისმგებლო საქციელი, რომელიც ძირითადად მათი ცნობიერების დაბალი დონით აისხება. პირველ ორ შემთხვევასთან მიმართებაში აუცილებელია სათანადო დეტალური კვლევის განხორციელება, რომელიც მოიცავს არალეგალური ნაგავსაყრელების წარმოქმნის ალბათობის განსაზღვრას, მათი ლოკალიზაციისა და მარშრუტების შედარებითი ანალიზის განხორციელებას, ხოლო მესამე შემთხვევაში როგორც აღგილობრივ მოსახლეობასთან ასევე აღგილობრივი თვითმმართველობის წარმომადგენლებთან სისტემატური შეხვედრების განხორციელებას, რათა გავუზიაროთ მათ ყველა ის ძირითადი პრობლემები და საკითხები, რაც დღესდღეობით არსებობს ჩვენს ქვეყანაში მოცემულ პრობლემასთან მიმართებაში.

მიმდინარე კვლევის მიზანს წარმოადგენდა საქართველოს მაღალმონაბი რეგიონებისათვის არალეგალური ნაგავსაყრელების წარმოქმნის ალბათობის დადგენის ინტეგრირებული მეთოდოლოგიის შემუშავება და გამოყენება მცხეთა-მთიანეთის რეგიონის მაგალითზე.

აღნიშნული მეთოდოლოგია წარმოადგენს ინოვაციურ მიდგომას ქვეყნის გეოგრაფიულად რთულ არეალში არსებული არალეგალური ნაგავსაყრელების ლიკვიდაციის პროცესში – არალეგალური ნაგავსაყრელების თეორიული ინვენტარიზაციის მეთოდოლოგიის შემუშავებით მიღებული შედეგების გადამოწმება მოხდა დისტანციურად მართვადი უპილოტო საფრენი აპარატის (დროი) გამოყენებით და საექსპედიციო სამუშაოების განხორციელებით, თეორიული და დისტანციური მონაცემების დაზუსტების მიზნით.

თეორიული მიდგომა გულისხმობს სტატისტიკური მონაცემების შეგვროვების საფუძველზე არალეგალური ნაგავსაყრელების წარმოქმნის ალბათობის განსაზღვრას ჩვენს მიერ შემუშავებული მათემატიკური ფორმულის გამოყენებით (1). აღნიშნული ფორმულა საშუალებას მოგვცემს საკვლევ ტერიტორიაზე სერვისის გარეშე დარჩენილი ნარჩენების სავარაუდო რაოდენობის განსაზღვრას და შესაბამისად არალეგალური ნაგავსაყრელის/ნაგავსაყრელების არსებობა/წარმოქმნის ალბათობას. ამისათვის განხორციელდება საჭირო მონაცემების შეგროვება ორი კატეგორიის ობიექტებისათვის: საცხოვრებელი და კომერციული (რესტორნები, სასტუმროები, ოფისები, სავაჭრო ცენტრები და სხვა (ასეთის არსებობის შემთხვევაში)). შედეგებით და გამოყენებული იქნება კითხვარები, როგორც მოსახლეობის/პერსონალისათვის ისე მუნიციალიტეტებისათვის, რომლებიც შეივსება საკვლევ ობიექტზე (საცხოვრებელი და კომერციული ფართი) მცხოვრები/მომუშავე ოჯახების/პერსონალის გამოკითხვის საფუძველზე. კერძოდ, მოსახლეობის/პერსონალის/კლიენტის რაოდენობა, სპეციფიური სერვისის არსებობა/სიხშირე/ეფექტურობა, კონტენერების რაოდენობა (ზომების მიხედვით), ნარჩენების რაოდენობა ერთ სულ მოსახლეზე, ნარჩენების მეორადი გამოყენების არსებობა.

$$D = (AC - (Ln(L) + Sn(S))fq) / AC \cdot 100\%, \quad (1)$$

სადაც, D-შესაძლო არალეგალური ნაგავსაყრელების წარმომქმნელი პროცენტული მაჩვენებელი;

A-ნარჩენების რაოდენობა ერთ სულ მოსახლეზე; C-მოსახლეობის რაოდენობა; L- დიდი კონტენერის ტევადობა, კგ; n(L)-დიდი კონტენერის რაოდენობა, ცალი; S-პატარა კონტენერის ტევადობა, კგ; n(S)-პატარა კონტენერის რაოდენობა, ცალი; f-შეგროვების სიხშირე (ნაგვის მანქანის მომსახურების სიხშირე კვირაში), კოეფიციენტი 0-დან 1-მდე; q-შეგროვების ეფექტურობა, კოეფიციენტი 0-დან 1-მდე;

აპარატები: 2015 წლიდან 2017 წლამდე, გრავიმეტრიული მეთოდით, ჩვენ გამოვიკვლიუთ მყარი საყოფაცხოვრებო ნარჩენების (მსნ) რაოდენობა და მორფოლოგიური შემადგენლობა

საქართველოს ყელა რეგიონში განსაზღვრულ იქნა შოთა რუსთაველის ეროვნული სამეცნიერო ფონდის (SRNSFG) მხარდაჭერით [6] შესრულებულ პროექტის „საქართველოში მყარი საყოფაცხოვრებო ნარჩენების დაგროვების რაოდენობის და მორფოლოგიური შემადგენლობის დადგენის მეთოდოლოგიის შემუშავება და მონაცემთა ბაზის შექმნა“ # FR / 88 /9-220/ 14 ფარგლებში (ცხრ.1). პროექტის შედეგების თანახმად, მსნ-ს საშუალო რაოდენობა საქართველოში მცხოვრებ ერთ სულ მოსახლეზე შეადგენს 250 კგ/კაცი/წელი, ხოლო საქართველოს სოფლო რეგიონებში 75-80 კგ/კაცი/წელი. აღნიშნული მკვეთრი სხვაობა, როგორც ზემოთ უკვე აღინიშნა, ამ რეგიონებს სასხოვრებელი პირობებითა და თავისებური სტანდარტებით აიხსნება.

#### ცხრილი 1. მსნ-ს მორფოლოგიური შემადგენლობა საქართველოში

მინა	ქაღალდი	მეტალი	პლასტმასი	პამპერსი	რეზინი/ტყავი/ტექსტილი	ხე	წვრილი	სახიფათო	საკვები	სულ
თბილისი										
3.5	13.2	1.7	15.2	8.0	2.2	0.7	3.7	0.8	51.1	100.0
აჭარა										
2.8	15.5	2.5	15.4	7.2	1.7	0.2	9.8	0.8	44.1	100.0
გურია										
2.2	11.6	3.5	15.5	5.7	0.4	0.5	17.7	0.8	42.2	100.0
სამეგრელო-ზემო სვანეთი										
2.6	9.9	1.9	12.1	7.0	1.2	1.5	19.5	0.8	43.8	100.0
რაჭა-ლეჩხეთი										
2.4	13.5	1.5	13.2	9.0	1.3	0.2	16.5	0.4	42.0	100.0
იმერეთი										
0.5	9.2	0.3	1.9	9.1	1.0	0.1	29.2	0.6	48.2	100.0
მცხეთა-მთიანეთი										
1.5	9.9	3.8	15.5	5.9	1.8	0.7	16.0	1.0	43.9	100.0
შიდა ქარტლი										
3.1	11.3	2.8	15.6	5.2	0.5	0.7	16.7	0.3	43.7	100.0
ქვემო ქართლი										
0.7	11.3	3.0	13.8	7.9	1.6	0.4	19.2	0.7	41.4	100.0
სამცხე-ჯავახეთი										
2.8	12.0	3.2	13.8	6.8	0.8	0.8	10.8	0.4	48.7	100.0
კახეთი										
2.8	11.2	2.9	11.5	5.0	1.0	0.3	22.6	0.5	42.3	100.0
საშუალო										
2.4	11.9	2.7	14.2	6.8	1.3	0.6	15.3	0.8	44.1	100.0

C,L,S,n(L),n(S) პარამეტრები მოწოდებულ და შემდგომ დადგენილ იქნა მუნიციპალიტეტის სამსახურის მიერ და მოსახლეობის გამოკითხვის შედეგად. ცხრილი 2 –ში წარმოდგენილია მუნიციპალიტეტებისათვის შედგენილი კითხვარის მაგალითი, რომლის საშუალებით დადგენილ იქნა აღნიშნული პარამეტრები.

#### ცხრილი 2. მუნიციპალური სამსახურებისათვის მომზადებული კითხვარები

№	1	2	3
1	მუნიციპალიტეტის ერთეული	დასახელება	
2	მოსახლეობის მთლიანი რაოდენობა	კაცი	
3	მოსახლეობის რაოდენობა, რომელსაც არ მიეწოდება ნაგვის გატანის სერვისი	კაცი/კომლი	

4	სოფლების რაოდენობა	ერთეული	
5	მაღალ მთიანი სოფლების რაოდენობა	ერთეული	
6	მაღალ მთიანი სოფლები ყველაზე ნაკლებად დასახლებული		
7	მაღალ მთიანი სოფლები ყველაზე მჭიდრო დასახლებით		
8	მაღალ მთიანი სოფლები სადაც არ არის საგზაო ინფრასტრუქტურა		
9	ნაგავშემკრები კონტეინერების საერთო რაოდენობა და ტიპი (მოცულობა)	ერთეული და დასახელება	
10	მაღალ მთიანი სოფლები სადაც არ დგას ნაგავშემკრები კონტეინერები		
11	მაღალ მთიანი სოფლები სადაც არ გმსახურება ნაგავმზიდი		
12	ნაგავმზიდების საერთო რაოდენობა		
13	მაღალ მთიანი სოფლები სადაც აღრიცხულია არალეგალური ნაგავსაყრელი	დასახელება და არალეგალური ნაგავსაყრელების რიცხვი	

ცხრილ 3-ში მოცემულია  $f$  და  $q$  პარამეტრების შეფასების მიხედვით ნარჩენების შეგროვების ეფექტურობა ამა თუ იმ რეგიონში.

### ცხრილი 3. ნარჩენების შეგროვების სიხშირის კოეფიციენტების კლასიფიკაცია და ნარჩენების შეგროვების ეფექტურობა

$f$	ნარჩენების შეგროვების სიხშირე	$q$	ნარჩენების შეგროვების ეფექტურობა
0	არა	0	არა
0.2	ერთხელ თვეში	0.2	ძალიან ცუდი
0.4	ერთხელ კვირაში	0.4	ცუდი
0.6	ორჯერ კვირაში	0.6	დამაკმაყოფილებელი
0.8	ყოველ მეორე დღეს	0.8	კარგი
1	ყოველდღე	1	ძალიან კარგი

საკლევი რეგიონის შესახებ დამატებითი ინფორმაცია მოპოვებულ იქნა საქართველოს სტატისტიკის ეროვნული სამსახურის ონლაინ რესურსის დახმარებით [7], კერძოდ მცხეთა მთიანეთის რეგიონისათვის:

მოსახლეობის რაოდენობა: 159 900 კაცი, ტერიტორიული ფართობი: 6 786 კმ<sup>2</sup>

მუნიციპალიტეტების რაოდენობა – 4, ესენია: მცხეთის, სტეფანწმინდის, დუშეთის და თიანეთის, სულ სოფლების რაოდენობაა - 485, აქედან 375 მაღალმთიანი სოფელია. მუნიციპალიტეტების ინფორმაციის დასუფთავების სამსახურით მოსარგებლე მოსახლეობის წილი შეადგენს 65%-ს, რომელთაც ემსახურება სამი ოფიციალური ნაგავსაყრელი.

ჩვენს მიერ შემოთავაზებული ფორმულით კალკულაციის საშუალო შედეგი მცხეთა-მთიანეთის რეგიონისათვის მოყვანილია მე-4 ცხრილში, საიდანაც ჩანს, რომ საკლევი რეგიონისათვის საშუალოდ მაღალმთიან რურალურ ტერიტორიებზე არალეგალური ნაგავსაყრელების წარმოქმნის ალბათობა შეადგენს 54.1%. ამასთან მცხეთა-მთიანეთის მუნიციპალიტეტებს შორის გამოვლინდა მნიშვნელოვანი განსხვავება ნარჩენების მართვის კუთხით (ცხრ. 5). ცხრილი 5-დან ჩანს, რომ მეტად რთული მდგომარეობა აღინიშნება დუშეთის მუნიციპალიტეტში, სადაც აღნიშნული შედეგი უახლოვდება 70%-ს, ხოლო უკეთესი მდგომარეობაა ყაზბეგსა და მცხეთის მუნიციპალიტეტში, რაც აიხსნება ბოლო ორის ტურუსტული პოლიტიკის გავლენით.

### ცხრილი 4. მცხეთა-მთიანეთის რეგიონის მაღალმთიანი რურალურ ტერიტორიებზე არალეგალური ნაგავსაყრელების წარმოქმნის ალბათობის კალკულაცია

პარამეტრი	განზომილება	აღვნიშვნა	მაჩვენებელი
მსნ რაოდენობა	კგ/კაცი/დღე	A	0.3

მოსახლეობის რაოდენობა	კაცი	C	10 392
დიდი კონტეინერების ტევადობა	კბ	L	220
დიდი კონტეინერების რაოდენობა	ცალი	n(L)	80
პატარა კონტეინერების ტევადობა	ჯბ	S	20
პატარა კონტეინერების რაოდენობა	ცალი	n(S)	15
მსნ შეგროვების სიხშირე	-	f	0.4
მსნ შეგროვების უფარცელობა	-	q	0.2
წარმოქმნილი მსნ საერტო რაოდენობა	კბ/დღე	B	2 599.0
გატანილი მსნ საერტო რაოდენობა	კბ/დღე	E	$L^*n(L)+S^*n(S)*f*q$
დარჩენილი მსნ საერტო რაოდენობა	კბ/დღე	H	B-E
არალეგალური ნაგავსაყრელების წარმოქმნის ალბათობა	%	D	H/B*100
			54.1

ცხრილი 5. მცხეთა-მთიანეთის რეგიონის მუნიციპალიტეტების მაღალმთიანი რურალურ ტერიტორიებზე არალეგალური ნაგავსაყრელების წარმოქმნის ალბათობის კალკულაცია

პარამეტრი	განზომილება	აღვნიშვნა	მაჩვენებელი			
			კაცები	უზრუნველყოფა	დიოდები	მისამართი
მსნ რაოდენობა	კბ/კაცი/დღე	A	0.35	0.3	0.25	0.3
მოსახლეობის რაოდენობა	კაცი	C	1090	2400	4402	2500
დიდი კონტეინერების ტევადობა	კბ	L	220	220	220	220
დიდი კონტეინერების რაოდენობა	ცალი	n(L)	17	25	17	21
პატარა კონტეინერების ტევადობა	ჯბ	S	20	20	20	20
პატარა კონტეინერების რაოდენობა	ცალი	n(S)	0	3	7	5
მსნ შეგროვების სიხშირე	-	f	0.4	0.4	0.4	0.4
მსნ შეგროვების უფარცელობა	-	q	0.2	0.2	0.2	0.2
წარმოქმნილი მსნ საერტო რაოდენობა	კბ/დღე	B	A*C	381.5	720	1100.5
გატანილი მსნ საერტო რაოდენობა	კბ/დღე	E	$L^*n(L)+S^*n(S)*f*q$	299.2	444.8	310.4
დარჩენილი მსნ საერტო რაოდენობა	კბ/დღე	H	B-E	82.3	275.2	790.1
არალეგალური ნაგავსაყრელების წარმოქმნის ალბათობა	%	D	H/B*100	21.5	38.2	71.8
						49.7

საინტერესო აგრეთვე მცხეთა-მთიანეთის მაგალითზე უკანონო ნაგავსაყრელების სავარაუდო რაოდენობის გამოვთვალა:

- 375 მაღალმთიანი სოფელი (რომელთა შორის მნიშვნელოვანი ნაწილი დაუსახლებელია);
- 1 685.6 კბ საყოფაცხოვრებო ნარჩენების ნაშთები (წინა ცხრილი) - ნარჩენების რაოდენობა, რომლებიც ნაგავსაყრელზე გადააქვთ;
- 180-250 კბ მსნ ავსებს 1 მ3 მოცულობისა და 80 მ2 ფართობის არალეგალურ ნაგავსაყრელის
- შესაბამისად, არალეგალური ნაგავსაყრელის ტერიტორია, რომელიც ყოველდღე ყალიბდება -  $1685.6 \times 80 = 134880$ ;  $134880 / 250 = 539.52$  მ2;
- არალეგალური ნაგავსაყრელების საშუალო ფართობი საქართველოში - 3.582 (282 დან 582 მ2) [8];

- შესაბამისად, შეგვიძლია გამოვთვალოთ ბუნებრივი უკანონო ნაგავსაყრელების სავარაუდო რაოდენობა მცხეთა-მთიანეთის ტერიტორიაზე - 539: 3.5 = 154 არალეგალური ნაგავსაყრელი.

თეორიული გათვლები შეიძლება შევადაროთ ჩვენს მიერ ექსპედიციების მეშვეობით იმ სოფლების (82 სოფელი) ჩამონათვალს, სადაც აღმოჩენილ იქნა 1-2, ზოგ შემთხვევაში კი 3 არალეგალური ნაგავსაყრელი (ძირითადად ლოკალურად ნაგავსაყრელების რაოდენობა დამოკიდებულია მოსახლეობის სიმჭიდროვეზე და სოფლისა და თავად ნაგავსაყრელის ფართობზე)

დუშეთის მუნიციპალიტეტი: გრემისხევი, პეტრიანი, მიქელიანი, ქარქუშანი, ჭართალი, მენესო, ქვეშეთი, არახევთი, ზაქათგარი, ნაღვარევი, სეთურნი, ჯაღმიანი, მაღრანი, ძველი ოსები, დაგათი, თანიანთკარი, ზედა მლეთა, ქვედა მლეთა, როშკა, შატილი, გუდანი, დოლოშა.

ყაზბეგის მუნიციპალიტეტი: აჩხოვი, სნო, ახალციხე, კარგუჩა, ჯუთა, არშა, სიონი, ვარდისუბანი, ფხელშე, გაიბოტენი, თოთი, ქოსელი, ართხმო, მნა, ოქროყანა, ქვემო, ოქროყანა, შევარდენი, კართხოფელი, ალმასიანი, უხათი, ნოგაუ, აბანო, კეტისი, ტეფი, გიმარა, ცოცოლთა, ბურმასიიგი, დესი, სუარისი, რესი.

**თიანეთის მუნიციპალიტეტი:** საჭურე, ომარაულები, ფიჭვიანი, ზემო არტანი, ქვემო არტანი, ბოდახევა, თეთრაულები, სახევი, სხლოვანი, ქუშხევი, დორდა, ჭიაურა, ხაიშო, კაწალო, ბუჭყინტა, ვერხეველი, ქვემო შარახევი, ძებნიაურები, წანდრიხევი, წიკვლიაანებუ, ბოკონი, უვჯენტი, ჟებოტა

მცხეთის მუნიციპალიტეტი: ბევრეთი, მსხალდიდი, შანკევანი, შრალხევი, კევლიანი, თეზამი, სხალტბა.

ამრიგად ჩვენს მიერ დამუშავებული თეორიული მეთოდოლოგიით მიღებული შედეგები კარგ თანხვედრაშია ექსპერიმენტულად მიღებულ შედეგებთან, რაც გულისხმობს მისი გამოყენების შესაძლებლობას სტატისტიკური მონაცემების საფუძველზე ექსპლიციების გარეშე განვსაზღვროთ არალეგალური ნაგავსაყრელების მაშტაბები თითოეული მუნიციპალიტეტებისათვის, რაც თავის მხრივ საშუალებას მოგვცემს წინასწარ ვივარაუდოთ და განვსაზღვროთ არალეგალური ნაგავსაყრელების წარმოქმნის ალბათობა ძნელად მისადგომ რაიონებში. აქედან გამომდინარე ჩვენს მიერ მიღებული შედეგების საფუძველზე შეიქმნება შესაძლებლობა იმისა, რომ სახელმწიფომ განსაზღვროს თუ რა რაოდენობის და რა ტიპის სამუშაოები უნდა ჩაატაროს მომავალში მან მაღალმოიან ძნელად მისასვლელ რეგიონებთან მიმართებაში.

## ლიტერატურა – REFERENCES – ЛИТЕРАТУРА

1. <http://waste.gov.ge>
  2. <https://matsne.gov.ge/ka/document/view/2676416?publication=9>
  3. <https://matsne.gov.ge/document/view/3242506?publication=0>
  4. <http://www.parliament.ge/ge/saparlamento-saqmianoba/komitetebi/regionuli-politikis-tvitmmartvelobis-da-magalmtiani-regionebis-komiteti-145/kanonmdebloba/magalmtniani-regionebis-ganvitarebis-shesaxeb>
  5. <https://1tv.ge/news/maghalmtniani-dasakhlebis-statusi-1715-dasakhlebas-maghalmtni-dasakhlebashi-mudmivad-mckhovrebi-piris-statusi-ki-237-469-moqalaques-mienicha/>
  6. <http://ecohydmet.ge/narchenebi.html>
  7. <http://geostat.ge>
  8. პროექტი “დაგასუფთაოთ საქართველოს” ანგარიშებიდან <http://orkisi.ge>

504.064.2.001.18; 504.064.47; 519.257

მცხეთა-მთიანეთის რეგიონის მაღალმთიანი რუტალურ ტერიტორიებზე არალეგალური ნაგავსაყრელების წარმოქმნის ალბათობის შესწავლა/დგალიშვილი ნ, ბუაჩიძე ნ./სტუ-ის პმი-ის სამეცნ. რევ. შრ. კრებ. – 2020. - ტ.129. - გვ.90-96. - ქართ; რეზ.: ქართ, ინგლ., რუს. მიმდინარე კვლევაში, ადგილობრივი მუნიციპალიტეტების მხარდაჭერით, მცხეთა-მთიანეთის მაღალმთიანი რეგიონისთვის შეკრებილ იქნა მონაცემები, რომელებიც გვიჩვენებს: მოსახლე-

ობის რაოდენობას, ნარჩენების გამომწვევი ძირითადი წყაროების არსებობას, შეგროვებული ნარჩენების რაოდენობას, ეფექტურობას და სიხშირეს, შესაბამისი ტექნიკის არსებობა/გამოყენებას და ა.შ. ამ ყველა მონაცემიდან გამომდინარე, ჩვენ მიერ შემუშავებული მეთოდოლოგიის გამოყენებით, გამოვთვალიერ არალეგალური ნაგავსაყრელების წარმოქმნის აღბათობა შესწავლიდ რეგიონში.

**UDC** 504.064.2.001.18; 504.064.47; 519.257

**Study of the Probability of the Formation of Illegal Landfills in the High Mountainous Rural Territories of Mtskheta-Mtianeti Region.**/Dvalishvili N., Buachidze N./.Scientific Reviewed Proceedings of the IHM, GTU. - 2020 - vol.129 - pp.90-96. Georg.; Abst.: Georg., Eng., Rus. In this research, with the support of the local municipality, we've collected for Mtskheta-Mtianeti highland region the data showing: the number of population, existence of the main sources causing waste, the quantity, efficiency and frequency of waste collection, the relevant technic availability etc. Based on all these data by apply our methodology, we count a probability of existence of the illegal landfills that can exist in the region.

УДК 504.064.2.001.18; 504.064.47; 519.257

**Исследование вероятности формирования незаконных свалок в высокогорных сельских районах Мцхета-Мтианетского региона.**/Двалишвили Н.Л., Буачидзе Н.С./ Науч. Реф. Сб. Труд. ИГМ ГТУ - 2020. вып.129 - с.90-96. Груз.; Рез.: Груз., Англ., Рус. В данном исследовании при поддержке местных муниципалитетов для горной сельской местности региона Мцхета-Мтианети мы собрали следующие данные: численность населения, наличие основных источников, вызывающих отходы, количество, эффективность и периодичность сбора отходов, наличие соответствующей техники и т. д. На основании всех этих данных, с применением разработанной нами методологии, мы рассчитали вероятность существования незаконных свалок, которые могут образоваться в регионе.

უაკ. 551.583

ნალექთა ხელოვნური რეგულირების სამუშაოთა ჩატარების  
სამართლებრივი ასპექტები

კაპანაძე ნ., ბერიტაშვილი ბ., ცინცაძე თ.

საქართველოს ტექნიკური უნივერსიტეტის პიდრომეტეოროლოგიის ინსტიტუტი,  
თბილისი, საქართველო, knaili1990@gmail.com

ნალექთა ხელოვნური რეგულირება არის გარკვეულ ტერიტორიაზე ადამიანის ხელოვნური ჩარევა ბუნებრივ პროცესებში, რომელიც უნდა იმართებოდეს „გარემოს დაცვის შესახებ საქართველოს კანონის“ შესაბამისად. ამ კანონის ბოლო რედაქციის (01.01.2017 წ.) I თავის, მე-5 მუხლის „2.პ“ პუნქტის თანახმად, რომელსაც შეესაბამება „გარემოს დაცვის ძირითადი პრინციპები“-დან „მდგრადობის პრინციპი“, აღნიშნული საქმიანობის განხორციელებისას საშიშროება არ უნდა ექმნებოდეს საზოგადოების განვითარებას და უზრუნველყოფილი უნდა იყოს გარემოსა და ბუნებრივი რესურსების დაცვა შეუძლებელი რაოდენობრივი და ხარისხობრივი ცვლილებებისაგან.

აღმოსავლეთ საქართველოში 1980-იან წლებში წარმოებული ნალექთა ხელოვნური გაზრდის (ნებ) სამუშაოები გარემოზე ზემოქმედების მასშტაბებით ბევრად ჩამოუვარდებოდა მსხვილ დასახლებათა (თბილისი, რუსთავი) გარემოზე ზემოქმედებას ტრანსპორტისა და სამრეწველო გამონაბოლქვის მოცულობის თვალსაზრისით, მაგრამ ხანგრძლივი და უწყვეტი ზემოქმედების შედეგად მას შეუძლია გარკვეული ცვლილებების შეცანა ისეთი მგრძნობიარე ელემენტების მსვლელობაში, როგორიცაა აღმოსფერული ნალექები, პარის სინოტივე და ტემპერატურა, ზედაპირული ჩამონადენი, მიწისქვეშა წყლების დონე და სხვ.

კლიმატური მონაცემების თანახმად, ჰიდრომეტეოროლოგიის ინსტიტუტის ნებ პოლიგონებისა და მათ მიმდებარე ტერიტორიებზე, ნალექთა სეზონური ჯამების ბუნებრივი გარიაციები საშუალოდ 20-25% ფარგლებში იცვლება. ამავე დროს დაკვირვების 10-წლიანი პერიოდის განმავლობაში ჩატარებულმა გამოკლეულმა აჩვენა, რომ წლის თბილ პერიოდში ზემოქმედების შედეგად ნალექთა სეზონური ჯამების გაზრდა საკვლევ ტერიტორიაზე შესაძლებელია მაქსიმუმ 10-15%-ით, რაც თითქმის ორჯერ ნაკლებია მათი ბუნებრივი გარიაციის ფარგლებზე. ამის გათვალისწინებით, ნაშრომში [1] მიღებული დასკვნის თანახმად, შედარებით ხანმოკლე დროის მონაცემებში (5-10 წელი) ნებ სამუშაოებს არ შეუძლია მნიშვნელოვანი გავლენის მოხდენა ბუნებრივი გარემოს დატენიანების რეჟიმზე. თუმცა, ახალი ტექნოლოგიების გამოყენებით, ნალექთა (წვიმისა და სეტემბრის) რეჟიმის შესაცვლელად გამიზნული ფართომასტრაბული და ხანგრძლივი პროცესის გარკვეული ტრანსფორმირება. ეს, თავის მხრივ, გამოიწვევს რეგიონში კლიმატის შესაბამის ცვლილებას მასთან დაკავშირებული ეკოლოგიური შედეგებით [2], რაც შეიძლება უარყოფითად აისახოს საზოგადოების განვითარებაზე და გამოიწვიოს მოსახლეობის უკმაყოფილება. აღნიშნული საკითხი დეტალური სამეცნიერო განხილვის საგნად უნდა იქცეს მანამ, სანამ გადაწყვეტილი შერჩეულ რეგიონში მაკრისტალებელი რეაგენტის გამოყენებით ფართომასტრაბული ზემოქმედების სამუშაოთა ჩატარება ნალექთა ხელოვნური გამოწვევის მიზნით. ამ გამოკლევაში გათვალისწინებული უნდა იყოს როგორც გარემოს დაჭუჭყიანება გამოყენებული რეაგენტებით, ასევე ეკოსისტემების ადაპტირება ზემოქმედების შედეგად შეცვლილ კლიმატურ პირობებთან.

როგორც ცნობილია, 1961 წელს საქართველოში, პირველად ყოფილ საბჭოთა კავშირში შეიქმნა სეტემბრის საწინააღმდეგო სამსახური. სეტემბრისაში დრუბლების დასამუშავებლად ორი წლის განმავლობაში AgI-ით დამუხტული რაკეტები გამოიყენებოდა. იმის გამო, რომ ქვეყანაში ვერცხლის დიდი დეფიციტია, ხოლო სეტემბრის საწინააღმდეგო სამუშაოები სულ უფრო და უფრო მეტ ფართობს მოიცავდა, საკავშირო ორგანოებმა გადაწყვიტეს აღნიშნული რეაგენტი შეცვლილიყო ტოქსიკური იოდოვანი ტყვიით ( $PbI_2$ ), რომელიც 22 წლის განმავლობაში, 1963 წლიდან 1984 წლის ივლისამდე გამოიყენებოდა სასოფლო-სამეურნეო კულტურების სეტემბრისაგან დასაცავად. ცხადია, ეს ქმედება ეწინააღმდეგება „რისკის შემცირების პრინციპს“ (თავი I, მუხლი 5, პუნქტი „2.პ“), რომლის მიხედვითაც საქმიანობის სუბიექტი თავისი საქმიანობის დაგეგმვისა და განხორციელებისას ვალდებულია მიიღოს სათანადო ზომები გარემოზე და ადამიანის ჯანმრთელობაზე მავნე ზემოქმედების რისკის თავიდან ასაცილებლად ან შესამცირებლად.

კახეთში გარემოს ტყვიით შესაძლო გაჭუჭყიანების კონტროლის მიზნით თბილისის სახელმწიფო უნივერსიტეტის ანალიზური ქიმიის კათედრა ზომავდა ტყვიის შემცველებას საწარმოო ობიექტებისა და ავტომაგისტრალებიდან მოშორებით, აღმოსფერულ პარამეტრების და ნალექებში, კვების პროდუქტებში, ზედაპირულ და გრუნტის წყლებში. გაზომვის შედეგების თანახმად არც ერთ გარემოში ტყვიის მომატების რაიმე საშიში გადახრები არ აღნიშნულა.

1981-1984 წლებში, როდესაც განსაკუთრებით დიდი იყო იოდოვანი ტყვიით დამუხტული რაკეტების ხარჯი, და მოსახლეობამ ატეხა განგაში სისხლში ტყვიის დონის მომატების შესახებ, საქართველოს სსრ მეცნიერებისა და ტექნიკის სახელმწიფო კომიტეტის ხელმძღვანელობით გეოლოგიის ინსტიტუტის ლაბორატორიამ დამატებითი კვლევები ჩაატარა კახეთის რეგიონში. აღმოჩნდა, რომ ტყვიის შემცველობა ალაზნის ველის ზედაპირულ და გრუნტის წყლებში 2,9 მკგ/ლ-ს შეადგენდა, შეტივნარებულ და ფსკერის ნალექებში 25-22 მკგ/გ-ს, მარცვლეულში 0.3-0.4 მკგ/ს. 1981-1983 წლის მოსავლის დვინოებში 0-დან 11.5 მკგ/ლ-მდე და არაფრით არ განსხვავდებოდა სხვა რეგიონების მონაცემებისაგან. ლაბორატორიული გაზომვების დასკვნის მიხედვით ზოგჯერ ატმოსფერულ ჰაერსა და ნალექებში ტყვიის შემცველობა ფონურ მნიშვნელობაზე მაღალი, ხოლო ზდებზე დაბალი იყო და ადამიანის ჯანმრთელობის თვის არავითარ საშიშროებას არ წარმოადგენდა. მიუხედავად მიღებული დამაიმედებელი დასკვნებისა, გადაწყვეტილების მიღება, იოდოვანი ტყვიის სერტიფიკატის დასამუშავებლად გამოყენების შესახებ, არასწორ ნაბიჯად შეიძლება ჩაითვალოს. დაცული უნდა იქოს გარემოს დაცვის კანონის თავი I-ის, 5-ე მუხლის, „2.გ“ პუნქტით განსაზღვრული პრიორიტეტულობის პრინციპი“, რაც იმას ნიშნავს, რომ ქმედება, რომელმაც შეიძლება გამოიწვიოს უარყოფითი ზეგავლენა გარემოზე და ადამიანის ჯანმრთელობაზე, შეიძლება შეიცვალოს სხვა, ნაკლებრისკიანი, თუნდაც უფრო ძვირად დაგენერირდებული ქმედებით. პრიორიტეტი ენიჭება უკანასკნელს, თუ მისი დირექტულება არ აღმატება ნაკლებადლირებული ქმედებით მიუწებული ეკოლოგიური ზიანის შედეგად ზარალის ანაზღაურების ხარჯებს.

1979 წლიდან, ნებ სამუშაოთა დაწყების შემდეგ, პიდრომეტეოროლოგიის ინსტიტუტის მიერ იორის პოლიგონსა და მის მიმდებარე საკონტროლო ტერიტორიებზე სისტემატურად გარდებოდა, გარემოს დაჭუჭიანების კონტროლის მიზნით, საექსპერიციო გაზომვები. 1981 წლიდან აღნიშნულ გაზომვებს დაემატა ხრამი-ფარავნის პოლიგონზე პერიოდულად ჩატარებული გაზომვებიც. ეს სამუშაოები გულისხმობდა ინსტიტუტის სპეციალიზებული ლაბორატორიის თანამშრომლების მიერ, მძიმე ლითონების კონცენტრაციის დადგენის მიზნით, სინჯების აღებას ჰაერში, ატმოსფერულ ნალექებში, ზედაპირულ წყლებსა და ნიადაგში. ანალიზის შედეგად მიღებული მონაცემებით გამოვლენილი იქნა, რომ გარემოს აღნიშნულ კომპონენტებში მძიმე ლითონების შემცველობა იცვლება ნორმის ფარგლებში და ნალექთა ხელოვნური გაზრდის სამუშაოები არ ახდენს გავლენას მათ კონცენტრაციებზე.

ამ მონაცემების დასაზუსტებლად მოგვიანებით, 2000 წლისთვის [1] დამატებით ჩატარდა ნებ სამუშაოებში გამოყენებულ რეაგენტში შემავალი ელემენტებით – ვერცხლითა და იოდით ბუნებრივი გარემოს დაბინძურების ახალი შეფასებები. აღნიშნულ იქნა, რომ ატმოსფეროში გაფრქვეული ვერცხლის იოდიდი, მზის ულტრააისფერი გამოსხივების ზეგავლენით, განიცდის სწრაფ დეგრადაციას და 2-6 საათის შემდეგ იშლება შემადგენელ ელემენტებად. მათი საშუალო კონცენტრაცია ჰაერში, მსოფლიოს სხვადასხვა რეგიონში ჩატარებული გაზომვების თანახმად, ზემოქმედების დღეებში იცვლება შეალენდში  $(1.1\text{--}2.4)\cdot10^{-7}$  მგ/მ, ხოლო მაქსიმალური კონცენტრაცია ერთჯერადი ზემოქმედების არეში შეადგენს  $(1.6\text{--}1.8)\cdot10^{-5}$  მგ/მ, რაც 5 რიგით ნაკლებია ნორმატულ დოკუმენტებით ორივე ელემენტისთვის ( $\text{Ag}$  და  $\text{I}$ ) დასაშვებ კონცენტრაციაზე.

ამრიგად, იორის პოლიგონის ფუნქციონირების შემთხვევაში 16.8 გ  $\text{AgI}$ -ის შემცველი სეტყვასაწინააღმეგო რაკეტა „ალაზანში“ გამოყენებული რეაგენტით სარგებლობის დროს გარემოს მნიშვნელოვანი დაჭუჭიანება მოსალოდნელი იქნება ათასობითი წლის შემდეგ [1], რა დროშიც კაცობრიობა დრუბლებზე ზემოქმედებისათვის, შესაძლებელია, სულ სხვა ტექნოლოგიებზე გადავიდეს. რაც შეეხება ზამთრის პერიოდში მთიან რეგიონებში ნებ სამუშაოთა სისტემატურა და ხშირა გამოყენებამ შეიძლება მოსახლეობის მხრიდან უარყოფითი რეაქცია გამოიწვიოს გზებზე დიდოროვლობის შედეგად სატრანსპორტო მიმოსვლის გართულების გამო.

უკანასკნელ ხანებში ერთ-ერთი უმნიშვნელოვანეს პრობლემას წარმოადგენს გარემოს დაცვა ისეთი ფიზიკური ფაქტორებისაგან, როგორიცაა: ხმაური, ვიბრაცია, ულტრაბაგერა, ელექტრომაგნიტური გამოსხივება, რადიაციის ზემოქმედება (თავი VIII, მუხლი 29, პუნქტები „1.ბ“ და „1.გ“).

სეტყვის საწინაღმდეგო სამუშაოების მიმდინარეობის პერიოდში კახეთის მოსახლეობაში გავრცელდა მოსაზრება რადიოლოკაციური სადგურებით განპირობებული რადიაციული ფონის მომატების შესახებ. მეტეოროლოგიური რადიოლოკატორი (მრლ) რადიაციის გამოსხივების არა, მაგრამ რადიოსის შირის ელექტრომაგნიტური ველების (ემვ) გამოსხივების ძირითადი წევაროს კი ნამდვილად წარმოადგენს. თუმცა რადიოლოკაციური სისტემების მიერ შექმნილი ელექტრომაგნიტური სიგნალი პრინციპულად განსხვავდება სხვა წევაროების გამოსხივებისაგან, რაც გამოწვეულია იმით, რომ ანტენის პერიოდულად სივრცეში გადაადგილება იწვევს გამოსხივების სივრცით წევეტილობას. გამოსხივების დროში წევეტილობა კი განპირობებულია გამოსხივებაზე რადიოლოკატორის მუშაობის ციკლურობით. მაგ. მრლ-ის ჯამური ნამუშევარი დროითი წევეტილობით (30 წთ გამოსხივება, 30 წთ -პაუზა) დღედამეში 12 საათს არ აღემატება, მაშინ, როდესაც აეროპორტების რლ სადგურები უმეტეს შემთხვევაში დღედამურ რეჟიმში მუშაობს. წრიული მიმოხილვის მახვილად მიმართული ანტენების გამოყენება იწვევს ზემაღალი სისტერის დიაპაზონის ელექტრომაგნიტური გამოსხივების ინტენსივობის მნიშვნელოვნად გაზრდას და ქმნის გარემოში ენერგიის ნაკადის მაღალი სიმკვრივის დიდი დაძაბულობის ზონებს, რაც განსაკუთრებით არახელსაყრელ პირობებს უქმნის აეროპორტის მახლობლად განთავსებულ საცხოვრებელ რაიონებს [3].

რაც შეეხება ნალექთა ხელოვნური რეგულირების სამუშაოებში გამოყენებული ზემადალი სისტერის მეტეოროლოგიური რადიოლოკატორების გამოსხივებას, ჯანმრთელობისთვის საზიანოა მხოლოდ ანტენის გამოსხივების არეში მოხვედრისას რამდენიმე ათეული მეტრის მანძილზე, საკმაოდ ხანგრძლივი დროის განმავლობაში. ეს პრობლემა მოხსნილია, რადგან მრლ სადგურები შემაღლებულ ადგილებზეა განთავსებული და ანტენა პორიზონტის დაბლა არასოდეს არ ეშვება. ამასთან ერთად სისტემატურად იზომება გამოსხივების სიმკვრივე, რათა დასაშვებ ნორმას არ გადააჭარბოს.

ატმოსფერულ პროცესებზე ზემოქმედების კიდევ ერთ სამართლებრივ ასპექტს წარმოადგენს მეზობელ ქვეყნებს შორის ნალექთა ტერიტორიული გადანაწილების საკითხი, რომელიც რეგულირდება გარემოს დაცვის სფეროში კომპეტენციათა გამიჯვნის კრიტერიუმით (თავი IV, მუხლი 12, პუნქტი „1.გ“).

აღმოსავლეთ საქართველოს ტერიტორიაზე წლის თბილ პერიოდში ნალექწარმომქნელი პროცესების შემოჭრას უმეტესწილად ადგილი აქვს დასავლეთიდან. ამ პერიოდში ნალექის მომცემი საღრუბლო სისტემების გადაადგილება ხდება საქართველოდან აზერბაიჯანის მიმართულებით. ნალექთა ხელოვნურმა გაზრდამ ზაფხულის კონვექციური ღრუბლებიდან შესაძლოა საზოგადოების ნაწილში გამოიწვიოს პროტესტი იმის გამო, რომ საქართველო ნებ სამუშაოებით თითქოს „ითვისებს“ წვიმის იმ რაოდენობას, რომელიც ბუნებრივად უნდა მოსულიყო მის აღმოსავლეთით მდებარე ტერიტორიებზე. სპეციალისტებს შორის ამ საკითხზე დავა თითქმის დასრულებულია, რადგანაც როგორც თეორიულად [4], ისე საველე დაკვირვებებითაც [5] დადგენილია, რომ ფრონტალური პროცესების დროს ჰაერის მოძრავ მასაში ხდება ნალექწარმომქნელი პროცესების სწრაფი რეგენერაცია სხვადასხვა ფიზიკური თვისებების მქონე ჰაერის მასების ინტენსიური შერევის შედეგად. ამ მასშტაბური პროცესების ფონზე ცალკეული რაიონის ფარგლებში ღრუბლის ნალექწარმომქნელ მექანიზმზე დოკალური ზემოქმედება ვერ ახდენს შესამჩნევ გავლენას ნალექთა გენერირებასა და გამოყოფაზე მთლიანი რეგიონის მასშტაბით. რაც შეეხება ჰაერის ცალკეულ მასაში წარმოქმნილი შიდამასიური კონვექციური ღრუბლებიდან ნალექების გამოწვევას, რომელთა წილი აღმოსავლეთ საქართველოს პირობებში 30-40%-ს შეადგენს [6]. ზემოქმედებამ შესაძლებელია მართლაც გამოიწვიოს გარკვეული ცვლილება ნალექთა ტერიტორიულ განაწილებაში კავკასიონის სამხრეთ ფერდობებით დაკავებულ ამ რეგიონში. თუმცა საერთაშორისო თანამშრომლობის ფარგლებში ანალოგიური სამუშაოების გაგრძელება ისტორიული საინგილოს ტერიტორიაზე აზერბაიჯანსაც სასიკეთოდ წაადგებოდა მინგეჩაურის წევალსაცავის წევლის დამატებითი რესურსებით შევსების გამო. აქვე ისიც უნდა აღინიშნოს, რომ შრომაში [5] მიღებული შედეგი, კახეთის რაიონებში სეტყვისთან ბრძოლის სამუშაოთა სეზონურ ნალექებზე უმნიშვნელო გავლენის შესახებ, მიუთითებს იმაზე, რომ ნებ სამუშაოებში ერთი რიგით ნაკლები კონცენტრაციით რეაგენტის დოზირება ოპტიმალურია ღრუბლის გარკვეულ სტადიაზე ნალექთა სტიმულირებისათვის, 1 რიგით გაზრდილი დოზირება კი იწვევს ნალექწარმომქნელი პროცესების ჩასრობას. რაც შეეხება ცივ პერიოდში სამხრეთ კავკასიის ქვეყნებს შორის ნალექთა გადანაწილების პრობლემას ნებ სამუშაოთა ჩატარების შემთხვევაში, აზერბაიჯანის-

თვის ნაკლებად აქტუალურია საქართველოს მიმდებარე რაიონებში ოვალის სიმცირის გამო, ხოლო სომხეთისათვის საჭირო მოითხოვს დამატებით გამოკლევას.

ამრიგად, დასკვნის სახით შეიძლება ითქვას, რომ ბუნების დაცვის შესახებ საქართველოს კანონის „გარემოზე ზემოქმედების შეფასების პრინციპის“ თანახმად (თავი I, მუხლი 5, პუნქტი „2.ქ“) სუბიექტი თავისი საქმიანობის პროექტირების ან დაგეგმვის შემთხვევაში ვალდებულია გაითვალისწინოს და შეაფასოს ამ საქმიანობის შესაძლო ზემოქმედება გარემოზე კანონით დადგენილი წესით. კერძოდ, ნალექთა ხელოვნური რეგულირების მიზნით ფართო-მასშტაბური ზემოქმედების სამუშაოების დაწყებამდე დეტალურად უნდა იქნას გამოკვლეული როგორც გარემოს დაჭრულებისა ნება გამოყენებული რეაგენტებით, ასევე ეკოსისტემების ადაპტირება ზემოქმედების შედეგად შეცვლილ კლიმატურ პირობებთან. დაცული უნდა იყოს მოსახლეობა ფიზიკური ფაქტორების (ელექტრომაგნიტური ან რადიაციული გამოსხივება) უარყოფითი ზემოქმედებისაგან. მოგვარებული უნდა იქნას მეზობელ ქვეყნებს შორის ნალექთა ტერიტორიული გადანაწილებასთან დაკავშირებული პრობლემები და სხვ.

## ლიტერატურა – REFERENCES – ЛИТЕРАТУРА

1. Амиранашвили А.Г., Бахсолиани М.Г., Бегалишвили Н.А., Берадзе Н. И., Бериташвили Б.Ш., Рехвиашвили Р.Г., Цинцадзе Т.Н., Рухадзе Н.П., Капанадзе Н.И. О возобновлении работ по регулированию осадков в Восточной Грузии. Труды Института гидрометеорологии АН Грузии, 2002, том 108, с. 249-260.
  2. Денис А. Изучение погоды засевом облаков „Мир“, Москва, 1983.
  3. ჩეკიძე ლ. გარემოს ფიზიკური დაბინტერება, საქართველოს ტექნიკური უნივერსიტეტი, თბილისი 2013, 498 გვ.
  4. Ломинадзе В.П., Робиташвили Г.А., Цицвашвили Ш.И. К вопросу теории фронтов и фронтальных облаков. Труды VIII Всесоюзной конференции по физике облаков и активным воздействиям. Гидрометеоиздат, Ленинград, 1970, с. 31-47.
  5. Ватиашвили М.Р., Капанадзе Н.И., Одикадзе М.Я. Перераспределения осадков в районах Восточной Грузии при воздействии на градовые процессы. Труды Всесоюзного семинара „Активные воздействия на градовые процессы и перспективы усовершенствования льдообразующих реагентов для практики активных воздействий“. Гидрометеоиздат, Москва, 1991, с. 243-251.
  6. ჯავახიშვილი შ. ატმოსფერული ნალექები საქართველოს ტერიტორიაზე. თხუ გამომცემლობა, თბილისი, 1981, გვ. 61-63.

ეგვ. 551.583

ნალექთა ხელოვნური ოგულირების სამუშაოთა ჩატარების სამართლებრივი ასპექტები.  
/კაპანაძე ნ., ბერიტაშვილი ბ., ცინცაძე თ./სტუ-ის პმი-ის სამეცნ. რეფ. შრ. კრებ. – 2020. -  
გ.129. - გვ.97-101. - ქართ.; რეზ.: ქართ., ინგლ., რუს. ნალექთა ხელოვნური ოგულირება არის  
გარკვეულ ტერიტორიაზე ადამიანის ხელოვნური ჩარევა ბუნებრივ პროცესებში, რომელიც  
უნდა იმართებოდეს „გარემოს დაცვის შესახებ საქართველოს კანონის“ შესაბამისად. დადგე-  
ნილი იქნა, რომ ხანძოკლე დროის მონაკვეთში (5-10 წელი) ნალექთა ხელოვნური გაზრდის  
(ნებ) სამუშაოებს არ შეუძლია მნიშვნელოვანი გავლენის მოხდება ბუნებრივი გარემოს და-  
ტენიანების რეჟიმზე. 16.8 გ AgI-ის შემცველი სეტყვასაწინააღმეგო რაკეტით სარგებლობის  
დროს გარემოს მნიშვნელოვანი დაჭუქებიანება მოსალოდნელი იქნება ათასობითი წლის  
შემდეგ. რაც შეეხება იოდოვან ტყვიის გამოყენებას სეტყვის დრუბლების დასამუშავებლად,  
მიუღებელი აღმოჩნდა მისი ტოქსიკურობის გამო. გარემოს დაცვის შესახებ კანონის თანა-  
ხმად, მოსახლეობა დაცული უნდა იყოს ისეთი ფიზიკური ფაქტორებისაგან, როგორიცაა  
ელექტრომაგნიტური ან რადიაციული გამოსხივება. ასევე მნიშვნელოვანია, ნებ სამუშაოების  
შესაძლო ჩატარების შემთხვევაში, მეზობელ ქვეყნებს შორის ნალექთა ტერიტორიული  
გადანაწილებასთან დაკავშირებული პრობლემების მოგვარება.

UDC. 551.583

**The legislative aspects of precipitation artificial modification activities.** /Kapanadze N., Beritashvili B., TsintsadzeT./.Scientific Reviewed Proceedings of the IHM, GTU. - 2020 - vol.129 - pp.97-101. Georg.; Abst.:

Georg., Eng., Rus. The precipitation artificial modification means human interference in natural processes on definite territory, which would be ruled under "Georgian law on Environmental Protection". It has been ascertained that during short period (5-10year) weather modification couldn't significantly impact on moisture regime of natural environment. The significant environmental pollution using 16.8gr AGI untilail missiles would be expected after thousands of years. As for lead iodide using for hail clouds, it turned out to be unacceptable because of its toxicity. According to the Law on Environment protection the population must be protected from such physical factors as are electromagnetic or radioactive radiation. Also it is important to settle problems between neighboring countries which may be raised during weather modification activities.

УДК. 551.583

**Правовые аспекты проведения работ по искусственному регулированию осадков./Капанадзе Н.И., Бериташвили Б.Ш., Цицадзе Т.Н./Науч. Реф. Сб. Труд. ИГМ ГТУ - 2020. вып.129 - с.97-101. Груз.; Рез.: Груз., Англ., Рус. Искусственное регулирование осадков (ИРО) на определенной территории есть вмешательство в природные процессы. При их проведении необходимо руководствоваться „законом Грузии об охране окружающей среды“. Установлено, что за короткий период времени (5-10лет) работы по увеличению осадков не могут значительно повлиять на естественный режим влажности окружающей среды. При использовании противоградовых ракет содержащих AgI (16.8 г) загрязнение может стать значительным только через тысячу лет. Что касается ракет с PbI<sub>2</sub>, их применение не желательно из-за токсичности. Согласно закона об окружающей среде население должно быть защищено от вредного электромагнитного и радиационного излучений. При проведении работ по ИРО необходимо согласование с соседними государствами по территориальному распределению осадков.**

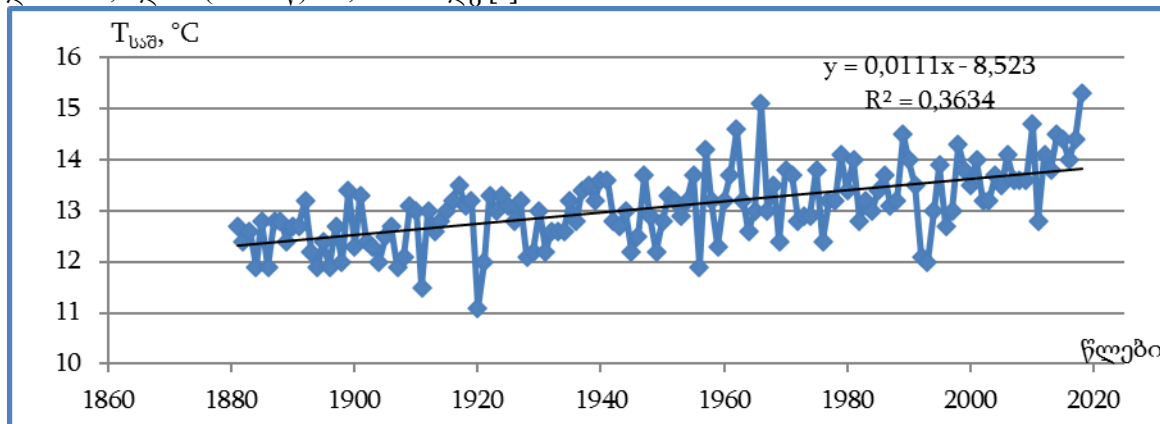
უაკ. 551.583

**ქ. თბილის ჰაერის ტემპერატურის ცვალვადობის ანალიზი**  
**ნ.კაპანაძე, ი.მკურნალიძე.**

საქართველოს ტექნიკური უნივერსიტეტის პიდრომეტეოროლოგიის ინსტიტუტი,  
თბილისი, საქართველო knaili1990@gmail.com

ჰაერის ტემპერატურის საშუალო მნიშვნელობათა ცვალებადობის თავისებურებების გამოვლენას მნიშვნელოვანი როლი ენიჭება როგორც განვლილი პერიოდის კლიმატური პირობების შესწავლის, ისე მათი ტრენდული განვითარების ხასიათის დადგენის მიზნითაც, რასაც თავისოთავად საპროგნოზო მნიშვნელობა გააჩნია. ამიტომ თბილისის ჰაერის ტემპერატურის საშუალო თვიური, წლიური და სეზონური მნიშვნელობების შესახებ საარქივო მასალებისა და მიმდინარე პერიოდის მეტეოროლოგიური ქსელის დაკვირვებათა არსებული მონაცემების გამოყენებით, ჩვენს მიერ გაანალიზებულ იქნა ამ პარამეტრების დროში ცვალებადობის თავისებურებები 1881 წლიდან დღემდე.

საშუალო წლიური ტემპერატურის ცვალებადობის საუკუნოებრივი მრუდი 1881-2018 წწ. პერიოდისთვის მოყვანილია ნახ.1-ზე, საიდანაც აშკარად ჩანს ბოლო ათწლიანი პერიოდის საშუალო მნიშვნელობით ( $14.1^{\circ}\text{C}$ ) გამოწვეული ცვლილება და ტრენდული მნიშვნელობის გაზრდა  $13.5\text{-დან} (2010 \text{ წ}) 13.8^{\circ}\text{C}$  -მდე [1].



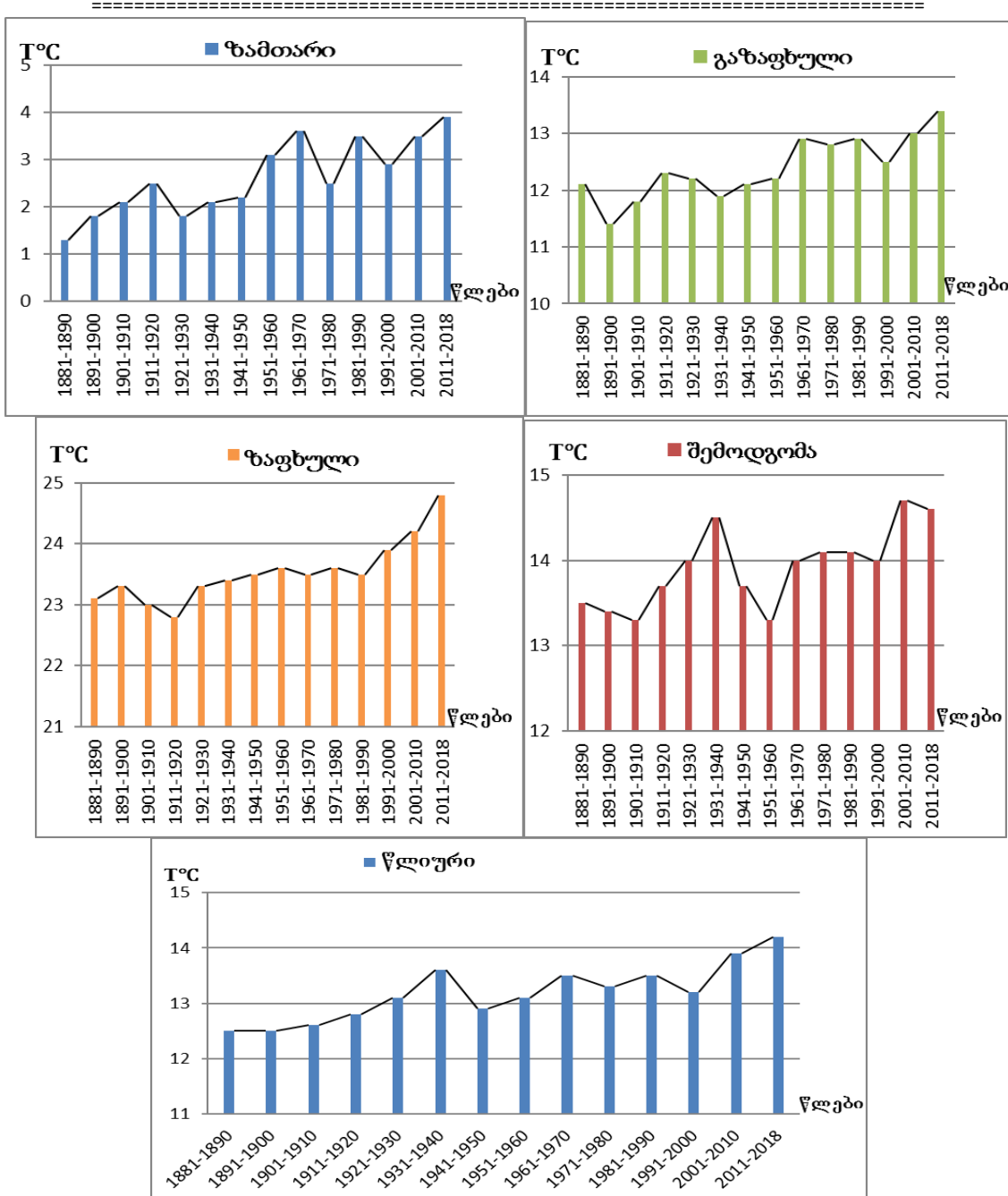
ნახ.1. საშუალო წლიური ტემპერატურის ცვალებადობა თბილისში 1881-2018 წწ. პერიოდში.

მოცემულ საუკუნოებრივ მრუდზე განსაკუთრებით თვალში საცემია 1900-იანი წლების დასაწყისში დაფიქსირებული აცივების ორი მინიმუმი (1911 წელს  $11.5^{\circ}\text{C}$  და 1920 წელს  $11.1^{\circ}\text{C}$ ), ისევე როგორც 1950-1960-იან წლებში დაკვირვებული სამი მაქსიმუმი (1957 წელს  $14.2^{\circ}\text{C}$ , 1962 წელს  $14.6^{\circ}\text{C}$  და 1966 წელს  $15.1^{\circ}\text{C}$ ). 2018 წელს დაფიქსირებულმა ტემპერატურის მაქსიმუმმა ( $15.3^{\circ}\text{C}$ ) კი მანამდე არსებულ ყველა მაქსიმუმს გადააჭარბა [2].

ტემპერატურის სეზონური ცვლილების დასადგენად დროის აღნიშნული პერიოდი (1881-2018 წწ.) დაყოფილი იქნა ათწლეულებად და თვის საშუალო ყოველწლიური მონაცემები გასაშუალოვდა ამ ათწლეულებში სეზონების მიხედვით. გავლილი საუკუნის მანძილზე საშუალო სეზონური და წლიური ტემპერატურის ცვლილების სურათი წარმოდგენილია ნახ. 2-ზე, სადაც მკვეთრად არის გამოხატული გასული საუკუნის 70-იანი წლებიდან აღნიშნული პარამეტრების ზრდის ტენდენცია.

წლიური და სეზონური ტემპერატურის რაოდენობრივი ცვლილების შეფასების მიზნით ბოლო 140 წლის მანძილზე გლობალური ტემპერატურის ცვალებადობის გათვალისწინებით [3], ჩვენს მიერ პირობითად გამოყოფილ იქნა სამი მიახლოებით 40-50-წლიანი ხანგრძლივობის პერიოდი:

- 1881-1820 (მცირე გადახრების მქონე შედარებით სტაბილური პერიოდი);
- 1921-1970 (დადებითი და უარყოფითი ტრენდების შემცველი გარდამავალი პერიოდი);
- 1971-2018 (ტემპერატურის პერმამენტული ზრდის პერიოდი);



ნახ. 2. ობილისში ჰაერის ტემპერატურის საშუალო სეზონური და წლიური  
მნიშვნელობების ცვალებადობა ათწლეულების მიხედვით.

დორის აღნიშვნული პერიოდების მიხედვით გასაშუალოებული ტემპერატურის საშუალო სეზონური მნიშვნელობების ცვლილება ბოლო და მის წინა ორ კლიმატურ პერიოდს შორის მოცემულია ცხრილში 1.

ცხრილი 1. პაერის ტემპერატურის საშუალო სეზონური მნიშვნელობების ცვლილება ( $^{\circ}\text{C}$ )  
ბოლო და მის წინა კლიმატურ პერიოდებს შორის. თბილისი, 1881-2018

ათწლეულები	სეზონი				
	ზამთარი	გაზაფხული	ზაფხული	შემოდგომა	წლიური
1881-1920	1.9	11.9	23.1	13.5	12.6
1921-1970	2.6	12.3	23.5	13.9	13.1
1971-2018	3.2	12.9	24	14.3	13.6
სხვაობა (III-II)	+0.6	+0.6	+0.5	+0.4	+0.5
სხვაობა (III-I)	+1.3	+1.0	+0.9	+0.8	+1.0

ცხრ 1-დან, ისევე როგორც ჩანს, რომ გლობალური დათბობის შედეგად ქალაქ თბილისში ბოლო 47 წლის მანძილზე წინა 50-წლიან კლიმატურ პერიოდთან შედარებით (III-II) პარის საშუალო ტემპერატურა გაიზარდა ყველა სეზონში და, შესაბამისად, წლიურ ჭრილშიც.

ქალაქ თბილისის პარის საშუალო ტემპერატურის ცვალებადობაზე კლიმატის ცვლილების გავლენის შესაფასებლად დეტალურად იქნა გაანალიზებული დაკვირვების მთელ რიგში (1881-2018) შემავალი როგორც სხვადასხვა სიდიდის დადებითი და უარყოფითი გადახრების განმეორადობები თვეების მიხედვით, ასევე მათი რაოდენობათა სეზონური მსვლელობა ათწლეულების მიხედვით. კლიმატის ცვლილების სამთავრობო ანგარიშის (IPCC) რეკომენდაციით მიღებული პრაქტიკის თანახმად, გადახრები (ანომალიები) გაანგარიშებულ იქნა 1961-1990 წლის საბაზისო პერიოდის (ნორმის) მიმართ.

ცხრილში 2 წარმოდგენილია ნორმიდან დადებითი გადახრების განაწილება თვეების მიხედვით მთელი საკვლევი პერიოდის განმავლობაში. ცხრილიდან ჩანს, რომ ყველაზე დიდი განმეორადობით სასიათება საშუალოდან  $0.1\text{--}0.9^{\circ}\text{C}$ -ის მნიშვნელობების დადებითი გადახრები, რომლებიც თვეების მიხედვით მერყეობს 35-დან (თებერვალი) 63%-მდე (ნოემბერი), საშუალო კი შეადგენს 47%-ს.

რაც შეეხება ნორმიდან დიდი გადახრების განმეორადობებს, ისინი საკმაოდ მცირება. ნორმიდან  $3.0\text{--}3.9^{\circ}\text{C}$ -ის გადახრის განმეორადობის საშუალო წლიური მნიშვნელობა 5%-ს შეადგენს, ხოლო  $4.0\text{--}4.9^{\circ}\text{C}$  -ის გადახრის განმეორადობა 2%-ის ტოლია. ძალზე მცირება ნორმიდან  $>5.0^{\circ}\text{C}$ -ის გადახრის განმეორადობა და შეადგენს მხოლოდ 1%-ს. მაქსიმალური დადებითი გადახრა 8.5 დაფიქსირდა 2006 წლის მაისში.

### ცხრილი 2. თბილისში პარის თვის საშუალო ტემპერატურის ნორმიდან დადებითი გადახრის განმეორადობები (%), 1881-2018 წლები

ინტერ-გალი	I	II	III	IV	V	VI	VII	VIII	IX	X	XI	XII	წლები
0.1-0.9	38	35	47	44	62	54	51	39	46	47	63	52	47
1.0-1.9	42	32	24	26	28	27	34	34	32	30	31	37	31
2.0-2.9	12	20	24	12	8	17	12	20	15	16	6	11	14
3.0-3.9	6	12	3	14		2	3	3	5	7			5
4.0-4.9	2	1	2	4				3					2
>5.0					2			1	2				1

ცხრილში 3. წარმოდგენილია პარის თვის საშუალო ტემპერატურის ნორმიდან დადებითი უარყოფითი გადახრების განაწილება წლის განმავლობაში. როგორც ვხედავთ, ამ შემთხვევაშიც დაიკვირვება ნორმიდან მცირე გადახრების საკმაოდ მნიშვნელოვანი განმეორადობები.  $-0.1\text{--}0.9^{\circ}\text{C}$ -ის გადახრების განმეორადობები მერყეობს 26-დან (თებერვალი) 70%-მდე (აგვისტო), საშუალო კი 40%-ს შეადგენს.

ამ ცხრილებიდან მიღება აგრეთვე, რომ თითქმის 140 წლის მანძილზე მკვეთრი დათბობები და აცივებები 2-ჯერ უფრო ხშირად ხდებოდა წლის ციკ პერიოდში, ვიდრე თბილში, ხოლო უმნიშვნელო აგრილებებს ყველაზე ხშირად ადგილი ჰქონდა წლის თბილ პერიოდში მაისიდან სექტემბრამდე.

### ცხრილი 3. თბილისში პარის თვის საშუალო ტემპერატურის ნორმიდან უარყოფითი გადახრის განმეორადობები (%), 1881-2018 წლები

ინტერ-გალი	I	II	III	IV	V	VI	VII	VIII	IX	X	XI	XII	წლები
-0.1,-0.9	31	26	42	30	47	41	52	70	42	49	37	29	40
-1.0,-1.9	26	29	25	28	28	43	41	23	37	30	29	32	31
-2.0,-2.9	14	22	25	32	22	16	7	7	21	16	18	21	19
-3.0,-3.9	14	13	5	10	3					5	7	12	6
-4.0,-4.9	12	9	2								6	5	3
<-5.0	4	1			1						2	1	1

წევნის მიერ განხილულ იქნა აგრეთვე თვის საშუალო ტემპერატურების ნორმიდან დადებითი და უარყოფითი გადახრების სეზონურ განმეორადობათა განაწილება ათწლეულების მიხედვით (ცხრილი 4).

**ცხრილი 4 თბილისში ჰაერის თვის საშუალო ტემპერატურის ნორმიდან დადებითი ( $>0^{\circ}\text{C}$ ) და უარყოფითი ( $<0^{\circ}\text{C}$ ) გადახრების რაოდენობათა სხვაობების სეზონური მსგლელობა ათწლეულების მიხედვით (1881-2018 წწ.)**

ათწლეულები	ზამთარი	გაზაფხული	ზაფხული	შემოდგომა
1881-1890	-10	0	-2	2
1891-1900	-6	-8	-2	-4
1901-1910	-4	-4	-4	-5
1911-1920	4	4	-8	0
1921-1930	-4	-5	0	4
1931-1940	-4	-9	4	6
1941-1950	-4	-2	0	-2
1951-1960	2	-3	4	-2
1961-1970	6	5	0	0
1971-1980	2	2	2	2
1981-1990	6	6	4	2
1991-2000	0	0	4	2
2001-2010	6	6	6	10
2011-2018	6	4	8	4

**შენიშვნა:** ცალკეულ სეზონში დადებითი გადახრების რაოდენობის მეტობა უარყოფით გადახრებზე შესაბამება დადებით რიცხვებს, ხოლო უარყოფითი გადახრების მეტობა იძლევა შესაბამის უარყოფით რიცხვს.

ცხრილიდან ჩანს, რომ სხვადასხვა ათწლეულებში ნორმიდან ხან ექსტრემალურად მაღალი, ხან კი ექსტრემალურად დაბალი გადახრები ჭარბობს. ამავე დროს საკმაოდ მკვეთრადაა გამოხატული ტენდენცია იმისა, რომ ათწლეულების მთლიანი რიგის პირველ ნახევარში ჭარბობს ნორმიდან ექსტრემალურად დაბალი უარყოფითი გადახრების განმეორადობები, ხოლო ათწლეულების მეორე ნახევარში – ნორმიდან ექსტრემალურად მაღალი დადებითი გადახრების განმეორადობები. აღნიშნული გარემოება მიუთითებს იმაზე, რომ ბოლო ათწლეულებში სიცივის ტალღებთან შედარებით მნიშვნელოვნადაა გააქტიურებული სითბოს ტალღების ზემოქმედება ამიერკავკასიაზე.

ამ პერიოდებში წლის ოთხივე სეზონისათვის დადებითი და უარყოფითი გადახრების ჯამური რაოდენობები მოვანილია ცხრილში 5.

ცხრილში წარმოდგენილი მონაცემებიდან ჩანს, რომ 1881-1920 წლებში უარყოფითი გადახრების რაოდენობა თითქმის 6-ჯერ მეტია დადებით გადახრების რაოდენობაზე. 1921-1970 წლებში დაიკვირვება ტემპერატურის შედარებით სტაბილური რყევადობის პირობები, რასაც მოწმობს დადებითი და უარყოფითი გადახრების თანაბარი რაოდენობა, ხოლო 1970-იანი წლებიდან დაწყებული დადებითი გადახრების რაოდენობამ თანდათან იმატა და მაქსიმალურ რაოდენობას მიაღწია ბოლო და ბოლოსწინა ათწლეულებში.

**ცხრილი 5. თბილისში საშუალო ტემპერატურის ნორმიდან დადებითი და უარყოფითი გადახრების ჯამური რაოდენობები დაკვირვების სხვადასხვა პერიოდში**

პერიოდი	დადებითი გადახრების რიცხვი	უარყოფითი გადახრების რიცხვი
1881-1920	10	-57
1921-1970	31	-35
1971-2018	82	0

რაც შეეხება გადახრების სეზონური განაწილების ცვლილებას, დაკვირვების მთელი პერიოდის სამ ქვეპერიოდად პირობითი დაყოფისას ცხრ. 4-დან მარტივად მიიღება ცხრილი 6, რომელიც აშკარად მეტყველებს ყველა სეზონში განსაკუთრებით მკვეთრ განსხვავებაზე პირველ და ბოლო ქვეპერიოდებს შორის, როდესაც გადახრების ჯამური მაჩვენებელი

ზამთარში შეიცვალა -16- დან +20- მდე, გაზაფხულზე -8 დან +18-მდე, ზაფხულში-16-დან +24- მდე, ხოლო შემოღომაზე -7-დან +20-მდე.

**ცხრილი 6. თბილისში ტემპერატურის ნორმიდან დადებითი და უარყოფითი გადახრების სეზონური ჯამური მნიშვნელობების ცვლილება დაკვირვების სხვადასხვა პერიოდში**

პერიოდი	სეზონი			
	ზამთარი	გაზაფხული	ზაფხული	შემოღომა
1881-1920	+4, -20 <b>-16</b>	+4, -12 <b>-8</b>	0, -16 <b>-16</b>	+2, -9 <b>-7</b>
1921-1970	+8,-12 <b>-4</b>	+5, -19 <b>-14</b>	+8, 0 <b>+8</b>	+10, -4 <b>+6</b>
1971-2018	+20, 0 <b>+20</b>	+18, 0 <b>+18</b>	+24, 0 <b>+24</b>	+20, 0 <b>+20</b>

ამრიგად, თბილისში პაერის საშუალო წლიური ტემპერატურის ცვალებადობის ანალიზი მოწმობს, რომ ბოლო 140 წლის მანძილზე ტემპერატურამ მოიმატა  $1.3^{\circ}\text{C}$ -ით და 2018 წლისთვის მისმა საშუალო ტრენდულმა მნიშვნელობამ მიაღწია  $13.8^{\circ}\text{C}$ .

რაც შეეხება 1881-2018 წწ. პერიოდში თბილისში პაერის თვის საშუალო ტემპერატურის ნორმიდან გადახრებს, ჩატარებულმა ანალიზმა აჩვენა, რომ:

– უკელაზე მაღალი განმეორადობით ხასიათდება პაერის თვის საშუალო ტემპერატურის ნორმიდან როგორც დადებითი, ასევე უარყოფითი მცირე გადახრები (47 და 40% შესაბამისად);

– საკმაოდ მაღალია თვის საშუალო ტემპერატურის ნორმიდან მნიშვნელოვანი დადებითი გადახრის ( $>2^{\circ}\text{C}$ ) განმეორადობები, რომელიც თვეების მიხედვით მერყეობს 6-დან (ნოემბერი) 33%-მდე (თებერვალი);

– ნორმიდან თვის საშუალო ტემპერატურის ყველაზე მაღალი დადებითი გადახრა დაფიქსირებულია ინტერვალში  $>5^{\circ}\text{C}$  ( $8.5^{\circ}\text{C}$  2006 წლის მაისში), ხოლო ყველაზე დაბალი უარყოფითი გადახრა ინტერვალში  $<-5^{\circ}\text{C}$  ( $-7.9^{\circ}\text{C}$  – 1920 წლის დეკემბერში).

ბოლო ათწლეულებში დაფიქსირებულია თვის საშუალო ტემპერატურის ნორმიდან დადებითი გადახრის ( $>0^{\circ}\text{C}$ ) განმეორადობის სიჭარბე უარყოფითი გადახრის ( $<0^{\circ}\text{C}$ ) განმეორადობაზე. კერძოდ, 1971-2018 წწ. პერიოდში დადებითი გადახრებმა სიჭარბემ უარყოფით გადახრებზე წლიურ ჭრილში შეადგინა 82 შემთხვევა, ხოლო უარყოფითი გადახრების სიჭარბე დადებით გადახრებზე არ დაფიქსირებულა, მაშინ როდესაც XIX საუკუნის მეორე ნახევარში გადახრების რიცხვი დაახლოებით ერთნაირი იყო.

ჩვენს მიერ ჩატარებული ანალიზიდან გამომდინარეობს, რომ თბილისში ტემპერატურის საშუალო მნიშვნელობების დადებითი ანომალიების ზრდის ტენდენცია კვლავ გრძელდება. კლიმატის ცვლილებამ საგანგაშო ხასიათი რომ არ მიიღოს და საუკუნის ბოლომდე ტემპერატურის საშუალო მნიშვნელობამ  $2^{\circ}\text{C}$ -ს არ გადააჭარბოს საჭიროა გარკვეული საადაპტაციო ღონისძიებების გატარება. კერძოდ, ყველა ჩვენგანის ვალია ეკონომიურად მოვიხმაროთ ელექტროენერგია, ავტომობილის ნაცვლად ვიმგზავროთ უსაფრთხო ტრანსპორტი, დაგზოგოთ თაბახის ფურცელი, დავათბუნოთ სახლები ენერგოეფექტური ტექნოლოგიების გამოყენებით, დავნერგოთ გზებისა და ქუჩების განათების კომპიუტერიზებული სისტემები, ნებისმიერი ობიექტის დაპროექტებისას და ადგილის შერჩევისას გავითვალისწინოთ გარემოზე მისი უქნებელი ფუნქციონირება და კლიმატური მახასიათებლების პროგნოზირებული ცვლილება, მოვაგვაროთ ნარჩენების დაშლისა და გარემოზე ნეგატიური ზემოქმედებასთან დაკავშირებული პრობლემები, გავუმკლავდეთ სტიქიური მოვლენებიდან თბილისისათვის ყველაზე ანგარიშგასასაწევ პრცესებს – უხვი ნალექებით გამოწვეულ წყალმოვარდნებსა და ძლიერ ქარებს, ასევე თავიდან ავიცილოთ ხანძრებისაგან მიღებული ზარალი.

კლიმატის ცვლილებასთან ადაპტირების ღონისძიებებიდან მნიშვნელოვანი როლი მიუდღვის საზოგადოების ცნობიერების ამაღლების ფაქტორს, რომელმაც უნდა უზრუნველყოს ქალაქის სასმელი და სარწყავი წლის მომჰირნება მოხმარება, ელექტროენერგიისა და ბუნებრივი აირის ეკონომია, ქალაქის მწვანე საფარის მოვლა, ნარჩენების თავის ადგილზე განთავსება, წლის ობიექტების დაბინძურებისაგან დაცვა [4] და ა.შ.

=====  
**ლიტერატურა – REFERENCES – ЛИТЕРАТУРА**

1. ბერიტაშვილი ბ., კაპანაძე ნ., ჩიგოვაძე ი. გლობალურ დათბობაზე საქართველოში კლიმატის რეაგირების შეფასება. პიდრომეტეოროლოგიის ინსტიტუტი. თბილისი, 2010, 179 გვ.
2. კაპანაძე ნ., მკურნალიძე ი. ქ. თბილისის ჰაერის ტემპერატურის რყევადობა კლიმატის გლობალური ცვლილების ფონზე. თხუ, საერთაშორისო სამეცნიერო კონფერენცია „ბუნებრივი კატასტროფები საქართველოში: მონიტორინგი, პრევენცია, შედეგების შერბილება“, თბილისი, 2019, გვ. 80-83.
3. Climate Change 2007. The physical science basis. IPCC, 2007.
4. ბერიტაშვილი ბ., კაპანაძე ნ. მიმდინარე საუკუნის დასასრულისთვის მოსალოდნელ დათბობასთან დაკავშირებით ქალაქ თბილისის მდგრადი განვითარების პრობლემები, საერთაშორისო სამეცნიერო კონფერენცია „ეკოლოგიის თანამედროვე პრობლემები“, აკაკი წერეთლის სახელმწიფო უნივერსიტეტი, ქუთაისი, 2018, გვ. 152-156.

უაკ. 551.583

ქ. თბილისის ჰაერის ტემპერატურის ცვალებადობის ანალიზი/კაპანაძე ნ., მკურნალიძე ი./სტუ-ის პრი-ის სამეცნ. რევ. შრ. კრებ. – 2020. - ტ.129. - გვ.102-107. - ქართ.; რეზ.: ქართ., ინგლ., რუს. გაანალიზებულია ქალაქ თბილისის 1881-2018 წწ. პერიოდის საშუალო წლიური, თვიური და სეზონური მნიშვნელობები. შესწავლილია აღნიშნული პარამეტრების დროში ცვლილების თავისებურებანი და შეფასებულია კლიმატური პერიოდების მიხედვით ამ ცვლილებათა რაოდენობრივი მაჩვენებლები. ქალაქ თბილისის ჰაერის საშუალო ტემპერატურის ცვალებადობაზე გლობალური დათბობის გავლენის შესაფასებლად დეტალურად იქნა გაანალიზებული დაკვირვების მთელ რიგში (1881-2018) შემავალი როგორც სხვადასხვა სიდიდის დადებითი და უარყოფითი გადახრების (1961-1990 წწ. საბაზისო პერიოდის მიმართ) განმეორადებები თვეების მიხედვით, ასევე მათი რაოდენობათა სეზონური მსვლელობა ათწლეულების მიხედვით. გამოვლენილია დადგებითი ანომალიების ზრდის ტენდენცია, შემოთავაზებულია კლიმატის შესაძლო ცვლილებასთან საადაპტაციო ღონისძიებები.

**UDC. 551.583**

**Analysis of air temperature variations in Tbilisi./Kapanadze N., Mkurnalidze I./Scientific Reviewed Proceedings of the IHM, GTU. - 2020 - vol.129 - pp.102-107. Georg.; Abst.: Georg., Eng., Rus. The average annual, monthly and seasonal temperature data of Tbilisi for 1881-2018 period are analyzed. The variability features of these data are investigated and quantitative indices of the variations have been evaluated by climatic periods. To assess the impact of global warming on variations of temperature averages in Tbilisi, we analyzed in detail both the monthly recurrences of positive and negative deviations (relative to the base period 1961-1990) and the seasonal course over decades, included in 1881-2018 period. An upward trend in positive anomalies was revealed and adaptation measures are proposed towards possible climate change.**

УДК. 551.583

**Анализ вариаций температур воздуха г. Тбилиси./Капанадзе Н.И., Мкурналидзе И.П./Науч. Реф. Сб. Труд. ИГМ ГТУ - 2020. вып.129 - с.102-107. Груз.; Рез.: Груз., Англ., Рус. Проанализированы среднегодовые, среднемесячные и сезонные данные температур г. Тбилиси за период 1881-2018 гг. Исследованы особенности изменчивости этих данных. Сделано сравнение количественных показателей этих особенностей по климатическим периодам. Для оценки влияния глобального потепления климата на вариации средних значений температур воздуха г. Тбилиси детально проанализированы входящие в период 1881-2018 гг как месячные повторяемости положительных и отрицательных отклонений (относительно базисного периода 1961-1990 гг), так и их сезонный ход по десятилетиям. Выявлена тенденция роста положительных аномалий. В связи с возможным потеплением климата предложены адаптационные мероприятия.**

უაგ 551.576

გეომაგნიტური ინდექსების ბ ამოზენება ამინდის და კლიმატის კვლევაში

მ.ტატიშვილი, ზ.ხვედელიძე, ი.სამხარაძე, ა.ფალავანდიშვილი

საქართველოს ტექნიკური უნივერსიტეტის პიდრომეტეოროლოგიის ინსტიტუტი  
თბილისი, საქართველო marika.tatishvili@yahoo.com

მზეზე გამოვლენილი მოვლენები: მზის ალები, მასიური კორონალური ამოფრქვევები, (CMEs), მზის ენერგეტიკული ნაწილები (SEPs) არის ფაროვანი მასამდინარეები ამინდის წარმომქმნელები გეო-სივრცეში. როდესაც პლაზმური გიგანტური ღრუბელი იფრქვევა მზის ტრანზიტული მოვლენებიდან, ის ურთიერთქმედებს დედამიწის მაგნიტური გარემოსთან. გეომაგნიტური შტორმები (Geomagnetic storms) შეიძლება დახასიათდეს გეომაგნიტური სფეროს კომპონენტის დეპრესიით. დედამიწის მაგნიტური ველის კომპონენტის ეს დეპრესია გამოწვეულია წრიული დენებით, რომლებიც გარს უვლის დედამიწას დასავლეთის მიმართულებით. დედამიწის იონოსფეროსფეროს სხვადასხვა მოვლენებს. იონოსფეროს ელექტრონების სიმკვრივის სიმაღლე და ადგილმდებარეობა დამოკიდებულია მზის ულტრაიოსფერი ნაკადის, რენტგენის სხივების ნაკადის და ნეიტრალური ქარების და ელექტრული ველის დინამიური ეფექტის ცვალებადობაზე. გეომაგნიტური შტორმის დროს, დედამიწის მაგნიტოსფეროს დაწესების გამო მზის ქარით, ელექტრული ველები ფიქსირდება გეომაგნიტური ველის ძალწირების მთელი სიგრძის გასწვრივ მაღალი განედების იონოსფეროში. ზოგჯერ, ეს ელექტრული ველი და მაღალი ენერგიის მქონე დამუხსტული ნაწილაკები თერმოსფეროს ქვედა ფენებამდე აღწევენ. ზრდიან იონოსფეროს გამტარებლობას და ავრორას ზონებს. ეს ინტენსიური ელექტრული დენები განაპირობებს მაღალი განედების იონოსფეროსა და მაგნიტოსფეროს დაწყვილებას და აძლიერებენ ენერგიის მიწოდებას, რაც მნიშვნელოვნად ათბობს იონიზებულ და ნეიტრალურ აირებს. დროის მასშტაბით, არსებობს ორი ტიპის ეფექტი დედამიწაზე მზის ტრანზისტების მიერ წარმოებული; სწრაფი და დაგვიანებული. გეომაგნიტური შტორმული ეფექტები დაგვიანებულია მზიდან ამოტყორცნილი ნაწილაკების გავლენის გამო.

დედამიწის სადამკვირვებლო სისტემის (Earth Observing System) პროგრამის ფარგლებში დაიწყო დედამიწის შესწავლა თანამგზავრული დაკვირვების მონაცემებით, NASA, NOAA და EUMETSAT პროგრამების ფარგლებში განხორციელდა თანამგზავრების გაშვება აღჭურვილებს სხვადასხვა ტიპის სენსორებით. აქტუალური გახდა იონოსფეროს ამინდის ამოცანა, რომლის მიხედვით დედამიწაზე ამინდის ჩამოყალიბება იწყება აგმოსფეროს მაღალ ფენებში. NASA-ს მაგნიტური ველის სადამკვირვებლო თანამგზავრი MMS, THEMIS და მზეზე დაკვირვების თანამგზავრები: SOHO, SDO, SOLAR PROBE, და სხვ. გაშვების შემდეგ განუწყვეტლად გადმოსცემენ ინფორმაციას მზის პარამეტრების ცვალებადობაზე, კოსმოსური სხივების მახასიათებლებზე და დედამიწის მაგნიტური ველის რეაქციაზე ამ ცვლილებებზე [1,2].

დედამიწის მაგნიტური ველი წარმოადგენს ფარს, რომელიც იცავს კოსმოსური მოკლებალოვანი გამოსხივებისგან და მუდმივად იმურფება დიდი ზემოქმედების ქვეშ. იგი განსაკუთრებით ზიანდება მზის კორონალური ამოფრქვევების, მზის ლაქების, მზის მაგნიტური ველის და კოსმოსური სხივებისგან. დამუხსტული ნაწილაკები: პროტონები, ელექტრონები, მეზონები, დადებითი და უარყოფითი იონები და ნეიტრონები იწვევენ მაგნიტური ველის ძალწირების წევებად და შემოიჭრებიან აგმოსფეროში. პოლუსებზე ისინი იწვევენ ეგრეთ წოდებულ Aurora Borealis. საერთოდ დედამიწაზე კი გეომაგნიტურ ქარიშხლებს, რომლებიც დიდ როლს თამაშობენ ამინდის ჩამოყალიბებაში დედამიწაზე. სხვადასხვა დამუხსტული ნაწილაკები მოქმედებენ, როგორც ღრუბლის კონდენსაციის ბირთვები და იწვევენ ღრუბლის საფარის გაზრდას, ასევე მოქმედებენ, როგორც წვიმის და ყინულის კრისტალების დამატებითი ბირთვები, რაც იწვევს ნალექის გაზრდას კონკრეტულ აღგილებში. ასევე დამუხსტული ნაწილები აგმოსფეროში აძლიერებენ ელექტრულ ველს რაც გამოიხატება ელჭექების ინტენსივობის ზრდაში. იონოსფეროს ამინდის პროგნოზისთვის ფართო გამოყენება მოიპოვა ელექტრონების სრული შემცველობის პარამეტრმა, რომელსაც NASA თანამგზავრი THEMIS გადმოსცემს.

მზე გადის 22 წლიან ციკლს, რომლის დროსაც მისი მაგნიტური პოლუსები შეტრიალდება (pole reverse), მზის ლაქების აქტივობის სიხშირის მიხედვით. ეს მოიცავს 11 წლიან ციკლურ ფაზებს. პირველ ფაზაზე მაგნიტური პოლუსები პოლარობას შეცვლიან

(რევიურისი). მეორე ფაზის დროს მაგნიტური პოლარობა უბრუნდება პირვანდელს. მზის შტორმული აქტივობა მკაცრად დამოკიდებულია ამ ფაზებზე.

მზის ლაქები ის ადგილებია, სადაც წარმოქმნება შტორმების უმეტესობა. მზე ბრუნავს თავისი დერძის გარშემო, დაახლოებით 27 დღიანი პერიოდით და მზის ლაქების უმეტესობა აქტიური რჩება რამოდენიმე ბრუნვის განმავლობაში და წარმოქმნის ციკლურ 27 დღიან მზის შტორმს.

მზის ალები მზის ზედაპირზე მიმდინარე ამოფრქვევებია. ამოფრქვევიდან დახლოებით 8წთ-ის შემდეგ ელექტრომაგნიტური მძლავრი რადიაცია გამა სხივების, უკიდურესი ულტრაიისფერი, რენტგენის სხივების და რადიოტალღების სახით აღწევს დედამიწაზე. ულტრაიისფერი ტალღები ათბობენ ატმოსფეროს ზედა ფენებს. რენტგენის სხივები ამოყრიან ელექტრონებს ატმებიდან და ქმნიან დამატებით დიდი რაოდენობით ელექტრონების დრუბელს რადიაციულ სარტყლებზე. მზის ალები ახშობენ თანამგზავრულ კავშირს, რადარულ კავშირს, ახშობენ მოკლე-ტალღურ რადიოკავშირს, ხშირად იწვევენ თანამგზავრის ორბიტის პარამეტრების ცვლილებას და სხვა შემფოთებებს.

CME არის მაღალ-ენერგეტიკული აირის დრუბელი, დაბალი ან საშუალო ენერგიების ნაწილაკების პლაზმა, გარშემორტყმული მაგნიტური ველით. როცა ის ეჯახება დედამიწას ეს ველი და პლაზმა შეიჭრება დედამიწის მაგნიტურ ველში, რაც ქმნის დროებით შეშფოთებას დედამიწის მაგნიტურ შტორმს და დენების ეკვატორულ დინებებს, სხვადასხვა გრადიენტებს და იწვევს დამუხტული ნაწილაკების გადახრას დედამიწის მახლობლობაში. მათი წარმოქმნის აღგილი ხშირად მზის ალების სიახლოვესაა.

გეომაგნიტური შტორმების სიძლიერე და მიკიდებულია დედამიწის მაგნიტური ველის ორიენტაციაზე მზის ველთან დაკავშირებით. თუ სამხრეთ მიმართულია, მაშინ ძლიერია, თუ ჩრდილოეთ მიმართული - სუსტი.

მზის კორონალურ ამოფრქვევებს (CMEs), მზის ენერგეტიკული ნაწილაკებს (SEPs) შეუძლიათ შემდეგი გავლენის მოხდენა: საფრენი აპარატების ელექტრობის დაზიანება და მწყობრიდან გამოყვანა, ვან-ალენის რადიაციული სარტყლის წანაცვლება, ყველა სახის კავშირგაბმულობის დარღვევა, კოსმოსური ფრენების არამეტრების ცვლილება, გაზ და ნავთობსადენების კოროზია, კომუნიკაციების სისტემის მოშლა და აღჭურვილობის დაზიანება, ელექტრული განმუხტების საშიშროება, გულ-სისხლძართვთა დაავადებების გამწვავება, ენერგოსისტემის წყვეტა და სხვ. ეს მოვლენა 1-3 დღე გრძელდება და კრცელდება მთელ მაგნიტოსფერულ რეგიონზე და იწვევს მაგნიტური ველის მკვეთრ შემცირებას. მაგნეტოსფეროს ქარიშხალი 1-დან 3-დღიანი მოვლენაა და ამ დროს მაგნიტური ველის მკვეთრი შემცირებაა. ქარიშხლისა და ქვექარიშხლების დროს იონოსფეროს დიდი რაოდენობის სითბო გადაეცემა ენერგეტიკულ ნაწილაკთა მძლავრი ენერგიით. დიდი ენერგია ზრდის იონოსფეროს ტემპერატურას, იწვევს ფართომასშტაბიანი იონების დრეიფს და ნეიტრალურ ქარებს [3,4].

დაკვირვებებმა აჩვენა, რომ ენერგეტიკული ნაწილაკები გავლენას ახდენს ტალღის გავრცელების, ზონალური ტემპერატურისა და ზონალურ ქარიშხალი ჩრდილოეთ ნახევარ-სფეროში ზამთრის სტრატოსფეროში. თუმცა, ის მექანიზმები, რომლითაც ეს ცვლილებები მოხდა, ჯერ კიდევ უცნობია. დედამიწის ატმოსფეროში მომხდარი ცვლილებები გამოწვეულს მზის ცვლილებების ან გაზრდილი ანთროპოგენური აქტივობისა და მომატებული სათბური გაზების (GHG) კონცენტრაციის ცვლილების გამო, დედამიწის ატმოსფეროს ენერგეტიკული ბალანსი იცვლება და ეს გავლენას ახდენს მის დინამიკაში. ცვლილებები შეიძლება მოხდეს ატმოსფერული გრავიტაციული ტალღების, პლანეტარული ტალღების პროპაგციაში, რომელიც მნიშვნელოვან როლს ასრულებს შუა ატმოსფეროს ზოგად მიმოქცევაში. თერმოფსფერო-იონოსფეროს სისტემა ცნობილი სისტემური მექანიზმების, ასევე კოსმოსური ამინდის შედეგად, არსებითად განხსნავდება სიმადლის, გრძელის, გრძელის, უნივერსალური დროის, სეზონის, მზის ციკლისა და გეომაგნიტური აქტივობით. პირველადი მართვის მექანიზმი მზის რადიაცია (EUV და UV), მაგრამ ასევე იონოსფერო-თერმოსფერო სისტემაზე მნიშვნელოვან გავლენას ახდენს მაგნიტოსფერული ნაწილაკებისა და მაგნეტოსფეროს ელექტრული ველები. მამოძრავებელი პროცესები განსაზღვრავს ზედა ატმოსფეროს იონიზებულ და ნეიტრალური შემადგენლობის სიმჭიდროვეს, შემადგენლობა და რაც მთავარია, ტემპერატურას.

დედამიწის კლიმატის ცვლილება მზე-დედამიწის ფიზიკის კვლევის ფოკუსური წერტილია და განსაკუთრებული ყურადღება ექვევა ტროპოსფეროს, შუა ატმოსფეროს,

გეოსივრცის (მეზოსფეროს, თერმოსფეროს, იონოსფეროს და მაგნეტოსფეროს) და მზის აქტივობის შეკვეთის.

CME არის მაღალ-ენერგეტიკული აირის დრუბელი, დაბალი ან საშუალო ენერგიების ნაწილაკების პლამა, გარშემორტყმული მაგნიტური ველით. როცა ის უჯახება დედამიწას ეს ველი და პლაზმა შეიჭრება დედამიწის მაგნიტურ ველში, რაც ქმნის დროებით შეშფოთებას დედამიწის მაგნიტოსფეროში - მაგნიტური შტორმი და დენების ეკვატორულ დინებებს, სხვადასხვა გრადიენტებს და იწვევს დამუხტული ნაწილაკების გადახრას დედამიწის მახლობლობაში. მათი წარმოქმნის ადგილი ხშირად მზის ალების სიახლოვესაა

მზე განუწყვეტლივ ასხივებს დედამიწას და მის სპექტრულ სიმკვრივეში მნიშვნელოვანი ცვლილებებია. დაცემული რადიაცია განუწყვეტლივ იცვლება მაგნიტოსფეროში, თერმოსფეროში და იონოსფეროში მიმდინარე მოვლენების გამო. მზის კვაზი-მდგრადი ნაკადებიც ასევე იცვლება მზის ამოფრქვევების გამო, რომლებიც აჩქარებენ დამუხტულ ნაწილაკებს და იწვევენ გომაგნიტურ შტორმებს, ზედაპირზე დიდი რაოდენობით დაცემული ენერგეტიკული ნაწილაკების თანამდევი ზემოქმედებით დედამიწაზე.

გეომაგნიტური ინდექსები არის გეომაგნიტური აქტივობის ზომა, რომელიც ხდება დროის მოკლე მონაცემთში. ზედა ატმოსფერული ფიზიკის, მზის ხმელეთის ურთიერთობების შესწავლის ან დედამიწის სიღრმის შესწავლის დროს არსებული მაგნიტური ვარიაციების გათვალისწინება აუცილებელი ხდება. ამ მოდულში უნდა გაერთიანდეს დედამიწის იონოსფეროს და მაგნეტოსფეროს რეაქციის შესწავლა მზის აქტივობის ცვლილებებზე. **dst, kp, aa** გეომაგნიტური ინდექსები და შტორმადე და შტორმის შემდეგ, 3 დღის მეტეოროლოგიური პარამეტრების (ტემპერატურა, ნალექების, წნევის) დაკვირვების მონაცემები და სინოპტიკური რუკები გამოიყენება კორელაციური ანალიზისთვის.

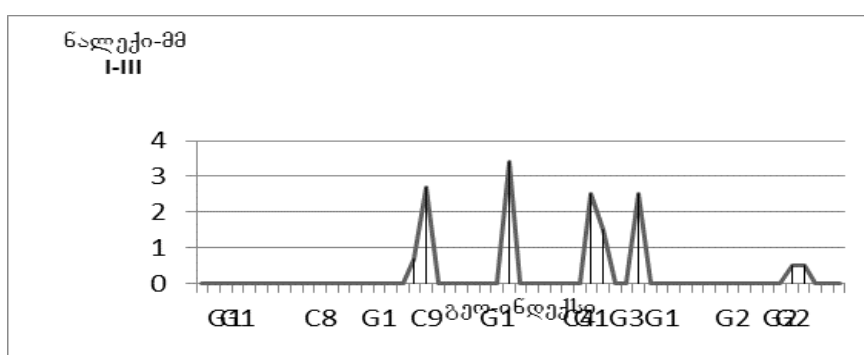
მზის აქტივობა შეიძლება განისაზღვროს ინდექსების რაოდენობის ან ინდექსების კომბინაციებით, როგორიცაა მზის ლაქების რიცხვი WN და რადიოსის შირე F10.7, რომელიც განსხვავდება მზის ელექტრომაგნიტური გამოსხივებისგან და საპლანეტარულობის მაგნიტური ველის დაძაბულობის B და მზის ქარის სიჩქარის v, რომლებიც განსაზღვრავენ მზის ქარის თვისებებს.

ეს ინდექსები 1900 წლიდან მუდმივად გამოითვლება პოტსდამის GFZ- ის მიერ და სელმისაწვდომია ვებ-გვერდზე [www.gfz-potsdam.de](http://www.gfz-potsdam.de) [5,6]. Kp ინდექსი ყველაზე ფართოდ გამოიყენება ყველა მაგნიტური მაჩვენებლებით და 1932-დან დაწყებული გამოითვლება პოტსდამში. იგი განკუთვნილია "Geomagnetic activity", ან მთელ დედამიწაზე შეშფოთების ხარისხის გამოსახატავად, სამი საათის ინტერვალებით უნივერსალური დროით. მარტივი საშუალო ოპერაციების დასაწყებად, Kp ინდექსები კონვერტირებულია ცხრილის გამოყენებით, მათი კვაზი-ლოგარითმიული მასშტაბიდან უხეშად ხაზოვან მასშტაბზე (nT), რითაც მიიღება ე.წ. 3-სთ არ ინდექსი. საბოლოოდ, ინდექსი არ განისაზღვრება, როგორც საშუალოდ რვა 3-საათიანი არ ინდექსი [7,8].

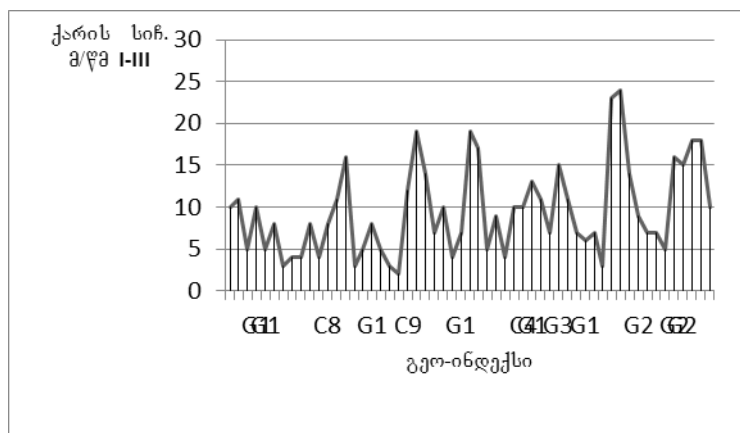
გეო-შტორმის შეშფოთების დრო (dst) ინდექსი, ისტორიულად გამოყენებულია გეომაგნიტური ქარიშხლის ზომისთვის. გარდა ამისა, არსებობს მაგნიტოსფეროში წარმოქმნილი დენებისაგან, რომლებიც ცვლიან მაგნიტურ ველს, ე.წ. ინდუცირებული დენები. ყველა ეს დენები და მაგნიტური გადახრები, რომლებიც წარმოქმნება ადგილზე, გამოიყენება პლანეტარული გეომაგნიტური დარღვევების ინდექსის სახელწოდებით Kp. ეს ინდექსი საფუძვლად უდევს NOAA-ს იონოსფეროს ამინდის ზომის, გეომაგნიტური ქარიშხლის, ან G-ერთეული, რომელიც გამოიყენება კოსმოსური ამინდის აღსაწერად, რომელსაც შეუძლია დედამიწაზე არსებული სისტემების დარღვევა.

კვლევისთვის გამოიყენებულია Kp გეომაგნიტური ინდექსი და 2014-19წ. მეტეოროლოგიური პარამეტრების (ტემპერატურა, წნევა, ნალექი) დაკვირვების მონაცემები. ჩატარებული ანალიზიდან დგინდება, რომ ყველა ტიპის ინდექსისთვის ამინდის პარამეტრები მკვეთრ ცვლილებას განიცდიან: ძლიერდება ქარი, იზრდება ნალექების რაოდენობა, იცვლება წნევა, რაც ნათლად ჩანს ნახ.1,2-ზე.

კვლევიდან დგინდება, რომ გეო-მაგნიტური ინდექსები უნდა გამოიყენებოდეს საპროგნოზო მეთოდოლოგიაში, როგორც ერთგარი პრედიქტორი. გეო-შტორმის გავლენის გათვალისწინება აუცილებელია ამინდის პროგნოზებში და ასევე აუცილებელია საპროგნოზო მოდელის დაწყვილება დედამიწის მაგნიტური ველის მოდელთან [11,12], რაც პროგნოზის სიზუსტის და საიმედოობის ამაღლების საშუალებას მოგვცემს



ნახ.1. გეო-ინდექსის და ნალექების დამოკიდებულება თბილისისთვის 2017წ (I-III)..



ნახ.2. გეო-ინდექსის და ქარის დამოკიდებულება თბილისისთვის 2017წ (I-III)..

#### ლიტერატურა - REFERENCES – ЛИТЕРАТУРА

1. M.Tatishvili, N.Bolashvili, I.Mkurnalidze. Climate and causes of its variability. //Transactions of Institute of Hydrometeorology, Tbilisi, Georgia, 2013, v. 119, pp. 38-43.
2. Toshitaka Tsuda, Marianna Shepherd and Nat Gopalswamy. Advancing the understanding of the Sun–Earth interaction—the Climate and Weather of the Sun–Earth System (CAWSES) II program. Progress in Earth and Planetary Science (2015) 2:28 DOI 10.1186/s40645-015-0059-0
3. SOLAR PHYSICS AND TERRESTRIAL EFFECTS. Space Environment Center. 2012
4. Natural hydrometeorological disasters, their causes and prevention measures . M.Tatishvili, E.Elizbarashvili, R. Meskhia, Sh.Elizbarashvili. The Macrotheme Review. A multidisciplinary journal of global macro trends, 148-154,A Macrotheme Capital Management, LLC Academic Publication, Volume 2, Issue 1, Winter 2013 (January). ISSN 1848-4735, France
5. www.spaceweather.gov
6. sdo.gsfc.nasa.gov
7. NOAA/SWPC, Boulder, Co, USA. spaceweatherlive.com
8. Earthdata.nasa.gov
9. Impact of solar coronal mass ejections (CME) on formation of Earth climate and weather pattern. Marika Tatishvili, Irine Mkurnalidze, Inga Samkharadze, Nunu Tsintsadze. International Scientific Journal. Journal of Environmental Science. v.7. issue 1. pp1-5. 2018. ISBN -13:978-1721539185
10. THE CONNECTION OF GEOMAGNETIC ACTIVITY AND WEATHER FORMATION IN GEORGIAN REGION. Tatishvili M., Khvedelidze Z., Mkurnalidze I., Samkharadze I., Kokosadze Kh. International Scientific Conference „Modern Problems of Ecology“ Proceedings, ISSN 1512-1976, v. 6, Kutaisi, Georgia. 2018
11. Developing Weather Forecasting System in Georgia. Marika Tatishvili. Ecology & Environmental Sciences 2 (7) DOI:10.15406/mojes. 2017.02.00046.
12. M. Tatishvili. Energy Transformation in Clouds According Quantum Principles. // International Scientific Journal. Journal of Environmental Science. vol 3. ISBN- 13: 978-1499721980; ISBN -10: 1499721986, Vienna, Austria 2014. pp. 7-9.

უაკ 551.576

გეომაგნიტური ინდექსების გამოყენება ამინდის და კლიმატის კვლევაში/ ტატიშვილი მ., ხვედელიძე ზ., სამხარაძე ი., ფალავანდიშვილი ა./სტუ-ის პმი-ის შრომათა კრებული-2020 –ტ.129- გვ.108-112. – ქართ. რეზ.: ქართ., ინგლ., რუს. სტატიაში განხილულია მზეზე მიმდინარე პროცესები და ამ პროცესების გავლენა დედამიწის ატმოსფეროზე. კვლევისთვის გამოყენებულია 2014-19<sup>წ</sup> Kp გეომაგნიტური ინდექსი და. მეტეოროლოგიური პარამეტრების (ტემპერატურა, წნევა, ნალექი) დაკვირვების მონაცემები. ჩატარებული ანალიზიდან დგინდება, რომ ყველა ტიპის ინდექსისთვის ამინდის პარამეტრები მკვეთრ ცვლილებას განიცდიან: ძლიერდება ქარი, იზრდება ნალექების რაოდენობა, იცვლება წნევა. მათი გათვალისწინება ამინდის საპროგნოზო მეთოდოლოგიაში აუცილებელია

UDC 551.576

**Use of geo-magnetic indices in weather and climate research.**/ Tatishvili M., Khvedelidze Z., Samkharadze I., Palavandishvili A./.Scientific Reviewed Proceedings of the IHM, GTU. - 2020 - vol.129 - pp.108-112. Georg.; Abst.: Georg., Eng., Rus. The processes occurred on the Sun and their influence on the Earth atmosphere has been discussed in presented paper. To conduct study, Kp geo-magnetic index and meteorological observation data for weather parameters (temperature, precipitation, pressure) for 2014-19 period were used. The conducted analysis clearly indicates that for all types of index weather parameters were sharply changed: wind speed has been strengthened, precipitation amount has been increased and pressure has been sharply changed. Their consideration in weather prediction methodology is necessary.

УДК 551.576

**Использование геомагнитных индексов в исследованиях погоды и климата.**/Татишвили М.Р., Хведелидзе З.В., Самхарадзе И.И., Палавандишивили А.М./Науч. Реф. Сб. Труд. ИГМ ГТУ - 2020. вып.129 - с.108-112. Груз.; Рез.: Груз., Англ., Рус. Процессы, происходящие на Солнце и их влияние на атмосферу Земли обсуждаются в представленной статье. Для проведения исследования были использованы данные геомагнитного индекса Кр и метеорологических наблюдений на параметры погоды (температура, осадки, давление) за период 2014-19 гг. Проведенный анализ четко показывает, что для всех типов индексов параметры погоды были резко изменены: скорость ветра была усиlena, количество осадков увеличилось, а давление резко изменилось. Их включение в методологии прогнозирования погоды необходимо.

უაკ 627.14.211.215.1.76

## ჰაერის ნაკადის მიპროცენტულაციური მოძრაობის დინამიკა და პლიმატური თავისებაშრებანი სამებრძო-სგანეთის რეზიუმე

ქ. ხვედელიძე, ი.სამხარაძე, მ. ტატიშვილი, ნ. ზოტიკვილი.

საქართველოს ტექნიკური უნივერსიტეტის პიდრომეტეოროლოგიის ინსტიტუტი, თბილისი, საქართველო. ელ-ფოსტა [inga.samkharadze562@ens.tsu.edu.ge](mailto:inga.samkharadze562@ens.tsu.edu.ge)

თანამედროვეობის ერთ-ერთი უმნიშვნელოვანესი პრობლემა, როგორც მეცნიერული ასევე სამრეწველო-პრაქტიკული თვალსაზრისით, არის ლოკალური რეგიონების კლიმატური თავისებურებების შესწავლა გლობალური დათბობის ფონზე. უწყვეტი ოპერატორული მონაცემებით დასაბუთებულია, რომ ზოგიერთი ლოკალური რეგიონის ჰავა მკვეთრად განსხვავდება გარემომცველი მიდამოს კლიმატისაგან. ეს გარემოება ძირითადად რელიეფის ფორმას და მისგან გამოწვეულ დინამიკურ პროცესებს უკავშირდება. აქედან გამომდინარე, რელიეფის გავლენის პარამეტრების განსაზღვრა და მათი ანალიზი მეტად აქტუალური და მნიშვნელოვანია. საქართველოს ტერიტორიაზე არსებულ ქვაბურებში, განვითარებული მიკროცირკულაციური პროცესების ახსნა-დასაბუთებისათვის გამოყენებული იქნა პიდროდინამიკური მიდგომა. შეფასებულია რეგიონის რელიეფის მახასიათებელი პარამეტრები და გათვლილია ოროგრაფიული ვერტიკალური სიჩქარე. მრავალწლიური მეტეოროლოგიური მონაცემების სტატისტიკური დამუშავებით, დადგენილია ქვაბურების კლიმატური თავისებურებები და ჰაერის ნაკადის დინამიკის ბუნება. ეს თავისებურებანი ახსნილი იქნა მოდელური გათვლებით. საკვლევ რეგიონებზე მოდელურად შეფასებული პროცესები, რეალურად დაკვირვებული მოვლენების მიმართ, 5%-8% პროცენტის მიახლოებაში თანხვედრილია. ასეთი კვლევა მესტიის მუნიციპალიტეტის მთლიან ტერიტორიაზე შესრულებულია პირველად და მიღებულ შედეგებს, გამოყენების თვალსაზრისით, მნიშვნელოვანი თეორიული და პრაქტიკული პერსპექტივა გააჩნია.

ამოცანის თეორიული მხარე ეყრდნობა [1,2,3] შრომებში მოყვანილ მასალას, კერძოდ, მოყვანილი სიდიდეების  $a = -\frac{\partial \ln \eta}{\partial x}, b = -\frac{\partial \ln \eta}{\partial y}$  (მთის გავლენის მახასიათებელი პარამეტრები

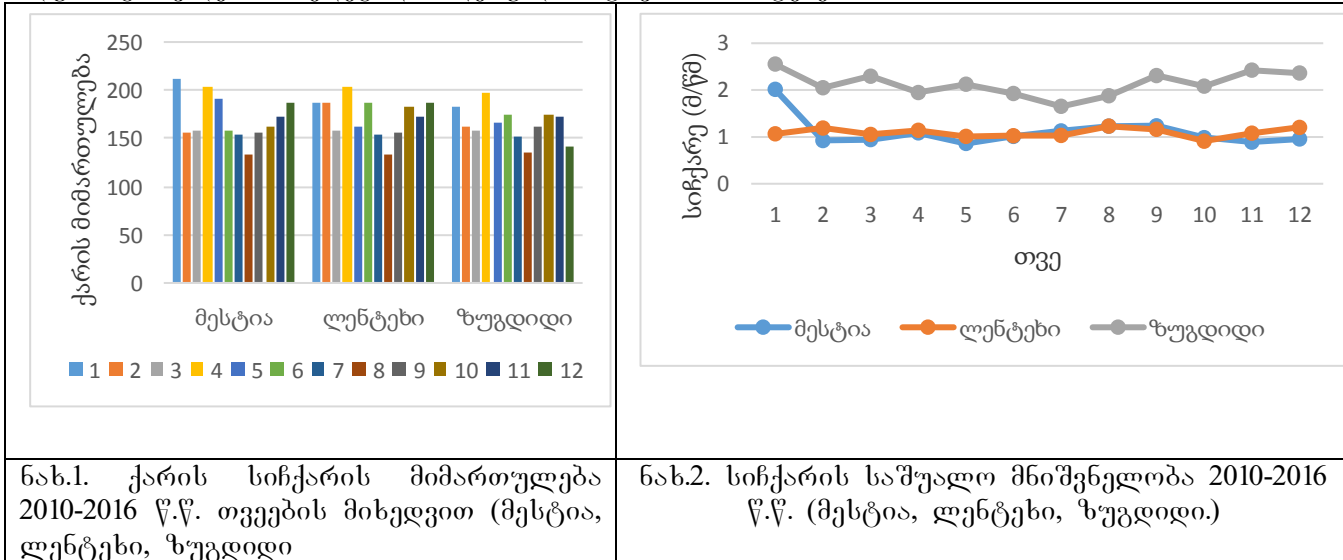
შესაბამისად, პარალელის და მერიდიანის მიმართულებით) და ოროგრაფიული ვერტიკალური სიჩქარის გამოსახულების გამოყენებას:

$$W_h = \frac{1}{l\eta\rho} (p, \ln \eta) H = \frac{1}{l\eta\rho} \left( \frac{\partial p}{\partial x} b - \frac{\partial p}{\partial y} a \right) H \quad (1)$$

სადაც  $\eta = \frac{P_z}{P_o}$  - აგეოსტროფიულობის პარამეტრი,  $p_z$  - წნევა მთის სიმაღლეზე,  $p_o$  - წნევის სტანდარტული მნიშვნელობა. ამ სიდიდეების განსაზღვრა-შეფასება კონკრეტული ლოკალური რეგიონისათვის, წარმოადგენს ჩვენი კვლევის ერთ-ერთ ძირითად მიზანს. უნდა შეფასდეს რელიეფის გავლენით წარმოქმნილი აღმავალ-დაღმავალი დინებები. სწორედ ეს დინებები არსებითად განსაზღვრავს ადგილობრივი ცირკულაციის ბუნებას და მთელ რიგ კლიმატურ თავისებურებებს ლოკალურ ქვაბურებში [4-6].

რეალურ ფიზიკურ-გეოგრაფიულ პირობებზე დაყრდნობით გამოითვალა, მესტიის შიგა ქვაბურისათვის (ქვაბურს უჭირავს  $(50 \times 50)$  კმ ფართობი) ოროგრაფიის გავლენის მითითებული პარამეტრები და აღმოჩნდა, რომ  $a = 7,2 \cdot 10^{-4}$  (1/მ) და  $b = 10^{-4}$  (1/მ), ანუ  $a = 7,2b$ . აქედან გამომდინარე, ქვაბურში ქარი უმეტესად (მიწისპირა ფენაში) ქრის დასავლეთიდან პარალელის მიმართულებით მთავარი მთაგრეხილის გასწვრივ. ოროგრაფიული ვერტიკალური სიჩქარე მცირება (10 სმ/წმ-ის ფარგლებში), რადგანაც შემოჭრილი ჰაერის მასა, სამი მხრიდან მაღალი მყინვარით დაფარული მთებით არის შემოსაზღვრული, ამიტომ მცირე ვერტიკალური სიჩქარის გამო ამ მთებზე მასათა გადადინება ვერ ხორციელდება. ჰაერის ნაკადი მთებიდან აირეკლება (იმპულსის მუდმივობის კანონი) და კვლავ ტაფობში რჩება საკმარისად ხანგრძლივი დროით. ამითაა სწორედ განპირობებული სვანეთის კლიმატური თავისებურება - ციგი ზამთარი და ხანგრძლივი გრილი ზაფხული. მოყვანილი მსჯელობიდან ნათელია, რომ მიღებული თეორიულ-მოდელური შედეგი ასაბუთებს იმ კლიმატურ განსაკუთრებულობას, რომელიც რეალურად დაიკვირვება ქვაბურში.

მესტიის მეტეოსადგურის მონაცემების თანახმად, ჰაერის საშუალო ტემპერატურა 1938-2008 წ.წ. ყველაზე ცივი თვისთვის (იანვრის) შეაღგენს -5,7. ხოლო, ყველაზე ცხელი თვის (ივნისი) – არის 16,6. რაც შეეხება საშუალო წლიური ტემპერატურის მსვლელობას ბოლო 10 წლის მონაცემებით, საშუალო წლიური ტემპერატურა მაქსიმალურია 2006 წელს (+6,6). იმის-ათვის რომ დაგვედგინა ქარის მიმართულება ზოგადად მესტიის რაიონისათვის, შევისწავლეთ ქარის სიჩქარის მიმართულებისა და წნევის განაწილების 6 წლის მონაცემების საშუალო მნიშვნელობები 2010-2016 წ.წ. (ნახ.1-2), (ცხრ.1-2). როგორც ნახ.1-დან ჩანს, ქარის ძირითადი მიმართულება არის სამხრეთი და სამხრეთ-დასავლეთის ( $180-200^{\circ}$ ), რაც ემთხვევა მოდელური გათვლების შედეგად მიღებულ რიცხვით მონაცემებს.



კხრ.1. ქარის სიჩარის მიმართულება თვეების მიხედვით.

ქარის მიმართულება (2010-2016)							
	მესტია	ლენტეხი	ზუგდიდი		მესტია	ლენტეხი	ზუგდიდი
იანვარი	211 <sup>0</sup>	186 <sup>0</sup>	182 <sup>0</sup>	ივლისი	154 <sup>0</sup>	154 <sup>0</sup>	153 <sup>0</sup>
თებერვალი	155 <sup>0</sup>	186 <sup>0</sup>	162 <sup>0</sup>	აგვისტო	134 <sup>0</sup>	134 <sup>0</sup>	135 <sup>0</sup>
მარტი	158 <sup>0</sup>	158 <sup>0</sup>	159 <sup>0</sup>	სექტემბერი	156 <sup>0</sup>	156 <sup>0</sup>	162 <sup>0</sup>
აპრილი	204 <sup>0</sup>	204 <sup>0</sup>	199 <sup>0</sup>	ოქტომბერი	162	182	175
მაისი	191 <sup>0</sup>	162 <sup>0</sup>	166 <sup>0</sup>	ნოემბერი	172	172	175
ივნისი	158 <sup>0</sup>	186 <sup>0</sup>	175 <sup>0</sup>	დეკემბერი	187	187	142

Յեր.2. Վճարությունը կամաց մեծագույնը տվյալների մոելուածական հարաբերությունը:

წევა (2010-2016)					
	მესტია	ზუგდიდი		მესტია	ზუგდიდი
იანვარი	861	1006	ივლისი	855	996
თებერვალი	859	1003	აგვისტო	857	997
მარტი	861	1002	სექტემბერი	858	999
აპრილი	859	1001	ოქტომბერი	860	1005
მაისი	857	998	ნოემბერი	862	1003
ივნისი	855	997	დეკემბერი	863	1007

## **ՀԱՅՈՒԹՎԱՑՄԱՆ - REFERENCES - ЛИТЕРАТУРА**

1. ხვედლიძე ზ. – „რეგიონალური მიკროცირკულაციური ატმოსფერული პროცესების დინამიკა მთა-გორიან ტერიტორიაზე“ (მონოგრაფია) .თბილისი, 2018 წ. გვ.101.
  2. ხვედლიძე ზ., გატიშვილი გ., ზოგიერთი შ. სამხარაძე ი. „მთა-ხეობიანი რელიეფის როლი ჰაერის ნაკადის ცირკულაციის შესწავლაში“. ვიზიკა №1(18), 2018 წ. გვ.15-25

- =====
3. "Atmosphere General circulation Modeling" - 2008 – American Institute of Physics Washington. p.505.
  4. R. Holton "Dynamic Meteorology" Fourth edition-university of Washington, 2004 p. 533.
  5. ბ. ხვედელიძე, ნ. ზოგიერთი „ქარისა და დედამიწის ლოკალური რელიეფის ურთიერთ-ქმედების ზოგიერთი თავისებურების მოდელური გათვალისწინების საქართველოს ტერიტორიაზე“. ქართული ელექტრონული სამეცნიერო ჟურნალი „ფიზიკა“ (<http://gesj.internet-academy.org.ge/physic/>; 2016, № 1(15) gv.63-72).
  6. Z.Khvedelidze, Inga Samkhatagze, Teimuraz Davitashvili "On Pressure Drop Distribution at High Power Perturbation Per Over the Mountainous Territory". Ebullition the Georgian Academy of sciences, 155 №1, 2015 p.62-67.

უაგ 627.14.211.215.1.76

ჰაერის ნაკადის მიკროცირკულაციური მოძრაობის დინამიკა და კლიმატური თავისებურებანი სამეცნიერო-სვანეთის რეგიონზე/ხვედელიძე ზ., სამხარაძე ი., ზოგიერთი მ., ზოგიერთი ნ./სტუ-ის პრო-ის სამეცნ. რეფ. შრ. კრებ. – 2020. - გ.129. - გვ.113-115. - ქართ.; რეზ.: ქართ., ინგლ., რუს., მრავალწლიური მეტეოროლოგიური მონაცემების სტატისტიკური დამუშავებით დადგენილია, ქვაბურების კლიმატური თავისებურებები და ჰაერის ნაკადის დინამიკის ბუნება. ეს თავისებურებანი ასენილი იქნა მოდელური გათვალისწინებით. საკვლევ რეგიონებზე მოდელურად შეფასებული პროცესები, რეალურად დაკვირვებული მოვლენების მიმართ 5%-8% პროცენტის მიახლოებაში თანხვედრილია.

## UDC 517.51

**Dynamics of microcirculation movement of air flow and climatic peculiarities in Samegrelo-Zemo Svaneti region.** /Khvedelidze Z., Samkharadze I., Tatishvili M., Zotikishvili N./. Scientific Reviewed Proceedings of the IHM, GTU. - 2020 - vol.129 - pp.113-115. Georg.; Abst.: Georg., Eng., Rus. Based on the statistical processing of long-term meteorological data, the climatic features of the pits and the nature of the dynamics of the air flow are established. These features were explained by model calculations. Modularly evaluated processes in the studied regions with respect to the real observable phenomena coincide in an approximation of 5-8%.

УДК 517. 51

**Динамика движения микроциркуляции воздуха и климатические особенности региона Самегрело-Земо Сванети.** /Хведелидзе З.В., Самхарадзе И.Н., Зотикишвили Н.Ш., Татишвили М.Р./. Науч. Реф. Сб. Труд. ИГМ ГТУ - 2020. вып.129 - с.113-115. Груз.; Рез.: Груз., Англ., Рус. На основании статистической обработки многолетних метеорологических данных установлены климатические особенности котлованов и природа динамики воздушного потока. Эти особенности были объяснены модельными расчетами. Модельно оцененные процессы в исследуемых регионах в отношении реально наблюдаемых явлений в приближении на 5-8% совпадает.